



Industrobot
.com

Apuntes de 3ºGITI

María Ballesteros

APUNTES RESISTENCIA DE MATERIALES

Si alguna vez estos apuntes te sirvieron de ayuda, piensa que tus apuntes pueden ayudar a muchas otras personas.

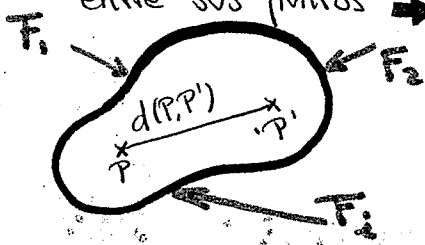
Comparte tus apuntes
En indusbol.com o
simplyjarod.com

INTRODUCCIÓN

Lección 1: DESCRIPCIÓN DEL MODELO DEL SÓLIDO DEFORMABLE

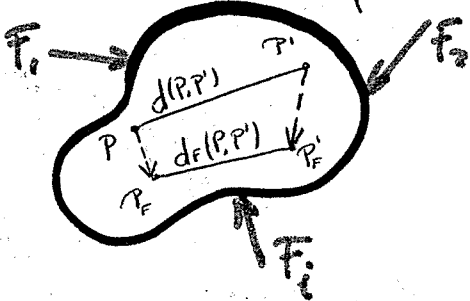
= Definiciones

Sólido Rígido es aquel que ante acciones exteriores no varía la distancia entre sus puntos $\rightarrow d(P, P') = \text{cte} \forall P$



Podremos estudiar su movimiento, equilibrio,... pero en la realidad este tipo de sólidos no existe

Sólido Deformable es aquel que ante acciones exteriores la distancia entre dos de sus puntos puede variar.



Un caso particular de sólido deformable es el sólido ELÁSTICO, que serán los sólidos que estudiaremos en esta asignatura.

Un sólido elástico es aquel que recupera su forma inicial cuando cesan las acciones exteriores

= Propiedades del sólido elástico

ISOTROPIA: Tiene las mismas propiedades en cualquier dirección

Por ejemplo, la madera no es isotropa



HOMOGENEIDAD: Todas las partes tienen idénticas propiedades

Por ejemplo, un bloque de hormigón no es homogéneo



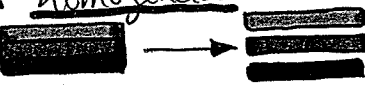
CONTINUIDAD: No presentan huecos



Por ejemplo, la piedra púmez no es continua

= El sólido no perfecto:

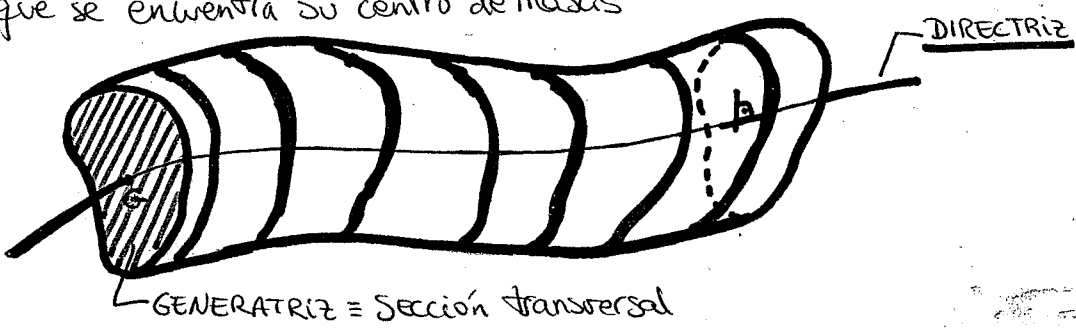
Se trata de sólidos reales o verdaderos sobre los cuales realizaremos una serie de simplificaciones para facilitar su estudio.

- Para conseguir isotropía estudiaremos de forma separada cada dirección
- Para conseguir homogeneidad descompondremos el sólido real en sólidos homogéneos: 
- Para conseguir continuidad trabajaremos a un nivel macroscópico de forma que sean irrelevantes las huecos

Lección 2: DESCRIPCIÓN DEL MODELO DE SÓLIDO PRISMÁTICO

= Definición

Sólido Prismático: es aquel generado por una superficie plana, denominada generatriz que se mueve a lo largo de una línea, llamada directriz y sobre la que se encuentra su centro de masas

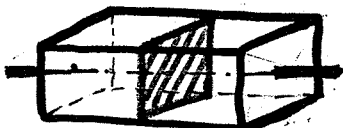


NOTA!! La generatriz y la directriz son siempre perpendiculares entre sí

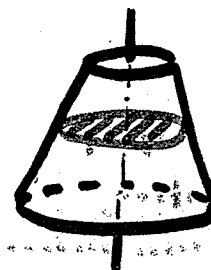
= Clasificación del sólido prismático

★ En función de la generatriz:

Sección constante

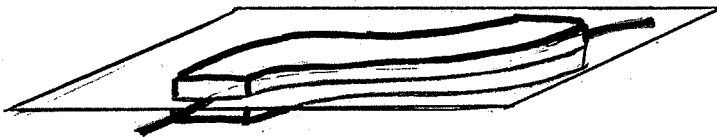


Sección variable

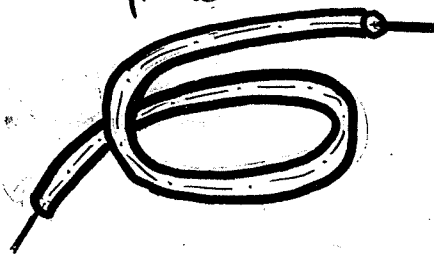


★ En función de la directriz

Plano: La directriz está contenida en un plano



Alejada: La directriz no puede contenerse en un plano



★ En función de sus dimensiones

Unidimensional: Las dimensiones de la sección transversal son pequeñas respecto de la longitud de la directriz.



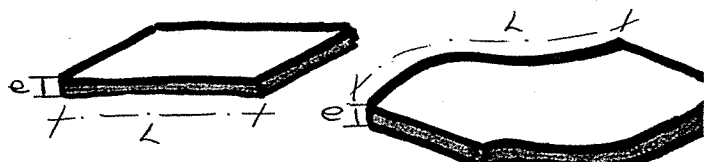
Bidimensional: Aquel que tiene una dimensión mucho menor que las otras dos. Son dos superficies separadas una pequeña distancia denominada espesor, e.

Subtipos:

PLANA: Plano

$L > 10e$

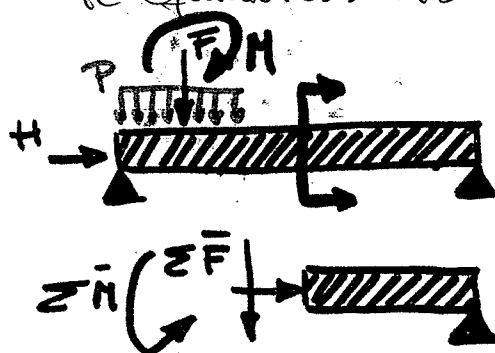
LÁMINA: Alejada



= Principios aplicables

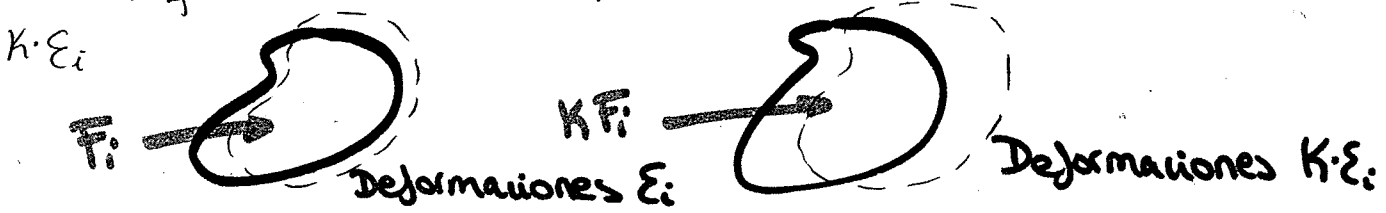
Principio de la rigidez relativa: los movimientos o deformaciones del sólido son despreciables respecto a sus dimensiones. Las dimensiones del sólido se conservan invariables así como los puntos de aplicación de las cargas o acciones exteriores.

Principio de Saint-Venant: En puntos suficientemente alejados de los cargas aplicadas su efecto puede sustituirse por el de un sistema de cargas estáticamente equivalentes \Rightarrow Misma resultante $\left\{ \begin{array}{l} \sum \bar{F} \\ \sum \bar{M} \end{array} \right.$



Principio de proporcionalidad: Sobre un sólido actúan un sistema de

fuerzas F_i produciendo unas deformaciones ϵ_i , de forma que, si sobre el mismo sólido actúan unas fuerzas $K \cdot F_i$, las deformaciones resultantes quedarán también multiplicadas por el factor K , esto es, serán $K \cdot \epsilon_i$.

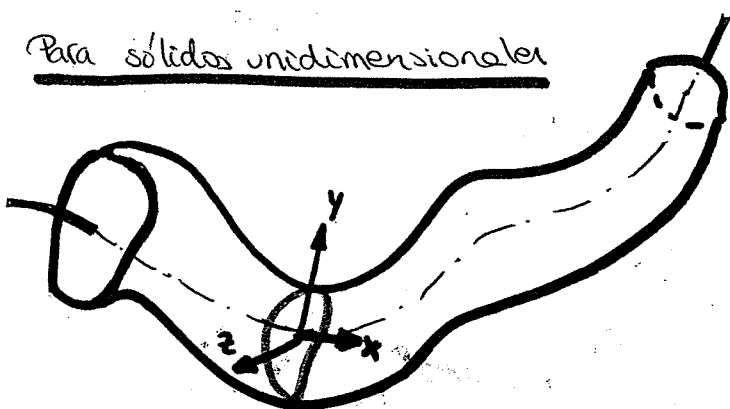


Principio de superposición: Sea el sólido sobre el que actúa el sistema de fuerzas F_i y sea el mismo sólido sobre el que actúa el sistema de fuerzas F_j produciendo, respectivamente deformaciones ϵ_i, ϵ_j . Podemos entonces asegurar que si sobre este sólido actúase el sistema de fuerzas $F_i + F_j$, las deformaciones producidas serían $\epsilon_i + \epsilon_j$.



= Sistema de referencia

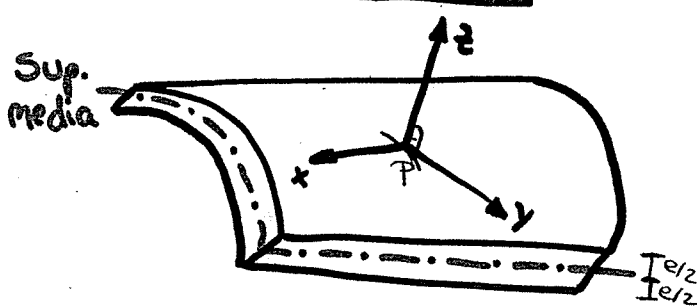
Para sólidos unidimensionales



- El eje x lo tomamos siempre tangente a la directriz en el sentido que nos interese

- El eje y y el z serán los ejes principales de la sección de manera que $\{x, y, z\}$ sea un triángulo recto.

Para sólidos bidimensionales



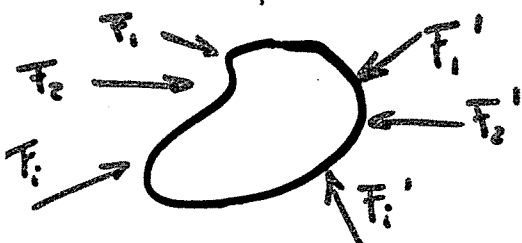
- El eje z lo tomaremos perpendicular a la superficie media en el sentido que nos interese

- Los ejes x e y serán tangentes a la superficie media formando un triángulo a derechas.

Lección 3: ESFUERZOS INTERNOS Y SUS DIAGRAMAS

= Equilibrio estático y elástico

Se dice que un sólido está en Equilibrio Estático si:



$$\left\{ \begin{array}{l} \sum (F_i + F_i') = 0 \\ \sum (M_i + M_i') = 0 \end{array} \right. \text{ respecto de cualquier punto}$$

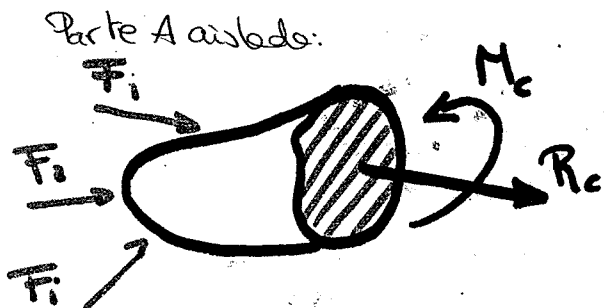
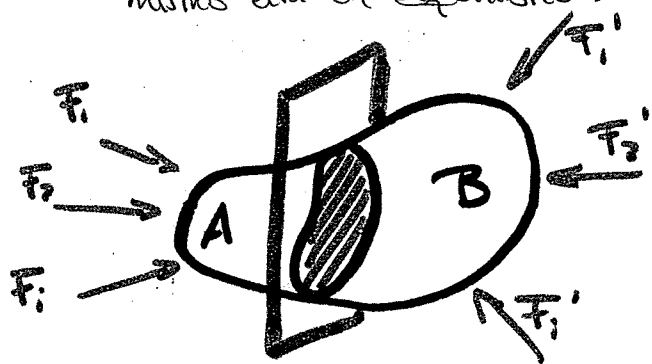
y siendo $M_i + M_i' = r_i \cdot F_i + r_i' \cdot F_i'$

Se trata de una condición necesaria y suficiente para que un sólido rígido esté en equilibrio.

Sin embargo, si trabajamos con sólidos elásticos esta condición es necesaria pero no suficiente.

Por tanto, tendrá que cumplirse también la condición de equilibrio elástico, que se trata de una condición interna

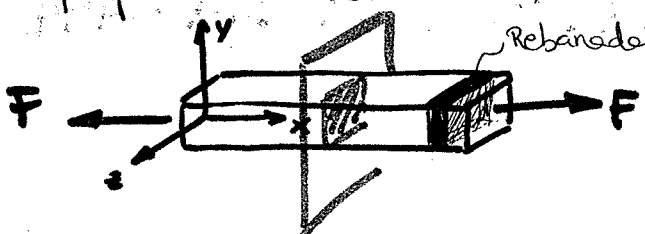
"Un sólido elástico está en equilibrio cuando toda parte aislando del mismo está en equilibrio".



Por equilibrio estático $\sum(F_i + F'_i) = 0$, Ahora $\sum F_i \neq 0$ y aparecen R_c y M_c de forma que, para conseguir equilibrio elástico:

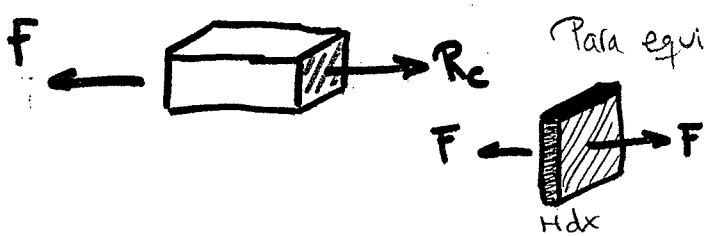
$$\begin{cases} \sum F_i + R_c = 0 \\ \sum M_i + M_c = 0 \end{cases}$$

Ejemplos: Sea el sólido elástico de la figura



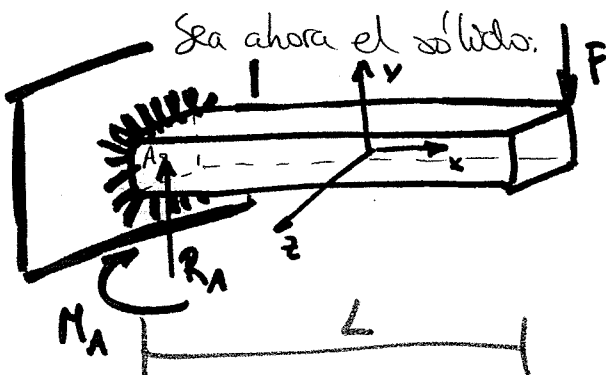
Por equilibrio estático, se cumple:

$$\sum F = 0 \rightarrow \bar{i}: F - F = 0$$



Para equilibrio elástico: $\sum F_H = 0 \rightarrow \bar{i}: R_c - F = 0$

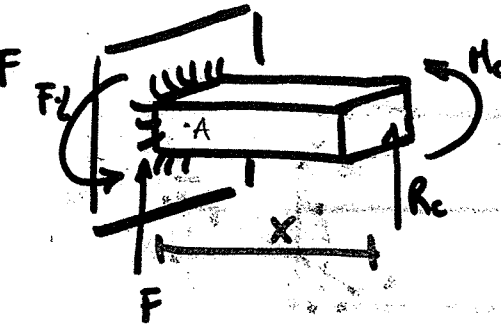
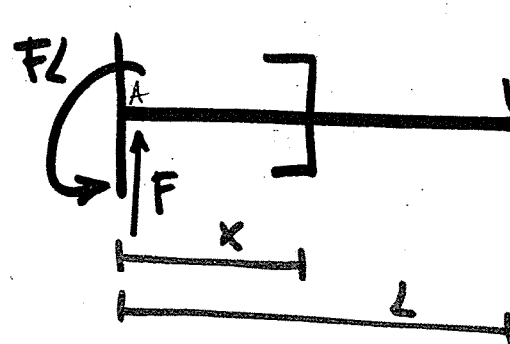
$$\underline{\underline{F = R_c}}$$



Por equilibrio elástico

$$\sum F = 0 \rightarrow \bar{j}: R_A - F = 0 \rightarrow \underline{\underline{F = R_A}}$$

$$\sum M_A = 0 \rightarrow \bar{k}: -FL - M_A = 0 \rightarrow \underline{\underline{M_A = -FL}}$$



Para equilibrio elástico

$$\sum F = 0; \quad j: F + R_c = 0$$

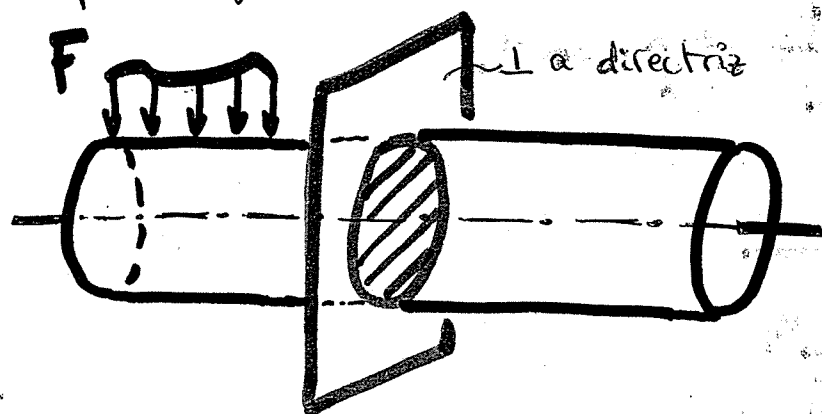
$$R_c = -F$$

$$\sum M_A = 0$$

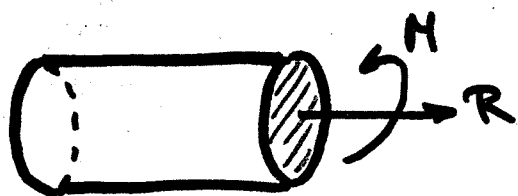
$$FL + M_c + R_c x = 0$$

$$M_c = -F(L-x)$$

= Concepto de esfuerzo



Aislamos una de las partes del sólido elástico prismático



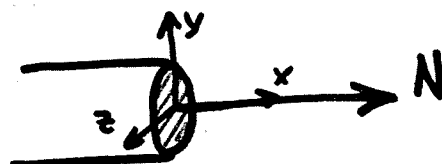
Llamaremos fuerzas y momentos aplicados a los acciones externas al sólido y ESFUERZOS a las fuerzas y momentos internos, es decir, acciones entre una parte y otra del sólido.

= Tipos de esfuerzos

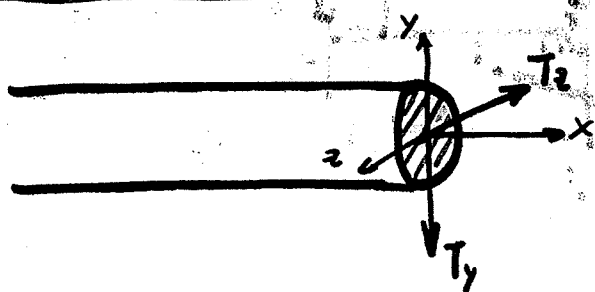
Fuerza: $\bar{R} = N\hat{i} + T_x\hat{j} + T_z\hat{k}$

Momento: $\bar{M} = M_x\hat{i} + M_y\hat{j} + M_z\hat{k}$

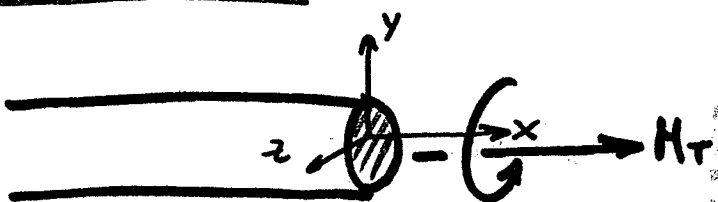
ESFUERZO NORMAL N: \rightarrow la fuerza interna según el eje x



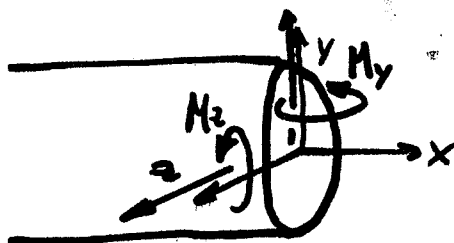
ESFUERZOS CORTANTES T_x, T_z



MOMENTO TORCIENTE M_T



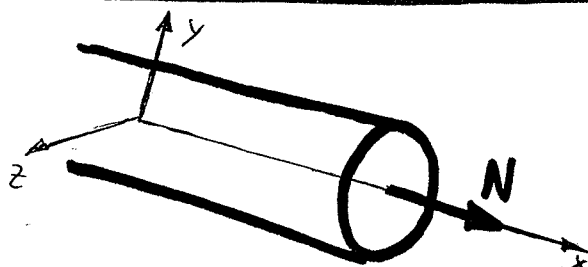
MOMENTOS FLEXORES M_y, M_z



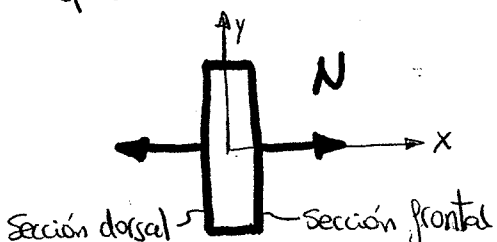
= Diagramas de esfuerzos

DIAGRAMA DE ESFUERZO NORMAL

(N): Axil

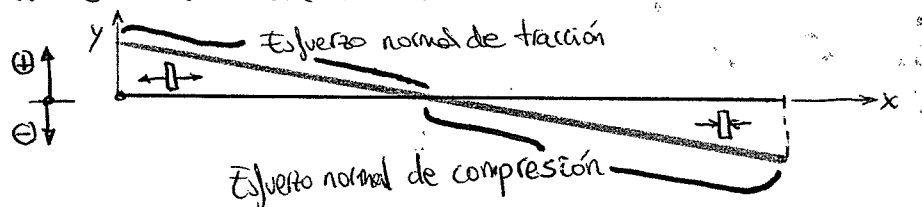


Representación de la rebanada: $N+$



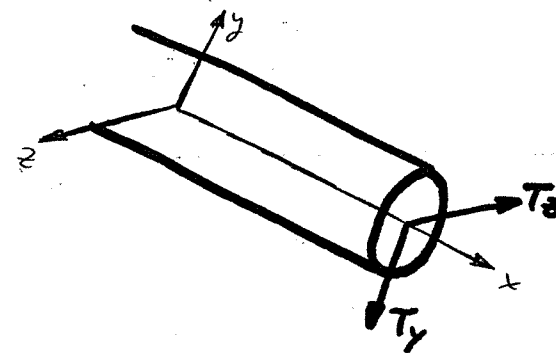
El esfuerzo axil positivo se representa en la dirección y sentido del eje x en la sección frontal y en sentido contrario en la dorsal

Ejemplo:

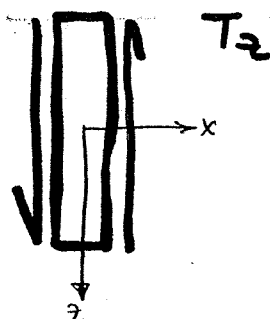
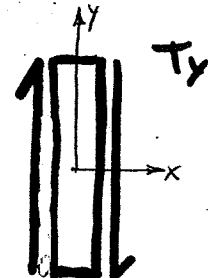


DIAGRAMAS DE ESFUERZOS CORTANTES

T_y T_z

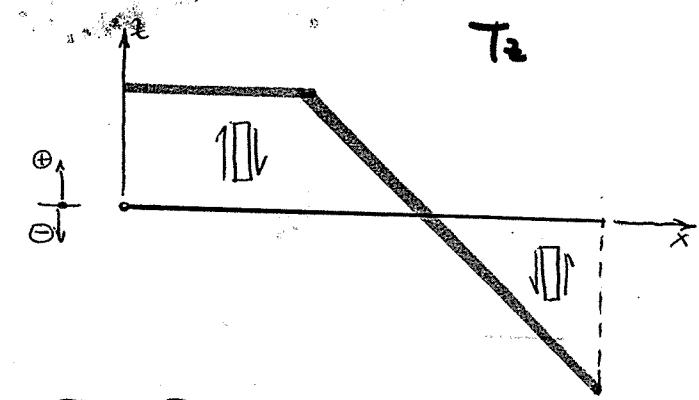
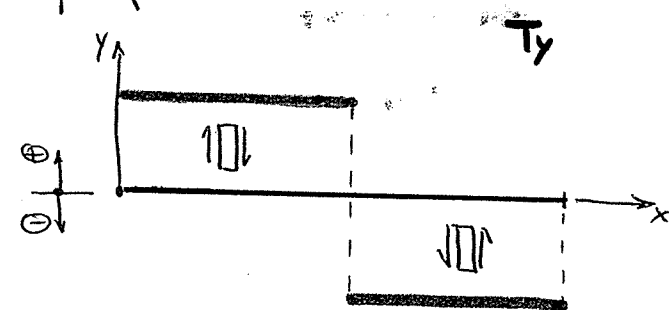


Representación de los rebanados: $\underline{T_y}^{\oplus}$, $\underline{T_z}^{\oplus}$



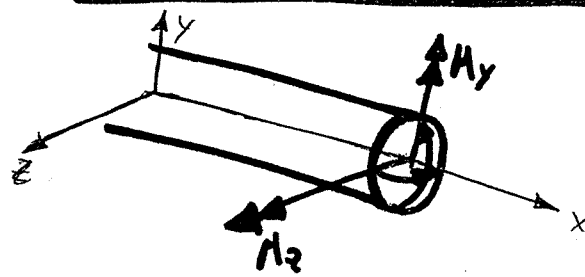
Los esfuerzos cortantes T_y , T_z se representan en sentido contrario a su eje (y o z respectivamente) en la cara frontal si son positivos y llevan el sentido de su eje en la cara dorsal, si son positivos.

Ejemplo:

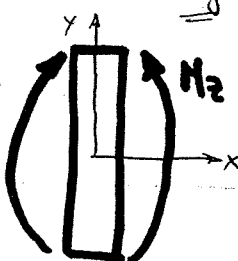
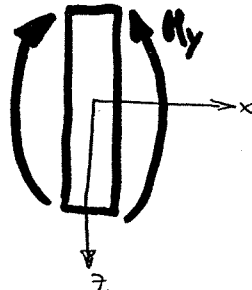


DIAGRAMAS DE MOMENTOS FLECTORES

M_y , M_z



Representación de los rebanados: $\underline{M_y}^{\oplus}$, $\underline{M_z}^{\oplus}$



Momentos flectores positivos llevan la dirección y sentido de sus ejes correspondientes en la cara frontal y la contraria en la dorsal.

Ejemplos

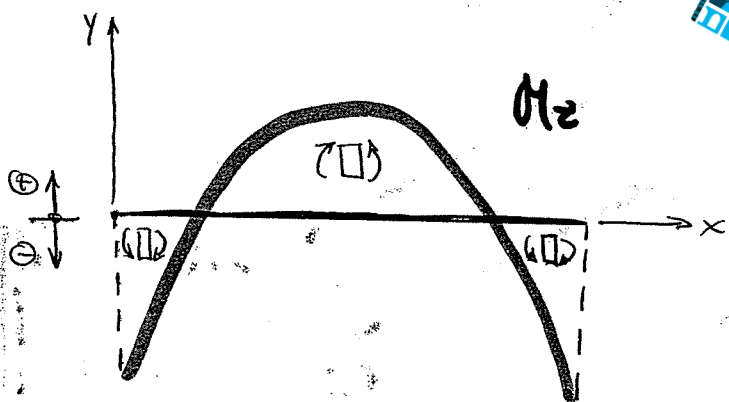
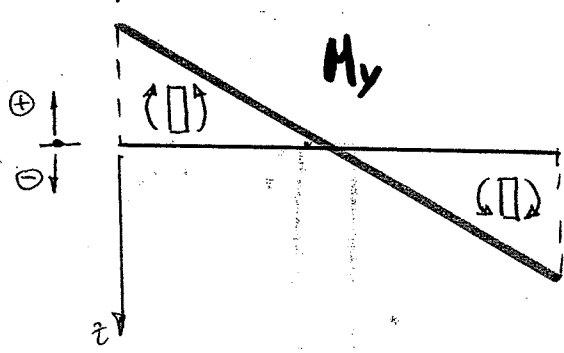
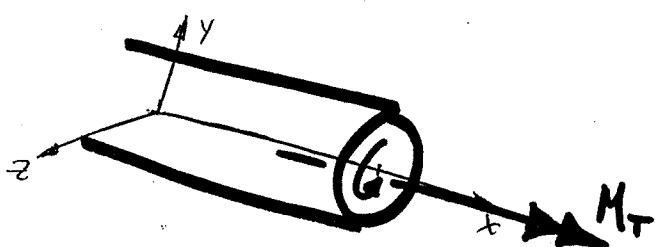
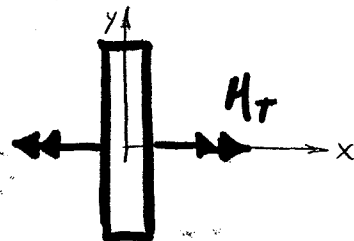


DIAGRAMA DEL MOMENTO TORSOR

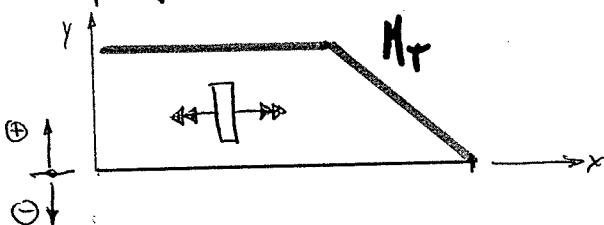
(M_T)



Representación de la rotación: M_T \oplus

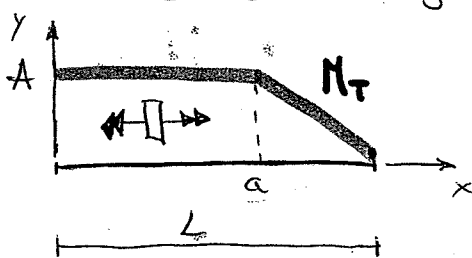


Ejemplo:



Observamos que, si el momento torsor es positivo se representará con una doble flecha en sentido del eje x en la cara frontal y sentido contrario en la dorsal.

NOTA!! Llamaremos LEY DE EFUERZOS a la representación matemática de los diagramas de esfuerzos. Por ejemplo:

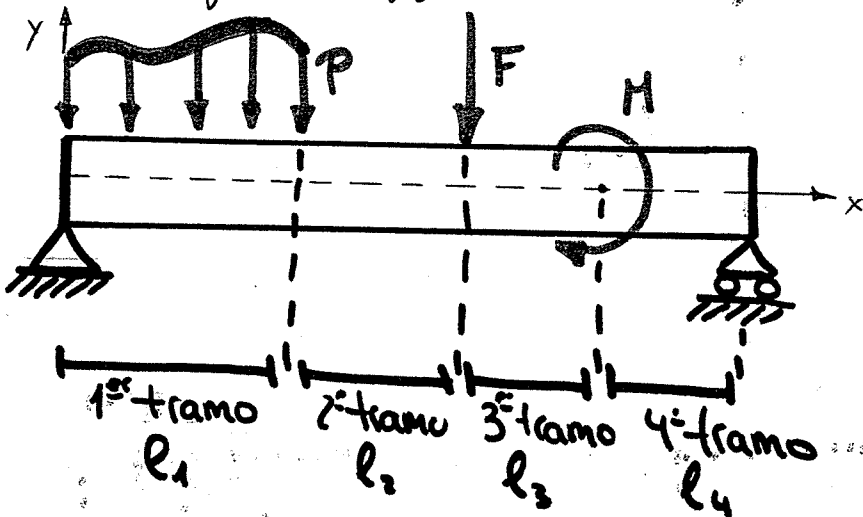


Ley de esfuerzos

$$\left. \begin{array}{l} M_T = A \quad 0 < x < a \\ M_T = \frac{-A}{L-a} (x-L) \quad a < x < L \end{array} \right\}$$

= Cálculo de los esfuerzos

Sea la viga de la figura con las acciones extensoras representadas



NOTA!!

- Se trata de una estructura plana
- Las acciones extensoras pueden ser:
 - Cargas repartidas
 - Fuerzas puntuales
 - Momentos aplicados

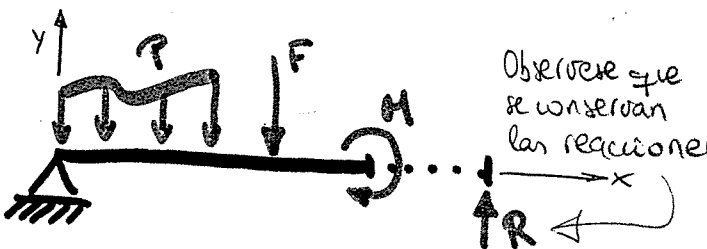
① Cálculo de las reacciones

② Dividir las barras en tramos:

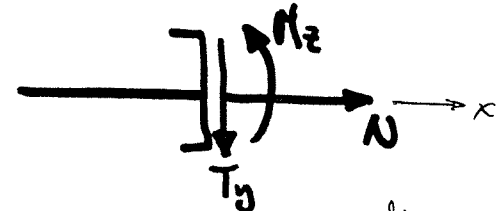
- Divido tramos por puntos de aplicación de cargas
- Divido tramos por puntos donde haya enlace
- Divido tramos por apoyos de la directriz

③ Comenzamos por el extremo más sencillo, esto es, el que tenga menos acciones/reacciones

④ Eliminemos el primer tramo desde el extremo elegido considerando las acciones/reacciones.



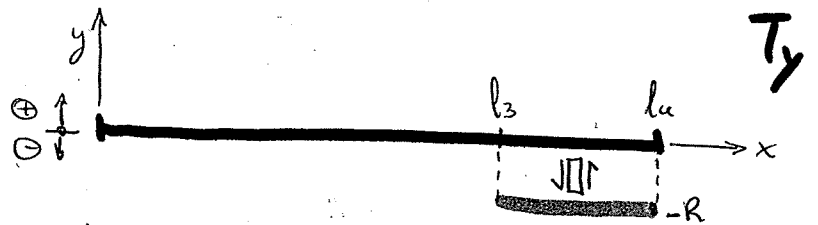
Cara frontal



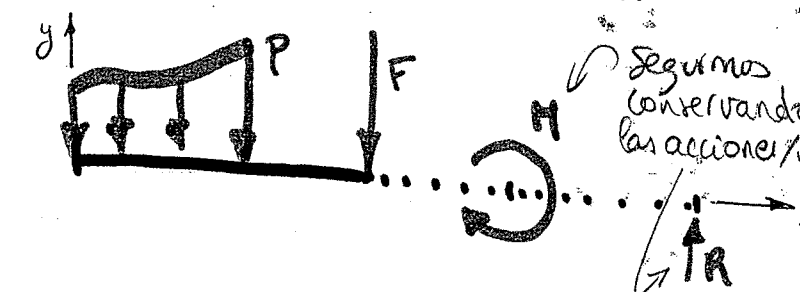
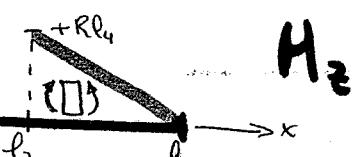
Los esfuerzos son iguales a lo resultante de las cargas de la parte eliminada

$$\left| \begin{array}{l} N = 0 \\ T_y = -R \rightarrow \text{Tienen sentidos contrarios!} \Rightarrow T_y \text{ en la cara frontal lleva el sentido contrario al pintado} \\ M_z = R l_4 \end{array} \right.$$

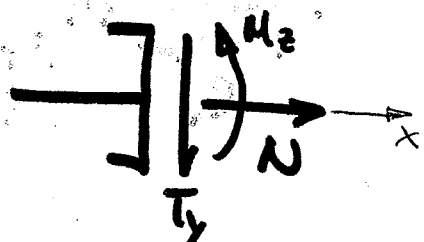
Por tanto, el diagrama de esfuerzos queda:



Seguimos ahora eliminando el siguiente tramo:



Gra frontal

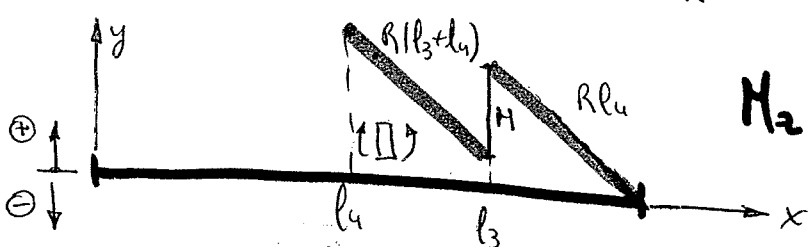
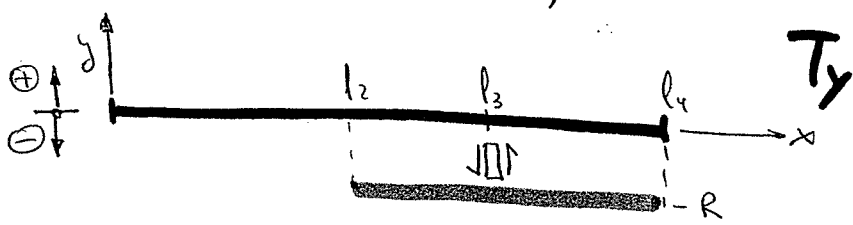


De nuevo los esfuerzos son iguales a la resultante de las cargas de la parte eliminada.

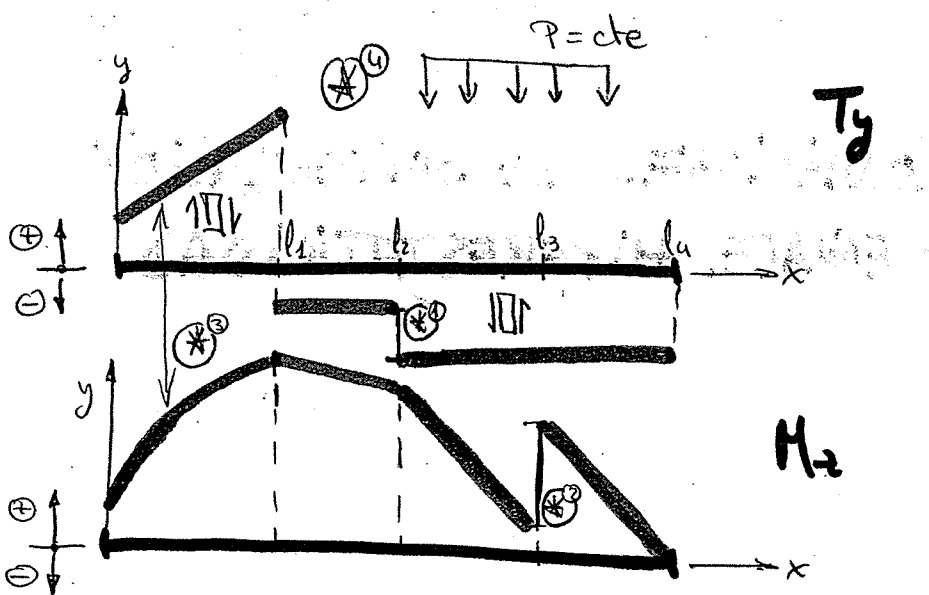
$$\left\{ \begin{array}{l} N = 0 \\ T_y = -R \end{array} \right.$$

$$M_2 = -M + R(l_3 + l_4)$$

El diagrama del momento flector M_2 habrá un salto brusco de valor $-M$.



[...]. Seguiríamos con los tramos hasta acabar la viga. Supongamos que el diagrama final es el que se presenta en la siguiente página:



REGLAS BÁSICAS:

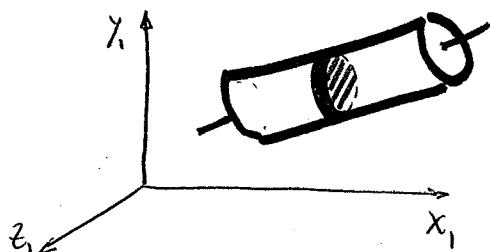
- Fuerzas aplicadas puntuales Salto en la ley de constante de valor F
- Momentos aplicados puntuales Salto en la ley del momento nuclear correspondiente de valor M .
- $T_y = \frac{dM_2}{dx}$ Ej.: $T_y = x \rightarrow M_2 = \frac{x^2}{2} + Cte$
- $P = \frac{dT_y}{dx} = \frac{d^2M_2}{dx^2}$

Si $P = cte \left\{ \begin{array}{l} T_y \text{ el lineal} \\ M_2 \text{ el parabólico} \end{array} \right.$

Si $P = 0 \left\{ \begin{array}{l} T_y \text{ es constante} \\ M_2 \text{ es lineal} \end{array} \right.$

Lección 4: CONDICIONES DE SUSTENTACIÓN Y ENLACE. HIPERESTATICIDAD.

= Restricciones al movimiento



Cada sección tiene seis grados de libertad (en el espacio → en el plano son 3): 3 desplazamientos: $\delta_x, \delta_y, \delta_z$
3 giros: $\Theta_x, \Theta_y, \Theta_z$

Por equilibrio del sólido aparecen las restricciones que modifican o anulan algunos o todos los grados de libertad

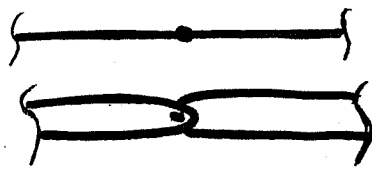
CONDICIONES DE SUSTENTACIÓN: Restricciones interiores

TIPO	S_x	S_y	S_z	Θ_x	Θ_y	Θ_z	ESQUEMA	REACCIONES
Simple o articulado FIJO	∅	∅	∅	✓	✓	✓		
Deslizante	✓	∅	∅	✓	✓	✓		
En potencamiento	∅	∅	∅	∅	∅	∅		
En potencamiento deslizante	∅	✓	∅	∅	∅	∅		

NOTA !! Por cada grado de libertad impedido no aparece una reacción. Ejemplo: En el empotramiento se impiden los 6 grados de libertad y aparecen 6 reacciones: R_x, R_y, R_z y M_x, M_y, M_z

CONDICIONES DE ENLACE

• Rotula o articulación



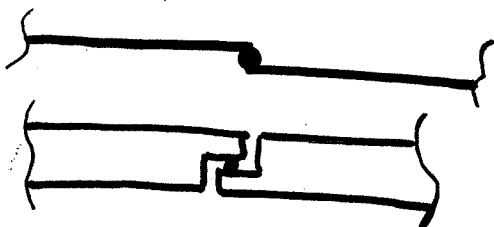
Ambas secciones tienen los mismos desplazamientos pero distintos giros:

$$\left\{ \begin{array}{l} \delta x_1 = \delta x_2 \\ \delta y_1 = \delta y_2 \\ \delta z_1 = \delta z_2 \end{array} \right. \quad \left\{ \begin{array}{l} \theta_{x_1} \neq \theta_{x_2} \\ \theta_{y_1} \neq \theta_{y_2} \\ \theta_{z_1} \neq \theta_{z_2} \end{array} \right.$$

La barra, en el enlace, pierde 6 rigideces a flexión \Rightarrow No hay momentos flexores (M_y, M_z) en el enlace ni M_x

Torsión y

• Articulación del bisante



Ambas secciones tienen algún desplazamiento distinto y distintos giros

$$\left\{ \begin{array}{l} \delta x_1 \neq \delta x_2 \\ \delta y_1 = \delta y_2 \\ \delta z_1 = \delta z_2 \end{array} \right. \quad \left\{ \begin{array}{l} \theta_{x_1} \neq \theta_{x_2} \\ \theta_{y_1} \neq \theta_{y_2} \\ \theta_{z_1} \neq \theta_{z_2} \end{array} \right.$$

De nuevo, en el enlace se pierde 6 rigideces a flexión y torsión, además de anclarse el esfuerzo en el sentido del desplazamiento diferente, es decir: $N_x = N_y = N_z = 0$; $M = 0$

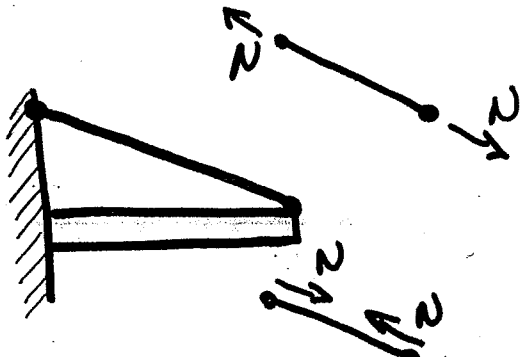
• Tirante/puntal o cable

Son elementos de unión que trabajan sólo con esfuerzos normales

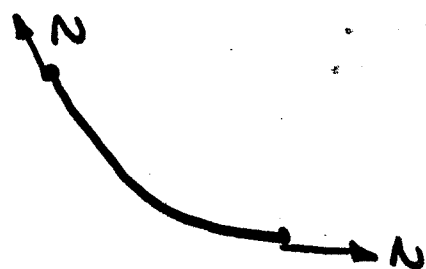
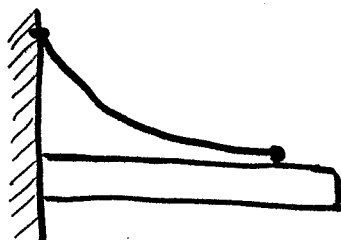
Tirante/puntal

- son rectos -

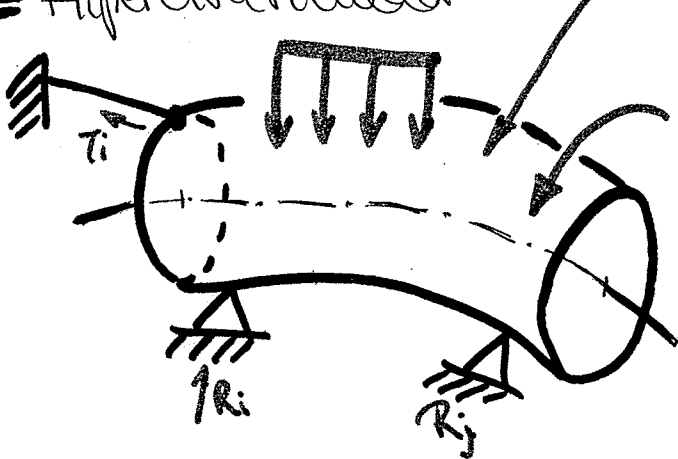
Tirante: Trabaja a tracción
 Puntal: Trabaja a compresión



Cable: Es curvo y se considera el esfuerzo normal según su tangente



= Hiperestaticidad



Llamaremos

Inexigible (I)

Equivalente (E)

Reacciones exteriores

Esfuerzos en cordadas cerradas

Equilibrio estático
6 en espacio
3 en pleno

$$\sum F = 0$$

$$\sum M = 0$$

Condiciones de enlace

En general

Si $I < E \rightarrow$ Mecanismo. No hay equilibrio

Si $I = E \rightarrow$ SISTEMA ISOSTÁTICO

Si $I > E \rightarrow$ SISTEMA HIPERESTÁTICO

Sistema isotáctico

EXTERNAMENTE: N° reacciones exterior = N° ewaciones equilibrio estat.

INTERNAMENTE: Si existen contornos cerrados y las ewaciones de enlace son suficientes

Sistema hiperestático

EXTERNAMENTE: N° reacciones exterior > N° ewaciones equilibrio estat.

INTERNAMENTE: Si no hay suficiente condicioneal de enlace para los contornos cerrados.

GRADO DE HIPERESTATICIDAD (GH)

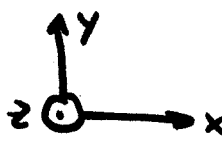
$$GH = I - E$$

Para calcularlo dividiremos el sistema en "p" subsistemas internamente isotácticos. Generalmente cortaremos los contornos cerrados y los enlazar

$$GH = I - E = r - p \cdot e$$

r = Reacciones internas y externas
 p = partes en las que dividido el sistema
 e = ewaciones de equilibrio → 3 planos estáticos → 6 espacio

Para el caso plano



$$\begin{cases} F_x \\ F_y \\ M_z \end{cases} \quad \begin{cases} N \\ T_y \\ M_z \end{cases}$$

$$GH = I - E = GH_{exterior} + GH_{interno}$$

$$= (r - 3) + (3 \cdot c - e)$$

$$GH = (r - 3) + (3c - e)$$

r = Reacciones exteriores
 c = N° contornos cerrados
 e = ewaciones de enlace

Ejercicio 1.15 Determinar el grado de hiperestablecida (GH) de cada uno de los sistemas planos de la figura.

a)



$$GH = 6 - 1 \cdot 3 = 3,,$$

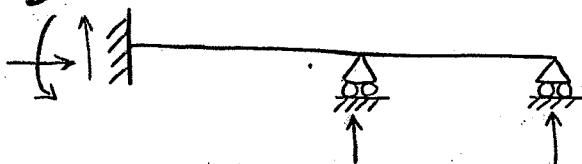
$$GH_{\text{plano}} = (6 - 3) + (3 \cdot 0 - 0) = 3,,$$

Reac. - part. ex. equil (366)
 $GH = r - p \cdot e$

(Reac. ext. - 3) + (3 · cont. cerr - ex. enlace)

$$GH_{\text{plano}} = (r - 3) + (3c - e)$$

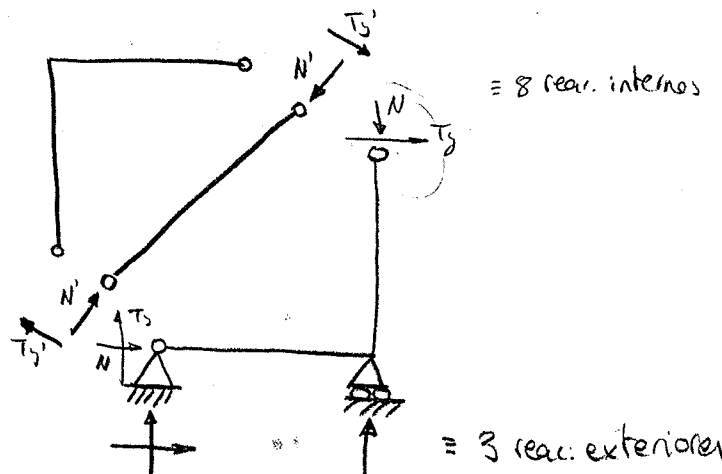
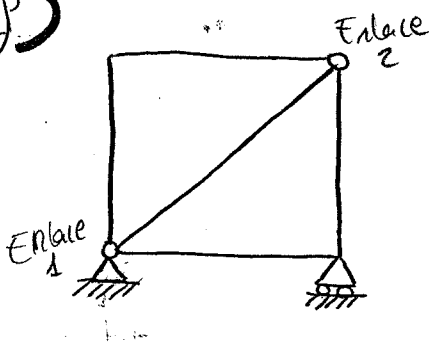
b)



$$GH = 5 - 1 \cdot 3 = 2,,$$

$$GH_{\text{plano}} = (5 - 3) + (3 \cdot 0 - 0) = 2,,$$

c)



= 3 reac. exteriores

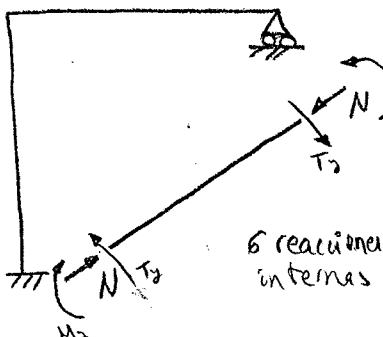
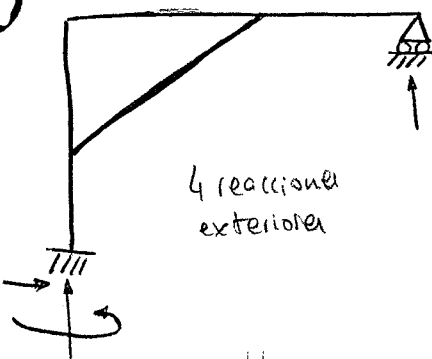
$$GH = 11 - 3 \cdot 3 = 2,,$$

$$GH = (3 - 3) + (3 \cdot 2 - 4) = 2$$

* Nota: N° de barras en los nudos menores 1:

$$\begin{aligned} \text{Enlace 1} &\rightarrow 3 - 1 = 2 \quad \text{y} \quad 4 \\ \text{Enlace 2} &\rightarrow 3 - 1 = 2 \quad \text{y} \quad 4 \end{aligned}$$

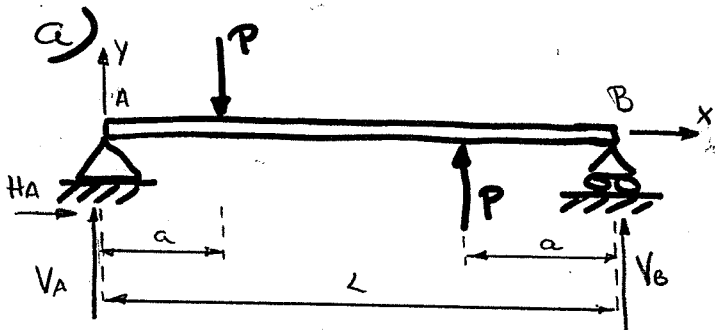
d)



$$GH = 10 - 2 \cdot 3 = 4,,$$

$$GH = (4 - 3) + (3 \cdot 1 - 0) = 4,,$$

Ejercicio 1.1 Dibujar los diagramas de esfuerzos correspondientes a las siguientes estructuras.



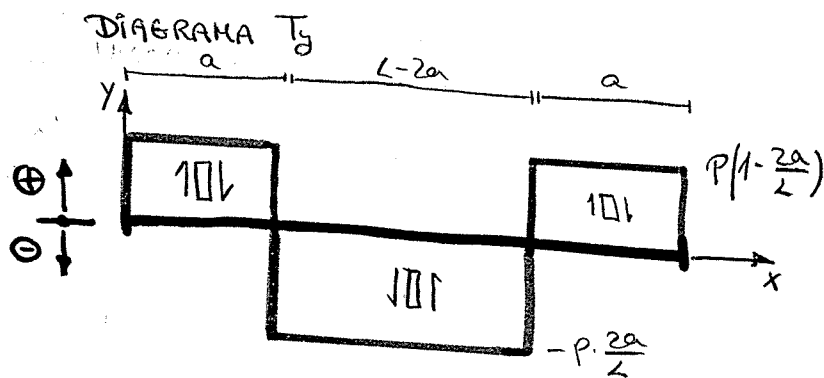
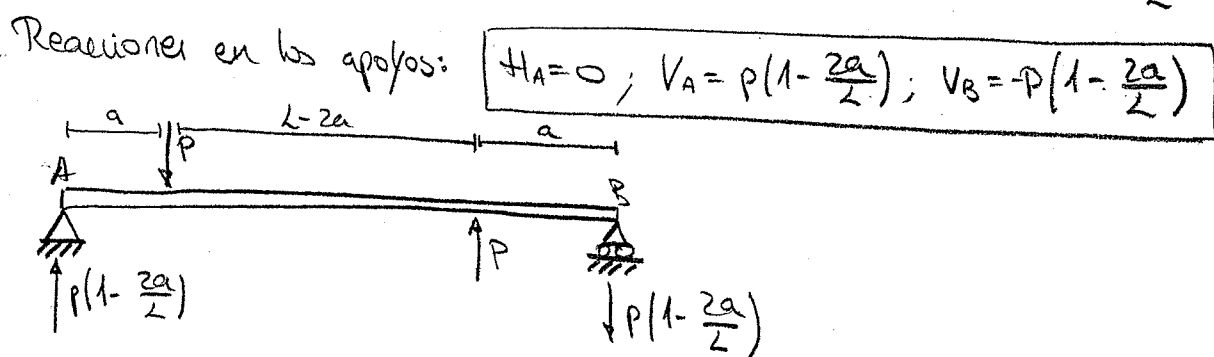
Comprobamos que es un sistema isostático:

$$G + I = (3 - 3) = 0$$

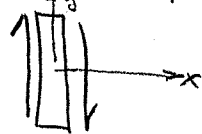
Reacciones

$$\begin{cases} \sum F_x = 0 \rightarrow H_A = 0 \\ \sum F_y = 0 \rightarrow V_A - P + P + V_B = 0 \rightarrow V_A = P(1 - \frac{2a}{L}) \\ \sum M_A = 0 \rightarrow -Pa + P(L-a) + V_B \cdot L = 0 \rightarrow V_B = \frac{-P(L-2a)}{L} \end{cases}$$

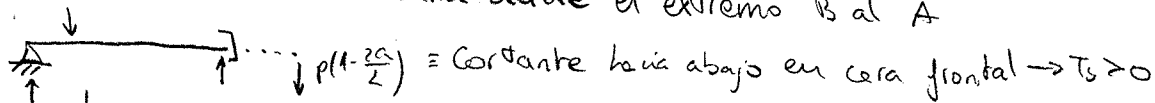
Equilibrio Estático



Criterio de signos positivo



Tomas al rotando la barra desde el extremo B al A

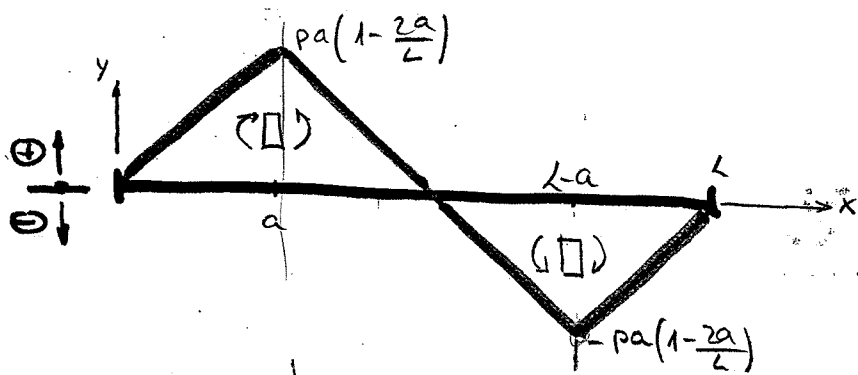


$$T_y = P\left(1 - \frac{2a}{L}\right) = \text{Cortante hacia abajo en cara frontal} \rightarrow T_y > 0$$

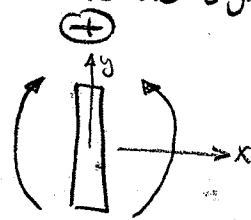
$$T_y = P \quad = \text{Salto en la ley de cortante de valor } P \rightarrow T_b = P\left(1 - \frac{2a}{L}\right) - P = -P\left(\frac{2a}{L}\right)$$

$$T_y = Cte \quad \rightarrow \quad T_y = P \quad = \text{Salto en la ley de cortante de valor } P \rightarrow T_s = -P\left(\frac{2a}{L}\right) + P = P\left(1 - \frac{2a}{L}\right)$$

DIAGRAMA M_x



Criterio de signos



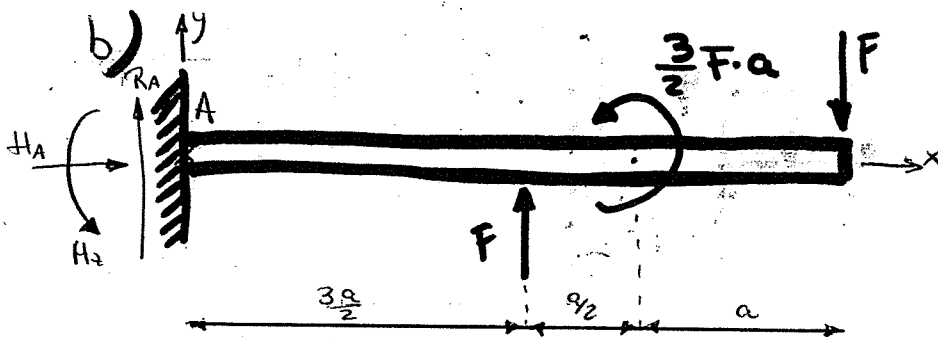
$$\begin{aligned}
 & M_x = 0, \quad M_x = -p(a)(1-\frac{x}{L}) \quad a_x = -p(a)(1-\frac{x}{L}) \\
 & M_x = -p(L-a)(1-\frac{x}{L}) + p(L-x) = p(-x+2a+a-\frac{2a^2}{L}+L-x) \\
 & M_x = p a (1-\frac{x}{L}) \\
 & M_x = -p a + p(L-a) - pL(1-\frac{x}{L}) = -2pa + pL - pL + 2pa = 0
 \end{aligned}$$

Leyes: Ley T_y

$$\begin{cases} 0 < x < a : T_y = p(1-\frac{x}{L}) \\ a < x < L-a : T_y = -p\frac{2a}{L} \\ L-a < x < L : T_y = p(1-\frac{x}{L}) \end{cases}$$

Ley M_x

$$\begin{cases} 0 < x < a : M_x = p(1-\frac{x}{L})x \\ a < x < L-a : M_x = p(1-\frac{x}{L})x - p(x-a) \\ L-a < x < L : M_x = p(1-\frac{x}{L})x - p(x-a) + p[x-(L-a)] \end{cases}$$



Reacciones:
EQ. ESTATICO

$$\sum F_x = 0 \rightarrow H_A = 0$$

$$\sum F_y = 0 \rightarrow R_A + F - F = 0 \\ R_A = 0$$

$$\sum M_A = 0 \rightarrow$$

$$M_A + F \frac{3a}{2} + F \frac{3a}{2} - F \cdot 3a = 0 \\ H_A = 0$$

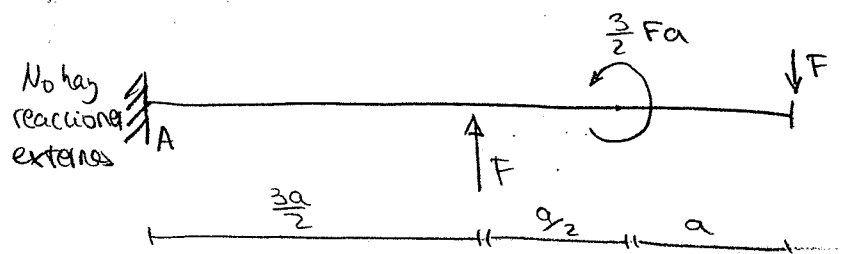


DIAGRAMA T_y

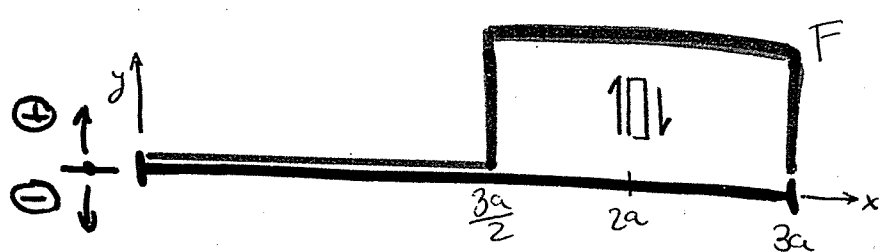
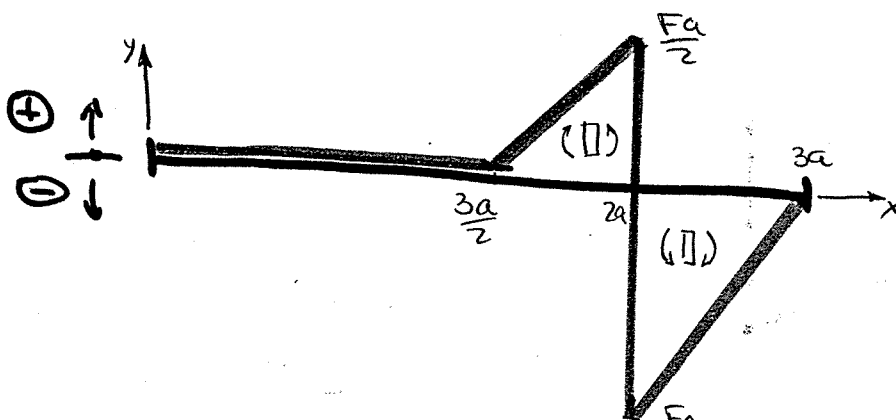
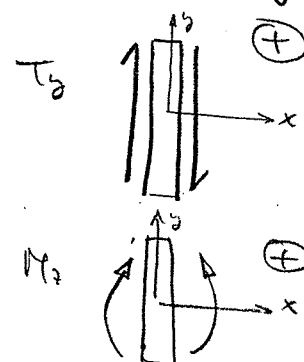


DIAGRAMA M_z

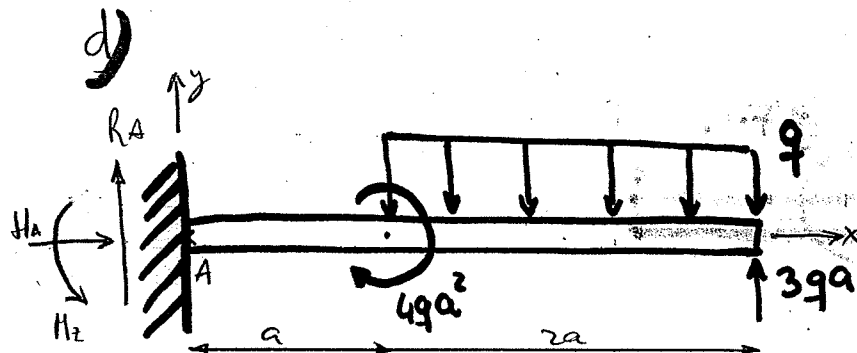


Criterio de signos

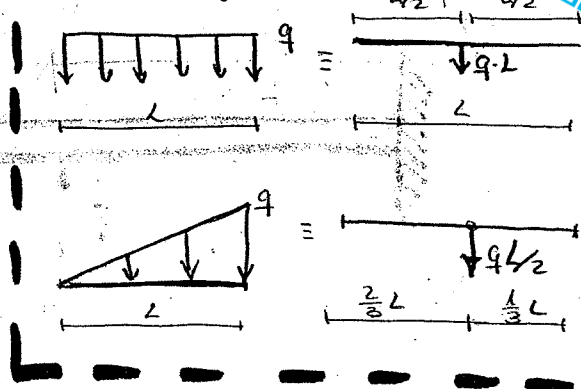


$$\begin{aligned} & M_1 = 0 \\ & M_2 = -Fa \quad M_2 = -F \cdot a \\ & M_3 = -Fa + \frac{3}{2}Fa \quad M_3 = \frac{a}{2}F \\ & \text{Salto en ley de momento de valor } \frac{3}{2}Fa \end{aligned}$$

$$\begin{aligned} & M_4 = 0 \\ & M_5 = -F \frac{3}{2}a + F \frac{3}{2}a \quad M_5 = 0 \end{aligned}$$



NOTA !! Cargas repartidas



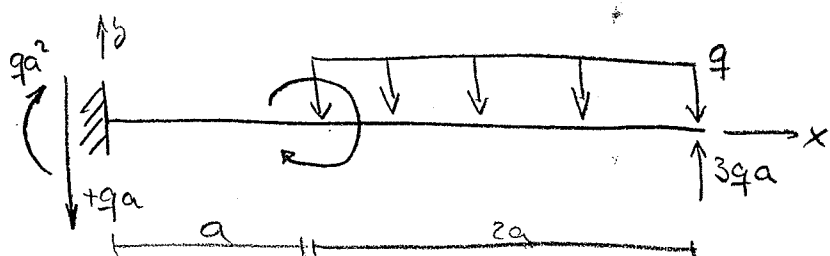
Reacciones: Equilibrio Estático

$$\sum F_x = 0 \rightarrow H_A = 0$$

$$\sum F_y = 0 \rightarrow R_A - q \cdot 2a + 3qa = 0 \rightarrow R_A = -qa$$

$$\sum M_A = 0 \rightarrow M_z - 4qa^2 - (q \cdot 2a) \cdot 2a + 3qa \cdot 3a = 0$$

$$M_z = -qa^2$$



Criterio de signos \oplus

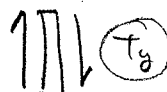
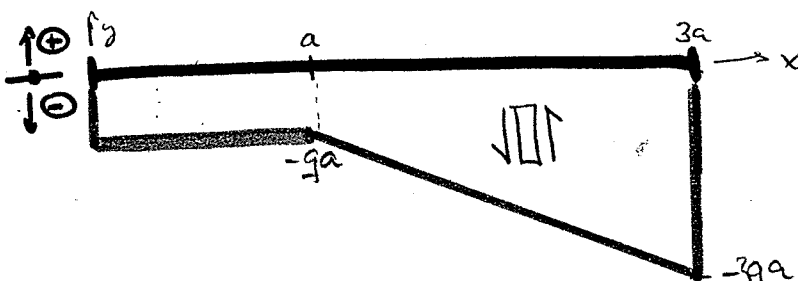
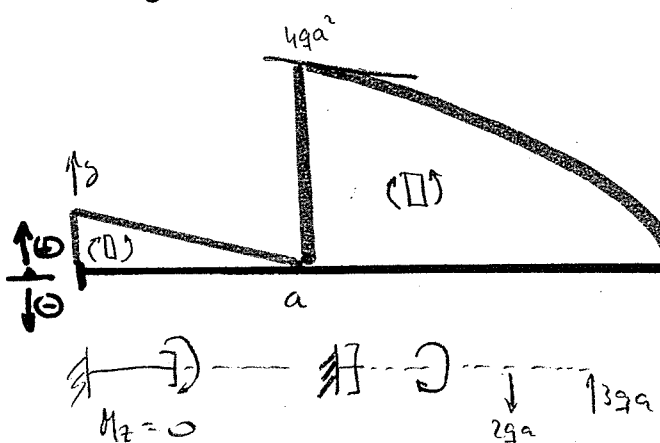


DIAGRAMA T_S



Como no hay cargas aplicadas no hay saltos bruscos en la ley de constante

Diagrama M_Z



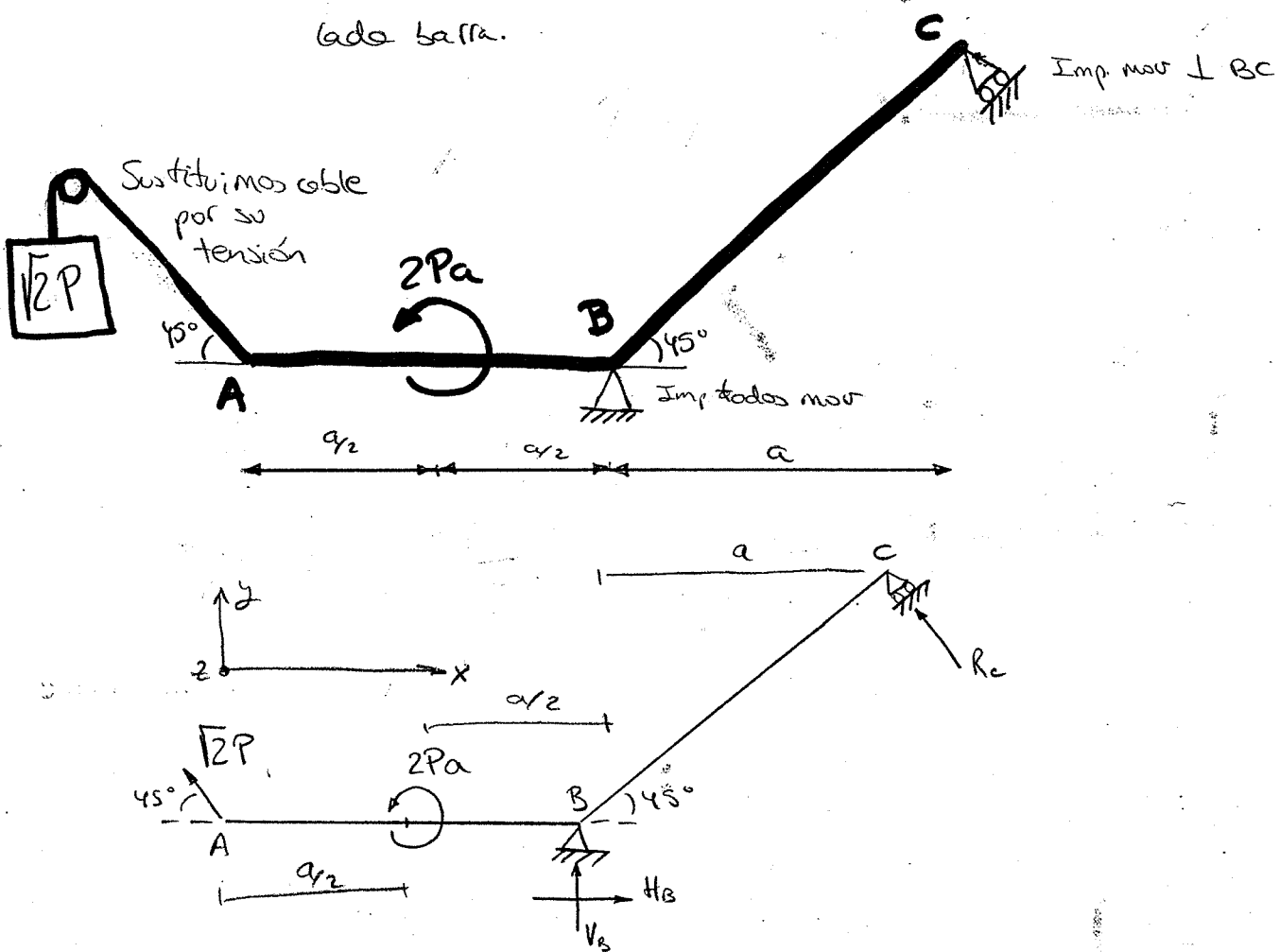
$$\int f_y dx \quad M_z = 0$$

$$\int q \cdot 2a \cdot x \cdot dx \quad M_z = 3qa \cdot 2a - 2qa^2 = 4qa^2$$

Pendientes
En a: Negativa (-qa, ver diag T_S)
En 2a: Negativa y mayor que en a (-3qa, ver diag T_S)

$$M_z = qa^2 - 4qa^2 - 4qa^2 = qa^2$$

Ejercicio 12: La estructura plana de la figura está sostenida por dos apoyos. En B están impididos todos los desplazamientos y en C está impedido el desplazamiento perpendicular a BC. El cable apoya en una polea de radio despreciable y se une a la estructura en A. Dibuje los diagramas acostados de esfuerzos en ABC, indicando claramente el criterio de signo seguido para cada barra.



Reacciones. EQUILIBRIO ESTÁTICO

$$\left\{ \begin{array}{l} \sum F_x = 0 \rightarrow -\sqrt{2}P \frac{1}{\sqrt{2}} + H_B - R_c \frac{1}{\sqrt{2}} = 0 \\ \sum F_y = 0 \rightarrow \sqrt{2}P \frac{1}{\sqrt{2}} + V_B + \frac{1}{\sqrt{2}} R_c = 0 \\ \sum M_B = 0 \rightarrow \frac{1}{\sqrt{2}} R_c a + \frac{1}{\sqrt{2}} R_c a - \sqrt{2}P \frac{1}{\sqrt{2}} a + 2Pa = 0; R_c = -\frac{P \cdot a \sqrt{2}}{2a} = \frac{-P}{\sqrt{2}} // \\ H_B = \frac{-P}{\sqrt{2}} \frac{1}{\sqrt{2}} + P = \frac{P}{2} // \\ V_B = \frac{P}{2} - P = -\frac{P}{2} // \end{array} \right.$$

CRITERIO DE SIGNOS

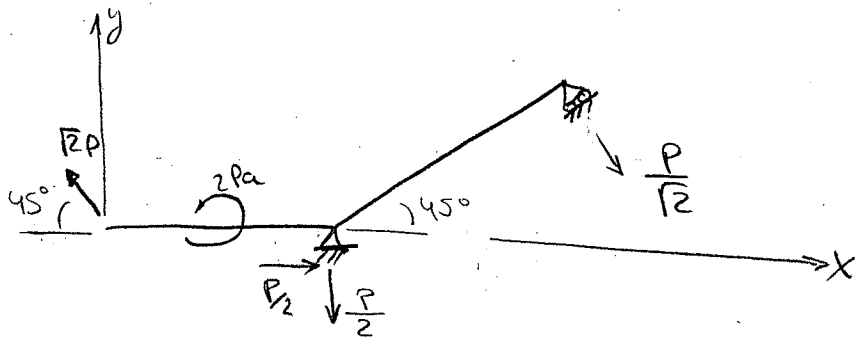
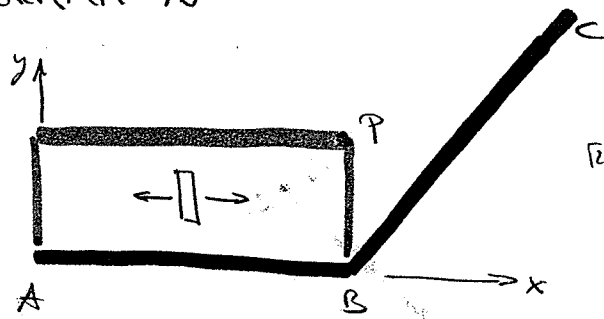


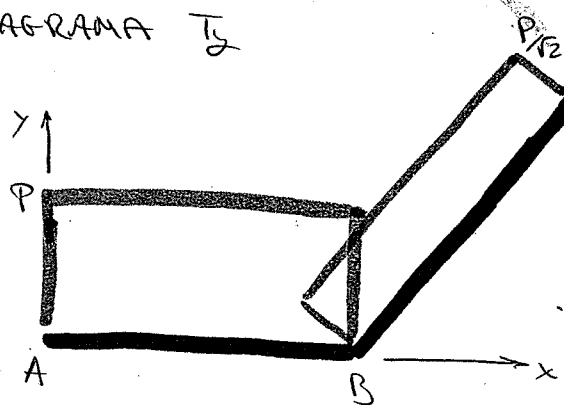
DIAGRAMA N



$$N=0 \Rightarrow \text{En todo la barra BC}$$

$$N=P \text{ hasta punto B}$$

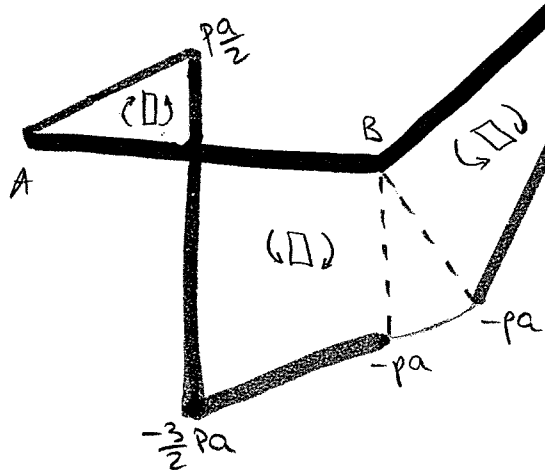
DIAGRAMA Ty



$$T_y = \frac{P}{f_2}$$

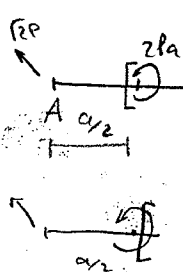
$$T_y = P$$

DIAGRAMA Mz



$$M_z = 0$$

$$M_z = -\frac{P}{f_2} f_2 a = -pa$$

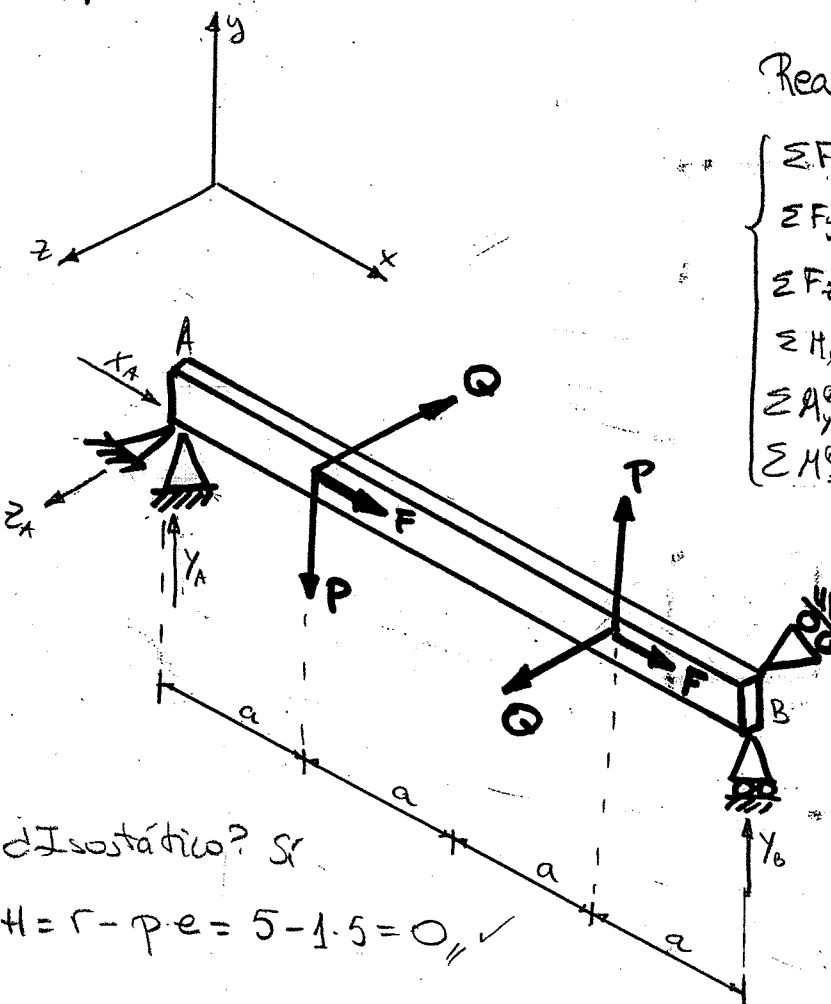


$$M_z = +P \frac{\alpha}{2}$$

$$M_z = P \frac{\alpha}{2} - 2Pa = -\frac{3}{2} Pa$$

Salto brusco

Ejercicio 1.4 (Ampliado) Realizar los diagramas de esfuerzos



¿Isostático? Sí.

$$FH = r - p \cdot e = 5 - 1.5 = 0 \quad \checkmark$$

Reacciones: EQUILIBRIO ESTÁTICO

$$\begin{cases} \sum F_x = 0 \Rightarrow X_A + F + F = 0 & (1) \\ \sum F_y = 0 \Rightarrow Y_A - P + P + Y_B = 0 & (2) \\ \sum F_z = 0 \Rightarrow Z_A - Q + Q + Z_B = 0 & (3) \\ \sum M_x = 0 \Rightarrow \cancel{\dots} & \cancel{\dots} \\ \sum M_y = 0 \Rightarrow Qa - Q \cdot 3a - Z_B \cdot 4a = 0 & (4) \\ \sum M_z = 0 \Rightarrow -Pa + P \cdot 3a + Y_B \cdot 4a = 0 & (5) \end{cases}$$

Resolviendo:

$$\text{De (1): } X_A = -2F \quad \text{De (4): } Z_B = \frac{2Qa}{-4a} = -\frac{Q}{2}$$

De (5):

$$Y_B = \frac{-2pa}{4a} = -\frac{p}{2}$$

De (2):

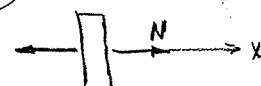
$$Y_A = -Y_B = \frac{P}{2}$$

De (3):

$$Z_A = -Z_B = \frac{Q}{2}$$

Criterio de signos positivo

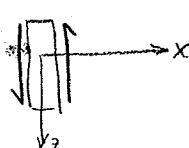
Normal: \textcircled{N}



Girante: \textcircled{T}_y

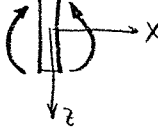


\textcircled{T}_z



Momento flectores

\textcircled{M}_y



\textcircled{M}_z

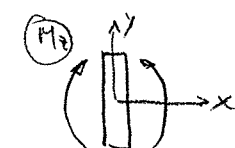
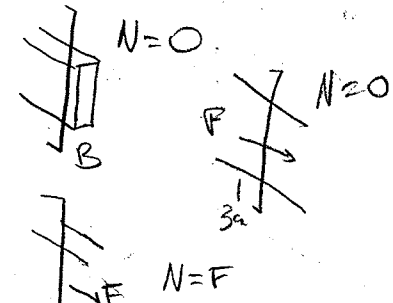
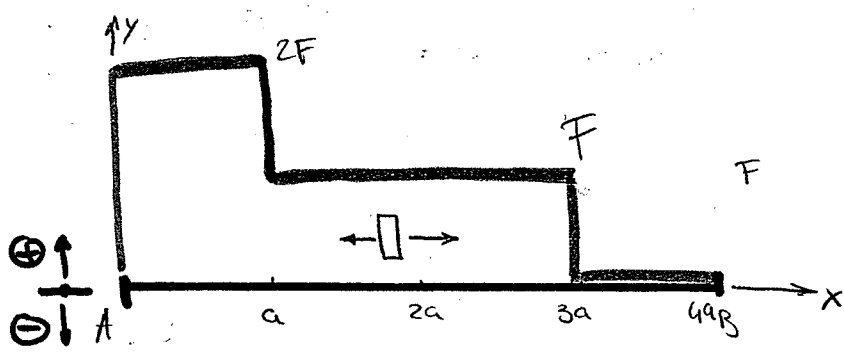
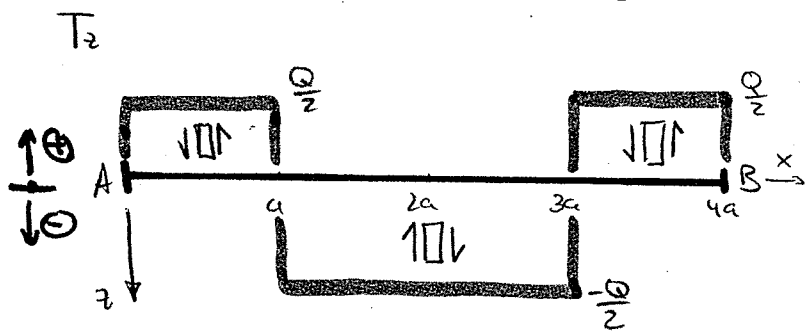
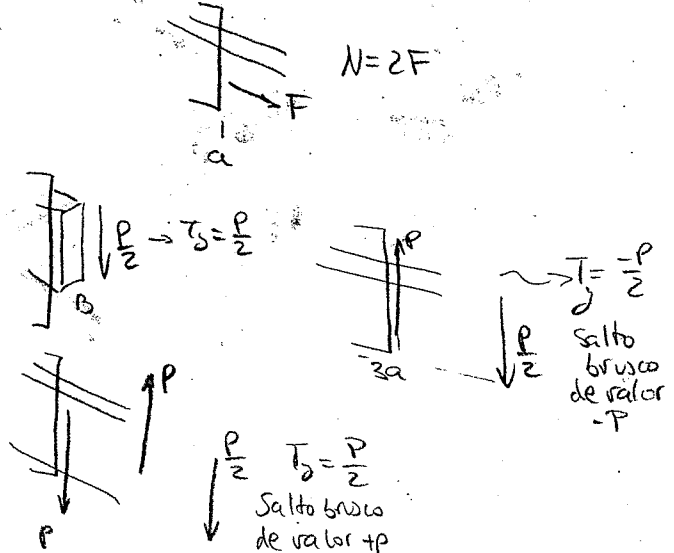
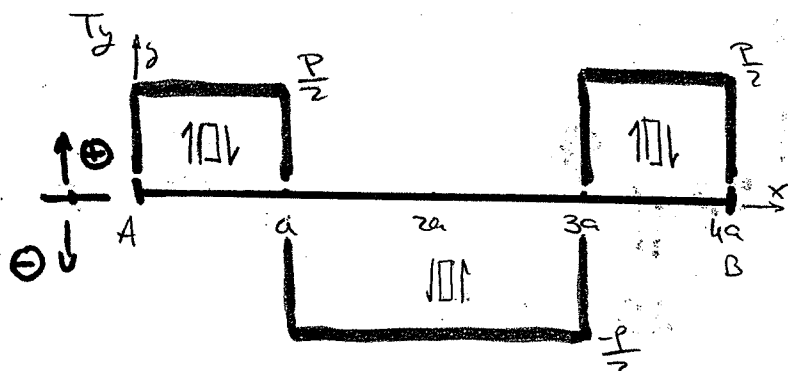


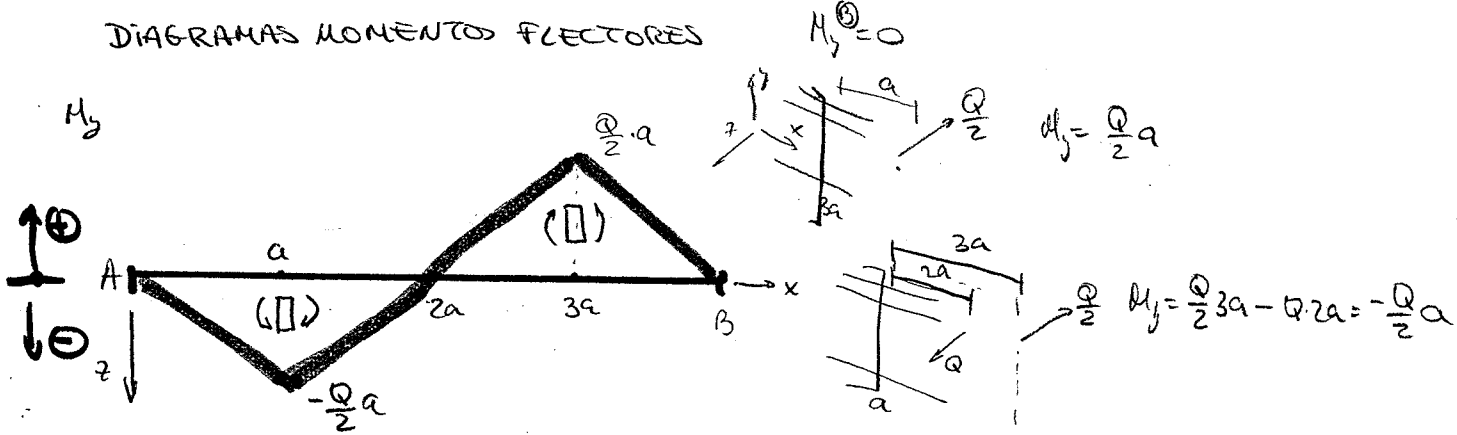
DIAGRAMA ESFUERZO NORMAL: N

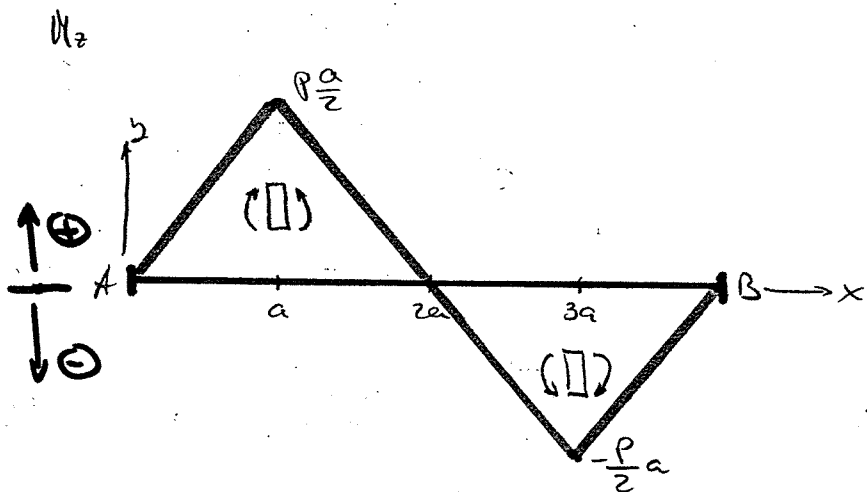


DIAGRAMAS ESFUERZOS CORINTANTES: T_y



DIAGRAMAS MOMENTOS FLECTORES: M_y



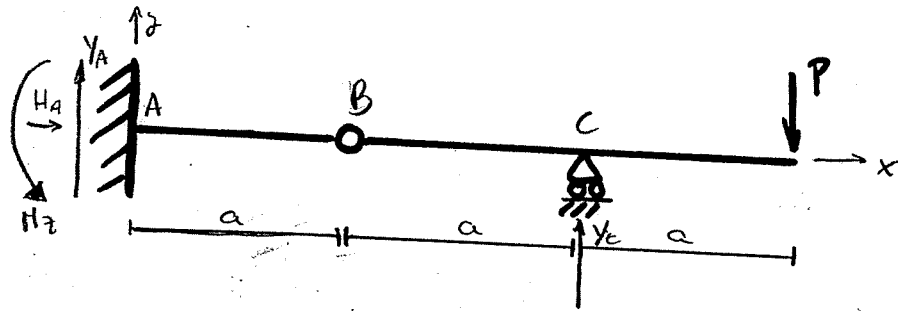


$$M_z @ = 0$$

$$M_z = -\frac{P}{2}a$$

$$\begin{aligned} M_z &= -\frac{P}{2}3a + p \cdot 2a = \\ &\sqrt{\frac{P}{2}} = \frac{P}{2}a \end{aligned}$$

Ejercicio 1.14 Dibujar los diagramas de esfuerzos de la estructura



$$\text{De (3)} \rightarrow Y_B = 2P \xrightarrow{(2)} M_z = 3pa - Y_B 2a = -pa$$

$$\xrightarrow{(4)} Y_A = \frac{M_z}{a} = -p$$

Reacciones: EQ. ESTÁTICO

$$\sum F_x = 0 \rightarrow H_A = 0$$

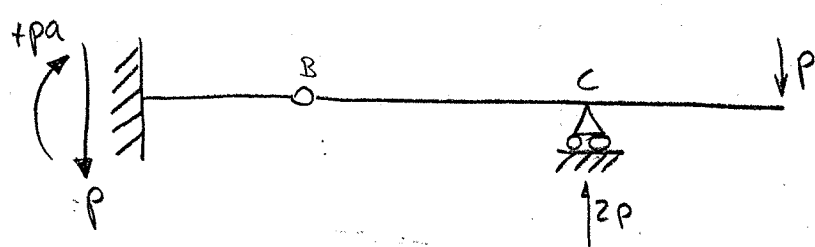
$$\sum F_y = 0 \rightarrow Y_A + Y_C - P = 0 \quad (1)$$

$$\sum M_z = 0 \rightarrow M_z + Y_C 2a - P \cdot 3a = 0 \quad (2)$$

$$\text{Rota la } \Rightarrow M_B = 0 \quad (\text{[F]} \xrightarrow{M_z = 0})$$

$$\text{Gra frontal: } Y_B a - p \cdot 2a = 0 \quad (3)$$

$$\text{Gra dorsal: } Y_A a - M_z = 0 \quad (4)$$



Criterio de signos \oplus :

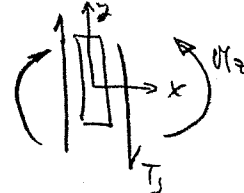


DIAGRAMA CORTANTE: T_3

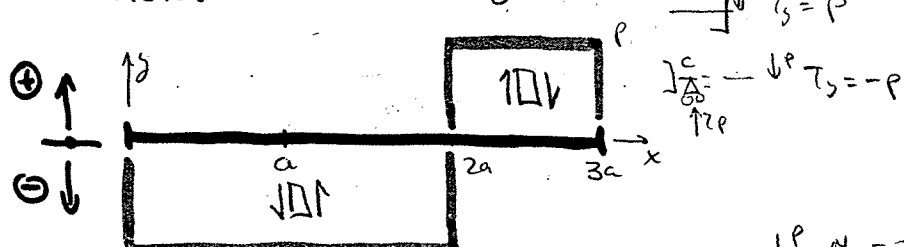
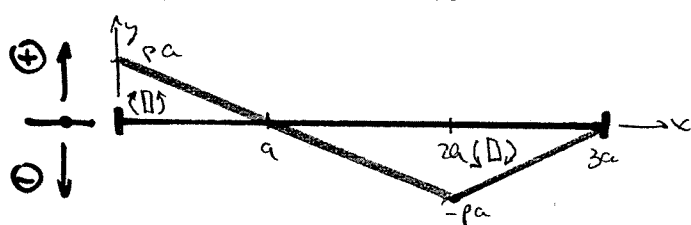
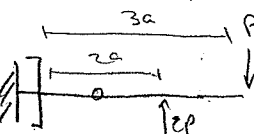


DIAGRAMA FLECTOR: M_z



$$\begin{aligned} \downarrow P \quad M_z = 0 \\ \downarrow P \quad M_z = -pa \end{aligned}$$



$$M_z = -p3a + 2p2a = pa$$

$$\begin{aligned} \downarrow P \quad M_z = 0 \\ \downarrow P \quad M_z = -pa + 2pa = pa \end{aligned}$$

NOTA!! Aclaración para cálculos de GH

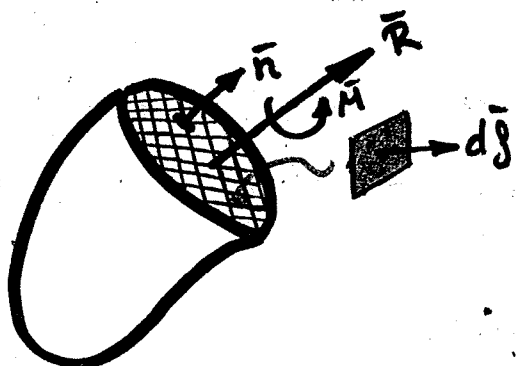
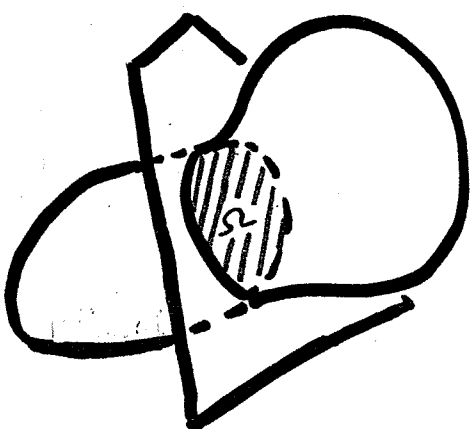
CABLE: se sustituirá por su tensión \rightarrow 1 rect
0 cond. enlace

ARTIC DESLIZANTE \rightarrow 1 r externo
2 cond. enlace

RÓTULA \rightarrow 2 r internos por barra en todos los barras menos 1
 $\rightarrow e = n^{\circ}$ barras en rótula - 1

TENSIÓN Y DEF. COMP. ELÁSTICO

Lección 5: CONCEPTO DE TENSIÓN. COMPONENTES INTRÍNSICAS



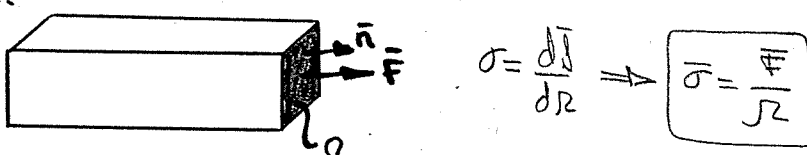
Se define tensión como:

$$\bar{R} = \iint_S d\bar{S} \quad \bar{M} = \iint_S (\bar{F} \wedge d\bar{S})$$

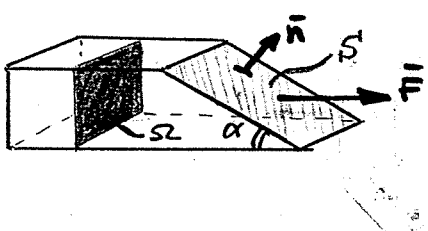
$$\sigma(P, \bar{n}) = \frac{d\bar{S}}{d\Omega}$$

P = punto
 \bar{n} = normal a la superficie S
hacia el exterior del sólido

Ejemplos:



$$\sigma = \frac{d\bar{S}}{d\Omega} \Rightarrow \bar{\sigma} = \frac{\bar{F}}{A}$$



La superficie que hemos de tomar es S . Siendo $S \cdot \sin \alpha = S_2$, por tanto:

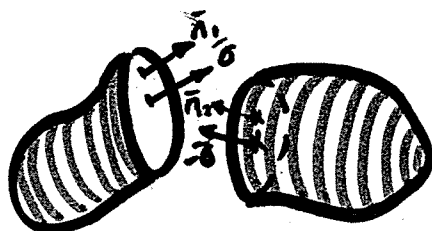
$$\bar{\sigma} = \frac{\bar{F}}{S_2} = \frac{\bar{F}}{A \sin \alpha}$$

= UNIDADES Y DIMENSIONES

$$[\sigma] = \left[\frac{\bar{F}}{S} \right] = \left[\frac{MLT^{-2}}{L^2} \right] = \left[\frac{MT^{-2}}{L} \right] = [ML^{-1}T^{-2}]$$

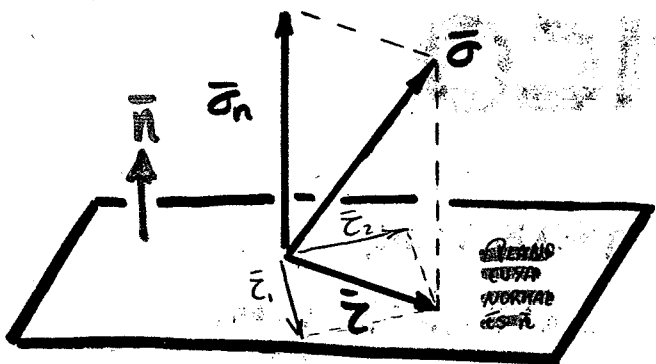
Unidad del S.I.: $\frac{N}{m^2} = Pa$; frecuentemente usaremos

$MPa = \frac{1N}{mm^2}$; Otras: $1\text{Atm} = 1.01325\text{ bar}$ $1\text{bar} = 10^5\text{ Pa}$



= COMPONENTES INTRÍNSECAS

Son aquellos que no dependen del sistema de coordenadas elegido



$$\bar{\sigma} = (\sigma_x, \sigma_y, \sigma_z)$$

$$\bar{n} = (\alpha, \beta, \gamma) \equiv |\bar{n}| = 1$$

$\bar{\sigma}_n$: componente intrínseca normal o tensión normal

$\bar{\tau}$: componente intrínseca tangencial o tensión tangencial: τ_x, τ_y, τ_z

$$\sigma_n = \alpha \sigma_x + \beta \sigma_y + \gamma \sigma_z \rightarrow \bar{\sigma}_n = \sigma_n \bar{n}$$

$$\sigma^2 = \sigma_n^2 + \tau^2 \rightarrow \tau^2 = \sigma^2 - \sigma_n^2 = (\sigma_x^2 + \sigma_y^2 + \sigma_z^2) - (\alpha \sigma_x + \beta \sigma_y + \gamma \sigma_z)^2$$

$$\bar{\sigma} = \bar{\tau} + \bar{\sigma}_n \rightarrow \bar{\tau} = \bar{\sigma} - \bar{\sigma}_n$$

= CRITERIO DE SIGNOS

$\bar{n} \oplus$: hacia el exterior del sólido

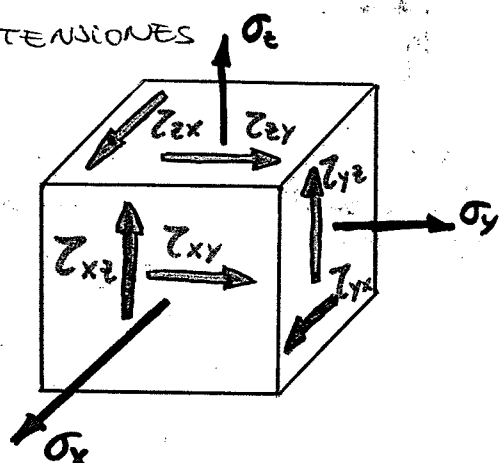
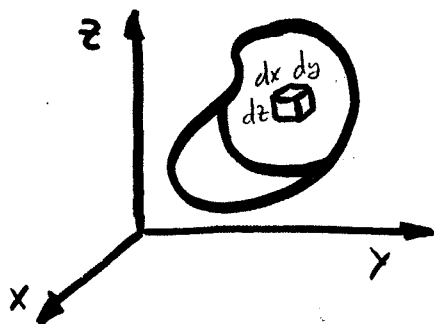
$\bar{\sigma}_n \oplus$ si lleva sentido de $\bar{n} \Rightarrow$ TRACCIÓN

$\bar{\sigma}_n \ominus$ si lleva sentido contrario a $\bar{n} \Rightarrow$ COMPRESIÓN

$\bar{\sigma}_n = 0$ No hay tensión normal \Rightarrow CORTADURA PURA

$\bar{\tau} = 0$ No hay tensión tangencial \Rightarrow TRACCIÓN COMPRESIÓN PURA

= TENSOR O MATRIZ DE TENSIONES



Tensor o matriz de tensiones: Sólo depende del punto.

$$[T] = \begin{bmatrix} \sigma_x & \tau_{xy} & \tau_{xz} \\ \tau_{yx} & \sigma_y & \tau_{yz} \\ \tau_{zx} & \tau_{zy} & \sigma_z \end{bmatrix}$$

Es un tensor simétrico

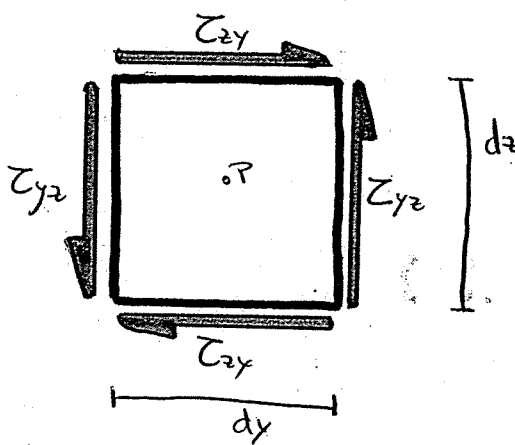
$$\tau_{xy} = \tau_{yx}$$

$$\tau_{xz} = \tau_{zx}$$

$$\tau_{yz} = \tau_{zy}$$

Demo simetría: PRINCIPIO DE RECIPROCEDAD DE TENSIONES TANGENCIALES

Aislamos la cara delantera del elemento diferencial



Por equilibrio
 $\sum M_p = 0$

$$2\tau_{yz} \underbrace{dx dz \cdot \frac{dy}{2}}_{\text{brazo}} - 2\tau_{zy} dx dy \underbrace{\frac{dz}{2}}_{\text{brazo}} = 0$$

Acta sobre
la que
está aplicada

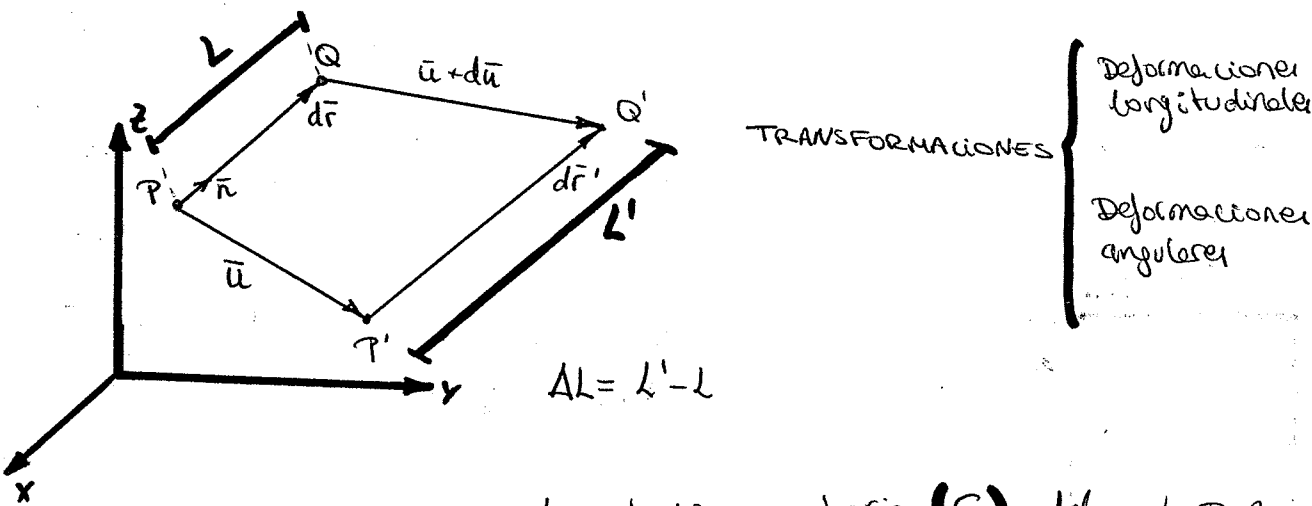
$$\Rightarrow \tau_{yz} = \tau_{zy}$$

El tensor tendrá
por tanto 6 in-
cognitas

Lección 6: CONCEPTO DE DEFORMACIÓN

Sea el sólido elástico con P, Q , puntos pertenecientes al sólido, muy próximos.

\bar{u} : vector desplazamiento



Se define deformación longitudinal unitaria (E) del punto P en la dirección \bar{n} como la diferencia entre las longitudes final e inicial del segmento (PQ ó PQ') entre la longitud inicial

$$E(P, \bar{n}) = \frac{dr' - dr}{dr} = \frac{\Delta L}{L}$$

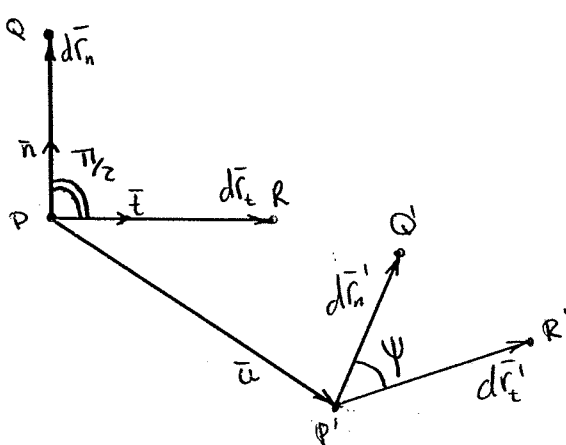
= CRITERIO DE SIGNOS

- $E > 0 \Rightarrow \Delta L > 0$ Alargamiento
- $E < 0 \Rightarrow \Delta L < 0$ Ashortamiento

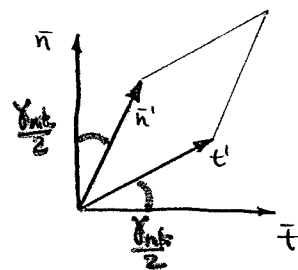
= DIMENSIONES Y UNIDADES

$[E]$ = adimensional

Deformación angular (γ_{nt}) se define como:



$$\gamma_{nt} = \frac{\pi}{2} - \psi, \quad \gamma_{nt}(P, \bar{n}, \bar{t})$$



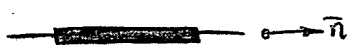
= CRITERIO DE SIGNOS

Positivo si se produce cierre de ángulo

= VECTOR DEFORMACIÓN

$$\vec{E} = E_n \vec{n} + \frac{1}{2} \gamma_{nt} \vec{t}$$

= GALGA EXTENSIONÉTRICA \rightarrow Mide E_n



Es un elemento cuya resistencia eléctrica varía con la deformación de forma que permite medir E_n .

= TENSOR O MATRIZ DE DEFORMACIONES

$$[\epsilon] = \begin{bmatrix} \epsilon_x & \frac{1}{2}\gamma_{xy} & \frac{1}{2}\gamma_{xz} \\ \frac{1}{2}\gamma_{yx} & \epsilon_y & \frac{1}{2}\gamma_{yz} \\ \frac{1}{2}\gamma_{zx} & \frac{1}{2}\gamma_{zy} & \epsilon_z \end{bmatrix}$$

Deformaciones angulares y longitudinales referidas a un sistema (x, y, z)

Complejo principio de reciprocidad para deformaciones angulares \rightarrow Tensor simétrico.

Para galgas:

$$E_n = \epsilon_x \alpha^2 + \epsilon_y \beta^2 + \epsilon_z \gamma^2 + \gamma_{xy} \alpha \beta + \gamma_{xz} \alpha \gamma + \gamma_{yz} \beta \gamma$$

Lección 7: RELACIÓN ENTRE TENSIÓN Y DEFORMACIÓN.- Comportamiento elástico -.

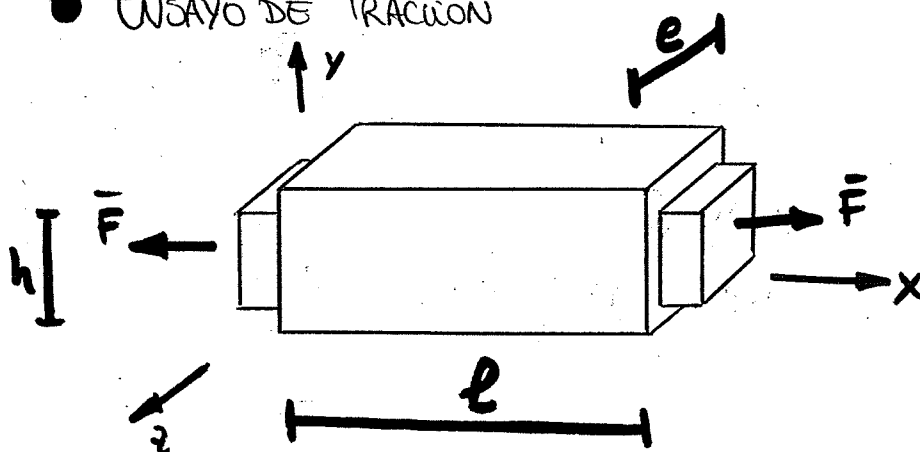
Sólido ELÁSTICO

comportamiento:

- Elástico = Cuando la perturbación vuelve a su estado inicial
- Lineal = Proporcionalidad acción-movimiento

propiedades \rightarrow Homogeneidad, isotropía, continuidad

● ENSAYO DE TRACCIÓN



TENSIONES

$$\begin{aligned}\sigma_x &= \frac{F}{\mathcal{A}} & \tau_{xy} &= 0 \\ \sigma_y &= 0 & \tau_{xz} &= 0 \\ \sigma_z &= 0 & \tau_{yz} &= 0\end{aligned}$$

DEFORAMACIONES

$$\begin{aligned}\epsilon_x &= \frac{\Delta l}{l} & \gamma_{xy} &= 0 \\ \epsilon_y &= \frac{\Delta h}{h} & \gamma_{xz} &= 0 \\ \epsilon_z &= \frac{\Delta e}{e} & \gamma_{yz} &= 0\end{aligned}$$

• LEY DE HOOKE

Establece la proporcionalidad entre tensiones y deformaciones

Tracción pura

$$\sigma_x = E \epsilon_x$$

En este caso, entre tensiones normales y def. longitudinales

Con E = Módulo de Young (elasticidad), es característico del material y representa su resistencia a deformarse

Unidades $[E] = \left[\frac{F}{L^2} \right] \Rightarrow \begin{cases} \text{MPa} = N/mm^2 \\ \text{Pa} = N/m^2 \end{cases}$

ÓRDENES DE MAGNITUD DE E

Aero $\Rightarrow E_a \approx 210000 \text{ MPa}$

Hormigón $\Rightarrow E_h \approx 30000 \text{ MPa}$

Aluminio $\Rightarrow E_{al} \approx 70000 \text{ MPa}$

(Coeficiente de Poisson (ν))

Tracción pura

$$\begin{aligned}\epsilon_y &= -\nu \epsilon_x = -\nu \frac{\sigma_x}{E} \\ \epsilon_z &= -\nu \epsilon_x = -\nu \frac{\sigma_x}{E}\end{aligned}$$

efecto Poisson
 $\Rightarrow \epsilon_y = \epsilon_z$

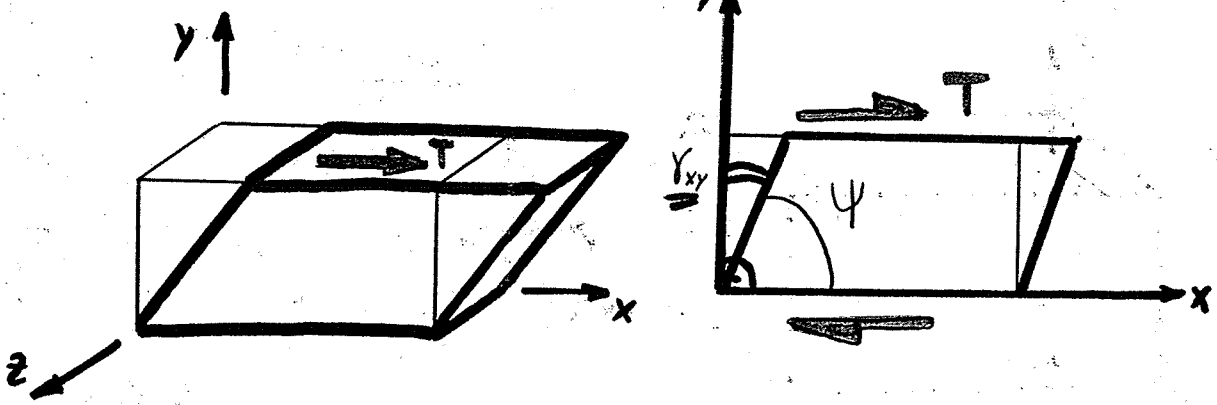
- Por la isotropía -

$[\nu]$ = adimensional ; depende de las características del material,

tome valores $0 < \nu < 0,5$ Ejemplo: Acero $\rightarrow \nu = 0,3$

Hormigón $\rightarrow \nu = 0,2$

• ENSAYO DE CORTADURA



TENSIONES

$$\begin{aligned}\sigma_x &= 0 & \tau_{yz} &= \frac{T}{2} \\ \sigma_y &= 0 & \tau_{xz} &= 0 \\ \sigma_z &= 0 & \tau_{xy} &= 0\end{aligned}$$

DEFORMACIONES

$$\begin{aligned}\epsilon_x &= 0 & \gamma_{xy} &\neq 0 \\ \epsilon_y &= 0 & \gamma_{xz} &= 0 \\ \epsilon_z &= 0 & \gamma_{yz} &= 0\end{aligned}$$

= LEY DE HOOKE

Establece la proporcionalidad entre tensiones y deformaciones

$$\tau_{xy} = G \gamma_{xy}$$

En este caso, entre tensiones tangenciales y deformaciones angulares

con $G = \text{Módulo de elasticidad transversal}$

$$[G] = \left[\frac{F}{L^2} \right] \Rightarrow \begin{cases} \text{MPa} = \text{N/mm}^2 \\ \text{Pa} = \text{N/m}^2 \end{cases}$$

$$G = \frac{\epsilon}{2(1+\nu)}$$

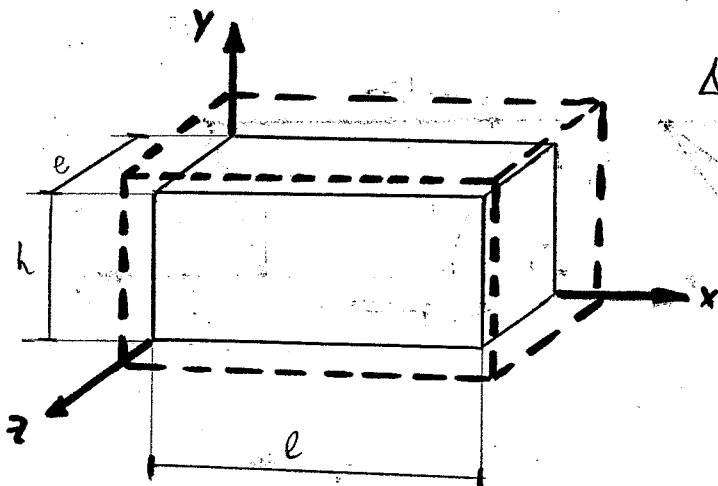
→ LEYES DE HOOKE GENERALIZADAS (sin salto térmico)

$$\epsilon_x = \frac{1}{E} [\sigma_x - \nu (\sigma_y + \sigma_z)] ; \quad \gamma_{xy} = \tau_{xy}/G$$

$$\epsilon_y = \frac{1}{E} [\sigma_y - \nu (\sigma_x + \sigma_z)] ; \quad \gamma_{xz} = \tau_{xz}/G$$

$$\epsilon_z = \frac{1}{E} [\sigma_z - \nu (\sigma_x + \sigma_y)] ; \quad \gamma_{yz} = \tau_{yz}/G$$

Efecto Térmico



$$\Delta T = T - T_0 \quad \begin{cases} T \rightarrow \text{Temperatura final} \\ T_0 \rightarrow \text{Temperatura inicial} \end{cases}$$

$\Delta T < 0$: enfriamiento
 $\Delta T > 0$: calentamiento

Salto térmico

TENSIONES Si el sólido está libre de coacciones, todos los tensiones son nulos

$$\sigma_x = 0; \sigma_y = 0; \sigma_z = 0; \tau_{xy} = 0; \tau_{xz} = 0; \tau_{yz} = 0$$

DEFORMACIONES

$$\Delta l = l \Delta T \cdot \alpha \quad \epsilon_x = \frac{\Delta l}{l} \rightarrow \epsilon_x = \Delta T \cdot \alpha$$

$$\Delta h = h \Delta T \cdot \alpha \quad \epsilon_y = \frac{\Delta h}{h} \rightarrow \epsilon_y = \Delta T \cdot \alpha$$

$$\Delta e = e \Delta T \cdot \alpha \quad \epsilon_z = \frac{\Delta e}{e} \rightarrow \epsilon_z = \Delta T \cdot \alpha$$

No hay deformaciones angulares $\gamma_{xy} = \gamma_{xz} = \gamma_{yz} = 0$

→ LEYES DE HOOKE GENERALIZADAS CON SALTO TÉRMICO

$$\epsilon_x = \frac{1}{E} \left[\sigma_x - \nu (\sigma_y + \sigma_z) \right] + \alpha \Delta T \quad \gamma_{xy} = \frac{\tau_{xy}}{G}$$

$$\epsilon_y = \frac{1}{E} \left[\sigma_y - \nu (\sigma_x + \sigma_z) \right] + \alpha \Delta T \quad \gamma_{xz} = \frac{\tau_{xz}}{G}$$

$$\epsilon_z = \frac{1}{E} \left[\sigma_z - \nu (\sigma_x + \sigma_y) \right] + \alpha \Delta T \quad \gamma_{yz} = \frac{\tau_{yz}}{G}$$

Lección 8: ENERGÍA ELÁSTICA. TEOREMAS ENERGÉTICOS

= POTENCIAL INTERNO



$$W_e = Q + \Delta E$$

$$\text{Siendo } \Delta E = \Delta C + \Delta P + \Delta U$$

↑ ↑ ↑
 E. cinética E. elástica E. Potencial

Sólido ELÁSTICO

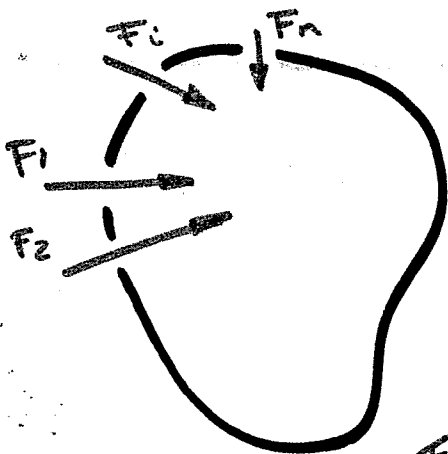
$$Q=0 \text{ (no hay desprendimiento de calor por tratar procesos reversibles)} \quad \boxed{W_e = \Delta E = \Delta U}$$

$$\Delta C=0 \text{ (no hay movimiento del sólido)} \quad \boxed{\Delta E = \Delta U}$$

$$\Delta P=0$$

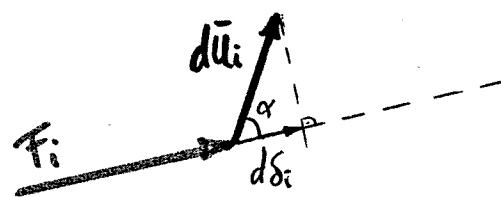
U = energía elástica, potencial interno o energía de deformación

$$dW = \underbrace{\left(\iint_S \bar{J}_S ds \right) d\bar{u}}_{\text{Fuerzas de superficie}} + \underbrace{\left(\iiint_V \bar{J}_V dv \right) d\bar{u}}_{\text{Fuerza de volumen}}$$



Aplicando el teorema de Saint Venant, las fuerzas pueden sustituirse por su resultante

$$dW = \sum_{i=1}^n \bar{F}_i \cdot d\bar{u}_i = \sum_{i=1}^n \bar{F}_i \cdot d\bar{u}_i \cdot \cos \alpha = \sum_{i=1}^n \bar{F}_i dS_i \quad (*)$$

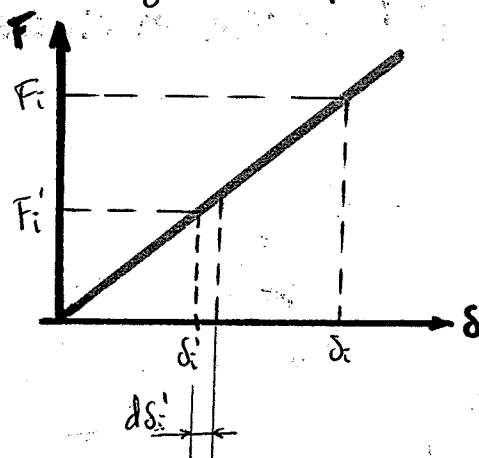


\bar{u}_i = Desplazamiento efectivo

- Sentido positivo el de la fuerza, en su misma dirección

Por principio de proporcionalidad si F_i y δ_i son proporcionales.

$$F_i = K \delta_i \text{ con } K = \text{cte}$$



(*)

$$dW = \sum_{i=1}^n F_i d\delta_i = \sum_{i=1}^n K \delta_i d\delta_i$$

FÓRMULA DE CLAPEYRON

$$W = \int_0^{\delta_i} \sum_{i=1}^n K \delta_i d\delta_i = \sum_{i=1}^n K \frac{\delta_i^2}{2} \Rightarrow$$

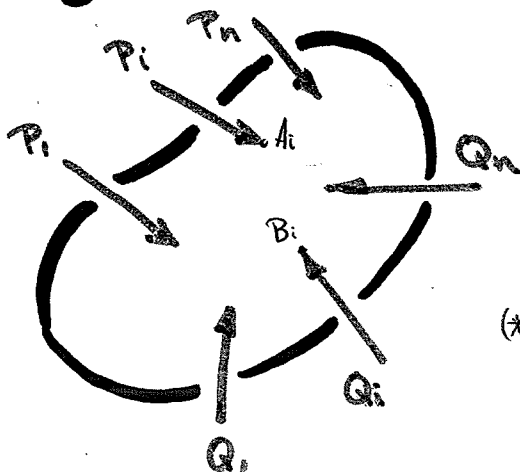
$$W = \frac{1}{2} \sum_{i=1}^n F_i \delta_i$$

También podríamos escribir la fórmula en función de las tensiones y deformaciones ($F_i \delta_i \approx$ Tensión · deformación asociada)

$$\boxed{U = \sum_{i=1}^n \frac{1}{2} F_i \delta_i = \frac{1}{2} \iiint_{\text{vol}} (\epsilon_x \sigma_x + \epsilon_y \sigma_y + \epsilon_z \sigma_z + \gamma_{xy} \tau_{xy} + \gamma_{xz} \tau_{xz} + \gamma_{yz} \tau_{yz}) dV}$$

TEOREMAS ENERGÉTICOS

1. TEOREMA DE RECIPROCIDAD O MAXWELL-BETTI



A) Aplicando primero P_i y después Q_i

$$U_a = \underbrace{\left(\sum \frac{1}{2} P_i \delta_{AP_i} \right)}_{\text{Aplicamos Clapeyron}} + \underbrace{\left(\sum \frac{1}{2} Q_i \delta_{BQi} + \sum P_i \delta_{AQi} \right)}_{(*)}$$

(*) δ_{AQi} es lo que se han desplazado los puntos de aplicación A de la fuerza P_i cuando hemos añadido Q_i . Los puntos A de la fuerza P_i cuando hemos añadido Q_i . Los puntos se habrán desplazado una distancia δ_{AQi} igual a la fuerza P_i que sea constante y por tanto, el trabajo valdrá

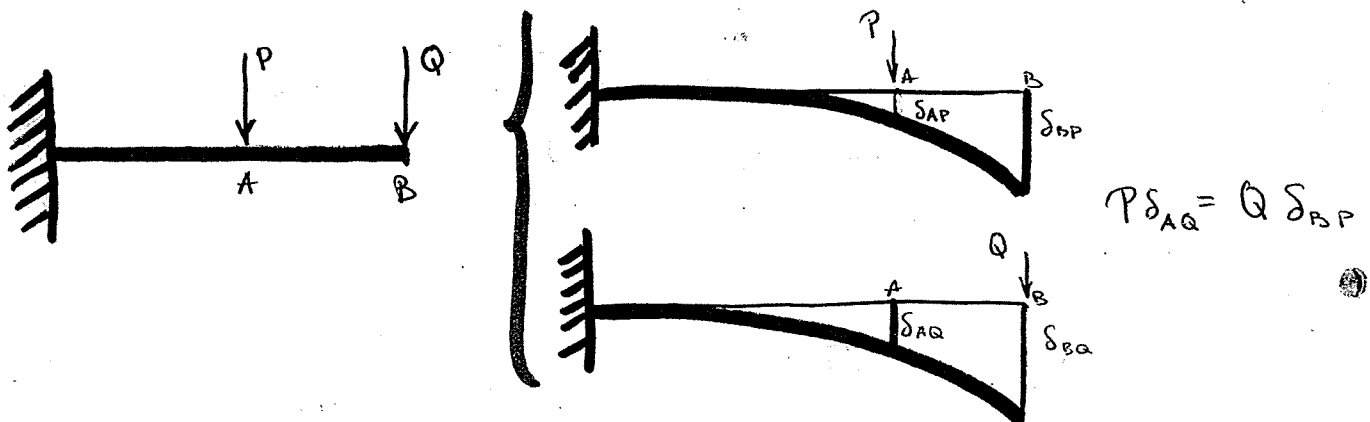
$$W = \int_0^{\delta_{AQi}} P_i d\delta = P_i \delta_{AQi}$$

B) Aplicando primero Q_i y después P_i

$$U_b = \left(\sum \frac{1}{2} Q_i S_{BQi} \right) + \left(\sum \frac{1}{2} P_i S_{AQi} + \sum Q_i S_{BPi} \right)$$

luego $U_a = U_b \Rightarrow \sum Q_i S_{BPi} = \sum P_i S_{AQi}$

"El trabajo ejercido por un grupo de cargas P_i cuando actúa en grupo de cargas Q_i es el mismo que ejercería el grupo de cargas Q_i cuando actúa P_i ".



● 2- TEOREMA DE CASTIGLIANO

La derivada del potencial respecto a una fuerza es igual al desplazamiento efectivo de dicha fuerza.

$$\frac{\partial U}{\partial F_i} = \delta_i$$

Demo: $U = \sum \frac{1}{2} F_i \delta_i = \frac{1}{2} (F_1 \delta_1 + F_2 \delta_2 + \dots + F_i \delta_i + \dots)$

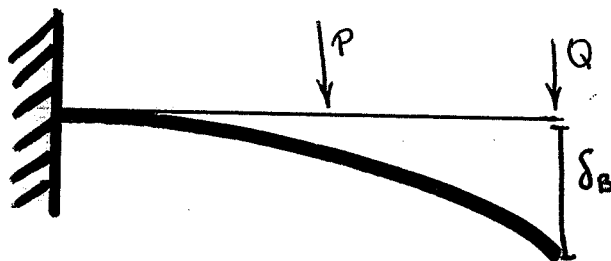
$$\frac{\partial U}{\partial F_i} = \frac{1}{2} \left(\delta_i + \sum_k^n F_k \frac{\partial \delta_k}{\partial F_i} \right) = \frac{1}{2} \left(\delta_i + \sum_k^n F_k \frac{\delta_{ik}}{F_k} \right) = \frac{1}{2} (\delta_i + \delta_i) = \delta_i$$

$$\delta_k = \delta_{k1}(F_1) + \delta_{k2}(F_2) + \dots + \delta_{ki}(F_i) + \dots \text{ por TPIO DE PROP. } \frac{\partial \delta_k}{\partial F_i} = \frac{\partial \delta_i}{\partial F_k}$$

$$(4) \frac{\partial \delta_k}{\partial F_i} = \frac{\partial \delta_{ki}}{\partial F_i} = \frac{\delta_{ki}}{F_i} = \frac{\delta_{ik}}{F_k}$$

Más sencillo: $\frac{\partial U}{\partial F_i} = \frac{1}{2} \left(\delta_i + F_i \frac{\partial \delta_i}{\partial F_i} \right) = \frac{1}{2} \left(\delta_i + F_i \frac{\delta_i}{F_i} \right) = \delta_i$

"En todo sist. elástico sometido a un sistema de fuerzas en equilibrio la variación de trabajo interno para un incremento unitario de la fuerza aplicada en un punto cualquiera del mismo representa el desplazamiento del punto proyectado en la dirección de la fuerza siempre que el sistema se encuentre en régimen elástico".



CÁLCULO DE DESPLAZAMIENTOS

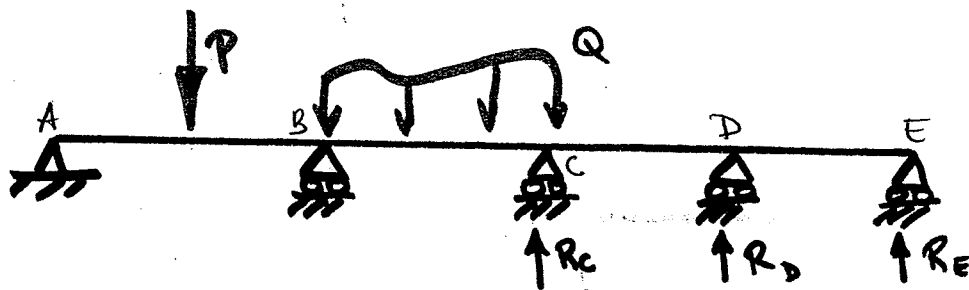
Aplico fuerza fija Q en el punto de desplazamiento B

$$U = U(P, Q); \quad \frac{\partial U(P, Q)}{\partial Q} = \delta_B(P, Q)$$

$$\text{Haciendo } Q=0 \rightarrow \delta_B = \delta_B(P)$$

TEOREMA DE MENABREA (o del trabajo mínimo)

En un sistema hiperestático:



Las 3 reacciones hiperestáticas
 R_C, R_D, R_E pueden calcularse liberando todos los wa-
cos excepto

la de los apoyos A y B y, por tanto, resolviendo la estructura ya isostática, en función de las 3 reacciones mencionadas.

Si calculamos la energía elástica U o potencial interno almacenado en la pieza, que resulta ser función de las 3 reacciones incógnitas, podríamos aplicar el 1º teorema de Castigliano teniendo en cuenta que en la estructura original los puntos C, D, E no sufren desplazamientos verticales por lo que:

$$\frac{\partial U}{\partial R_C} = \frac{\partial U}{\partial R_D} = \frac{\partial U}{\partial R_E} = 0$$

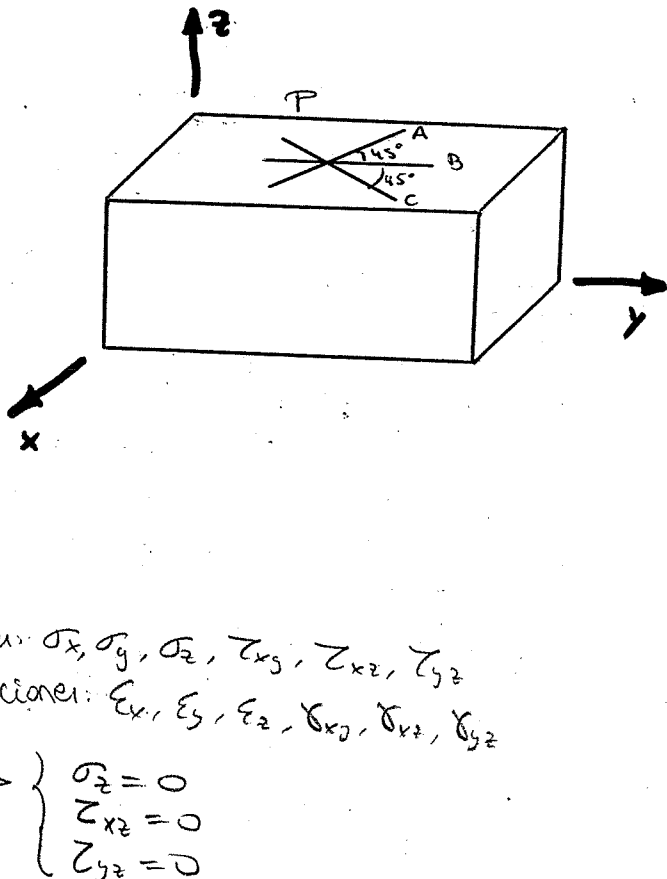
Los valores de las reacciones hiperestáticas que actúan sobre un sólido hacen mínima su energía elástica.

EJERCICIOS

Sobre el punto medio de la cara superior (P) del sólido elástico de la figura se ha fijado una roseta extensiométrica. Tras la puesta en tensión se han medido los siguientes valores ($K = 10^{-4}$)

$$\varepsilon_A = 1,5K \quad \varepsilon_B = 4K \quad \varepsilon_C = 1,5K$$

Se pide determinar el tensor de tensiones y de deformación en el punto P sabiendo que sobre los planos paralelos al XY las tensiones son nulas ($E = 2 \cdot 10^5 \text{ MPa}$; $\nu = 0,25$)



Necesitamos calcular: $\left\{ \begin{array}{l} \text{Tensor de tensiones: } \sigma_x, \sigma_y, \sigma_z, \tau_{xy}, \tau_{xz}, \tau_{yz} \\ \text{ " " deformación: } \varepsilon_x, \varepsilon_y, \varepsilon_z, \gamma_{xy}, \gamma_{xz}, \gamma_{yz} \end{array} \right.$

Datos \Rightarrow En planos paralelos al XY las tensiones son nulas $\Rightarrow \left\{ \begin{array}{l} \sigma_z = 0 \\ \tau_{xz} = 0 \\ \tau_{yz} = 0 \end{array} \right.$

• Ecuación de galga A: $\varepsilon_A = \varepsilon_x \alpha^2 + \varepsilon_y \beta^2 + \varepsilon_z \gamma^2 + \gamma_{xy} \alpha \beta + \gamma_{xz} \alpha \gamma + \gamma_{yz} \beta \gamma$

con $\bar{n} = (\alpha, \beta, \gamma) = \text{COSENOS DIRECTORES DEL VECTOR DE DIRECCIÓN DE LA GALGA}$

• Leyes de Hooke generalizadas: $\left\{ \begin{array}{l} \varepsilon_x = \frac{1}{E} [\sigma_x - \nu(\sigma_y + \sigma_z)] \quad \gamma_{xy} = \frac{\tau_{xy}}{G} \\ \varepsilon_y = \frac{1}{E} [\sigma_y - \nu(\sigma_x + \sigma_z)] \quad \gamma_{xz} = \frac{\tau_{xz}}{G} \\ \varepsilon_z = \frac{1}{E} [\sigma_z - \nu(\sigma_x + \sigma_y)] \quad \gamma_{yz} = \frac{\tau_{yz}}{G} \end{array} \right. , \quad G = \frac{E}{2(1+\nu)}$

Por ecuación de galga

$$\text{GALGA A: } \bar{n} = (-\sin 45^\circ, \cos 45^\circ, 0) \quad \left\{ \begin{array}{l} \alpha_A = -\frac{\sqrt{2}}{2} \\ \beta_A = \frac{\sqrt{2}}{2} \\ \gamma_A = 0 \end{array} \right. ; \quad 1,5 \cdot 10^{-4} = \varepsilon_x \frac{1}{2} + \varepsilon_y \frac{1}{2} - \gamma_{xy} \frac{1}{2} \quad \rightarrow (1)$$

$$\text{GALGA B: } \bar{n} = (0, 1, 0) \quad \left\{ \begin{array}{l} \alpha_B = 0 \\ \beta_B = 1 \\ \gamma_B = 0 \end{array} \right. ; \quad 4 \cdot 10^{-4} = \varepsilon_y \frac{1}{2} \quad \rightarrow (2)$$

$$\text{GALGA C: } \bar{n} = (\sin 45^\circ, \cos 45^\circ, 0) \quad \left\{ \begin{array}{l} \alpha_C = \frac{\sqrt{2}}{2} \\ \beta_C = \frac{\sqrt{2}}{2} \\ \gamma_C = 0 \end{array} \right. ; \quad 1,5 \cdot 10^{-4} = \varepsilon_x \frac{1}{2} + \varepsilon_z \frac{1}{2} + \gamma_{xz} \frac{1}{2} \quad \rightarrow (3)$$

Resolviendo (1) (2) (3). $\left\{ \begin{array}{l} 1,5 \cdot 10^{-4} = \frac{1}{2} (\epsilon_x + \epsilon_y - \gamma_{xy}) \rightarrow -10^{-4} = \epsilon_x - \gamma_{xy} \\ 4 \cdot 10^{-4} = \epsilon_y \\ 1,5 \cdot 10^{-4} = \frac{1}{2} (\epsilon_x + \epsilon_y + \gamma_{xy}) \rightarrow -10^{-4} = \epsilon_x + \gamma_{xy} \end{array} \right.$

$$\Rightarrow 2\epsilon_x = -2 \cdot 10^{-4}; \quad \epsilon_x = -10^{-4}$$

$$\epsilon_y = 4 \cdot 10^{-4}$$

$$\gamma_{xy} = 0 \rightarrow \gamma_{xz} = 0$$

• Nos falta ϵ_z : Aplicamos la ley de Hooke

$$\left\{ \begin{array}{l} \epsilon_x + \epsilon_y = \frac{1}{E} [\sigma_x + \sigma_y - \nu \sigma_x - \nu \sigma_y] = \frac{1}{E} (\sigma_x + \sigma_y) (1 - \nu) \rightarrow \sigma_x + \sigma_y = \frac{\epsilon_x + \epsilon_y}{1 - \nu} E \\ \epsilon_z = \frac{1}{E} [-\nu (\sigma_x + \sigma_y)] \end{array} \right.$$

$$\rightarrow \epsilon_z = \frac{1}{E} \left[-\nu \frac{\epsilon_x + \epsilon_y}{1 - \nu} E \right] = -0,25 \cdot \frac{3 \cdot 10^{-4}}{1 - 0,25} = -10^{-4}$$

Por tanto: $\epsilon_x = -10^{-4}, \epsilon_y = 4 \cdot 10^{-4}, \epsilon_z = -10^{-4}$
 $\gamma_{xy} = \gamma_{xz} = \gamma_{yz} = 0$

Tensor de deformación $[E] = \begin{bmatrix} \epsilon_x & \frac{1}{2} \gamma_{xy} & \frac{1}{2} \gamma_{xz} \\ \frac{1}{2} \gamma_{yx} & \epsilon_y & \frac{1}{2} \gamma_{yz} \\ \frac{1}{2} \gamma_{zx} & \frac{1}{2} \gamma_{zy} & \epsilon_z \end{bmatrix} = 10^{-4} \begin{bmatrix} -1 & 0 & 0 \\ 0 & 4 & 0 \\ 0 & 0 & -1 \end{bmatrix}$

Para las tensiones volvemos a aplicar Hooke $(\sigma_2 = 0, \gamma_{xy} = \gamma_{xz} = \gamma_{yz} = 0)$

$$\left\{ \begin{array}{l} -10^{-4} = \frac{1}{2 \cdot 10^5} (\sigma_x - 0,25 \sigma_y) \\ 4 \cdot 10^{-4} = \frac{1}{2 \cdot 10^5} (\sigma_y - 0,25 \sigma_x) \\ -10^{-4} = \frac{1}{2 \cdot 10^5} (-0,25 (\sigma_x + \sigma_y)) \rightarrow \sigma_x + \sigma_y = +80; \quad \underbrace{\sigma_x = 80 - \sigma_y}_{\uparrow} \end{array} \right.$$

$$\rightarrow -20 = +1,25 \sigma_y + 80; \quad \sigma_y = \frac{-80 - 20}{1,25} = 80 \text{ MPa} \quad \downarrow \quad \sigma_x = 0$$

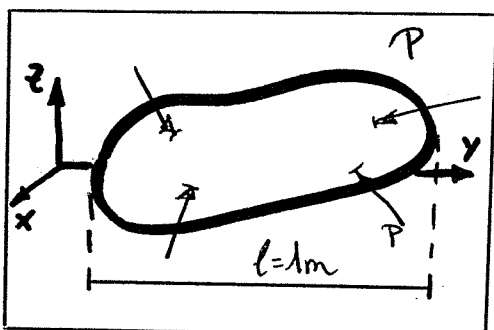
Por tanto:

$$\sigma_x = 0, \quad \sigma_y = 80 \text{ MPa}, \quad \sigma_z = 0 \quad \rightarrow \quad [T] = \begin{bmatrix} \sigma_x & \gamma_{xy} & \gamma_{xz} \\ \gamma_{yx} & \sigma_y & \gamma_{yz} \\ \gamma_{zx} & \gamma_{zy} & \sigma_z \end{bmatrix} = \begin{bmatrix} 0 & 0 & 0 \\ 0 & 80 & 0 \\ 0 & 0 & 0 \end{bmatrix} (\text{MPa})$$

EJERCICIO

ESPECIAL T1

Un sólido elástico masticado de 1m de longitud y módulo elástico $E=20000 \text{ MPa}$ se introduce en un depósito cerrado. Al someter este a una presión interna de 1 MPa , el sólido experimenta una disminución de longitud de $\sim 5 \cdot 10^{-6} \text{ m}$. Determinar los valores del coeficiente de poisson y del módulo de elasticidad transversal.



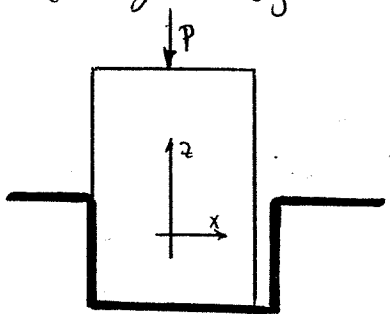
$$-5 \cdot 10^{-6} = \frac{1}{20000} (-P + 2PV) \rightarrow [V = \left(\frac{-1}{10} + P \right) \frac{1}{2P} = 0,45]$$

$$[G = \frac{E}{2(1+V)} = \frac{20000}{2(1+0,45)} = 6,897 \cdot 10^3 \text{ MPa}]$$

EJERCICIO

ESPECIAL
T1

El extremo de una columna prismática de base $200 \times 200 \text{ mm}$, está ensayado sin rodamiento en un hueco de dimensiones $200 \times 200,1 \text{ mm}$ de rigidez infinita. Si la columna se carga en su extremo superior con $P = 800 \text{ KN}$, determinar el valor del tensor de tensiones y deformaciones, referidas al sistema oxyz de la figura, en los puntos de la columna dentro del hueco, considerando que el estado tensional es homogéneo (igual en todos sus puntos). Datos: $E = 20 \cdot 10^3 \text{ MPa}$, $V = 0,25$.

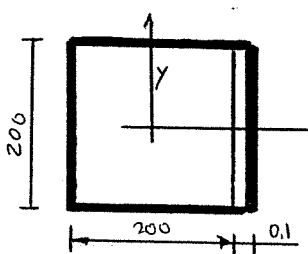


Tensiones:

$$\sigma_z = -P/\text{Área} = -\frac{800 \cdot 10^3}{200^2} = -20 \text{ MPa}$$

$\sigma_y \neq 0$ de compresión ($\sigma_y < 0$)

Hipótesis: Supongo $\sigma_x = 0$ (Tras el alejamiento la columna no toca con la cara del hueco donde inicialmente tenía holgura) $\Rightarrow \epsilon_x < \frac{0,1}{200} = 5 \cdot 10^{-4}$



$$\tau_{xy} = \tau_{xz} = \tau_{yz} = 0$$

Deformaciones: Aplicó Hooke

$$\left\{ \begin{array}{l} \epsilon_x = \frac{1}{E} (\sigma_x^0 - \nu(\sigma_y + \sigma_z)) \\ \epsilon_y = \frac{1}{E} (\sigma_y - \nu(\sigma_x^0 + \sigma_z)) = 0 \text{ (esta anclada la columna en el agujero infinitamente rígido)} \\ \epsilon_z = \frac{1}{E} (\sigma_z - \nu(\sigma_x^0 + \sigma_y)) \end{array} \right.$$

$$\epsilon_x = \frac{1}{E} (-\nu(\sigma_y - 20)) = 3,175 \cdot 10^{-4} < 5 \cdot 10^{-4} \quad \text{Cumple hipótesis} \\ \sigma_x = 0$$

$$\epsilon_y = 0 = \frac{1}{E} (\sigma_y + 20\nu) \rightarrow \sigma_y = -20\nu = -5 \text{ MPa}$$

$$\epsilon_z = \frac{1}{E} (-20 - \nu\sigma_y) = -9,375 \cdot 10^{-4}$$

Por tanto, tensor de tensiones

$$\bar{\bar{T}} = \begin{pmatrix} \sigma_x & \tau_{xy} & \tau_{xz} \\ \tau_{xy} & \sigma_y & \tau_{yz} \\ \tau_{xz} & \tau_{yz} & \sigma_z \end{pmatrix} = \begin{pmatrix} 0 & 0 & 0 \\ 0 & -5 & 0 \\ 0 & 0 & -20 \end{pmatrix} \text{ MPa}$$

Como $\tau_{ij} = 0 \rightarrow Y_{ij} = \frac{\tau_{ij}}{G} = 0$ y el tensor de deformaciones queda:

$$\bar{\bar{D}} = \begin{pmatrix} \epsilon_x & \gamma_{xy} & \gamma_{xz} \\ \gamma_{xy} & \epsilon_y & \gamma_{yz} \\ \gamma_{xz} & \gamma_{yz} & \epsilon_z \end{pmatrix} = \begin{pmatrix} 3,175 \cdot 10^{-4} & 0 & 0 \\ 0 & 0 & 0 \\ 0 & 0 & -9,375 \cdot 10^{-4} \end{pmatrix}$$

NOTA!! Si no se hubiera cumplido la hipótesis $\epsilon_x = \frac{0,1}{200}, \sigma_x < 0$

EJERCICIO ESPECIAL T1

Se considera la viga de la figura sobre la que pueden actuar una fuerza P en el punto A, un momento M sobre el apoyo B y una fuerza F en C como se indica en la figura. Saber que:

- Cuando actúa una fuerza P de 10 kN en el punto A, dicho punto desciende 1,5 mm, mientras que el punto C asciende 1 mm y la viga experimenta un giro antihorario de 10^{-4} rad. en el punto B.
- Cuando actúa un momento M desconocido sobre el apoyo B, el punto A asciende 0,2 mm, el punto C desciende 0,5 mm y la viga experimenta en el apoyo B un giro horario de $2 \cdot 10^{-4}$ rad.
- Si se impide el movimiento en el punto C y se aplique el mismo momento M anterior, en dicho punto aparece una reacción F de 5 kN hacia arriba.

Se pide:

1) Determinar el valor del momento M en mKN

2) Calcular el potencial interno del sistema cuando actúan todas las cargas.

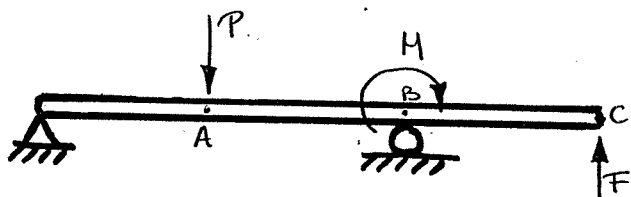
3) Calcular el trabajo realizado durante el proceso de carga del momento M , de forma lenta, cuando sobre la viga ya estaba actuando la fuerza P , sin presencia de la fuerza F .

① Aplico teorema de Maxwell-Betti para el cálculo de M

$$P \delta_A^M = M \delta_B^P; 10 \text{ (kN)}(-0,2) \text{ (mm)} = M \cdot (-10^{-4} \text{ rad})$$

$$M = \frac{10 \cdot 0,2}{10^{-4}} \text{ KN} \cdot \text{m} \cdot \frac{1 \text{ m}}{1000 \text{ mm}}$$

$$\boxed{M = 20 \text{ KN} \cdot \text{m}}$$



$$P = 10 \text{ kN} \quad \left\{ \begin{array}{l} \delta_A^P = 1,5 \text{ mm} \\ \delta_B^P = -10^{-4} \text{ rad} \\ \delta_C^P = 1 \text{ mm} \end{array} \right. \quad \begin{array}{l} \text{Tomamos como sentido positivo el sentido de la fuerza aplicada en A (descendente)} \\ \text{Tomamos como positivo el sentido del momento aplicado en B (horario)} \\ \text{Tomamos como sentido positivo el sentido de la fuerza aplicada en C} \end{array}$$

$$M? \quad \left\{ \begin{array}{l} \delta_A^M = -0,2 \text{ mm} \\ \delta_B^M = 2 \cdot 10^{-4} \text{ rad} \\ \delta_C^M = -0,5 \text{ mm} \end{array} \right.$$

$$M+F \quad \left\{ \begin{array}{l} \delta_C^{M+F} = 0 \quad \text{ya que se impide movimiento.} \\ F = 5 \text{ kN} \end{array} \right.$$

② Potencial interno U

$$U = \frac{1}{2} (P \delta_A + M \delta_B + F \delta_c) \quad (1)$$

Nos faltan los desplazamientos debidos a \vec{F}

$$\left\{ \begin{array}{l} \delta_A^F \xrightarrow{MB} \tau \delta_A^F = F \delta_c^P; \quad \delta_A^F = \frac{5 \cdot 1}{10} = 0,5 \text{ mm} \\ \delta_B^F \rightarrow M \delta_B^F = F \delta_c^M; \quad \delta_B^F = \frac{5 \cdot (-0,5)}{20 \cdot 10^3} = -1,25 \cdot 10^{-4} \text{ rad} \\ \delta_c^F \rightarrow \delta_c^F = 0,5 \text{ mm} \end{array} \right.$$

$$\delta_A = \delta_A^P + \delta_A^M + \delta_A^F = 1,5 - 0,2 + 0,5 = 1,8 \text{ mm}$$

$$\delta_B = \delta_B^P + \delta_B^M + \delta_B^F = -10^{-4} + 2 \cdot 10^{-4} - 1,25 \cdot 10^{-4} = -0,25 \cdot 10^{-4} \text{ rad}$$

$$\delta_C = \delta_C^P + \delta_C^M + \delta_C^F = 1 - 0,5 + 0,5 = 1 \text{ mm}$$

$$U = \frac{1}{2} (10 \cdot 1,8 + 20 \cdot 10^3 (\text{KNm})(-0,25 \cdot 10^{-4}) + 5 (\text{KN}) 1 \text{mm}) = 11,25 \text{ KNmm}$$

$$U = 11,25 \text{ N} \cdot \text{m} = 11,25 \text{ J}$$

3) Apliwo tº P y (vego °M: Se pide el trabajo realizado durante la carga de M

$$W = \frac{1}{2} M \cdot \delta_B^M + P \delta_A^M = \frac{1}{2} \frac{20 \cdot 10^3 \cdot 2 \cdot 10^{-4}}{\text{KN} \cdot \text{mm}} + 10 \cdot (-0,2) = 2 - 2 = 0$$

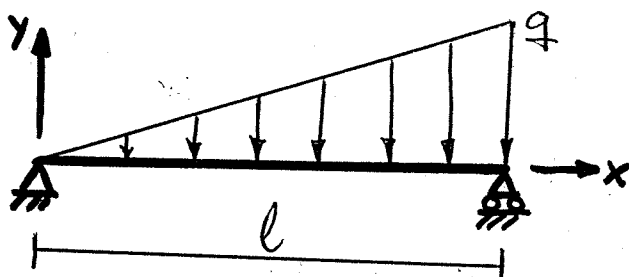
COMUNES

Ejercicio

El desplazamiento vertical en cada punto de la viga de la figura viene dado por:

$$V = -\frac{q l^3 x}{360 E I_z} \left(7 - 10 \frac{x^2}{l^2} + 3 \frac{x^4}{l^4} \right)$$

Se desea conocer la energía elástica de la viga cargada.



$$q(x) = q \frac{x}{l}$$

$$dU = q(x) d(x) V(x)$$

$$U = \int_0^l q(x) V(x) dx$$

$$U = \int_0^l \frac{-q^2 l^2}{360 E I_z} \left(7x^2 - 10 \frac{x^4}{l^2} + 3 \frac{x^6}{l^4} \right) dx = \frac{-q^2 l^2}{360 E I_z} \left(\frac{7}{3} l^3 - 2l^3 + \frac{3}{7} l^3 \right) =$$

$$= -\frac{q^2 l^5}{360 E I_z} \frac{16}{21} = -\frac{2q^2 l^5}{945 E I_z} \left(\frac{KN^2 m^{-2} m^5}{KN \cdot m^{-2} m^4} \right) \xrightarrow{KN \cdot m}$$



Momento de
energía de sop.
MASICA. $\rightarrow [L^4]$

Ejercicio

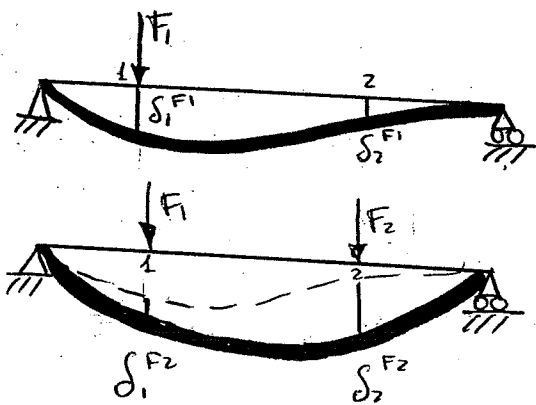
Barra inicialmente descargada sufre proceso de carga:

- Aplicación progresiva de carga en 1 hasta alcanzar F_1 .
- Manteniendo aplicada F_1 , aplicación progresiva de carga en el punto 2 hasta F_2 .
- Retirada progresiva y simultánea de ambas cargas hasta volver al estado inicial.

A) Dibujar, en dos diagramas F-S separados, la evolución de cada viga frente a su desplazamiento ejercido

B) Demostrar el teorema de Maxwell-Betti partiendo de que el proceso es reversible (la suma de los trabajos realizados durante el proceso por cada carga es nula: $W_{F_1} + W_{F_2} = 0$)

Ⓐ) Diagramas Fuerza-desplazamientos eficaces



(Ⓑ)

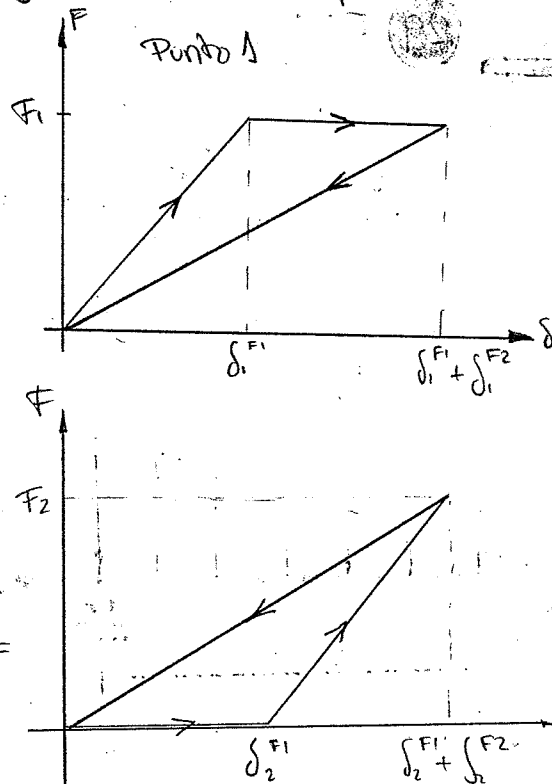
$$W_{F1} + W_{F2} = 0$$

$$\begin{aligned} W_{F1} &= \frac{1}{2} F_1 \delta_1^{F1} + F_1 \delta_1^{F2} - \frac{1}{2} F_1 (\delta_1^{F1} + \delta_1^{F2}) = \\ &= \frac{1}{2} F_1 \delta_1^{F2} \end{aligned}$$

$$W_{F2} = \frac{1}{2} F_2 \delta_2^{F2} - \frac{1}{2} F_2 (\delta_2^{F1} + \delta_2^{F2}) = -\frac{1}{2} F_2 \delta_2^{F1}$$

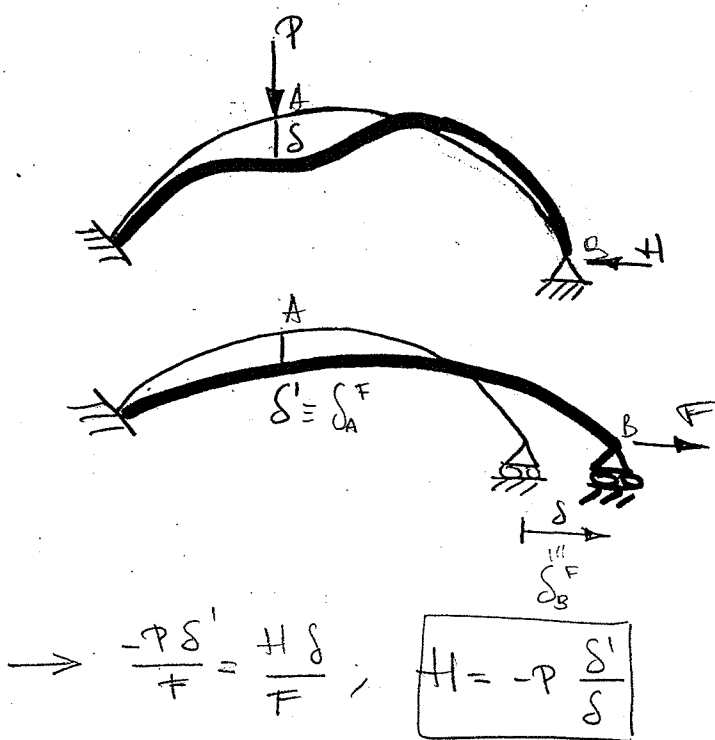
Como $W_{F1} + W_{F2} = 0 \rightarrow \frac{1}{2} F_1 \delta_1^{F2} - \frac{1}{2} F_2 \delta_2^{F1} = 0 \Rightarrow F_1 \delta_1^{F2} = F_2 \delta_2^{F1}$

Teorema Maxwell-Betti



Ejercicio

Para determinar experimentalmente las reacciones en una estructura hiperalástica se puede utilizar el método de Begg, tal como se indica en el caso siguiente. Se trata un arco empotrado en su extremo izquierdo y con apoyo fijo en el derecho, sometido a la fuerza P. Para determinar la reacción horizontal H en el apoyo retiramos la fuerza aplicada y liberamos el apoyo en dirección horizontal. Seguidamente imponemos en el apoyo un desplazamiento S mediante la aplicación de una fuerza F y en el punto donde estaba aplicada la fuerza P medimos el desplazamiento delta'' en su dirección. A partir de los valores P, S, delta'' se puede H.



Aplicando Maxwell-Betti

$$PS_A^F = F S_B^P$$

$$\delta_B^P = \frac{P S_A^F}{F} = \frac{P \delta'}{F}$$

$$HS_B^F = F S_B^H$$

$$\int_B^{P+H} = 0 \quad \left. \begin{array}{l} \int_B^H + \int_B^P = 0 \\ \int_B^H = -\int_B^P \end{array} \right\}$$

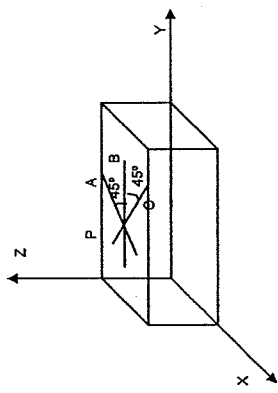
$$\int_B^H = \frac{H\delta}{F}$$


RESISTENCIA DE MATERIALES
PROBLEMAS GRUPO TI. CURSO 2012-2013
MÓDULO 2. TENSIÓN Y DEFORMACIÓN. COMPORTAMIENTO ELÁSTICO
PROBLEMA 2.1

Hacer
 Sobre el punto medio de la cara superior (P) del sólido elástico de la figura se ha pegado una roseta extensiométrica. Tras la puesta en carga se han medido los siguientes valores ($K=10^4$):

$$\epsilon_A = 1,5 \text{ k} \quad \epsilon_B = 4 \text{ k} \quad \epsilon_C = 1,5 \text{ k}$$

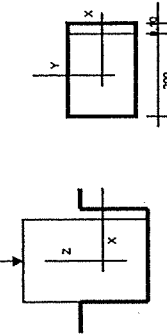
Se pide determinar el tensor de tensiones y de deformación en el punto P sabiendo que sobre los planos paralelos al XY las tensiones son nulas. ($E = 2 \cdot 10^5 \text{ MPa}$, $\nu = 0,25$)


PROBLEMA 2.2

Hacer
 Un sólido elástico macizo de 1 m de longitud y módulo elástico $E=20000 \text{ MPa}$, se introduce en un depósito cerrado. Al someter éste a una presión interna de 1 MPa, el sólido experimenta una disminución de su longitud de 0,005 mm.
 Determinar los valores del coeficiente de Poisson y del módulo de elasticidad transversal.

PROBLEMA 2.3

Hacer
 El extremo de una columna prismática, de base $200 \times 200 \text{ mm}$, está encallado sin rozamiento en un hueco de dimensiones $200 \times 200,1 \text{ mm}$, de rigidez infinita.
 Si la columna se carga en su extremo superior con $P=800 \text{ kN}$, determinar el valor del tensor de tensiones y de deformación, referidas al sistema OXYZ de la figura, en los puntos de la columna dentro del hueco, considerando que el estado tensional es homogéneo (igual en todos sus puntos). Datos:

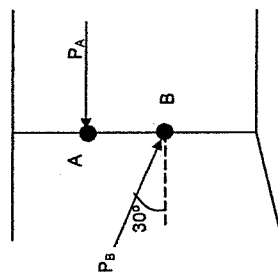

PROBLEMA 2.4

Un sólido prismático largo de sección rectangular $2ax2b$, está sometido en su extremo a una distribución de fuerzas de superficie dadas por:
 $f_{ix} = f_{iy} = 0$
 $f_{iz} = f_{12} = q[1/(x/a)]^2$
 respecto al sistema OXYZ de la figura. Se pide determinar una distribución de fuerzas más simple, que aplicada en el extremo origine un estado tensional idéntico en puntos suficientemente alejados de él.

PROBLEMA 2.5

Una estructura elástica y plana, de la cual se dibuja sólo una parte, se encuentra sometida a la acción de dos fuerzas puntuales P_A y P_B aplicadas sobre los puntos A y B, respectivamente, con la dirección y sentido indicados en la figura. Cuando se aplica una carga puntual $P_A = 3 \cdot 10^3 \text{ N}$, el punto A se desplaza 3 mm hacia la izquierda y el punto B, 2 mm hacia la izquierda y 1 mm hacia abajo. Cuando se aplica únicamente una fuerza $P_B = 7 \cdot 10^3 \text{ N}$, el punto B tiene un desplazamiento efectivo cuyo módulo es 4 mm.
 Se pide:

- 1) Qué dirección y sentido tiene el desplazamiento del punto B en este último caso de carga? ¿Por qué?
- 2) Cuánto vale (y en qué sentido) el desplazamiento horizontal del punto A cuando se aplica una fuerza sobre él de valor $P_A = 2 \cdot 10^3 \text{ N}$ y otra de valor $P_B = -3 \cdot 10^3 \text{ N}$ sobre el punto B?



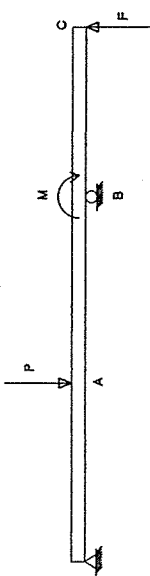


PROBLEMA 2.6

Helllo
cloz
Se considera la viga de la figura sobre la que pueden actuar una fuerza P en el punto A, un momento M sobre el apoyo B y una fuerza F en el punto C, tal y como se indica en la figura. Se sabe que:

- Cuando actúa una fuerza P de 10 kN en el punto A, dicho punto desciende 1,5 mm, mientras que el punto C asciende 1 mm y la viga experimenta un giro antihorario de 10^{-4} rad en el punto B.
- Cuando actúa un momento M desconocido sobre el apoyo B, el punto A asciende 0,2 mm, el punto C desciende 0,5 mm y la viga experimenta en el apoyo B un giro horario de $2 \cdot 10^{-4}$ rad.
- Si se impide el movimiento del punto C y se aplica el mismo momento M anterior, en dicho punto aparece una reacción F de 5 kN hacia arriba.

- Se pide:
- 1) Determinar el valor del momento M en mkN.
 - 2) Calcular el potencial interno del sistema cuando actúan todas las cargas, P , M y F .
 - 3) Calcular el trabajo realizado durante del proceso de carga del momento M , de forma lenta, cuando sobre la viga ya estaba actuando la fuerza P , sin presencia de la fuerza F .





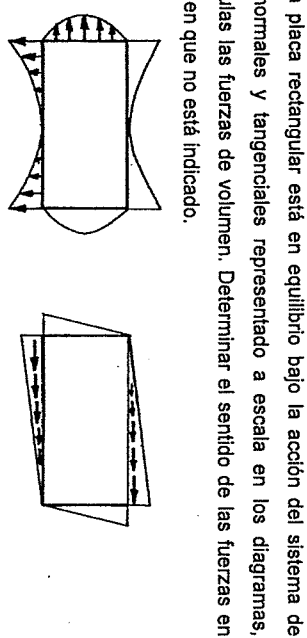
PROBLEMAS DE RESISTENCIA DE MATERIALES

MÓDULO 2: TENSIÓN Y DEFORMACIÓN.

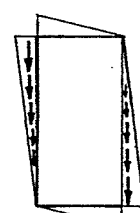
CURSO 2012-13

- 2.1.- La figura representa la pared plana del interior de un depósito que contiene un líquido de peso específico γ . Determinar las componentes de la fuerza de superficie sobre dicha pared, respecto al sistema de referencia indicado, si se considera nula la presión atmosférica.

(11-9-02)



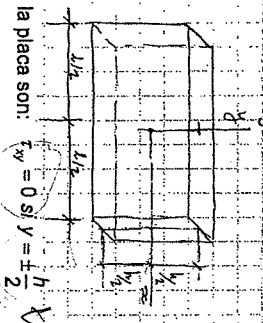
- 2.2.- Una placa rectangular está en equilibrio bajo la acción del sistema de fuerzas normales y tangenciales representado a escala en los diagramas, siendo nulas las fuerzas de volumen. Determinar el sentido de las fuerzas en los lados en que no está indicado.



10-9-01

- 2.3.- La solución de tensiones en una placa rectangular de longitud l , ancho h y espesor unidad, referida al sistema de referencia cartesiano ortogonal indicado en la figura es:

$$\begin{aligned}\sigma_x &= x^3y - 2xy^3 \\ \sigma_y &= xy^3 - 2axy + bx \\ \tau_{xy} &= -\frac{3}{2}x^2y^2 + ax^2 + \frac{1}{2}y^4 + c \\ \sigma_z &= \tau_{xz} = \tau_{yz} = 0\end{aligned}$$



Sabiendo que las condiciones de contorno de la placa son:

$$\tau_{xy} = 0 \text{ si } y = \pm \frac{h}{2}$$

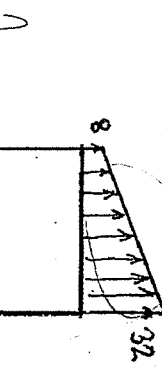
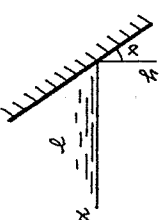
Se pide:

- 1º.- Determinar los valores de las constantes a , b y c .

- 2º.- Hallar la carga total que actúa en las secciones extremas derecha e izquierda.

6-2-01

- 2.4.- Una placa cuadrada cuyo lado mide 4 cm está sometida en su contorno a un sistema de cargas normales y cortantes que se indica en la figura, expresadas en kp / cm². Se pide calcular el valor que debe tener a para que la placa esté en equilibrio.



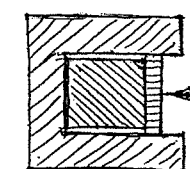
- 2.5.- Un eje cilíndrico de longitud l está envuelto por un zunchito rígido, de modo que pueden considerarse impidiadas sus dilataciones radiales. Si para la dilatación axial dispone de una holgura Δl , determinar cual puede ser el incremento de temperatura del eje antes de que desaparezca dicha holgura.

1-9-99

- 2.6.- Una lámina elástica se encuentra entre dos placas perfectamente rígidas a las que está pegada. La lámina es comprimida entre las dos placas siendo la tensión de compresión σ_z . Suponiendo que la adherencia de las placas impide toda deformación lateral, s_x , s_y , encontrar el módulo de Young aparente (σ_z/s_z) en función de E y de v . Demostrar que el módulo de Young aparente es siempre mayor que el real ($\sigma_z/s_z > E$).

2.7.- En el interior de un cilindro rígido de acero, de radio interior $R = 12$ cm, se introduce, coaxialmente con él, otro de una aleación de cobre, de radio $r = 11,999$ cm, según se indica en la figura.

Mediante una fuerza $F = 50$ kN que actúa sobre un pistón de peso y rozamiento despreciables colocado sobre el cilindro interior, se comprime éste.



Calcular la presión que ejerce el acero sobre el cilindro de aleación de cobre.

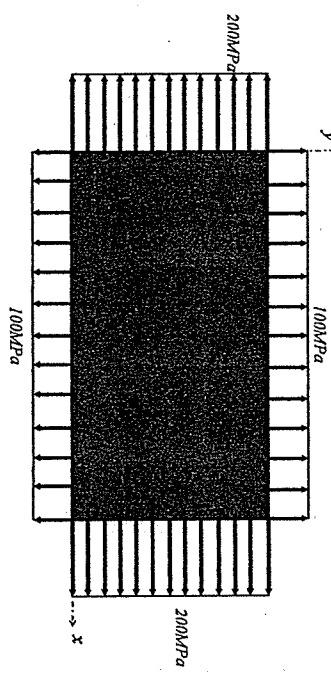
Datos de la aleación de cobre: $v = 0,34$; $E = 115$ GPa

9-2-00

2.8.- La placa de la figura es de un material de características: $E = 2 \cdot 10^5 \text{ MPa}$, $\nu = 0.25$. Su espesor es $\theta = 1 \text{ cm}$ y está sometida a la distribución de fuerzas de superficie indicada (no hay fuerzas aplicadas con componente según z). Mediante técnicas de extensometría se ha obtenido la siguiente solución de deformaciones:

$$\delta_x = 875 \cdot 10^{-6} \quad \delta_y = 250 \cdot 10^{-6} \quad \delta_z = -375 \cdot 10^{-6}$$

$$\gamma_{xy} = \gamma_{xz} = \gamma_{yz} = 0$$



Hallar en *Julios* la energía elástica

- a)- En función de las fuerzas aplicadas
- b)- Como trabajo de las tensiones

2.9.- El desplazamiento vertical en cada punto de la viga de la figura viene dado por:

$$v = \frac{-qL^3x}{360EI_2} \left(7 - 10\frac{x^2}{L^2} + 3\frac{x^4}{L^4} \right)$$

Se desea conocer la energía elástica de la viga así cargada.

$$U = \int_0^L q v dx = \frac{q}{\theta} \left(\frac{-qL^3}{360EI_2} \right) \int_0^L x^2 \left(7 - 10\frac{x^2}{L^2} + 3\frac{x^4}{L^4} \right) dx = \frac{-qL^2}{360EI_2} \left(\frac{7}{3}x^3 - 10\frac{x^5}{5L^2} + 3\frac{x^7}{7L^4} \right) \Big|_0^L$$

$$U = \frac{-qL^2}{360EI_2} \left(\frac{7L^3}{3} - 10\frac{L^5}{5} + 3\frac{L^7}{7} \right) =$$

2.10.- La barra de la figura (initialmente descargada) sufre el siguiente proceso de carga:

Hecho

(62)

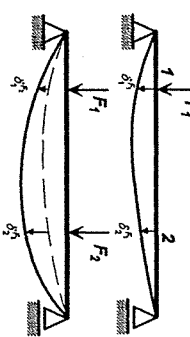
- a)- Aplicación progresiva de carga en el punto 1, hasta alcanzar el valor F_1 .
- b)- Manteniendo aplicada F_1 , aplicación progresiva de carga en el punto 2 hasta alcanzar el valor F_2 .

c)- Retirada progresiva y simultánea de ambas cargas hasta volver al estado inicial.

(A)- Dibujar, en dos diagramas $F-\delta$ separados, la evolución de cada carga frente a su desplazamiento eficaz asociado.

(B)- Demostrar el teorema de Maxwell-Betti poniéndole de que el proceso es reversible (la suma de los trabajos realizados durante el proceso por cada carga es nula: $W_{F1} + W_{F2} = 0$).

8-2-02



2.11.- Para determinar experimentalmente las reacciones en una estructura hiperestática, se puede utilizar el método de Beggs, tal como se indica en el caso siguiente. Se trata de un arco, empotrado en su extremo izquierdo y con un apoyo fijo en el derecho, sometido a la fuerza P . Para determinar la reacción horizontal H en el apoyo, retiramos la fuerza aplicada y liberamos el apoyo en dirección horizontal. Seguidamente imponemos en el apoyo un desplazamiento δ' mediante la aplicación de una fuerza F , y en el punto donde estaba aplicada la fuerza P medimos un desplazamiento δ'' en su dirección. A partir de los valores de P , δ y δ' , se pide obtener el valor de H .



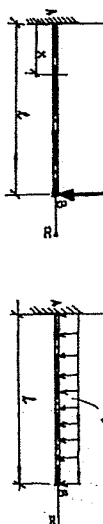
18-6-04



2.12.- Cuando sobre el extremo libre de una viga en voladizo actúa una carga concentrada P , el desplazamiento vertical de cada sección, respecto del sistema de referencia indicado en la figura a, viene dado por la expresión:

$$v = \frac{P}{EI_z} \left(-\frac{Lx^2}{2} + \frac{x^3}{6} \right)$$

Siendo E el módulo de elasticidad del material e I_z el momento de inercia de la sección recta de la viga respecto del eje z, ambos constantes.



(a)

Calcular, aplicando el teorema de Maxwell-Betti, el desplazamiento vertical del extremo libre cuando la carga P actúa uniformemente repartida, tal como se indica en la figura b.

(b)

20-1-98

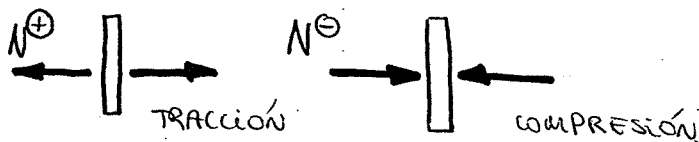


TRACCIÓN

TRACCIÓN EN BARRAS

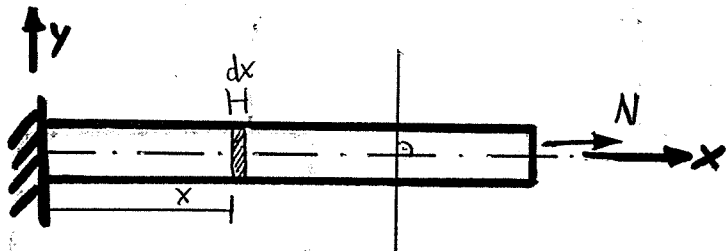
Leción 9: ESFUERZO NORMAL VARIABLE. CASOS HIPERESTÁTICOS

Nombre tracción o compresión pura cuando sólo existe esfuerzo normal N .



$$T_y = T_z = M_y = M_z = M_T = 0$$

① HIPÓTESIS CINEMÁTICA O DE BERNOUILLI



Secciones planas y perpendiculares a la directriz se conservan planas y perpendiculares.

Sólo existe por tanto desplazamiento a lo largo de la directriz.

② HIPÓTESIS DE DEFOMACIÓN CONSTANTE

La deformación de cualquier fibra de una sección es constante en la sección.

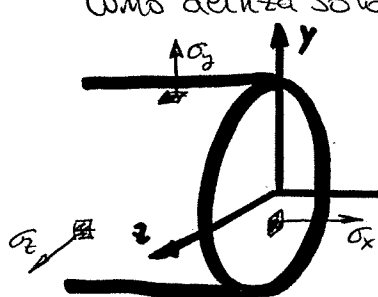
$E_x = C(x)$ (cte en la sección que tiene K dado)

$$\epsilon_x = \frac{\Delta x}{dx}$$

TENSIONES

Como desliza sólo a lo largo de la directriz

$$\left\{ \begin{array}{l} T_{xy} = T_{xz} = T_{yz} = 0 \\ \sigma_y = \sigma_z = 0 \\ \sigma_x \neq 0 \end{array} \right.$$



$$\sigma_x : E_x = \frac{\sigma_x}{E} = G(x) \text{ constante en cada sección}$$

$$N = \int \sigma_x dA = \sigma_x A \Rightarrow$$

$$\sigma_x = \frac{N(x)}{A}$$

1

DEFORAMACIONES

Como $\sigma_x = \frac{N(x)}{A}$ y, en tracción pura $\epsilon_x = \frac{\sigma_x}{E}$

$$\epsilon_x = \frac{N(x)}{A E}$$

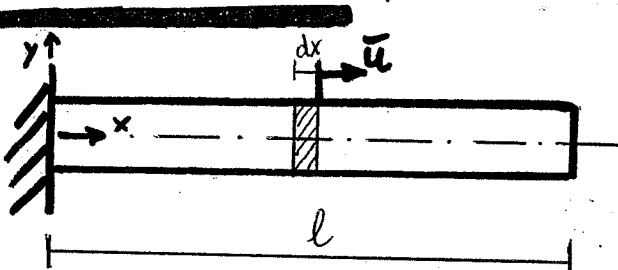
Además, $\epsilon_y = \epsilon_z = -2\epsilon_x$

$$\epsilon_y = \epsilon_z = -V \frac{N(x)}{A E}$$

Las deformaciones angulares son nulas ya que $\tau_{ij} = 0 \forall i, j$ y $\gamma_{ij} = \frac{\tau_{ij}}{G}$

$$\Rightarrow \gamma_{xy} = \gamma_{xz} = \gamma_{yz} = 0$$

DESPLAZAMIENTOS (de la sección en piezas rectas)



$$u = (u, v, w); v = w = 0$$

$$\epsilon_x = du/dx; du = \epsilon_x dx$$

$$u(x) = u_0 + \int_0^x \frac{N(x)}{EA} dx$$

$$\Delta l_x = u(x) - u_0 = \int_0^x \frac{N(x)}{EA} dx; \text{ Para toda la pieza}$$

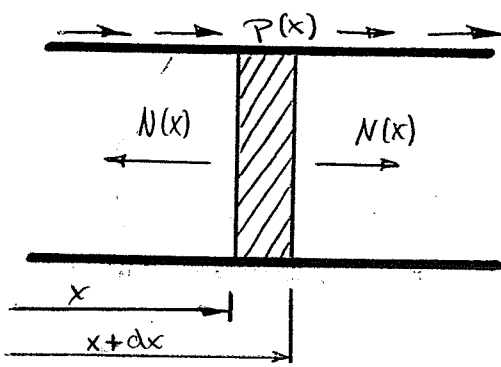
$$\Delta l = \int_0^L \frac{N(x)}{EA} dx$$

- Si $N(x) = \text{cte} = F$: $\Delta l = \frac{Fl}{EA}$

- Si en la pieza hay tramos de N constante ($N = F_i$)

$$\Delta l = \sum_i \frac{F_i l_i}{EA}$$

- Si el esfuerzo normal es variable : $N(x) \neq \text{cte}$



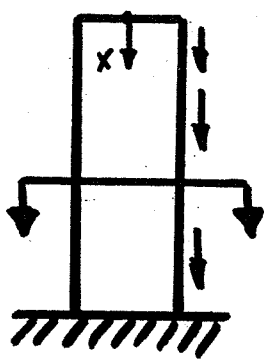
Por equilibrio de la sección

$$-N(x) + p(x) + \left(N(x) + \frac{dN(x)}{dx} dx\right) = 0$$

$$p(x) + \frac{dN(x)}{dx} = 0$$

(2)

CASO 1: Viga sometida a peso propio



γ = peso específico (por unidad de volumen)

A = área de la sección

$$P(x) = \gamma \cdot A$$

$$\text{Como } N(x) \neq \text{cte: } P(x) + \frac{dN(x)}{dx} dx = 0,$$

$$\gamma A + \frac{d(N(x))}{dx} = 0; \quad dN(x) = -\gamma A dx$$

$$N(x) = N_0 - \int_0^x \gamma A dx = N_0 - \gamma A x$$

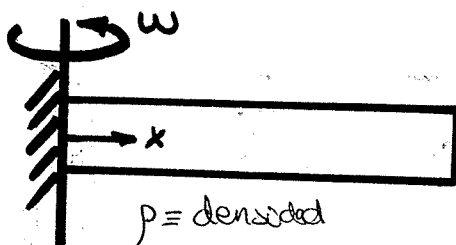
Tensiones: $\sigma_x = \frac{N(x)}{A} = \frac{N_0}{A} - \frac{\gamma x}{E}$

Deformaciones: $\epsilon_x = \frac{\sigma_x}{E} = \frac{N_0}{EA} - \frac{\gamma x}{E}$

Desplazamientos: $\epsilon_x = \frac{du}{dx}; \quad du = \epsilon_x dx; \quad u(x) = u_0 + \int_0^x \epsilon_x dx$

$$u(x) = u_0 + \int_0^x \left(\frac{N_0}{EA} - \frac{\gamma x}{E} \right) dx = u_0 + \frac{N_0}{EA} x - \frac{\gamma}{2E} x^2$$

CASO 2: Viga giratoria (sometida a una fuerza centrífuga)



ρ = densidad

A = Área sección

$$N(x) = N_0 - \frac{\rho A w^2 x^2}{2}$$

Tensiones: $\sigma_x = \frac{N(x)}{A} = \frac{N_0}{A} - \frac{\rho w^2 x^2}{2}$

Deformaciones: $\epsilon_x = \frac{\sigma_x}{E} = \frac{N_0}{EA} - \frac{\rho w^2 x^2}{2E}$

Desplazamientos: $u(x) = u_0 + \int_0^x \epsilon_x dy = u_0 + \frac{N_0}{EA} x - \frac{\rho w^2}{6E} x^3$

POTENCIAL INTERNO

Recordemos $U = \sum_i F_i S_i / 2 = \frac{1}{2} (\epsilon_x \sigma_x + \epsilon_y \sigma_y + \epsilon_z \sigma_z + \dots)$

$$\text{tracción pura}$$

$$dU = \frac{1}{2} \epsilon_x \sigma_x dV = \frac{1}{2E} \sigma_x^2 dV = \frac{1}{2E} \frac{(N(x))^2}{A^2} dV = \frac{1}{2E} \frac{N(x)^2}{A} dx$$

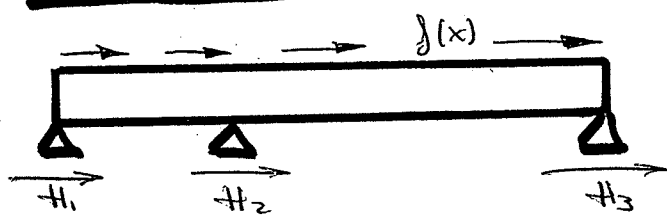
Potencial extendido a todo la pieza:

$$U = \int_0^l \frac{1}{2E} \frac{N(x)^2}{A} dx$$

- Si $N(x) = \text{cte}$ $U = \frac{1}{2E} \frac{N^2}{A} l$

- Si $N(x) = \text{cte}$ por tramos $U = \sum_i \frac{1}{2E} \frac{N_i^2}{A} l_i$

CASO HIPERESTÁTICO

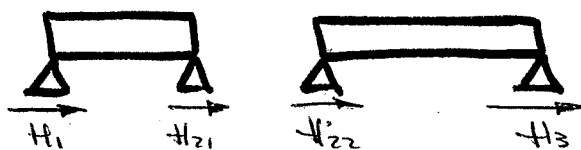


Grado de hiperestática de la estructura

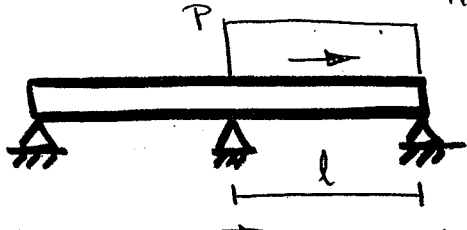
$$f+1 = (r-3) + (3c-e) = 0$$

Ecación equilibrio | ISOSTÁTICO
 $\sum F_H = 0$ | solo puede
 infinita tener 1 var-
 ión:

Dividiremos el sistema en tramos hiperestáticos de $f+1=1$



Ejemplo:

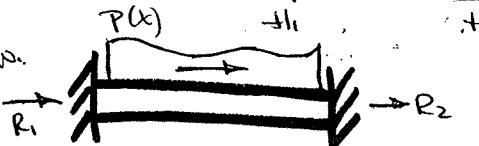


Ecación adicional

$$H_1 + H_2 = P$$

Ecación equilibrio estático:
 $\sum F_H = 0$

Ejemplo:



Ecación equilibrio estático

$$\sum F_H = 0; R_1 + R_2 + \int_0^l P(x) dx = 0$$

Para obtener la ecuación adicional tenemos dos métodos:

1) Compatibilidad de movimientos

Por empotramiento a ambos lados $\Delta l = 0$

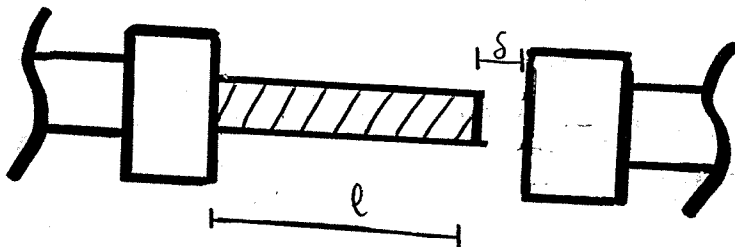
$$\Delta l = \int_0^l \frac{N(x)}{EA} dx = \int_0^l \frac{N(R_1, R_2, P)}{EA} dx = 0 \quad \text{Ecuación adicional}$$

2) Aplicar Teorema de Menabrea

$$U = \frac{1}{2} \int_0^l \frac{N(x)^2}{EA} dx \implies \text{Ecuación adicional}$$

CASOS PARTICULARES

A) Defectos de montaje



$\frac{\partial U}{\partial R_1} = 0$; siendo R_1 reacción hipostática.

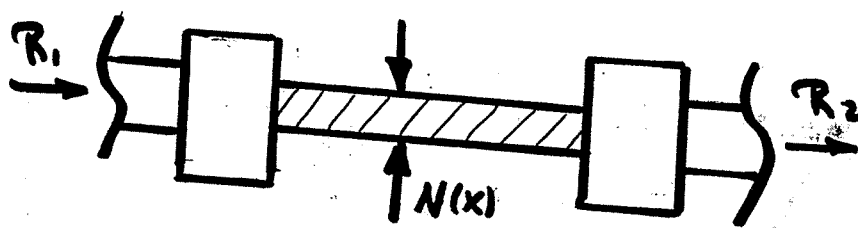
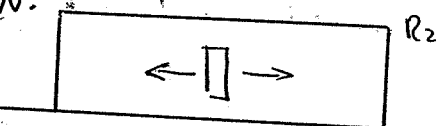


Por equilibrio estático

$$\sum F_H = 0 \quad R_1 + R_2 = 0$$

$$R_1 = -R_2$$

N:

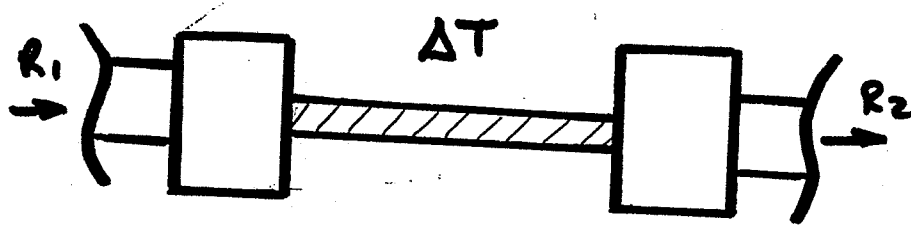


Por compatibilidad de movimientos

$$\Delta l = S$$

$$\Delta l = S = \int_0^l \frac{N(x)}{EA} dx \Rightarrow \frac{R_2 l}{EA} = S \quad \text{Ecuación adicional}$$

6) Salto térmico



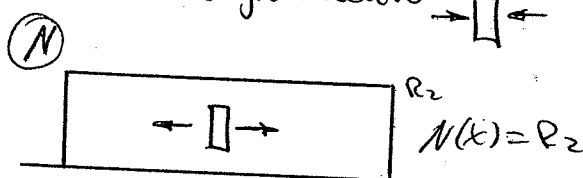
Supongo $\Delta T > 0 \rightarrow$ Tracción

$$\sum F_H = 0 \rightarrow R_1 + R_2 = 0, R_1 = -R_2$$

El hecho de incrementar (o disminuir) la temperatura produce esfuerzos en los mordazas.

• Calentamiento $\rightarrow \square \rightarrow \Delta T > 0$

• Enfriamiento $\rightarrow \square \leftarrow \Delta T < 0$

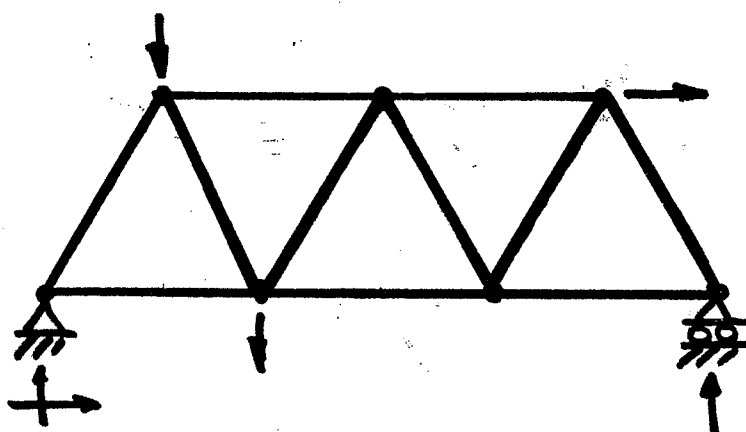


Por compatibilidad de movimientos, $\Delta l = 0$

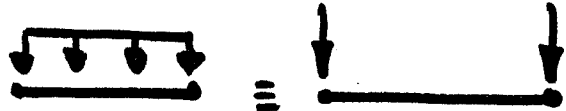
$$\Delta l = \int_0^l \epsilon_x dx = \int_0^l \left(\frac{\sigma_x}{E} + \alpha \Delta T \right) dx = \int_0^l \left(\frac{N(x)}{EA} + \alpha \Delta T \right) dx = 0$$

$$\frac{R_2 l}{EA} + \alpha \Delta T l = 0 \quad \text{Ecación adicional}$$

Lección 10: SISTEMAS ISOSTÁTICOS DE BARRAS ARTICULADAS



- Todas las uniones son articuladas
- Sólo hay fuerzas aplicadas en los mordazas y los esfuerzos son normales



• El problema siempre será isostático

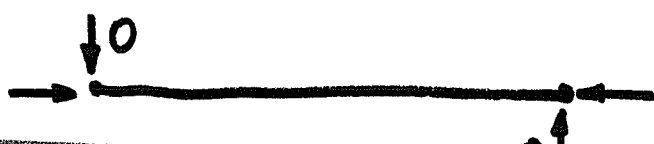
$$FH = (r-3) + (3c-e) = (3-3) + (3 \cdot 5 - 15)$$

$$FH = 0$$

Solamente calcular el FH por

$$FH = (r+b) - 2n$$

(6)



$$FH = (3+1) - 2 \cdot 7 = 0,$$

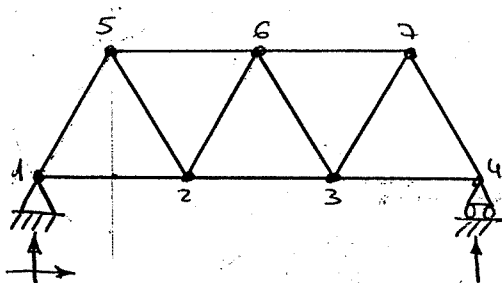
MÉTODOS DE CÁLCULO

① Método de Cremona: método gráfico que no estudiaremos

② Método de las secciones: Se usa cuando hay nudos con más de dos incógnitas

③ Método del equilibrio de nudos

Ejemplo método de eq. nudos:

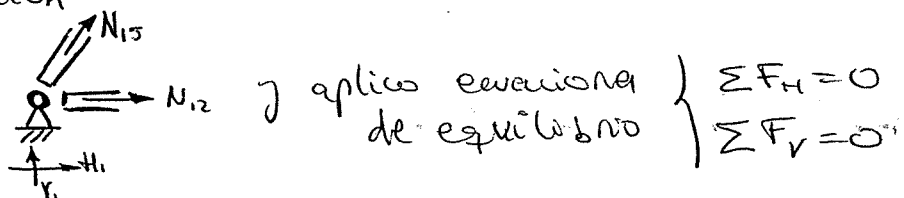


Aplico ecuaciones
de equilibrio
estático

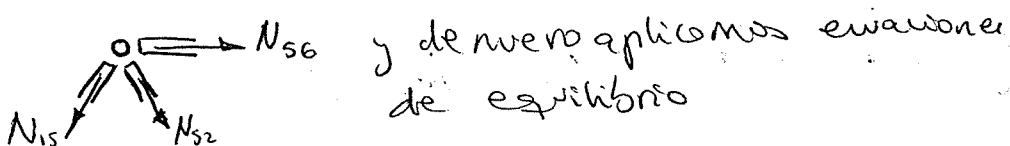
$$\left. \begin{array}{l} \sum F_H = 0 \\ \sum F_V = 0 \\ \sum M = 0 \end{array} \right\}$$

Tenemos que aislar cada nudo para sacar los esfuerzos interiores. Consideraremos apriori todos los esfuerzos de tracción de forma que si al resolver las ecuaciones salen negativos significa que son de compresión.

Aislado nudo ①

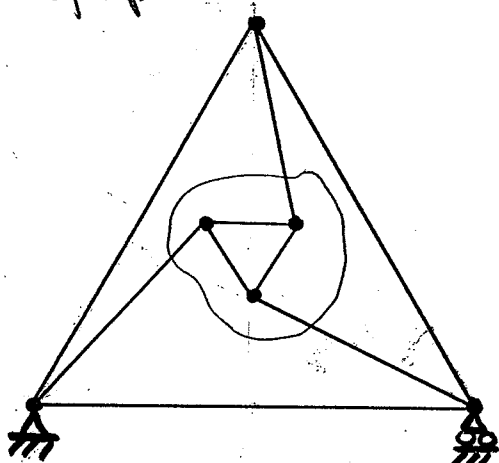


Aislado nudo ⑤

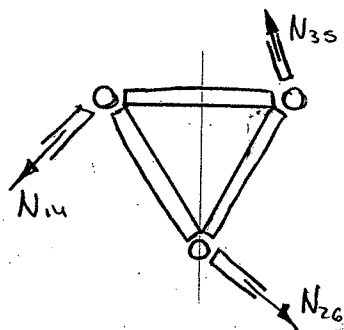


Y así, sucesivamente

Ejemplo método de los secciones: Todos los nodos tienen 3 incógnitas



Aislamos una parte de la estructura (sección) que corta 3 barras



Aplico 6s
ecuaciones
de equilibrio

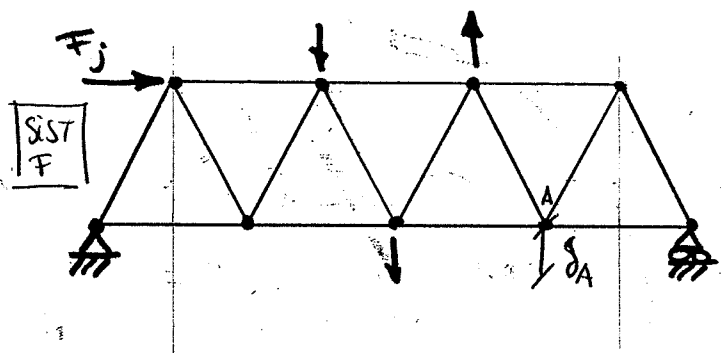
$$\left. \begin{array}{l} \sum F_v = 0 \\ \sum F_h = 0 \\ \sum M = 0 \end{array} \right\}$$

POTENCIAL INTERNO \Rightarrow Desplazamientos

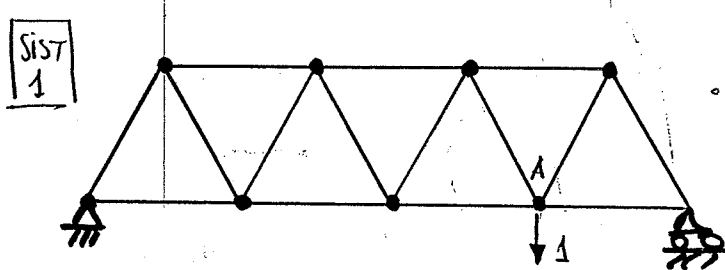
El método que sigue se basa en el potencial interno, que como ya se dijo, su expresión es:

$$U = \frac{1}{2} \sum_i \frac{N_i^2}{E_i A_i} l_i$$

Definimos un sistema F (el real) y un sistema 1 (auxiliar)



$$U_F = \sum_i \frac{1}{2} \frac{N_i^2(F_j)}{E_i A_i} l_i$$



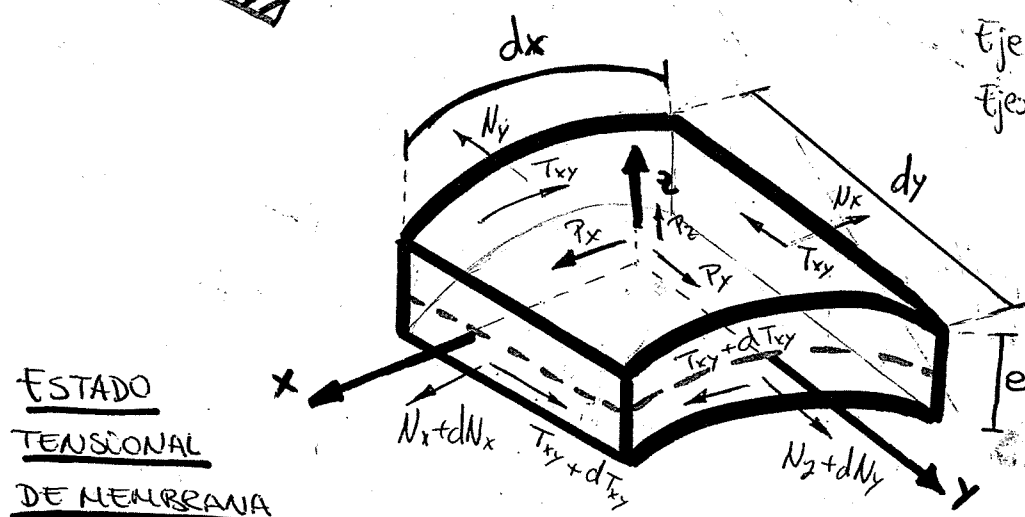
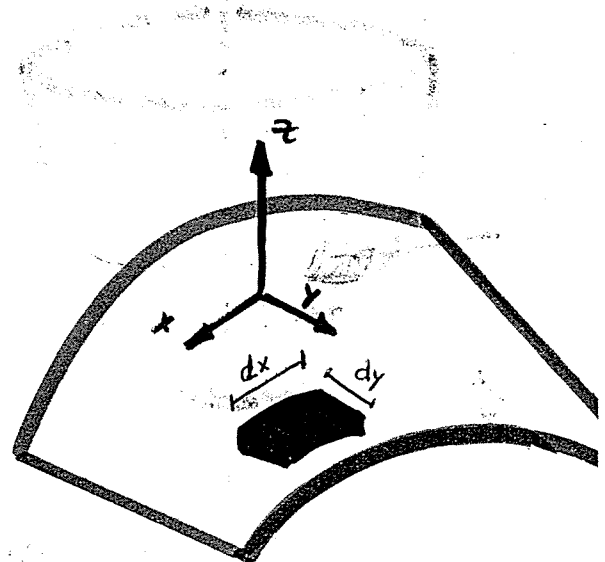
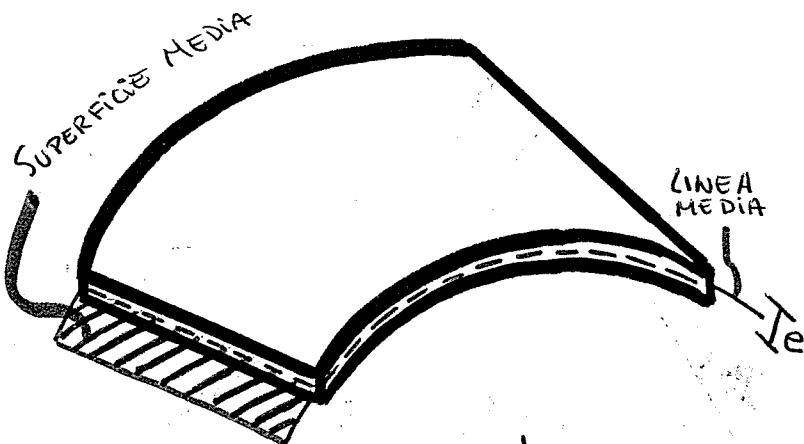
$$U_{P+F} = \sum_i \frac{1}{2} \frac{(N_i(F) + P N_i(1))^2}{E_i A_i} l_i$$

Por th. Castigliano: $S_A = \frac{\partial U}{\partial F_j}$

$$\boxed{S_A = \left. \frac{\partial U_{F+P}}{\partial P} \right|_{P=0} = \sum_i \frac{(N_i(F) + P N_i(1))}{E_i A_i} \cdot N_i(1) \cdot l_i \Big|_{P=0} = \sum_i \frac{N_i(F) \cdot N_i(1)}{E_i A_i} l_i}$$

Lección 11: TRACCIÓN BIAXIAL

Consideraremos bidimensionales.



tje \perp a sup. media.
Ejes X e Y tangentes a ella

Fuerzas
 P_x, P_y, P_z
de superficie
 $[F/L^2]$

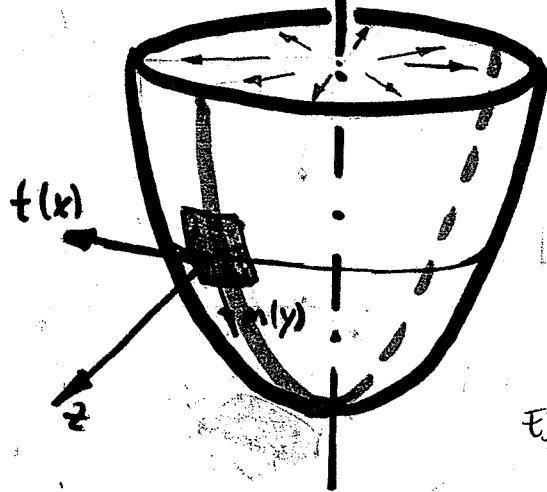
En sólidos bidimensionales aparecen únicamente esfuerzos normales según la dirección X e Z, y esfuerzos costantes en dichos planos

$\left\{ \begin{array}{l} N_x \\ N_z \\ T_{xy} \end{array} \right.$ definidos por metro lineal $[F/L]$ Resiste por forma

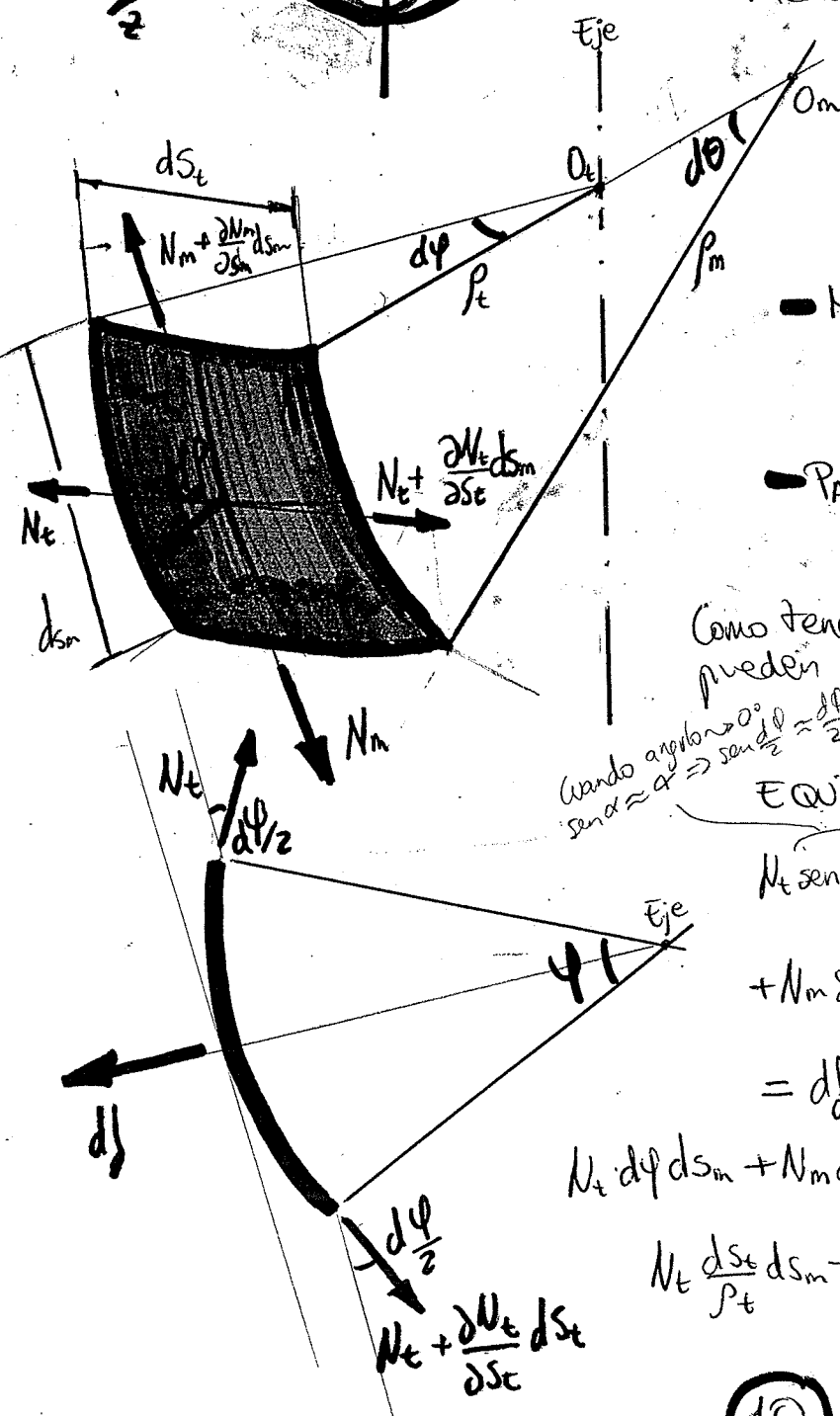
$\sigma_x = N_x/e$
$\sigma_z = N_z/e$
$\tau_{xz} = T_{xz}/e$

Caso particular: LÁMINAS DE REVOLUCIÓN

Eje Revolución



- Sólido bidimensional: MEMBRANA
- Simetría radial en torno al eje de revolución
- Cargas axialsimétricas (en dirección radial)
- Trabajamos con carga t a la superficie media P_m



Definir 2 Familias de Curvas:

- HERIDIANAS:** Resultante de cortar la superficie por planos que contienen al eje
- PARALELAS:** Corte por planos perpendiculares al eje.

Como tenemos simetría de revolución no pueden aparecer ejes de rotación: sólo normales

cuando $\alpha \approx 0 \Rightarrow \sin \frac{\alpha}{2} \approx \frac{\alpha}{2}$

EQUILIBRIO DIRECCIÓN $z = d\theta$ de orden sup.

$$N_t \sin\left(\frac{d\theta}{2}\right) dS_m + N_t \sin\left(\frac{d\theta}{2}\right) dS_m + \frac{\partial N_t}{\partial S_t} dS_t \sin\left(\frac{d\theta}{2}\right) dS_m + N_m \sin\left(\frac{d\theta}{2}\right) dS_t + N_m \sin\left(\frac{d\theta}{2}\right) dS_t + \frac{\partial N_m}{\partial S_m} dS_m \sin\left(\frac{d\theta}{2}\right) dS_t = d\theta dS_m dS_t$$

diferencial de orden superior

$$N_t d\theta dS_m + N_m d\theta dS_t = d\theta dS_m dS_t \rightarrow \begin{cases} d\theta = \frac{dS_m}{P_m} \\ d\theta = \frac{dS_t}{P_t} \end{cases} \rightarrow$$

$$N_t \frac{dS_t}{P_t} dS_m + N_m \frac{dS_m}{P_m} dS_t = d\theta dS_m dS_t$$

De esta expresión se deduce la ecuación de Laplace

$$\frac{N_t}{\rho_t} + \frac{N_m}{\rho_m} = P$$

Expresada en tensiones

$$\frac{\sigma_t}{\rho_t} + \frac{\sigma_m}{\rho_m} = \frac{P}{e}$$

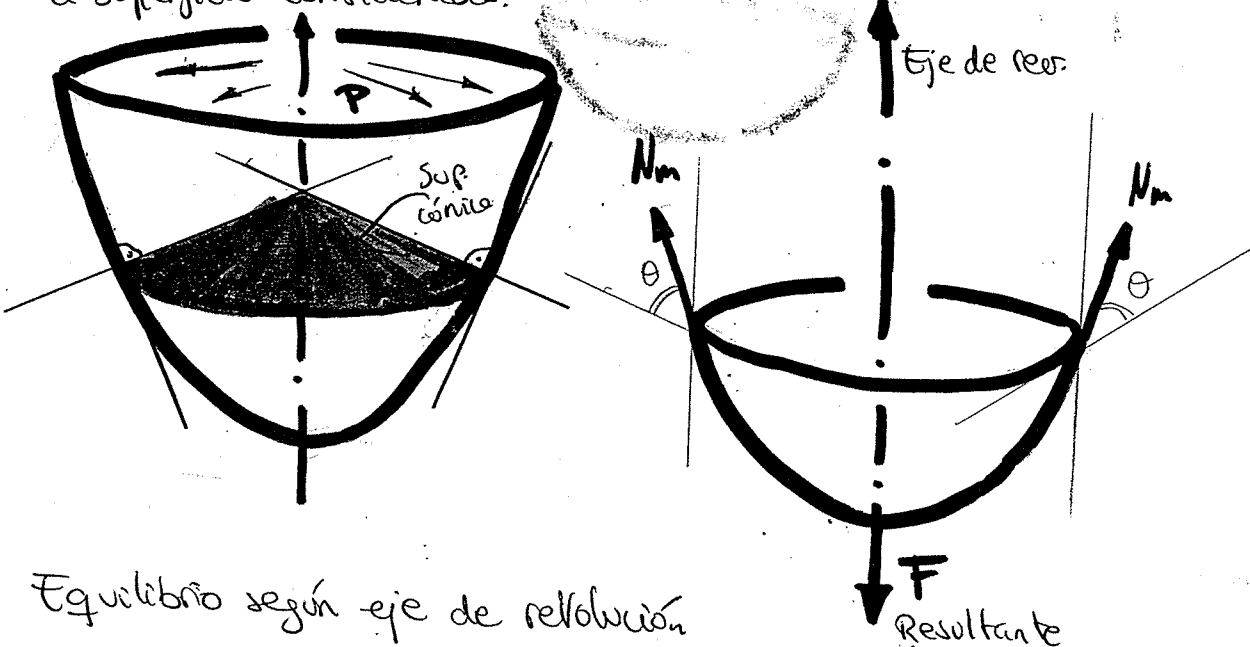
Ecuación adicional

Como N_t es constante en cada curva t

$$\frac{\partial N_t}{\partial S_t} = 0$$

MÉTODO DE LAS SECCIONES

Consistirá en definir una superficie cónica con el mismo eje y \perp a la superficie considerada.

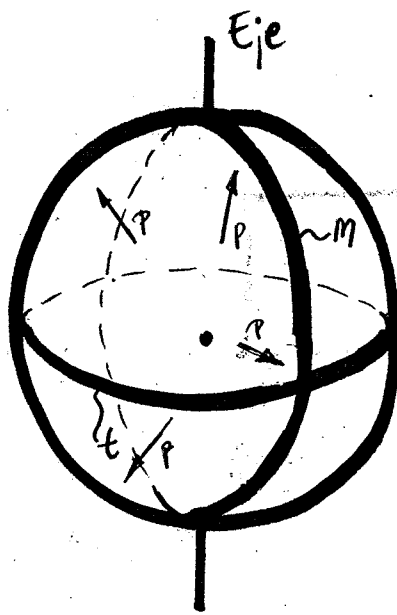


Equilibrio según eje de rotación

$$N_m \sin \theta \cdot 2\pi r = F(P)$$

CASOS

A) Depósito esférico



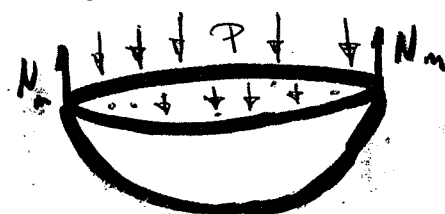
1º: Definimos las familias M y $t \Rightarrow O_m = O_t$

$$P_m = R; P_t = R$$

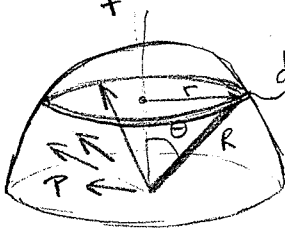
2º: Los ejes z llevan sentido saliente de la superficie

3º: Ecación de Laplace $\frac{N_m}{R} + \frac{N_t}{R} = P$

4º: Sección por cónica



Equilibrio según eje de revolución $\rightarrow N_m \cdot 2\pi R = P \pi R^2$



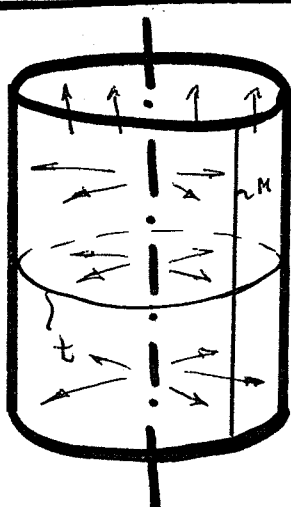
$$\sin\theta = \frac{r}{R}$$

simetría esférica

$$\int_S P \bar{r} ds = P \int_0^{\pi/2} R (\cos\theta \bar{R}) (2\pi R \sin\theta d\theta) = P 2\pi R^2 \underbrace{\int_0^{\pi/2} \sin^2\theta d\theta}_{ds} \left(\frac{R}{2} = P \pi R^2 \bar{k} \right)$$

Por tanto $N_m = \frac{PR}{2}$ Laplace $\rightarrow N_t = \left(P - \frac{N_m}{R} \right) R = \frac{PR}{2}$

B) Depósito cilíndrico



1º: Definimos familias M y $t \Rightarrow O_m, O_t$

$$P_m = \infty, P_t = R$$

2º: Ejes z llevan sentido saliente de la sup.

3º: Ec. Laplace $\frac{N_m}{\infty} + \frac{N_t}{R} = P \quad N_t = PR; O_t = \frac{RP}{e}$

4º: Sección por cónica: $N_m \cdot 2\pi R = P \pi R^2$



$$N_m = \frac{PR}{2}, O_m = \frac{PR}{2e}$$

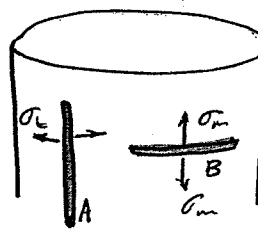
12

NOTA!! ¿Dónde rompe el cilindro?

$$\sigma_e = RP/e \quad \sigma_e > \sigma_m$$

$$\sigma_m = RP/2e$$

ROMPE POR A!



Las tensiones llevan la dirección de su linea de actuación

Siempre romperá por la + a la linea de actuación correspondiente a la mayor tensión.

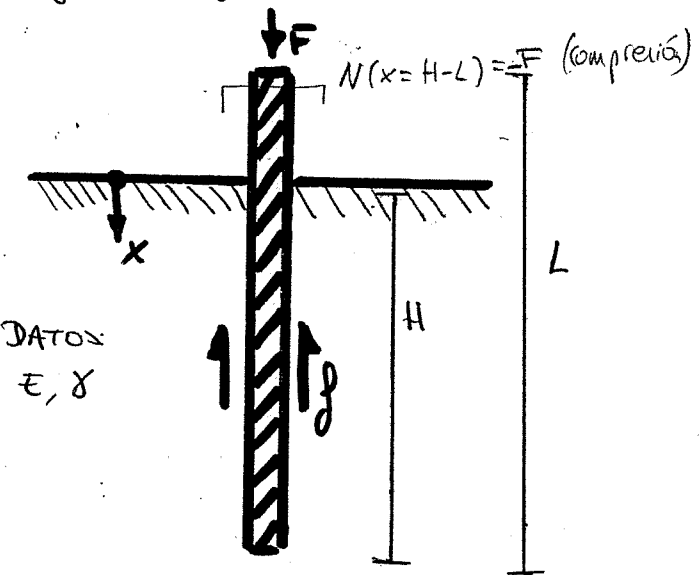
PROBLEMA

(Lección 9) ESPECIAL TI

Un pilote de hormigón de sección constante R y longitud L ha sido introducido verticalmente en un terreno arcilloso hasta una profundidad H . El pilote soporta una carga F en su extremo superior que, junto con su peso propio, es equilibrado en su totalidad por el rotamiento con el terreno, cuyo efecto es una fuerza f por unidad de longitud que varía cuadráticamente con la profundidad $f = Kx^2$.

Se pide:

- 1) Relación que debe existir entre H y F en función del parámetro K .
- 2) Expresión analítica y diagrama de esfuerzos normales del pilote
- 3) Profundidad a la que el esfuerzo normal es máximo
- 4) Acoramiento total del pilote



Estamos ante el caso de esfuerzo normal variable, por tanto

$$q(x) + \frac{dN(x)}{dx} = 0, \text{ siendo } q(x) \text{ las fuerzas por unid. longitud}$$

$$\left\{ \begin{array}{ll} x < 0 & \text{junto peso prop.} \\ x > 0 & \text{peso prop. + rotam.} \end{array} \right.$$

$$\bullet x < 0 : q(x) = \gamma \cdot R; \quad \gamma \cdot R + \frac{dN(x)}{dx} = 0; \quad N(x) = N_0 - \gamma R x$$

Condición de contorno:

$$N(x=H-L) = -F \rightarrow N(H-L) = N_0 - \gamma R (H-L) = -F; \quad N_0 = -F + \gamma R (H-L)$$

$$\underline{N(x) = -F + \gamma R (H-L) - \gamma R x ; x < 0}$$

$$x > 0 : \gamma(x) = \gamma_2 - f = \gamma_2 - Kx^2$$

$$\gamma(x) + \frac{dN(x)}{dx} = 0 ; \gamma_2 - Kx^2 + \frac{dN(x)}{dx} = 0 ; dN(x) = (Kx^2 - \gamma_2) dx$$

$$N(x) = N_0 + K \frac{x^3}{3} - \gamma_2 x$$

Condición de contorno: $N(x=H) = 0 \Rightarrow$

$$\Rightarrow N_0 + K \frac{H^3}{3} - \gamma_2 H = 0 ; N_0 = \gamma_2 H - K \frac{H^3}{3}$$

$$N(x) = \gamma_2 H - K \frac{H^3}{3} - \gamma_2 x + K \frac{x^3}{3}$$

Por continuidad: $\underset{x < 0}{N(x=0)} = \underset{x > 0}{N(x=0)}$

$$\gamma_2 H - K \frac{H^3}{3} = -F + \gamma_2 (H-L)$$

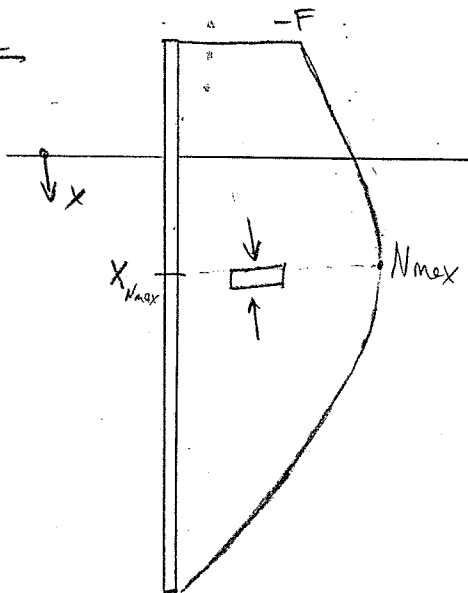
$$\textcircled{1} \quad F = K \frac{H^3}{3} - \gamma_2 L \quad ; \quad K = \frac{F + \gamma_2 L}{H^3} \quad \text{---}$$

(2)

Expresiones
análogas
de $N(x)$

$$\left\{ \begin{array}{l} x < 0 : N(x) = -F + \gamma_2 (H-L-x) \\ x > 0 : N(x) = -F + \gamma_2 (H-L-x) + \frac{F + \gamma_2 L}{H^3} \cdot \frac{x^3}{3} \end{array} \right.$$

Diagrama



14

③ Profundidad X_{\max}

$$\frac{dN(x)}{dx} = 0 \longrightarrow -\gamma R + \frac{F + \gamma RL}{H^3} 3x^2 = 0$$

$$X_{\max} = \sqrt{\frac{\gamma R \cdot H^3}{3(F + \gamma RL)}}$$

④

$$\begin{aligned}
 \Delta L &= \int_{H-L}^0 \frac{N(x)}{E\gamma R} dx + \int_0^H \frac{N(x)}{E\gamma R} dx = \frac{1}{E\gamma R} \left[\int_{H-L}^0 (-F + \gamma R(H-L-x)) dx + \right. \\
 &\quad \left. + \int_0^H (-F + \gamma R(H-L-x) + \frac{F + \gamma RL}{H^3} x^3) dx \right] = \\
 &= \frac{1}{E\gamma R} \left(\left. \left(-Fx + \gamma R x(H-L) - \gamma R \frac{x^2}{2} \right) \right|_{H-L}^0 + \left. \left(-Fx + \gamma R(H-L)x - \gamma R \frac{x^2}{2} + \frac{F + \gamma RL}{H^3} \frac{x^4}{4} \right) \right|_0^H \right) = \\
 &= \frac{1}{E\gamma R} \left[F(H-L) - \cancel{\gamma R(H-L)^2} + \cancel{\frac{\gamma R}{2}(H-L)^2} - \cancel{F}H + \cancel{\gamma R H(H-L)} - \cancel{\gamma R \frac{H^2}{2}} + \cancel{\frac{F + \gamma RL}{H^3} \frac{H^4}{4}} \right] = \\
 &= \frac{1}{E\gamma R} \left[-\gamma R \frac{(H-L)^2}{2} - FL + \gamma R H \left(H-L - \frac{H}{2} \right) + \frac{F + \gamma RL}{H^3} \frac{H^4}{4} \right] = \\
 &= \frac{F}{E\gamma R} \left(\frac{H}{4} - L \right) + \frac{\gamma L}{E} \left(\frac{H}{4} \right) - \frac{\gamma R}{E\gamma R} \left[\frac{H^2}{2} + \frac{L^2}{2} - HL - H^2 + HL + \frac{H^2}{2} \right] = \\
 &= \boxed{\frac{F}{E\gamma R} \left(\frac{H}{4} - L \right) + \frac{\gamma L}{E} \left(\frac{H}{4} - \frac{L}{2} \right) = \Delta L}
 \end{aligned}$$

se trata de un
acortamiento

Ejercicio

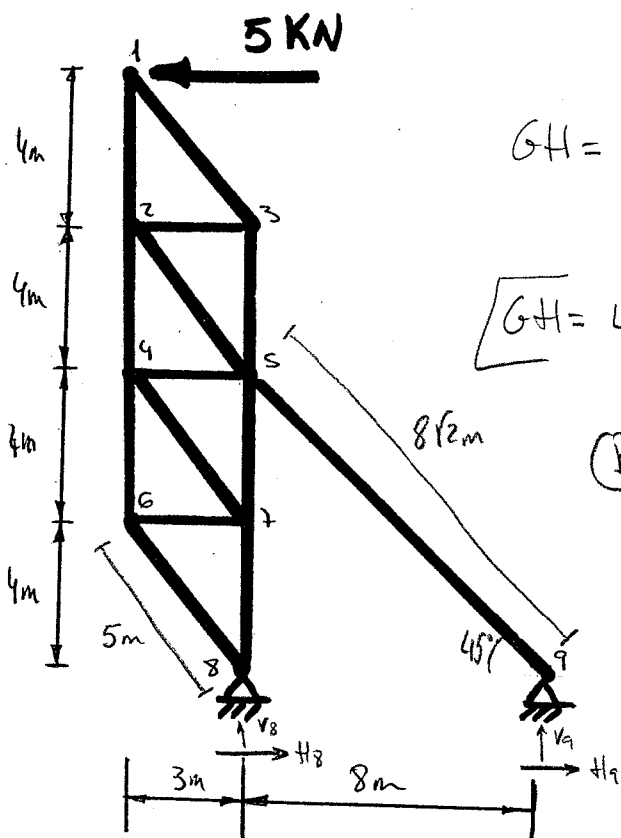
(lección 10)

ESPECIAL T1

En la estructura articulada de la figura todos los barras excepto la 5-9 tienen 10 cm^2 de sección. El módulo de Young para todos ellos es $E = 2 \cdot 10^5 \text{ MPa}$

Se pide:

- Indicar razonadamente si la estructura es isostática.
- Calcular los esfuerzos en todos los barras.
- Determinar el valor mínimo de la sección de la barra 5-9 para que el movimiento horizontal del nudo 1 no sea menor de 5 mm.



a) Calculamos el grado de hipostaticidad

$$GH = (r+b) - 2n \quad r = \text{reac. ext.}$$

b = n° barras

n = n° nudos

$$\boxed{GH = 4 + 14 - 18 = 0} \rightarrow \text{Isostático}$$

b) Esfuerzos

1º Calculo reacciones en los apoyos aplicando cond. de eq. estático

$$\sum F_H = 0 : H_8 + H_9 - 5 = 0 \text{ (KN)}$$

$$\sum F_V = 0 \quad V_8 + V_9 = 0 ; V_8 = -V_9$$

$$\sum M_g = 0 : -V_8 \cdot 8 + 5 \cdot 16 = 0 \text{ (KN.m)}$$

$$V_8 = \frac{5 \cdot 16}{8} = 10 \text{ KN}$$

$$V_9 = -10 \text{ KN}$$

Nudo 9:
 $H_9 = -V_9$
 $H_9 = 10 \text{ KN}$

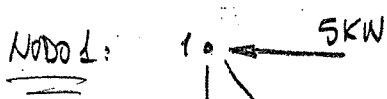
$$\downarrow$$

$$H_8 = 5 - 10 = -5 \text{ KN}$$

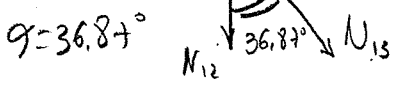
$$H_8 = -5 \text{ KN}, V_8 = 10 \text{ KN}$$

$$H_9 = 10 \text{ KN}, V_9 = -10 \text{ KN}$$

Aplico equilibrio a cada Nodo:



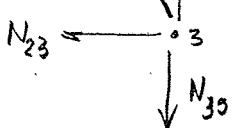
$$\sum F_H = 0 \rightarrow N_{13} \cdot \frac{3}{5} - 5 = 0; \quad N_{13} = \frac{25}{3} \text{ KN, Barra 1-3 a tracción}$$



$$\sin 36.87^\circ = \frac{3}{5}$$

$$\cos 36.87^\circ = \frac{4}{5}$$

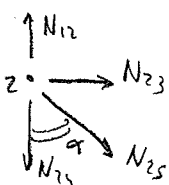
NODO 3:



$$\sum F_H = 0 \rightarrow -N_{23} - N_{13} \cdot \frac{3}{5} = 0; \quad N_{23} = -5 \text{ KN, Barra 2-3 a compresión}$$

$$\sum F_V = 0 \rightarrow N_{13} \cdot \frac{4}{5} - N_{33} = 0; \quad N_{33} = \frac{20}{3} \text{ KN, Barra 3-5 a tracción}$$

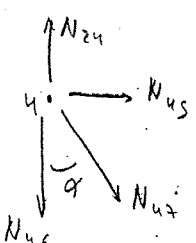
NODO 2:



$$\sum F_H = 0 \rightarrow N_{23} + \frac{3}{5} N_{25} = 0; \quad N_{23} = \frac{25}{3} \text{ KN, Barra 2-5 a tracción}$$

$$\sum F_V = 0 \rightarrow N_{23} - N_{24} - N_{25} \cdot \frac{4}{5} = 0; \quad N_{24} = -\frac{40}{3} \text{ KN, Barra 2-4 a compresión}$$

NODO 4:



$$\sum F_H = 0 \rightarrow N_{45} + \frac{3}{5} N_{47} = 0 \rightarrow 5N_{45} + 3N_{47} = 0 \quad (**)$$

$$\sum F_V = 0 \rightarrow N_{45} - N_{46} - \frac{4}{5} N_{47} = 0 \rightarrow N_{46} + \frac{4}{5} N_{47} = -\frac{40}{3} \quad (***)$$

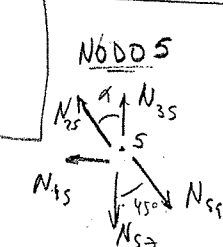
NODO 9:

$$N_{59} = \sqrt{100 + 100} = 10\sqrt{2} \text{ KN}$$

$$N_{59} = 10\sqrt{2} \text{ KN, Barra 5-9 a tracción}$$



10 KN



$$\sum F_H = 0 \rightarrow \frac{\sqrt{2}}{2} N_{59} - N_{45} - N_{4S} \cdot \frac{3}{5} = 0; \quad N_{45} = 5 \text{ KN}$$

Barra 4-5 a tracción

$$\sum F_V = 0 \rightarrow N_{59} + \frac{4}{5} N_{4S} - N_{47} - \frac{\sqrt{2}}{2} N_{59} = 0$$

NODO 4:

$$(**) \rightarrow N_{47} = -\frac{5}{3} N_{45}$$

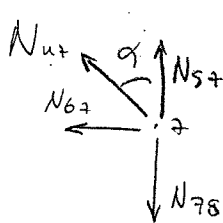
$$N_{47} = -\frac{25}{3} \text{ KN, Barra 4-7 a tracción}$$

$$N_{45} = \frac{10}{3} \text{ KN, Barra 5-7 a tracción}$$

$$(*** \#) \rightarrow N_{46} = -\frac{40}{3} - \frac{4}{5} N_{47} \longrightarrow$$

$$N_{46} = -\frac{20}{3} \text{ KN, Barra 4-6 a compresión}$$

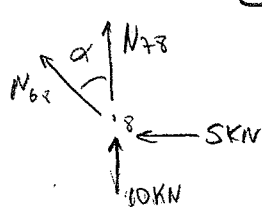
NODO 7



$$\sum F_H = 0 \rightarrow -\frac{3}{5}N_{u7} - N_{67} = 0; \quad N_{67} = +5 \text{ kN; Barra 6-7 a tracción}$$

$$\sum F_V = 0 \rightarrow N_{s7} + \frac{4}{5}N_{u7} - N_{78} = 0; \quad N_{78} = -\frac{10}{3} \text{ kN Barra 7-8 a compresión}$$

NODO 8



$$\sum F_H = 0 \quad -5 - \frac{3}{5}N_{68} = 0; \quad N_{68} = -\frac{25}{3} \text{ kN, Barra 6-8 a compresión}$$

$$\sum F_V = 0: 10 + \left(\frac{-10}{3}\right) + \left(-\frac{25}{3}\right) \cdot \frac{4}{5} = 0 \checkmark$$

(C) Valor mínimo de sección de barra 5-9: A_{59}

(CON): $S_H^1 \leq 0,005 \text{ m}$ Teorema de Castigliano (Ver pag 8 - lec 10)

Aplicamos $S_H^1 = \sum \frac{N_i(F) \cdot N_i(1)}{E A_i} l_i$

$$N_i(F) = 5N_i(1) \Rightarrow$$

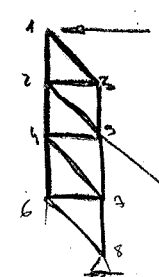
$$\Rightarrow S_H^1 = \sum \frac{N_i \cdot \frac{N_i}{5}}{E A_i} l_i =$$

$$= \frac{1}{5 \cdot 2 \cdot 10^8} \cdot \left(\left(\frac{20}{3} \right)^2 \cdot \frac{4}{10^3} + \left(\frac{25}{3} \right)^2 \cdot \frac{5}{10^{-3}} + 5^2 \cdot \frac{3}{10^{-3}} + \left(\frac{20}{3} \right)^2 \cdot \frac{4}{10^3} + \left(\frac{25}{3} \right)^2 \cdot \frac{5}{10^{-3}} + \left(\frac{40}{3} \right)^2 \cdot \frac{4}{10^{-3}} + 5^2 \cdot \frac{3}{10^{-3}} + \left(\frac{20}{3} \right)^2 \cdot \frac{4}{10^3} + \left(\frac{10}{3} \right)^2 \cdot \frac{4}{10^3} + \left(\frac{25}{3} \right)^2 \cdot \frac{5}{10^3} + 5^2 \cdot \frac{3}{10^3} + \left(\frac{25}{3} \right)^2 \cdot \frac{5}{10^3} + \left(\frac{10}{3} \right)^2 \cdot \frac{4}{10^3} + (10\sqrt{2})^2 \cdot \frac{8\sqrt{2}}{A_{59}} \right) = 0,005$$

$$2,94 \cdot 2 \cdot 10^{-3} + \frac{10^2 \cdot 2}{10^9} \cdot \frac{8\sqrt{2}}{A_{59}} = 0,005$$

$$\frac{200}{10^9} \cdot \frac{8\sqrt{2}}{A_{59}} = 2,052 \cdot 10^{-3}, \quad \boxed{A_{59} = \frac{200 \cdot 8\sqrt{2}}{2,052 \cdot 10^6} = 11,02 \text{ cm}^2}$$

SIST AUX



$$A_1 = 10 \text{ cm}^2 = 10^{-3} \text{ m}^2$$

excepto

A_{59}

$$E = 2 \cdot 10^5 \text{ MPa}$$

EJERCICIO

ESPECIAL T1

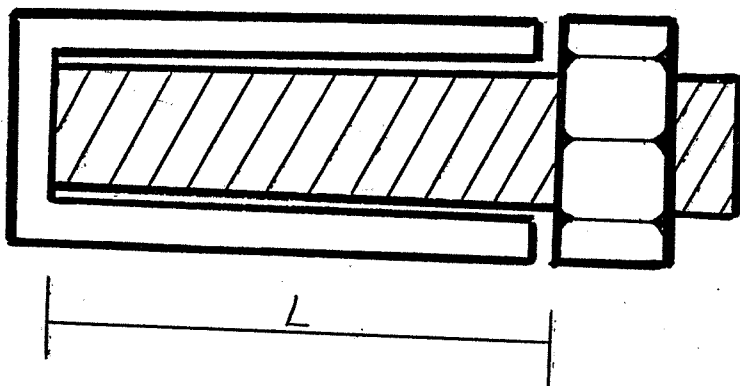
(conjunto: Cilindro de cobre + tornillo de acero en su interior (L))

En su extremo inicial el tornillo está unido al cilindro mientras que en el final está rosado externamente a una fuerza con paso de rosca (longitud que avanza por cada vuelta completa) p

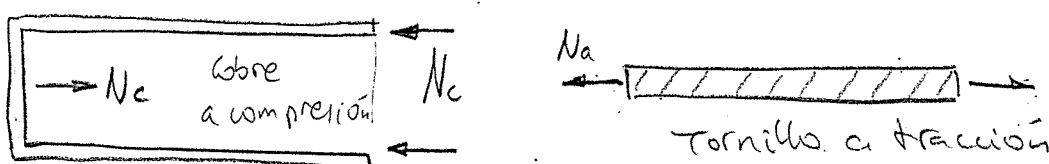
Se pide:

- 1) Tensiones en cilindro y tornillo después de dar n vueltas de apriete a la fuerza
- 2) Si en estas condiciones se produce un salto térmico T en todo el conjunto, determinar las nuevas tensiones que se establecerán

Datos: Cobre: σ_c ϵ_c
 Acero: σ_a ϵ_a



① Desplazamiento por giro de tuerce = $n \cdot p$



$$N_a = -N_c = N$$

$$n \cdot p = \Delta L_{\text{tuerce}} - (-\Delta L_{\text{cobre}}) = E_a \cdot L - \epsilon_c \cdot L = \frac{\sigma_a}{E_a} L - \frac{\sigma_c}{E_c} L = \frac{N}{\sigma_a E_a} L - \frac{(N)}{\sigma_c E_c} L$$

$$n \cdot p = NL \left(\frac{\sigma_a E_a + \sigma_c E_c}{\sigma_a \sigma_c E_a E_c} \right); K = \sigma_a E_a + \sigma_c E_c$$

$$N = \frac{n \cdot p}{L} \left(\frac{\sigma_a \sigma_c E_a E_c}{K} \right)$$

$$\left. \begin{aligned} \sigma_a &= \frac{N}{\sigma_a} = \frac{n \cdot p}{L} \frac{\sigma_c E_a E_c}{K} \\ \sigma_c &= \frac{-N}{\sigma_c} = -\frac{n \cdot p}{L} \frac{\sigma_a E_a E_c}{K} \end{aligned} \right\}$$

b) Se produce $\Delta T = T$

Suponemos que no hay apriete de fuerza, sólo salto térmico

De modo $N_a = -N_c = N$

$$\left. \begin{array}{l} \Delta h_a = E_a L + g T L = \frac{N}{R_a E_a} L + g_a T L \\ \Delta h_c = E_c L + g T \cdot L = \frac{-N}{R_c E_c} L + g_c T L \end{array} \right\} \Delta L_a = \Delta L_c \quad \left. \begin{array}{l} \frac{N}{R_a E_a} L + g_a T L = -\frac{N}{R_c E_c} L + g_c T L \end{array} \right.$$

$$\Rightarrow N \left(\frac{L}{R_a E_a} + \frac{L}{R_c E_c} \right) = (g_c - g_a) T L; \quad N = (g_c - g_a) T \frac{R_a E_a + R_c E_c}{R_a E_a + R_c E_c}$$

$$R_a E_a + R_c E_c = K$$

$$\rightarrow \left. \begin{array}{l} \sigma_a = \frac{N}{R_a} = (g_c - g_a) T \frac{E_a R_c E_c}{K} \\ \sigma_c = -\frac{N}{R_c} = -(g_c - g_a) T \frac{E_c R_a E_c}{K} \end{array} \right\} \text{Por tanto, la resultante de tensiones si se produce salto térmico y apriete de fuerza será } \underline{\underline{—}}$$

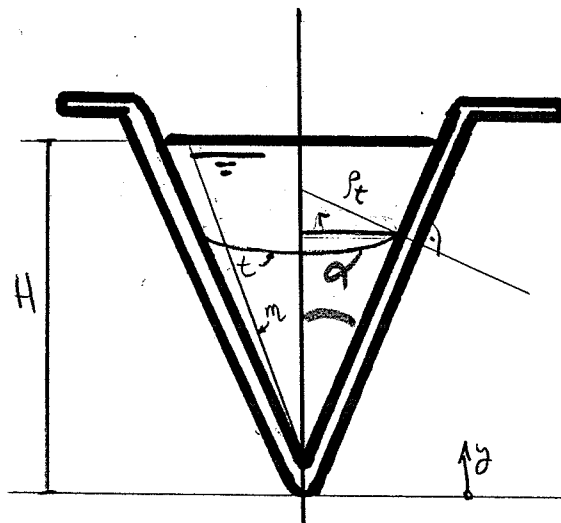
$$\rightarrow \boxed{\left. \begin{array}{l} \sigma_a = \frac{E_a R_c E_c}{K} \left(\frac{n_p}{L} + (g_c - g_a) T \right) \\ \sigma_c = \frac{E_c R_a E_c}{K} \left((g_a - g_c) T - \frac{n_p}{L} \right) \end{array} \right\}}$$

PROBLEMA Lección 11 ESPECIAL TI

El depósito de la figura, de forma cónica y semiamplio α , contiene un fluido de peso específico γ , siendo H la profundidad máxima

Se pide

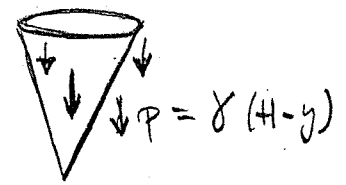
- 1) Calcular las tensiones de membrana en cualquier punto del depósito
- 2) Calcular el valor de la tensión máxima y dónde tiene lugar



1

① Familia de soluciones t, m

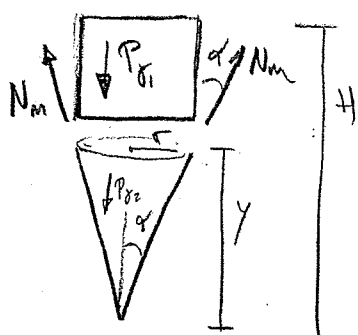
$$\begin{cases} P_t = r/\cos\vartheta, \quad f_s g = \frac{F}{\omega} \\ P_m = \Delta \end{cases}$$



② Laplace $\rightarrow \frac{N_m}{\cos\vartheta} + \frac{N_t}{g \tan\vartheta} \cdot \cos\vartheta = P$

$$N_t = \gamma(H-y) \frac{g \tan\vartheta}{\cos\vartheta} \rightarrow \sigma_t = \frac{\gamma(H-y) g \tan\vartheta}{e \cos\vartheta}; \text{ e = exponente}$$

Fuerza Miediana

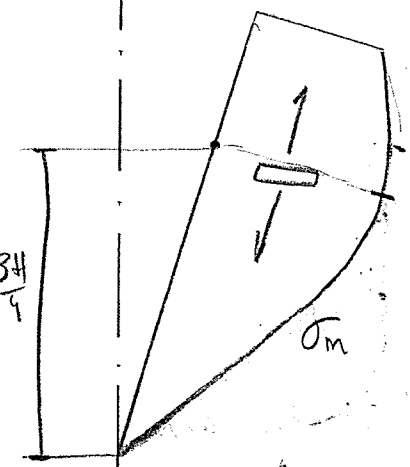


Equilibrio en la dirección del eje de revolución

$$N_m \cos\vartheta \cdot 2\pi r = \gamma(H-y) \pi r^2 + \frac{1}{3} \pi r^2 y \gamma$$

$$N_m \cos\vartheta 2\pi r / g \tan\vartheta = \gamma(H-y) \pi r^2 \tan\vartheta + \frac{1}{3} \pi r^2 \tan\vartheta y \gamma$$

$$N_m = \frac{\gamma \tan\vartheta \cdot y}{2 \cos\vartheta} \left(H - \frac{2}{3} y \right); \quad \sigma_m = \frac{\gamma \tan\vartheta}{2 e \cos\vartheta} \left(H - \frac{2}{3} y \right)$$



$$y=H \rightarrow N_m = \frac{\gamma \tan\vartheta}{2 \cos\vartheta} \frac{H^2}{3}, \quad \sigma_m = \frac{N_m}{e}$$

$$y=0 \rightarrow N_m=0; \quad \sigma_m=0$$

$$\sigma_{m \max} \rightarrow \frac{d\sigma_m}{dy} = 0 \rightarrow \frac{\gamma \tan\vartheta}{2 e \cos\vartheta} \left(H - \frac{2}{3} y \right) = 0, \quad y = \frac{3H}{4}$$

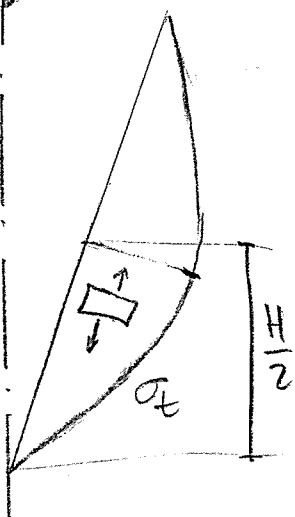
$$\sigma_{m \max} \Rightarrow y = \frac{3H}{4}$$

$$y=H \rightarrow N_t=0 \quad \therefore \sigma_t=0$$

$$y=0 \rightarrow N_t=0 \rightarrow \sigma_t=0$$

$$\sigma_{t \max} \rightarrow \frac{d\sigma_t}{dy} = 0 \rightarrow \frac{\gamma \tan\vartheta}{e \cos\vartheta} (H - 2y) = 0$$

$$\sigma_{t \max} \Rightarrow y = \frac{H}{2}$$

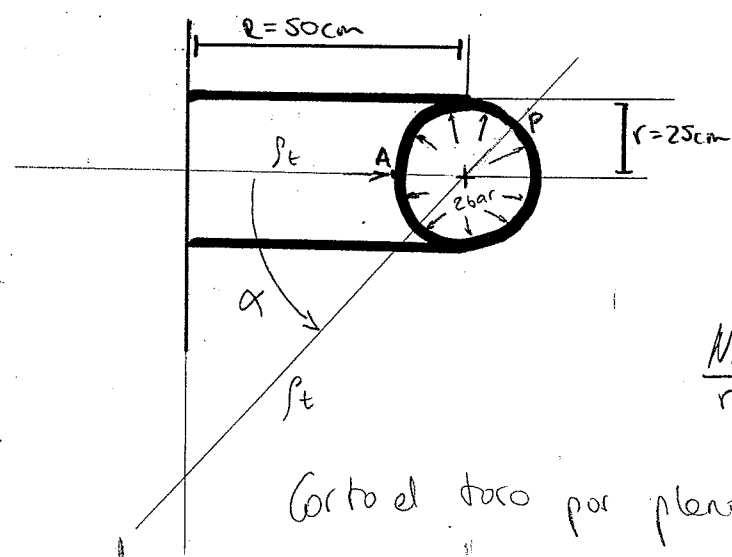


$$\sigma_{t\max} = \sigma_t \left(y = \frac{H}{2} \right) = \frac{\gamma t_3 g}{e \cos \theta} \cdot \frac{H^2}{4}$$

$$\sigma_m^m = \sigma_m \left(y = \frac{3H}{4} \right) = \frac{\gamma t_3 g}{2 e \cos \theta} \cdot \frac{3H^2}{8} = \frac{3 \gamma t_3 g H^2}{16 e \cos \theta}$$

EJERCICIO

Un neumático con las dimensiones indicadas en la figura esté sometido a una presión interna de 2 bar. Si el espesor es de 2,5 mm, calcular las tensiones en los puntos más cercanos al eje de rotación.



En P

$$P_m = r \\ P_t = r + \frac{R}{\cos \theta}$$

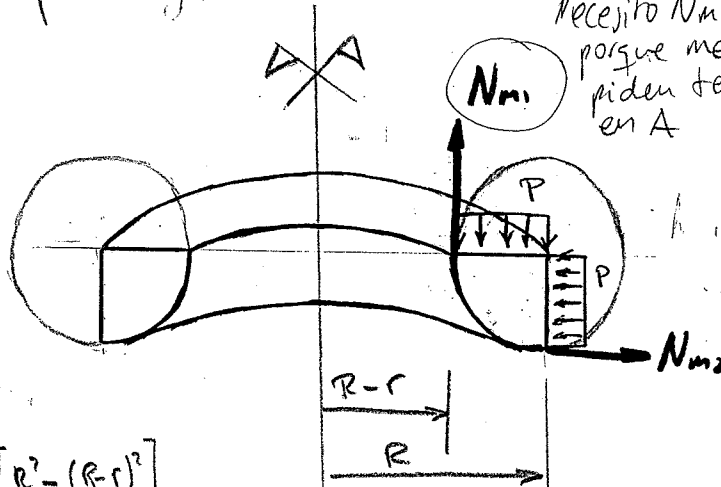
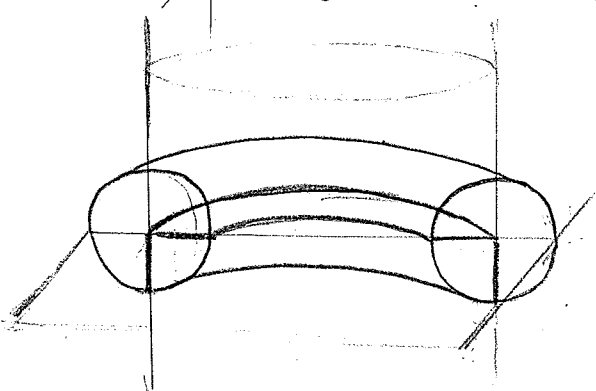
En A

$$P_m = r \\ P_t = r - R$$

$$\frac{N_m}{r} + \frac{N_t}{r + \frac{R}{\cos \theta}} = P$$

$$\frac{N_m}{r} + \frac{N_t}{r - R} = P$$

Corte el toco por plano y cilindro



$$\sum F_r = 0 \rightarrow N_{m1} 2\pi(R-r) = P \left(\pi [R^2 - (R-r)^2] \right)$$

$$N_{m1} = \frac{Pr(2R-r)}{2(R-r)}$$

$$\sigma_m = \frac{N_{m1}}{e} = \frac{0,2 \cdot 250 (2 \cdot 500 - 250)}{2 (500 - 250) \cdot 2,5} = 30 \text{ MPa}$$

Toda a
MPa, N/mm

$$N_t = \left(P - \frac{N_m}{r} \right) (r - e)$$

$$\sigma_t = \left(\frac{P}{e} - \frac{\sigma_m}{r} \right) (r - e)$$

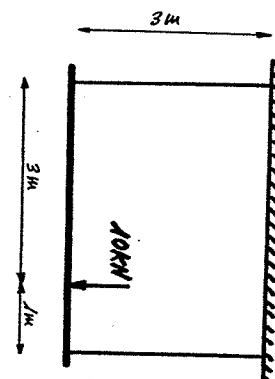
$$\sigma_t = \left(\frac{0,2}{2,5} - \frac{30}{250} \right) (250 - 50)$$

$$\sigma_t = 10 \text{ MPa}$$

PROBLEMAS DE RESISTENCIA DE MATERIALES
CURSO 2012-13

3.1.- Una viga indeformable de longitud 4 m, de peso despreciable, está suspendida por dos hilos verticales de 3 m de longitud. La viga está cargada con un peso, situado a 3 m del hilo de la izquierda. Sabiendo que el hilo de la izquierda es de aluminio de 25 mm^2 de sección y que el de la derecha es de acero, de 64 mm^2 de sección, se pide:

- a)- Determinar la tensión en cada uno de los hilos.
b)- Calcular el alargamiento de cada hilo.



Datos:
 $E_{\text{Acero}} = 2,1 \cdot 10^5 \text{ MPa}$ $E_{\text{Aluminio}} = 0,6 \cdot 10^5 \text{ MPa}$

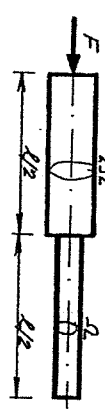
3.2.- Dos hilos metálicos de la misma sección, uno de acero y otro de aluminio, se cuelgan independientemente en posición vertical. Hallar la longitud máxima compatible con la resistencia del material en ambos casos.

Acero Aluminio

Datos:
Tensión de rotura, σ_f (MPa)
Peso específico, γ (kN/dm^3)

400 180
7,8 2,7

3.3.- La barra de la figura está sometida a una aceleración constante producida por la actuación de la fuerza F en su extremo. Determinar la ley de esfuerzos normales y dibujar el correspondiente diagrama.



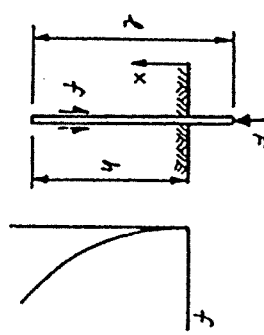
11-6-01

3.4.- Se considera el sistema indicado en la figura formado por dos cables DB y CBA, y una polea cuyo radio es despreciable respecto a la longitud l del cable DB.

Sabiendo que los cables tienen iguales las áreas Ω de las secciones rectas, así como que son del mismo material, de módulo de elasticidad E , calcular el descenso del extremo A del cable cuando se aplica en él una carga P .

2-9-93

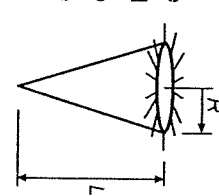
3.5.- Un pilote de hormigón de sección constante Ω y longitud l , ha sido introducido verticalmente en un terreno arcilloso hasta una profundidad h . El pilote soporta una carga F en su extremo superior, la cual es equilibrada en su totalidad por el rozamiento con el terreno cuyo efecto es una fuerza por unidad de longitud que varía cuadráticamente con la profundidad: $f = kx^2$. Suponiendo que la rigidez del hormigón es E , se pide:



- a)- Relación que debe existir entre h y F en función del parámetro k .
b)- Diagrama de esfuerzos normales en el pilote, obteniendo su expresión analítica.
c)- Acortamiento total del pilote.

3.6.- Un sólido elástico de forma cónica tiene: radio de la base R ; longitud L ; peso específico γ ; y módulo de elasticidad E . El cono está empotrado por su base y tiene su eje vertical, como se indica en la figura. Calcular el desplazamiento del vértice debido al propio peso.

10-9-01



- 3.7.- Una barra OA de longitud L, sección constante Ω y peso P_1 gira en un plano horizontal alrededor de un eje vertical fijo que pasa por su extremo O, a velocidad angular constante ω . La barra lleva solidaria en su extremo A una bola de peso P y radio despreciable.

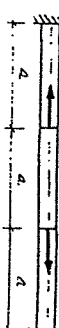


Conociendo el módulo de elasticidad E de la barra, se pide:

- Hallar la ley de distribución de tensiones normales en las secciones de la barra en función de la distancia r al eje de giro.
- Calcular el alargamiento experimentado por la barra.

10-6-97

- 3.8.- Para la barra de la figura, de longitud L, módulo de elasticidad E, sección constante Ω y empotrada por sus dos extremos A y B, se pide:

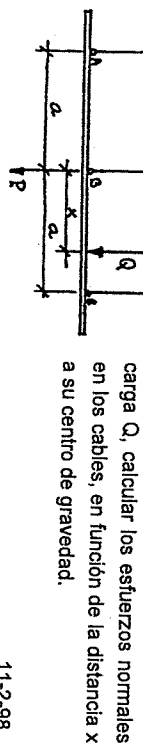


- a)- Reacciones en los apoyos y diagrama de esfuerzos normales.

- b)- Desplazamientos longitudinales de las secciones respecto de la sección A.

1-3-94

- 3.9.- El sistema indicado en la figura está constituido por una viga rígida de peso P sostenida por tres cables idénticos AA', BB' y CC'. Cuando se coloca en la viga una carga Q, calcular los esfuerzos normales en los cables, en función de la distancia x a su centro de gravedad.



11-2-98

- 3.10.- Una barra corta compuesta está formada por una barra cilíndrica de área A_1 y módulo E_1 , y un tubo de igual longitud de área A_2 y módulo E_2 . ¿Cómo se distribuirá la carga P de compresión aplicada sobre una placa rígida, como se indica en la figura?



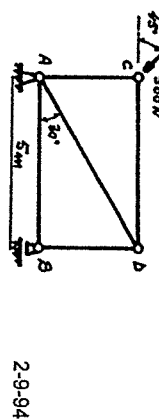
- 3.11.- Se desea fabricar una viga de hormigón pretensado de 3 m de longitud y sección rectangular de 10 x 10 cm. Para ello se tensan 4 redondos de acero de $\phi = 5$ mm, con 7500 N de carga total, en un molde con la sección deseada. Con los redondos tensos, se vierte el hormigón en el molde y se deja fraguar. Una vez endurecido el hormigón, se retira la carga de los redondos de acero, quedando el hormigón comprimido y los redondos traccionados. Calcular las tensiones finales en el hormigón y en el acero.

Datos: $E_s = 2 \cdot 10^5$ MPa $E_h = 185 \cdot 10^6$ MPa

- 3.12.- Un perno de acero de sección A_a , módulo de Young E_a y longitud L atraviesa un tubo de fundición (sección A_f , módulo de Young E_f , longitud L) como se representa en la figura. El paso de rosca es p . Admitiendo que ambos se comportan elásticamente y que no existen rozamientos, calcular la tensión en el perno y en el tubo si la tuerca se aprieta un cuarto de vuelta una vez conseguido el contacto.



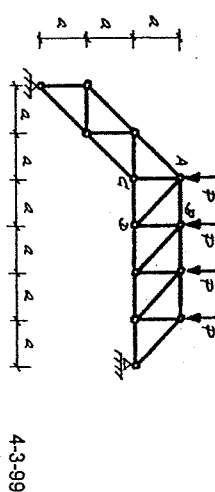
- 3.13.- Hallar los esfuerzos en las barras del sistema articulado de la figura.



2-9-94

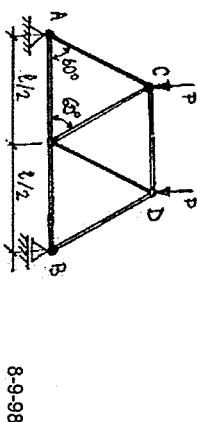


- 3.14.- En el sistema de nudos articulados de la figura, se pide determinar los esfuerzos en las barras AB, CD y AD.



4-3-99

- 3.15.- Calcular los valores de los esfuerzos, con su signo, de todas las barras del sistema plano de nudos articulados de la figura.



8-9-98

- 3.16.- Calcular el estado tensional creado en las paredes de un depósito cilíndrico de radio R y espesor e pequeño y constante, sometido en su interior a presión p constante

- 3.17.- Calcular el estado tensional creado en las paredes de un depósito cilíndrico de radio de la base R , longitud de la generatriz h y espesor e pequeño y constante, sometido en su interior a presión p constante

- 3.18.- Se tiene un depósito cónico abierto de pared delgada de espesor constante suspendido de su borde superior y lleno de agua hasta una altura h . Calcular el estado tensional creado en las paredes del depósito (se desprecia el peso propio de éste).



MÓDULO 3. TRACCIÓN

PROBLEMA 3.1

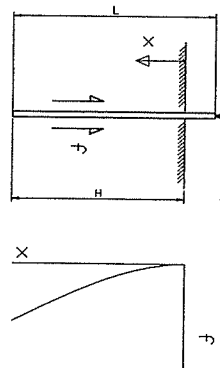
Hacer
en
los

Un pilote de hormigón, de sección constante Ω y longitud L , ha sido introducido verticalmente en un terreno arcilloso hasta una profundidad H . El pilote soporta una carga F en su extremo superior, que junto con su peso propio es equilibrada en su totalidad por el rozamiento con el terreno, cuyo efecto es una fuerza (f) por unidad de longitud que varía cuadráticamente con la profundidad:

Se pide:

- 1) Relación que debe existir entre H y F en función del parámetro k .
- 2) Expresión analítica y diagrama de esfuerzos normales del pilote.
- 3) Profundidad a la que el esfuerzo normal es máximo
- 4) Acortamiento total del pilote.

Datos: E y γ



PROBLEMA 3.2

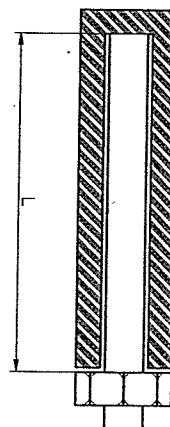
Hacer
en
los

Se considera el conjunto formado por un cilindro de cobre y un tornillo de acero alojado en su interior de longitud L . En su extremo inicial el tornillo está unido al cilindro mientras que en su extremo final está roscado externamente a una tuerca con paso de rosca (longitud que avanza la tuerca por cada vuelta completa) igual a p . Se pide:

- 1) Tensiones en el cilindro y en el tornillo después de dar n vueltas de apriete a la tuerca.
- 2) Si en estas condiciones se produce un salto térmico T en todo el conjunto, determinar las nuevas tensiones que se establecerán.

Datos:

Cobre: Ω_c α_c E_c
 Acero: Ω_a α_a E_a



PROBLEMA 3.3

Un anillo delgado de acero 200 mm de diámetro, con una sección de 6 mm de espesor y 20 mm de anchura se ha calentado 150 °C por encima de la temperatura ambiente. En estas condiciones el anillo se ha ajustado sin holgura sobre un eje cilíndrico macizo que se considera infinitamente rígido. Se pide:

- 1) Determinar la tensión que se producirá en el anillo al enfriarse
- 2) Determinar la fuerza necesaria para sacar el anillo del eje.

Datos: Acero: $\alpha=1,2 \cdot 10^{-5} \text{ } ^\circ\text{C}^{-1}$ $E=2,1 \cdot 10^5 \text{ MPa}$
 Coeficiente de rozamiento acero-eje: $\mu=0,3$

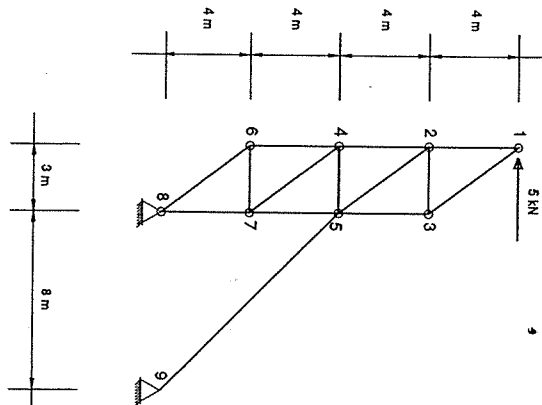
PROBLEMA 3.4

Hacer
en
los

En la estructura articulada de la figura todas las barras excepto la 7-11 tienen 10 cm^2 de sección. El módulo de Young es igual para todas ellas $E = 2 \cdot 10^5 \text{ MPa}$.

Se pide:

- a) Indicar razonadamente si la estructura es isostática
- b) Calcular los esfuerzos en todas las barras
- c) Determinar el valor mínimo de la sección de la barra 5-9 para que el movimiento horizontal del nudo 1 no sea mayor de 5 mm.



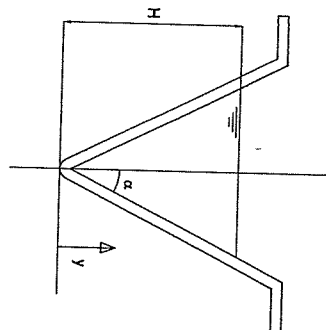


PROBLEMA 3.5

El depósito de la figura de forma cónica y semihángulo α contiene un fluido de peso específico γ , siendo H la profundidad máxima. Se pide:

- 1) Calcular las tensiones de membrana en cualquier punto del depósito.
- 2) Calcular el valor de la tensión máxima y dónde tiene lugar.

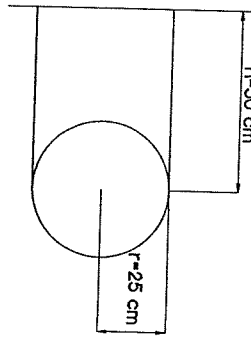
Recdo
dr
ladr



PROBLEMA 3.6

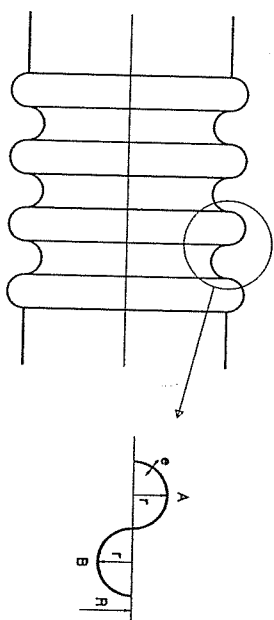
Un neumático con las dimensiones indicadas en la figura está sometido a una presión interna de 2 bar. Si el espesor es de 2,5 mm calcular las tensiones en los puntos más cercanos al eje de revolución.

Recdo
dr
ladr



PROBLEMA 3.8

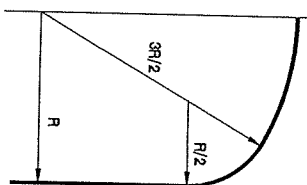
La figura representa a sección longitudinal de una junta de expansión montada en una tubería de radio medio R . Dicha junta tiene forma de fuelle con volutas semicirculares de radio medio r y espesor e ($e < r$). Se pide determinar las tensiones de membrana en las secciones A y B producidas por una presión interna p .



Un recipiente tiene el cuerpo cilíndrico con radio $R = 2$ m, y los fondos toroestéticos, con $R/2$ de radio en la parte tórica y $3R/2$ en la parte estética. El recipiente está sometido a un presión interna $p = 5$ bar. Considerando exclusivamente las tensiones de membrana se pide:

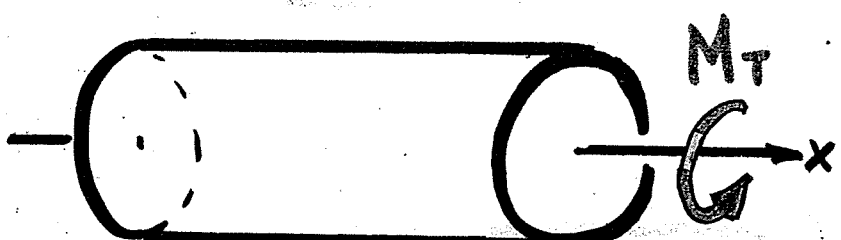
- 1) Determinar los espesores mínimos del recipiente.
- 2) Representar gráficamente los espesores sobre un meridiano.

El dimensionamiento debe hacerse aplicando el criterio de Tresca, siendo la tensión admisible del material $\sigma_{adm} = 100$ MPa.

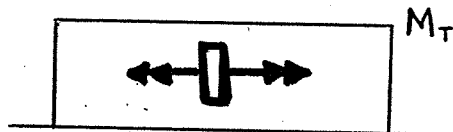


TORSIÓN

Lección 12: TEORÍA ELEMENTAL DE TORSIÓN



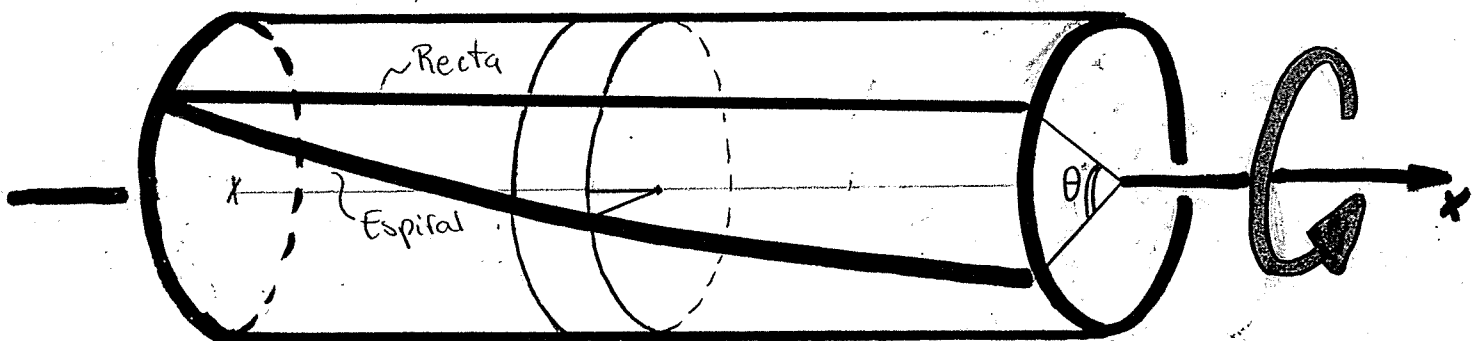
En torsión pura sólo existe momento torsor



TEORÍA ELEMENTAL: Sólo válido para secciones circulares (mazas o bucas)

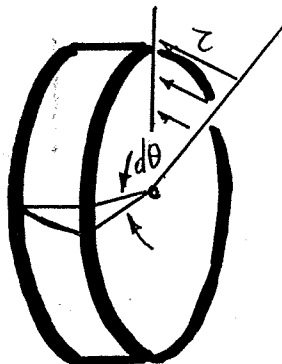
TEORÍA SAINT-VENANT: Válido para cualquier sección

= TEORÍA ELEMENTAL



HIPÓTESIS SIMPLIFICADORAS:

- Las secciones planas se conservan planas (no hay alabeo)
- Sólo existe un movimiento que es el giro alrededor del eje x (θ)
- El giro por unidad de longitud es constante $\Rightarrow \Theta' = \frac{d\Theta}{dx} = \text{cte}$



①

DEFORMACIONES

Tomemos un sistema de referencia en cilíndricas (r, θ, x)

$$\epsilon_x = 0$$

$$\gamma_{xx} = 0$$

$$\epsilon_r = 0$$

$$\gamma_{rr} = 0$$

$$\epsilon_\theta = 0$$

$$\gamma_{r\theta} = \frac{rd\theta}{dx} = \gamma \Rightarrow$$

$$\gamma = \frac{rd\theta}{dx} = r\theta'$$

TENSIONES

$$\sigma_x = 0 \quad \tau_{xr} = 0$$

$$\sigma_r = 0 \quad \tau_{r\theta} = 0$$

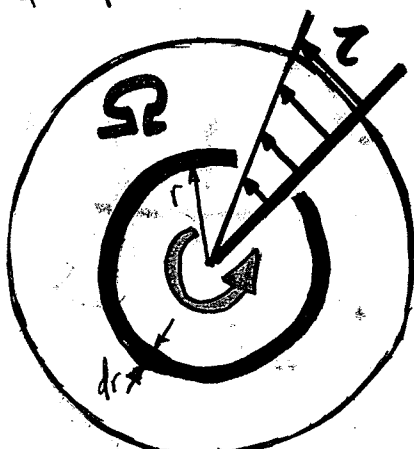
$$\sigma_\theta = 0$$

$$\tau_{x\theta} = G\gamma_{x\theta} \Rightarrow$$

$$\tau = Gr \frac{d\theta}{dx} = Gr\theta'$$

$$\tau_{max} = G\theta' R$$

Las tensiones son tangenciales en los radios de la sección transversal y van en dirección circumferencial dando lugar a un giro igual al que produce el momento.



$$M_T = \int \tau dS \cdot r = \int_0^R Gr\theta' r^2 dr$$

$$M_T = G\theta' \int_0^R r^2 dr ; \text{ se define el momento polar de inercia como } I_o = \int_0^R r^2 dr$$

$$\Rightarrow M_T = G\theta' I_o$$

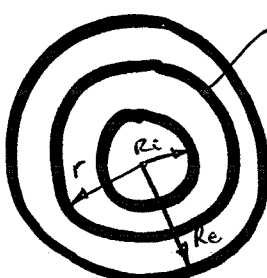
Como

$$G\theta' = \frac{M_T}{I_o}$$

$$G\theta' = \frac{\tau}{r}$$

$$\tau = \frac{M_T}{I_o} r$$

CALCULO DEL I_O



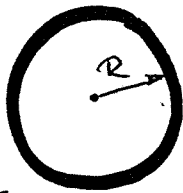
$$dS = 2\pi r dr$$

$$I_o = \int r^2 dS = \int r^2 2\pi r dr = 2\pi \frac{1}{4} (R_o^4 - R_i^4)$$

$$I_o = \frac{\pi}{2} (R_o^4 - R_i^4)$$

MÓDULO RESISTENTE A TORSIÓN

W_T



$$T_{\max} = G\theta' R = \frac{M_T}{I_o} R = \frac{M_T}{W_T}$$

$$T_{\max} = \frac{M_T}{W_T}$$

Se define el módulo resistente a torsión como

$$I_o = \frac{\pi}{2} R^4$$

$$W_T = \frac{I_o}{R} = \frac{\pi}{2} R^3$$

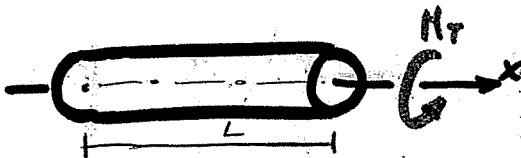
$$[W_T] = \text{mm}^2$$

DESPLAZAMIENTOS

$$\theta' = \frac{M_T}{G I_o}$$

$$d\theta = \frac{M_T}{G I_o} dx ;$$

$$\theta = \theta_0 + \int_0^L \frac{M_T}{G I_o} dx$$



Caso M_T constante a tramos en el sólido

$$\Delta\theta = \sum_i \frac{M_{Ti}}{G I_o} L_i$$

$$\Delta\theta = \frac{M_T}{G I_o} L$$

Y si $M_T = \text{cte}$ en todo el sólido

POTENCIAL INTERNO

$$dU = \frac{1}{2} \int \tau \varphi dV = \frac{1}{2} \int \frac{\tau^2}{G} dV = \frac{1}{2G} \left(\frac{M_T}{I_o} r \right)^2 dV \quad M_T \text{ cte}$$

$$U = \int_r^L \frac{1}{2G} \left(\frac{M_T r}{I_o} \right)^2 dV = L \int_r^L \frac{1}{2G} \left(\frac{M_T r}{I_o} \right)^2 dr = \frac{H_T^2 L}{2G I_o^2} \int_r^L r^2 dr =$$

$$= \frac{H_T^2 L}{2G I_o^2} I_o = \frac{H_T^2}{2G I_o} L$$

$$H_T = \text{cte} \rightarrow U = \frac{1}{2} \frac{H_T^2}{G I_o} L$$

$$H_T \neq \text{cte} \rightarrow U = \frac{1}{2} \int_L \frac{H_T^2}{G I_o} dx$$

Por tanto

= Caso hiperestático

En sistemas isostáticos
($GH = 0$)

$$\sum H_x = 0 \rightarrow \text{ecuación}$$

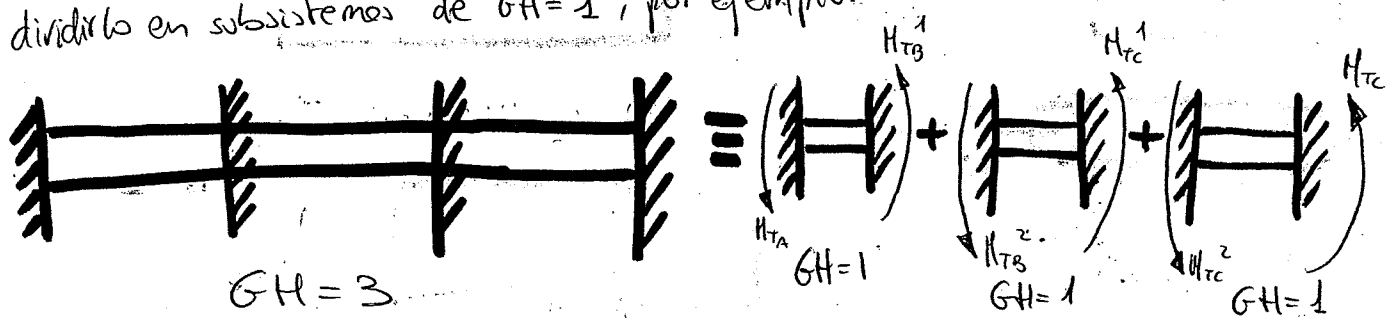
1 incognita \Rightarrow 1 GRADO DE LIBERTAD

En sistemas hiperestáticos como el del ejemplo

$$(GH = 1)$$



Y si el sistema es hiperestático; con $GH > 1$ siempre podremos dividirlo en sub sistemas de $GH = 1$, por ejemplo:



Para calcular la ecuación adicional aplicaremos

CONDICIÓN DE COMPATIBILIDAD EN GIROS

$$\Delta\theta = \int_0^L \frac{M_x}{GJ} dx$$

NOTA!! El problema térmico, en el que se da un salto de temperaturas ΔT no produce torsión

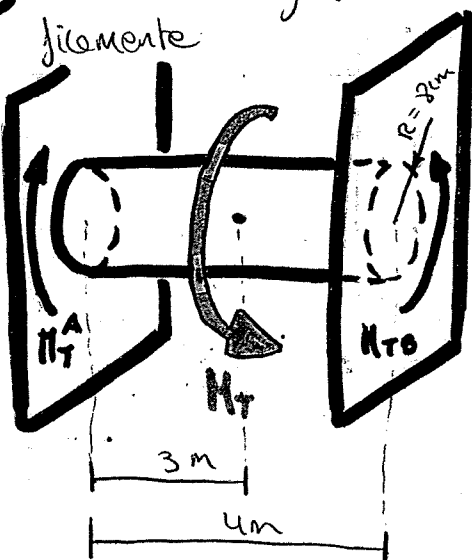
EJERCICIO ESPECIAL T1

Una pieza recta de sección circular de radio 8cm y longitud 4m tiene los extremos empotrados. Está sometido a una torsión pura mediante la aplicación de un par externo sobre una sección situada a 3m de uno de los extremos. Se pide:

$$\text{DATOS: } \tau_{adm} = 100 \text{ MPa}$$

$$G = 80000 \text{ MPa}$$

- 1) Dibujar el diagrama de momentos torsores.
- 2) Calcular el valor máximo que puede alcanzar el par aplicado.
- 3) Determinar la ley de variación del giro de las secciones, representándole gráficamente.



El sistema es hipereástico

$$G\Theta = 1$$

Ecación por equilibrio estático

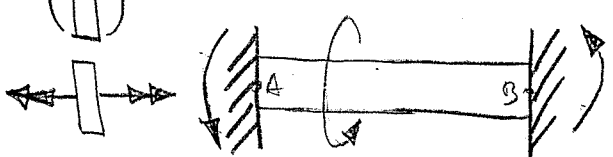
$$\sum M = 0 \rightarrow M_{TA} + M_{TB} + M_T = 0$$

Ecación adicional: Cond. compat. en giros

$$\Delta\Theta_{AB} = \int_0^L \frac{-M_T}{G I_o} dx = 0$$

Ley M_T : $\Delta\Theta_{AB} = 0 = \int_0^3 \frac{-M_{TA}}{G I_o} dx + \int_3^4 \frac{M_{TB}}{G I_o} dx ; -M_{TA} \cdot 3 + M_{TB} \cdot (4-3) = 0$

$$M_{TB} = +3 M_{TA}$$

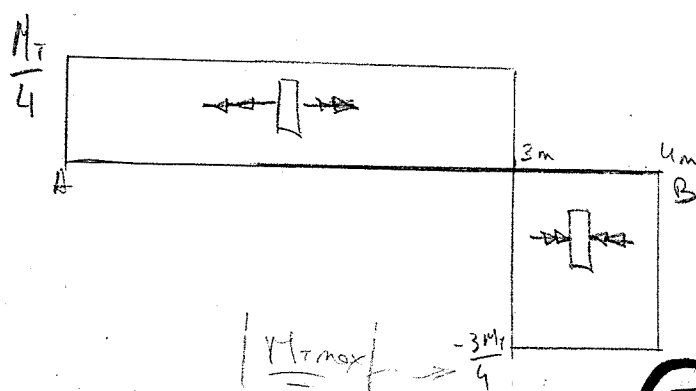


$$M_T + M_{TA} + M_{TB} = 0$$

$$M_T = -(M_{TA} + M_{TB}) = -4 M_{TA} = -\frac{4}{3} M_{TB}$$

$$\begin{aligned} M_{TA} &= -\frac{M_T}{4} \\ M_{TB} &= \frac{3}{4} M_T \end{aligned}$$

Diagrama M_T



APARTADOS 2 y 3
DESPUES DE 4.2

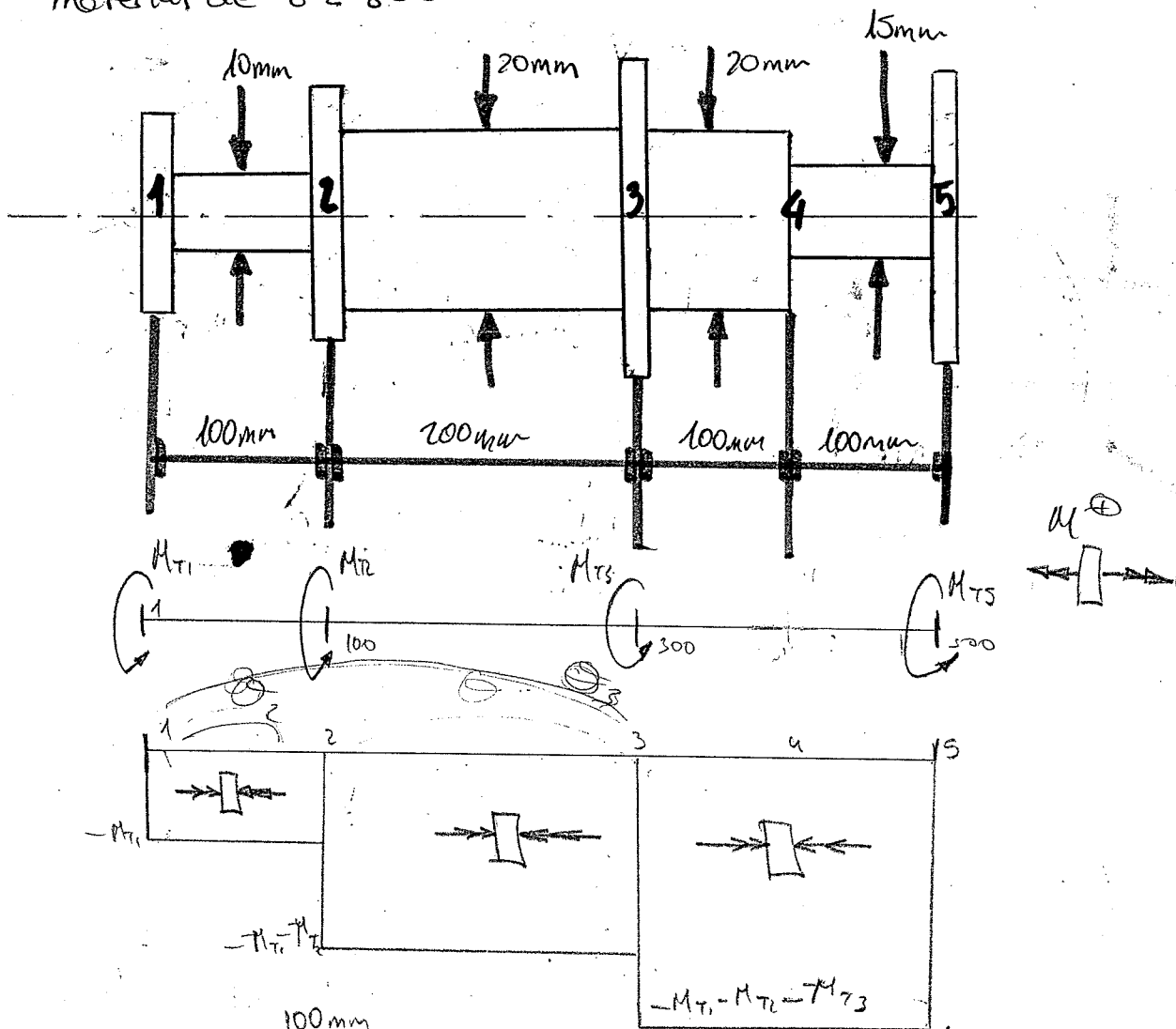
COMUNES

EJERCICIO

En el árbol de la figura hay montados 4 poleas (1, 2, 3, 5) de ancho del mismo diámetro. Se han medido los siguientes giros, todos ellos respecto a la sección 1.

$$\Theta_2 = -0,002 \text{ rad} \quad \Theta_3 = 0,006 \text{ rad} \quad \Theta_5 = 0,008 \text{ rad}$$

Dibujar el diagrama de M_T si el árbol está construido con un material de $G = 80000 \text{ MPa}$



$$\Theta_2 = -0,002 = \int_0^{100} \frac{-M_{T1}}{G I_0} dx = \frac{-M_{T1}}{G R^4 \frac{\pi}{2}} 100 = \frac{-M_{T1} \cdot 2 \cdot 100}{G \pi \cdot 5^4} = -0,002$$

$$M_{T1} = 1570,8 \text{ Nmm}$$

$$\Theta_3 = 0,006 \text{ rad} = \Theta_2 + \int_{100}^{300} \frac{-M_{T1} - M_{T2}}{G R^4 \frac{\pi}{2}} dx = -0,002 - \frac{M_{T1} + M_{T2} \cdot 100}{G \pi \cdot 10^4} = 0,006$$

$$M_{T1} + M_{T2} = -50265,5 \text{ Nmm}$$

$$\underline{\underline{M_{T2} = -51836,3 \text{ Nmm}}}$$

(6)

COJUNTES

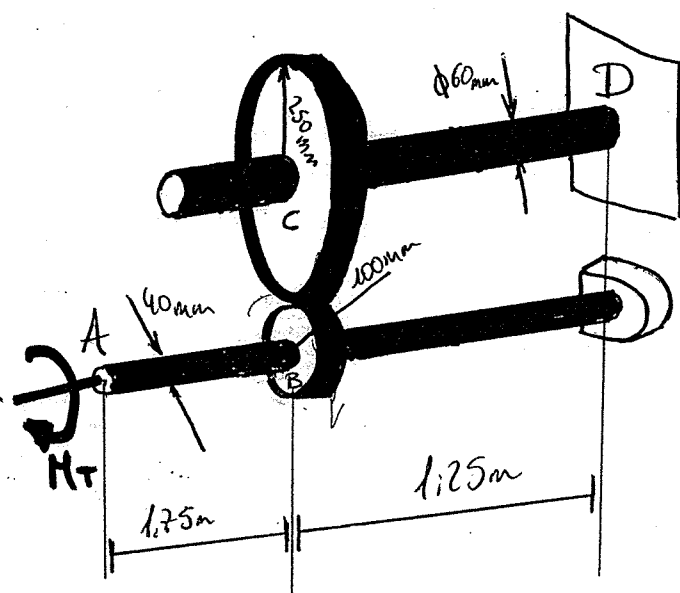
PROBLEMA

Dos ejes de acero $G = 77 \text{ GPa}$ de sección circular están conectados mediante medias dentadas tal y como se indica en la figura.

El eje superior está empotrado en D, mientras que el resto de apoyos permiten giro sin rozamiento del eje. Suponiendo que el momento torsor aplicado en A es $M_T = 600 \text{ Nm}$

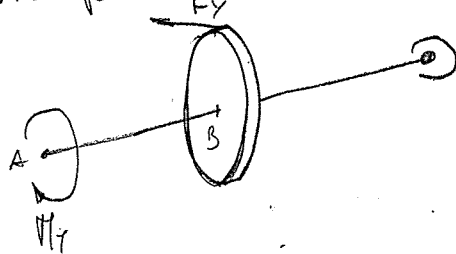
se pide

- 1) Diagramas de M_T en ambos ejes
- 2) Ángulo girado por el extremo A



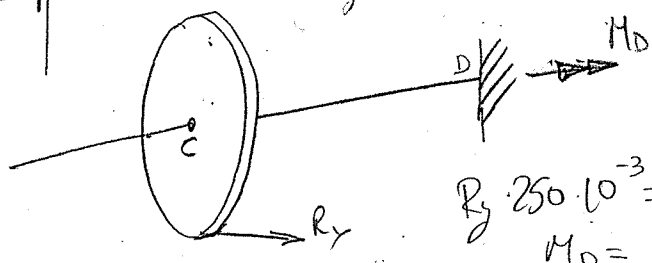
①

Aislado parte A



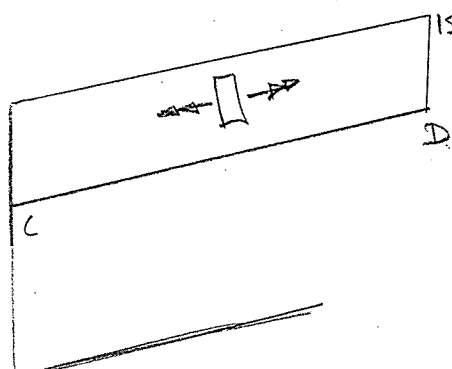
$$\sum M_C = 0 \rightarrow M_T = R_y \cdot 60 \cdot 10^{-3}$$

$$R_y = 6000 \text{ N}$$

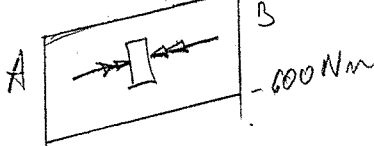


$$R_y \cdot 250 \cdot 10^{-3} = M_D$$

$$M_D = 1500$$



Diagramas



$$\Theta_S = 0,008 = \Theta_3 + \int_{300}^{400} \frac{-(M_{T_1} + M_{T_2} + M_{T_3})}{G \frac{\pi}{2} R^4} dx + \int_{400}^{500} \frac{-(M_{T_1} + M_{T_2} + M_{T_3})}{G \frac{\pi}{2} 7,5^4} dx$$

$$0,002 = - (M_{T_1} + M_{T_2} + M_{T_3}) \frac{2 \cdot 100}{\pi G 10^4} - (M_{T_1} + M_{T_2} + M_{T_3}) \frac{2 \cdot 100}{G \pi 7,5^4}$$

$$M_{T_1} + M_{T_2} + M_{T_3} = -6040,8 \rightarrow M_{T_3} = \underline{64224,8 \text{ Nmm}}$$

50265,5
Nm

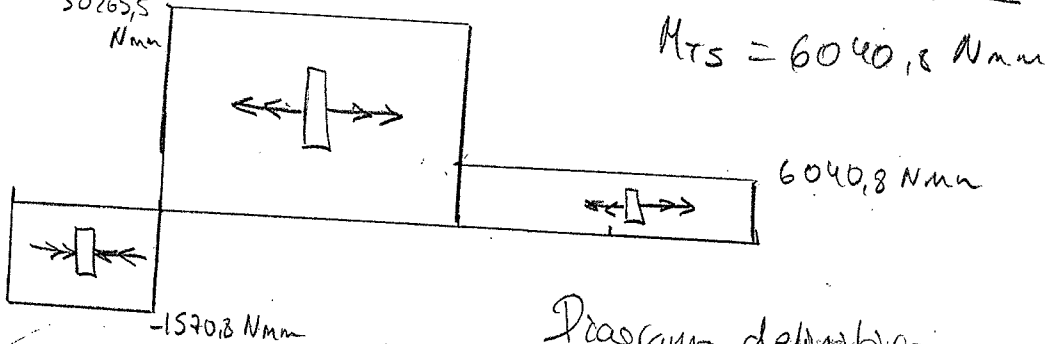


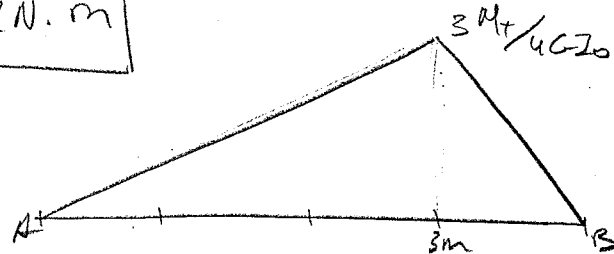
Diagrama definitivo

CONTINUACIÓN 4.1

2) Si $\tau_{adm} = 100 \text{ MPa} \rightarrow \tau_{adm} = \frac{M_{Tmax}}{I_o} R, I_o = \frac{\pi}{2} R^4$

$$\tau_{adm} = \frac{3}{4} \frac{M_{Tmax}}{\pi R^4} R, M_{Tmax} = \frac{\tau_{adm} \cdot 4 \pi R^4}{3 \cdot 2 \cdot R} = 107733029 \text{ Nmm}$$

$$M_{Tmax} = 107,2 \text{ KN.m}$$



3) Ley de variación de giro

$$\Delta \theta = \int_0^x \frac{M_T(x)}{G I_o} dx$$

$$0 < x < 3 \text{ m}: \quad \Theta_x = \frac{M_T}{4 G I_o} x, \quad \Theta_{3 \text{ m}} = \frac{3}{4} \frac{M_T}{G I_o}$$

$$3 \text{ m} < x < 4 \text{ m}: \quad \Theta_x = \frac{-3}{4} \frac{M_T}{G I_o} (x-3) + \Theta_{3 \text{ m}} = \frac{3}{4} \frac{M_T}{G I_o} (1-x+3)$$

$$\Theta_x = \frac{M_T}{G I_o} \left(3 - \frac{3}{4} x \right), \quad \Theta_{4 \text{ m}} = 0$$

2) Giro en A

$$\Theta_A = \Theta_B + \int_B^A \frac{M_T(x)}{G I_0} dx \quad (*)$$

$$\Theta_C = \int_D^C \frac{M_T(x)}{G I_0} dx + \Theta_D^{10}$$

$$\Theta_C = \frac{1500 \cdot 10^3}{27 \cdot 10^3 \frac{\pi}{2} 30^4} 1250 = 0,0191 \text{ rad}$$

Por engranaje

$$-\Theta_C \cdot R_C = \Theta_B \cdot R_B$$

$$\Theta_B = -\frac{\Theta_C \cdot R_C}{R_B} = -0,0479$$

$$(*) \boxed{\Theta_A = -0,0479 + \frac{(-600) \cdot 10^3}{27 \cdot 10^3 \frac{\pi}{2} 20^4} 1750 = -0,1021 \text{ rad}}$$



RESISTENCIA DE MATERIALES PROBLEMAS GRUPO T1. CURSO 2012-2013

MÓDULO 4. TORSIÓN

PROBLEMA 4.1

Hecho
en
clase

Una pieza recta de sección circular de radio 8 cm y longitud 4 m tiene los extremos empotrados. Está sometida a torsión pura mediante la aplicación de un par externo sobre una sección situada a 3 m de uno de los extremos. Se pide:

- 1) Dibujar el diagrama de momentos torsores
- 2) Calcular el valor máximo que puede alcanzar el par aplicado
- 3) Determinar la ley de variación del giro de las secciones, representándola gráficamente.

Datos: $\tau_{adm} = 100 \text{ MPa}$; $G = 80000 \text{ MPa}$

PROBLEMA 4.2

Un resorte de torsión está constituido por dos cilindros del mismo material unidos por su extremo. El primer cilindro es macizo, de radio R_i y longitud L_i , y se aloja sin holgura ni rozamiento en el interior del segundo que es hueco de radio exterior R_e y longitud L_e . Se pide:

- 1) Determinar la rigidez del resorte (M_T/θ)
- 2) Relación que debe existir entre R_e y R_i para que los dos cilindros trabajen con la misma tensión.

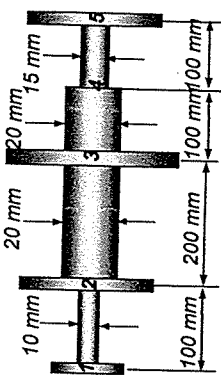
Dato: G

PROBLEMAS DE RESISTENCIA DE MATERIALES
MÓDULO 4: TORSIÓN
CURSO 2012-13

4.1.- Hallar la tensión cortante máxima que se produce al girar relativamente un octavo de vuelta las secciones extremas de una barra de longitud $L = 600 \text{ mm}$ y diámetro $\phi = 5 \text{ mm}$. Dato: $G = 80000 \text{ MPa}$

4.2.- En el árbol de la figura hay montadas 4 poleas (1, 2, 3 y 5) de ancho despreciable. Se han medido los siguientes giros, todos ellos respecto de la sección 1:

$$\theta_2 = -0,002 \text{ rad} \quad \theta_3 = 0,006 \text{ rad} \quad \theta_5 = 0,008 \text{ rad.}$$



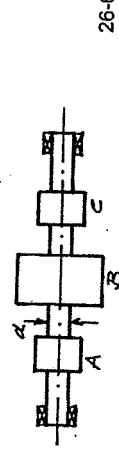
Dibujar el diagrama de momentos torsores si el árbol está construido con un material de $G = 80000 \text{ MPa}$.

4.3.- Una barra corrugada está hormigonada dentro de un muro como indica la figura. Al intentar girarla alrededor de su eje aplicando el par μ , la adherencia se opone con un momento por unidad de longitud constante.

Determinar en estas condiciones el diagrama de momentos torsores en la barra y el giro relativo de sus secciones extremas. Datos: G, I_o

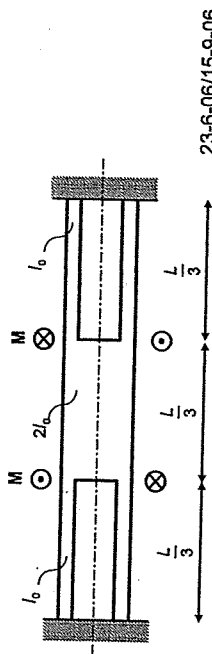
8-2-02

4.4.- Determinar el diámetro d del eje de la figura, sabiendo que gira a 3000 rpm y que a través de la rueda B entra una potencia de 200 kW que se reparte por igual entre los piñones A y C. ($\tau_{adm} = 100 \text{ MPa}$).

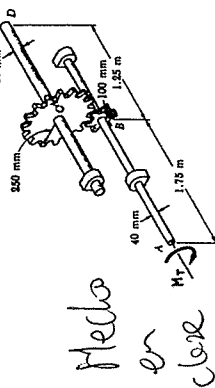


26-6-03

4.5.- Determinar la energía de deformación elástica en la barra biempotrada de la figura, sometida a torsión (Dato: G).



4.6.- Dos ejes de acero ($G = 77 \text{ GPa}$) de sección circular están conectados mediante ruedas dentadas tal como se indica en la figura.



El eje superior está empotrado en D,

mientras que el resto de apoyos permiten el

giro sin rozamiento del eje. Suponiendo que

el momento torsor aplicado en A es $M_T = 600$

N·m.

Se pide:

1º- Diagramas de momentos torsores en ambos ejes.

2º- Ángulo girado por el extremo A.

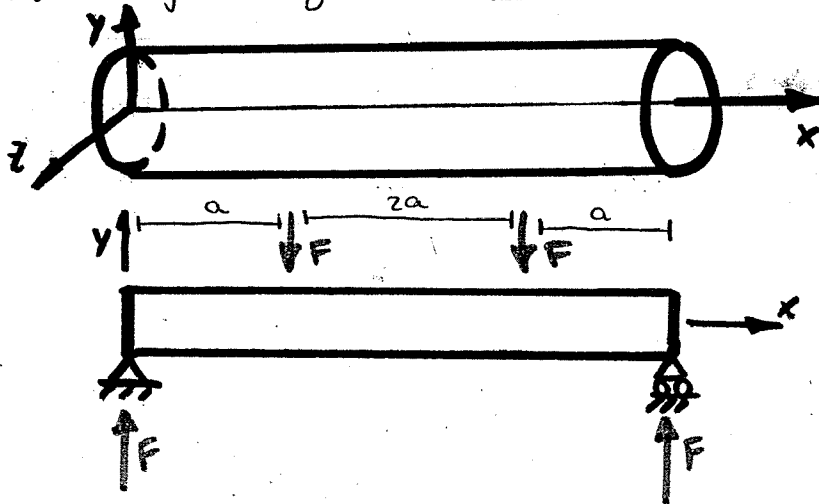
1-3-94



FLEXIÓN

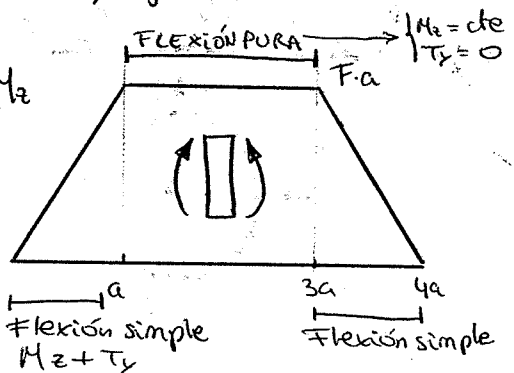
Lección 13: FLEXIÓN PURA

- Llamamos flexión pura al esfuerzo que aparece en el sólido prismático cuando sólo una de las secciones sólo está afectada por un momento flector y este es constante.



- Si sólo hay momento en una dirección la flexión es pura simétrica.

- Si $M_x + M_y$ la flexión es asimétrica

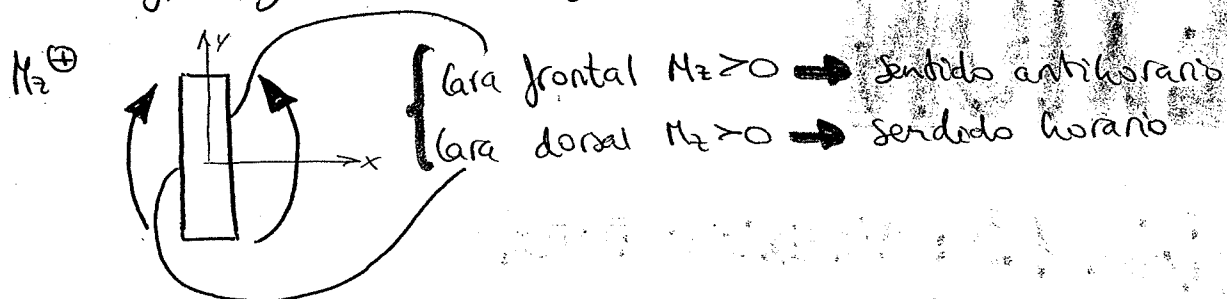


- Hebbemos de flexión simple cuando existe un momento flector y un cortante $M_z + T_y$ o $M_y + T_z$ existiendo M sólo en una dirección y T también. Si existiese momento o esfuerzo cortante en más de una dirección tendremos flexión simple derivada

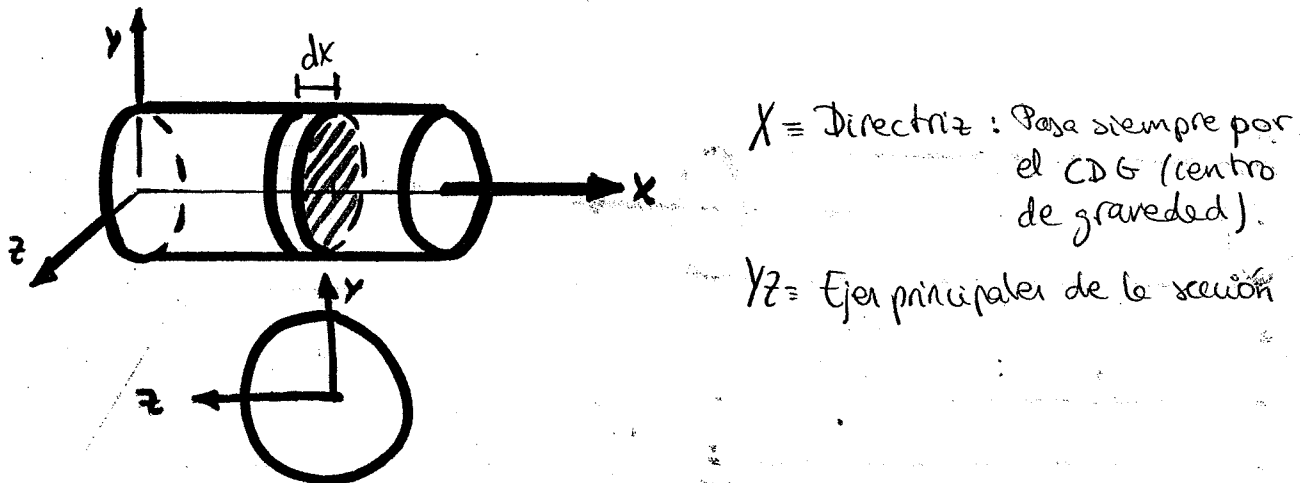
- Si existe, además de una flexión simple, esfuerzos normales tendremos flexión compuesta \rightarrow Flexo-tracción $N > 0$
Flexo-compresión $N < 0$

- Si existiese, además de una flexión simple, torsión tendremos el sólido sometido a una flexión con torsión.

= Diagrama y criterio de signos



● LEY DE NAVIER



● HIPÓTESIS PARA FLEXIÓN PURA

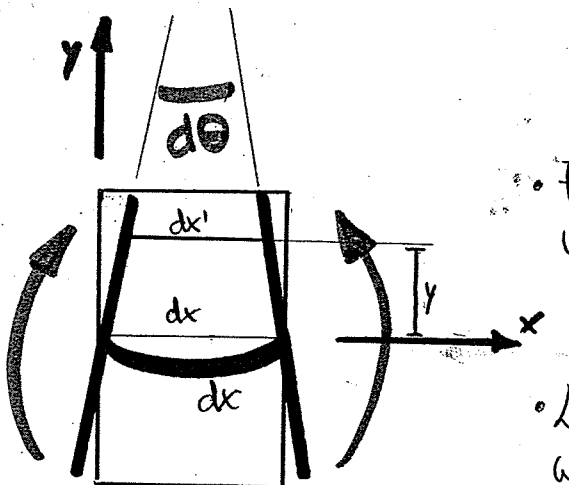
① Pequeñas deformaciones

② Elasticidad proporcional \rightarrow Principios de proporcionalidad y superposición

③ Hipótesis de Bernoulli

Las secciones transversales planas y perpendiculares a la directriz siguen siendo planas y perpendiculares tras la deformación.

②



aprox por dθ pequeño

$$\frac{dx - dx'}{y} = d\theta = \frac{dx}{r}$$

$$E_x = \frac{dx' - dx}{dx} = -\frac{y}{r} \rightarrow$$

- El movimiento de la sección es un giro alrededor del eje de referencia.
- La directriz se convierte en una recta (que denominaremos elástica) con radio de curvatura r , constante.

LEY DE NAVIER

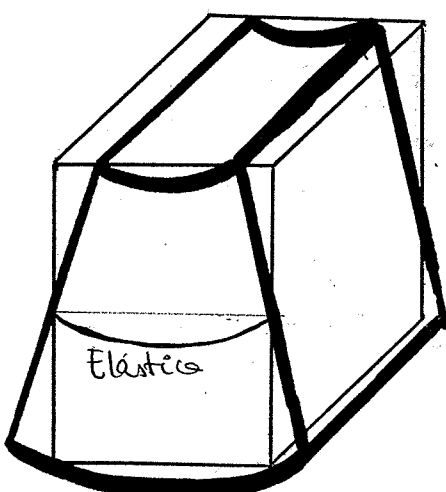
$$\sigma_x = E E_x = -\frac{E y}{r}$$

DEFORAMIENTOS

Como las secciones siguen siendo perpendiculares a la directriz

$$\gamma_{xy} = \gamma_{xz} = \gamma_{yz} = 0$$

Por efecto Poisson o ley de Hooke $\epsilon_y = \epsilon_z = -\nu E_x$

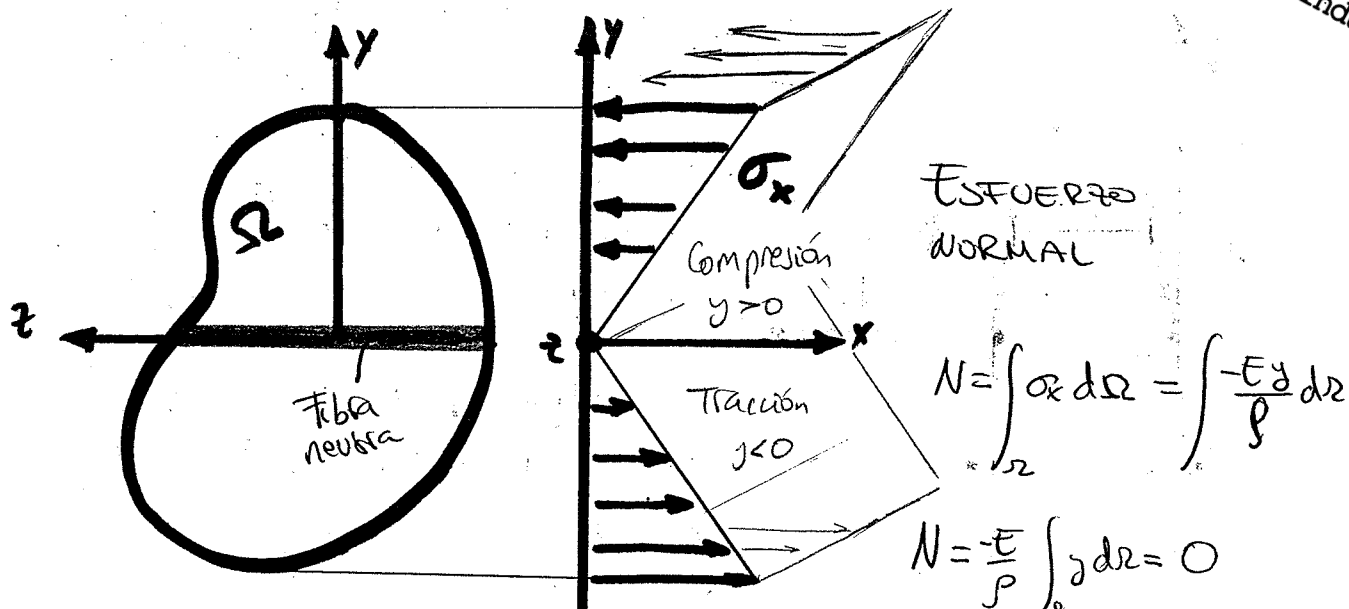


TENSIONES

$$\sigma_x \neq 0; \quad \tau_{xy} = \tau_{xz} = \tau_{yz} = 0$$

$$\sigma_y = 0;$$

$$\sigma_z = 0;$$



ESFUERZOS CORTANTES

$$T_y = \int_A T_{xy} dy = 0, \quad T_z = \int_A T_{xz} dz = 0$$

$$M_y = \int_A \sigma_x z dy = \int_A -\frac{E}{P} z dy = 0 \quad \begin{matrix} \text{Se anulan las componentes con} \\ \text{otras por simetría} \end{matrix}$$

$$M_z = \int_A \sigma_x y dz = \int_A +\frac{E}{P} y dz = \frac{E}{P} \int_A y^2 dz = \frac{E}{P} I_z$$

$y > 0 \rightarrow \sigma_x < 0$ (compresión)
 y viceversa \rightarrow Neutral
 Cambio
 Signs

$$M_z = \frac{E}{P} I_z$$

Expresión adicional
 Ley Navier

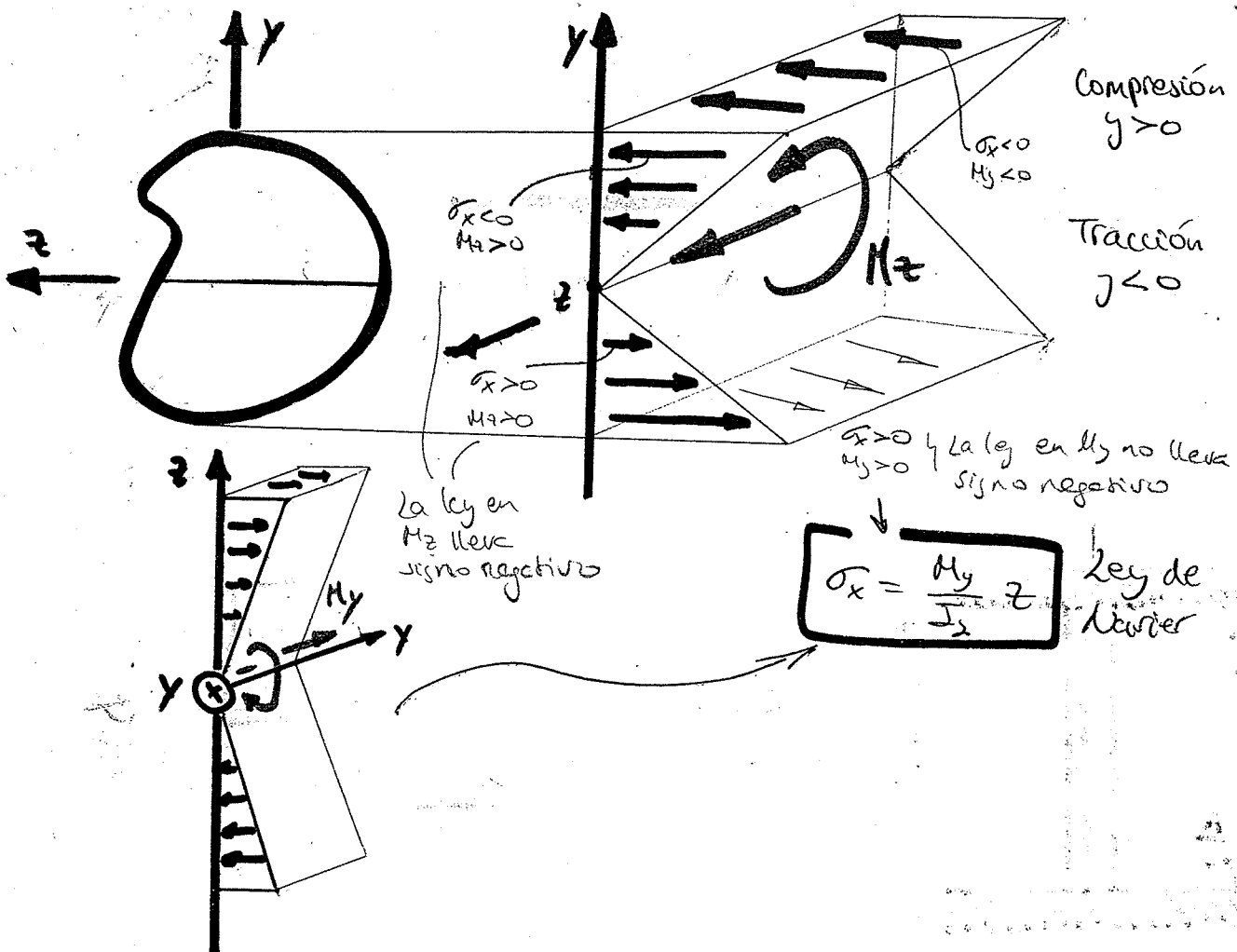
$$\frac{1}{D} = \frac{M_z}{EI_z} = -\frac{\sigma_x}{Ey} \Rightarrow$$

$$\sigma_x = -\frac{M_z}{I_z} y$$

LEY DE NAVIER
 Expresión principal

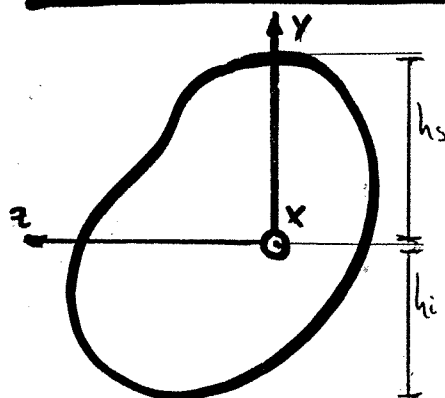
"La tensión normal en una sección sometida a flexión pura es proporcional a la distancia de la fibra, considerada al centro de gravedad de la sección". Eje z $\rightarrow y=0 \rightarrow \sigma_x=0$

FIBRA NEUTRA



$$\text{MOMENTO TORCENDE: } M_t = \int_a^b (T_{xz}y - T_{yz}z)dz = 0$$

Módulo RESISTENTE A FLEXIÓN (W)



$$\sigma_{\max} = \frac{-M_z}{I_z} h_i = \frac{-M_z}{W_i} \quad W_i = \frac{I_z}{h_i}$$

$$\sigma_{\min} = \frac{-M_z}{I_z} h_s = \frac{-M_z}{W_s} \quad W_s = \frac{I_z}{h_s}$$

W_i = Módulo resistente inferior

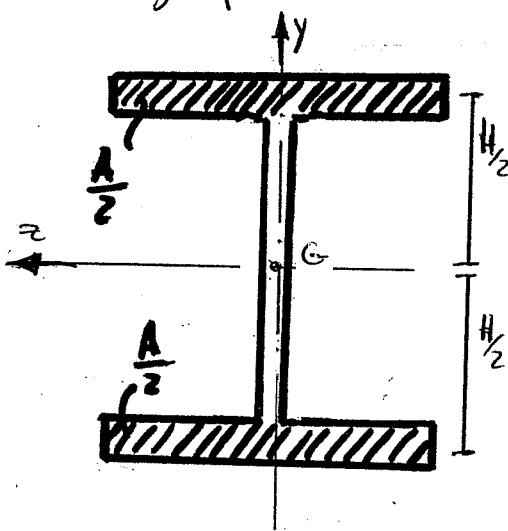
W_s = Módulo resistente superior

$$W = \min(W_i, W_s) \Rightarrow |\sigma| \text{ máximo}$$

RENDIMIENTO GEOMÉTRICO DE LA SECCIÓN

A continuación nos preguntamos si existe alguna sección óptima de perímetro w y h para resistir a flexión.

La sección óptima para resistir a flexión es aquella en la que la mayor parte del material se sitúa lo más alejado de G.



Se define

$$W_{\text{opt}} = \frac{I_z}{\frac{h}{2}} = \frac{2 \frac{A}{2} \left(\frac{H}{2}\right)^2}{\frac{h}{2}} = \frac{AH}{2}$$

A = área de la sección

$$\eta = \frac{w}{W_{\text{opt}}} = \frac{2w}{AH}$$

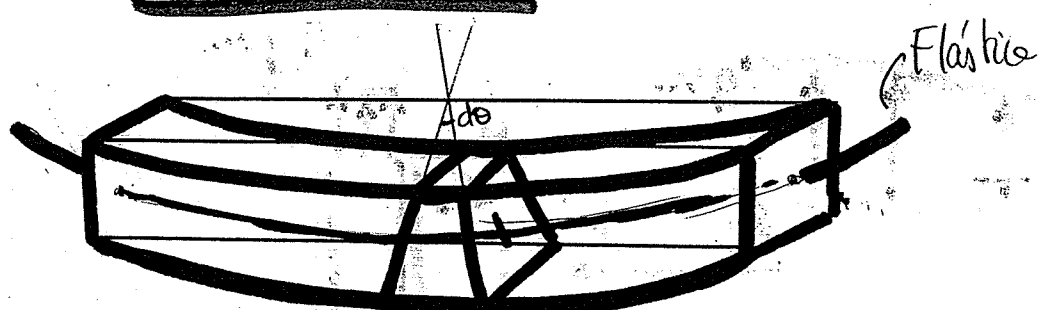
DATOS: A : área de la sección
 h : centro de la sección

Buscamos el valor más pequeño de η_{opt} \rightarrow Lo conseguimos con un w muy grande (w_{opt}) \rightarrow alejarnos lo más todo lo posible de G

VALORES DE η PARA SECCIONES TÍPICAS

SECCIÓN	η	SÍMBOLO
PERFIL DOBLE T	2/3	I
PERFIL EN U	3/5	J
ANILLO CIRCULAR	1/2	O
SECCIÓN RECTANGULAR MACIZA	1/3	■
SECCIÓN CIRCULAR MACIZA	1/4	○
SECCIÓN ROMBODUAL MACIZA	1/6	◇

DESPLAZAMIENTOS



$$d\theta = \frac{dx}{p} = \chi dx, \text{ siendo } \chi = \frac{1}{p} \equiv \text{curvatura}$$

$$\frac{d\theta}{dx} = \chi = \frac{1}{p} = \frac{M_z}{EI_z}; \quad d\theta = \frac{M_z}{EI_z} dx;$$

Si $M_z = \text{cte}$

$$\Delta\theta = \frac{M_z}{EI_z} L$$

$$\Delta\theta = \int_L \frac{M_z}{EI_z} dx$$

Lección 14: TENSIONES DE BIDAS AL CORTANTE FÓRMULA DE COLIGNON

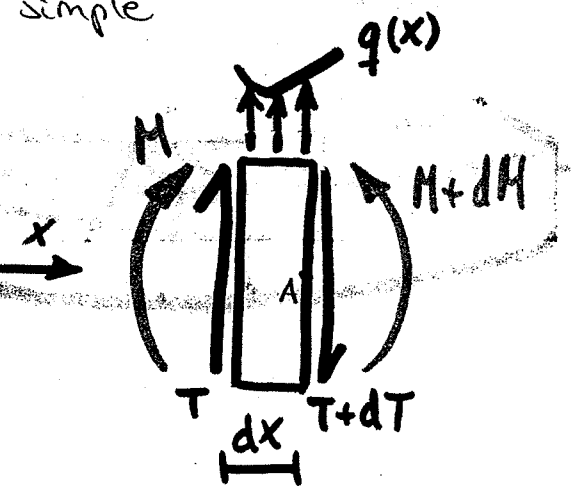
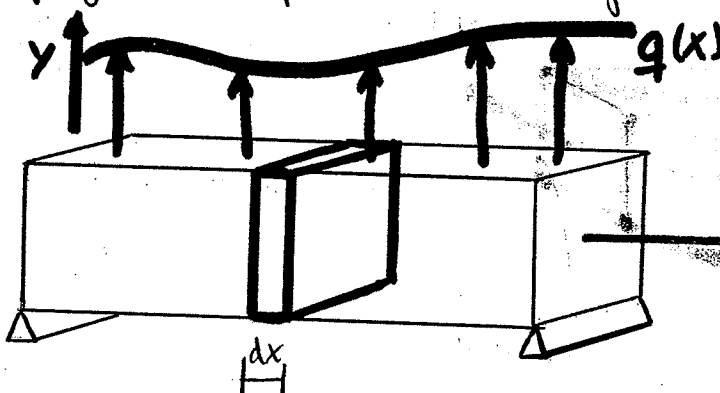
Recordemos que FLEXIÓN SIMPLE $\Rightarrow \left\{ \begin{array}{l} \text{Momento flector } M_z \text{ (o } M_0 \text{)} \square \\ \text{Esfuerzo cortante } T_z \text{ (o } T_0 \text{)} \square \end{array} \right.$

Será aplicable la ley de Navier para flexión pura

$$\sigma_z = \frac{M_z}{I_z} y$$

Podremos aceptar las hipótesis de flexión pura siendo la inexactitud menor

Supongamos una pieza sometida a flexión simple



Aplico equilibrio a la sección:

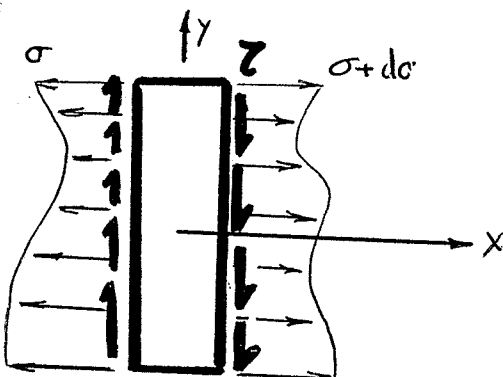
$$\sum F_r = 0 \Rightarrow T + q(x)dx - T - dT = 0 \rightarrow \frac{dT}{dx} = q(x)$$

$$\sum M_A = 0 \Rightarrow -M - Tdx - q(x)dx \frac{dx}{2} + M + dM = 0 \rightarrow$$

○ (diferencial de 2º orden)

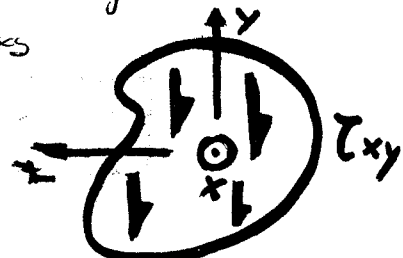
$$\rightarrow dM = Tdx; \frac{dT}{dx} = T; \frac{d^2M}{dx^2} = \frac{dT}{dx} = q(x); \frac{d^2M}{dx^2} = q(x)$$

TENSIONES TANGENCIALES

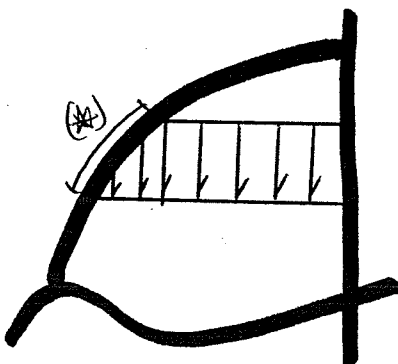


• Hipótesis

- ① τ lleva la dirección y sentido del eje $y \rightarrow \tau_{xy}$



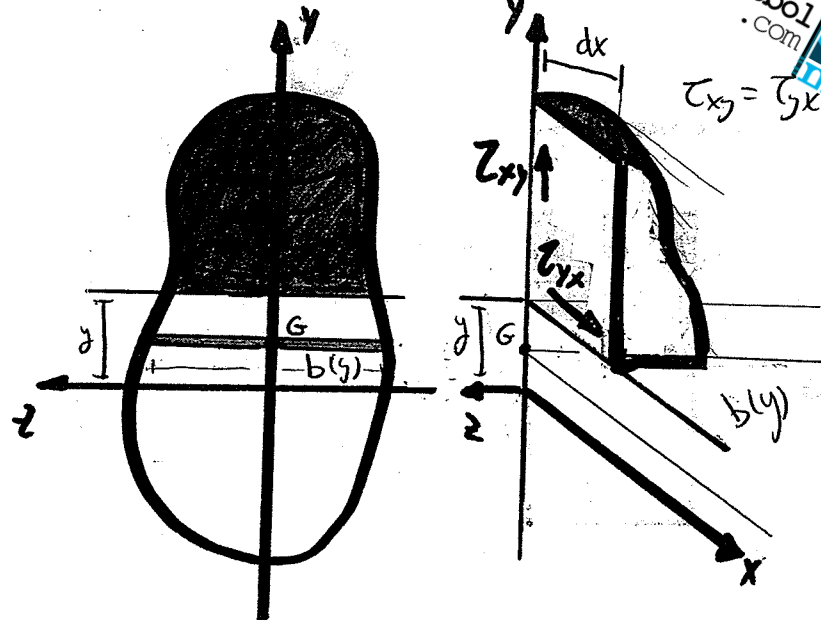
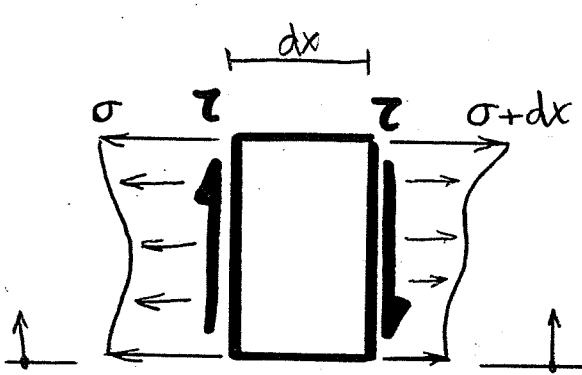
- ② τ es constante para los puntos de igual coordenada y



Esta hipótesis no se ajusta a la realidad ya que en el borde no se cumple (*)

Sin embargo, como trabajaremos con secciones gruesas podemos despreciar el problema de borde

SECCIÓN GRUESA: Aquella que no tiene ninguna de sus dimensiones lo sea mejor que otra.



$$\sum F_H = 0 : - \int_A \sigma dA^* + \int_A \sigma dt^* + \int_A d\sigma dA^* + \tau_{yx} b(y) dx = 0$$

$$\tau_{yx} b(y) dx = - \int_A d\sigma dA^* = - \int_A - \frac{dM_z}{I_z} y dA^* \stackrel{dA^* = T_3 dx}{=} \int_A \frac{T_3 dx}{I_z} y dA^*$$

Navier: $\sigma = - \frac{M_z}{I_z} y$

$$C = C_{yx} = \int_A \frac{T_3 y}{I_z b(y)} dA^* \stackrel{dA^* = b(y) dy}{=} \int_A \frac{T_3}{I_z} y dy \Rightarrow C = \frac{T_3 M_z}{I_z b(y)}$$

FÓRMULA DE COLIGNON

$$C_{\max} = \frac{T_3}{I_z} \left(\frac{M_z}{b} \right)_{\max}; \text{ con } b = b(y \text{ fibra neutra})$$

fibra que contiene al C.D.G.

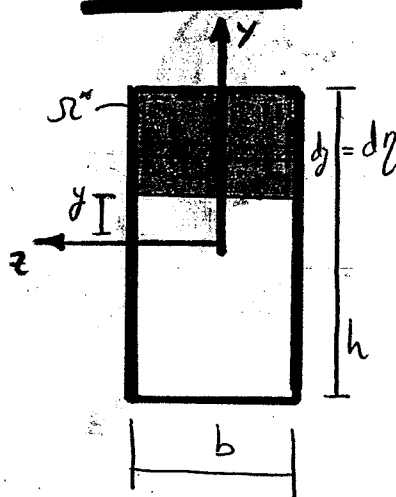
$$\text{Si } b = \text{cte} \Rightarrow \left(\frac{M_z}{b} \right)_{\max} \Rightarrow M_{z\max} = M_z(y=0) \Rightarrow C_{\max} = \frac{T_3 M_z(y=0)}{I_z b}$$

$$\text{Se define } \underline{M_z} = \int_A y dA = \int_A y b(y) dy = A^* \underbrace{y}_{\text{C.D.G.}}^*$$

C.D.G. del centro de gravedad de A

A SECCIÓN RECTANGULAR

EJEMPLOS



$$Z = \frac{T_b M_z(y)}{b I_z}$$

$$I_z = \int_{-\frac{h}{2}}^{\frac{h}{2}} y^2 dA = \int_{-\frac{h}{2}}^{\frac{h}{2}} y^2 b dy = \frac{by^3}{3} \Big|_{-\frac{h}{2}}^{\frac{h}{2}} = \frac{b}{3} \left(\frac{h^3}{8} + \frac{h^3}{8} \right) = \frac{1}{12} b h^3$$

$$M_z = \int_y^{h/2} y b dy = b \frac{y^2}{2} \Big|_y^{h/2} = \frac{b}{2} \left(\frac{h^2}{4} - y^2 \right)$$

También podríamos haber aplicado

$$M_z = S^x y_{\text{cen}} = \underbrace{b \left(\frac{h}{2} - y \right)}_{S^x} \underbrace{\left[y + \frac{1}{2} \left(\frac{h}{2} - y \right) \right]}_{y_{\text{cen}}} =$$

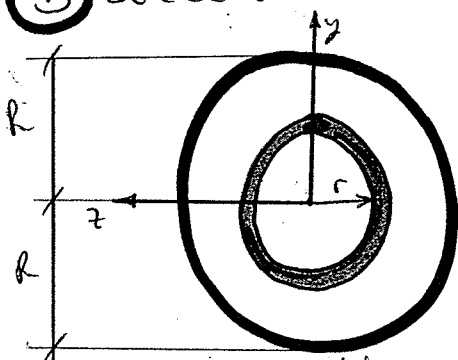
$$\text{Diagram of a rectangular cross-section with a shaded central area. The width is labeled } T_{\max}. \text{ The distance from the z-axis to the center of gravity is labeled } y_{\text{cen}} = \frac{h}{2} + \frac{h}{4}.$$

$$= \frac{b}{2} \left(\frac{h}{2} - y \right) \left(\frac{h}{2} + y \right) = \frac{b}{2} \left(\frac{h^2}{4} - y^2 \right)$$

Por tanto

$$Z = \frac{T_b \frac{b}{2} \left(\frac{h^2}{4} - y^2 \right)}{b \frac{1}{12} b h^3} = \frac{6 T_b \left(\frac{h^2}{4} - y^2 \right)}{b h^3}, \quad T_{\max} = \overbrace{T(y=0)}^{y=\text{cte}} = \frac{3}{2} \cdot \frac{T_b}{b h}$$

B SECCIÓN CIRULAR



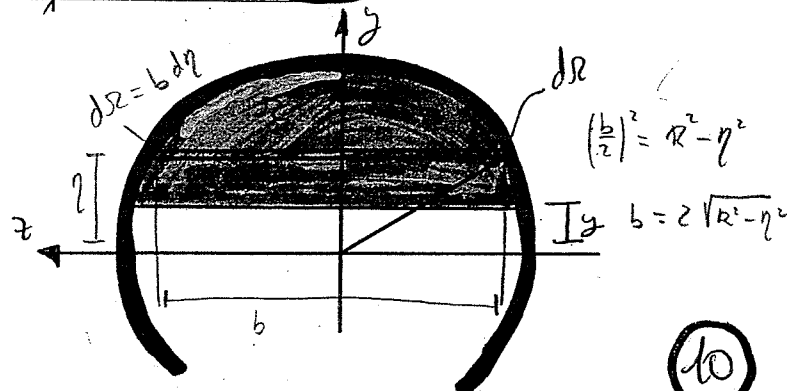
$$I_z = I_y = \frac{1}{2} (I_z + I_y) = \frac{1}{2} \int (y^2 + z^2) dA =$$

$$= \frac{1}{2} \int_0^R r^2 2\pi r dr = \pi \frac{r^4}{4} \Big|_0^R = \frac{\pi R^4}{4}$$

$$M_z = \int_{S^x} y dA = \int_0^R y 2\sqrt{R^2 - y^2} dy = -\frac{(R^2 - y^2)^{3/2}}{\frac{3}{2}} \Big|_0^R =$$

$$= \frac{2}{3} (R^2 - y^2)^{3/2}$$

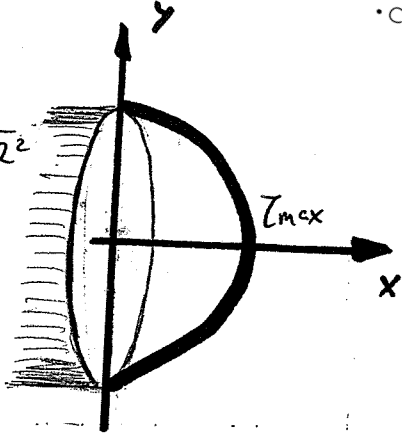
$$Z(y) = \frac{T_b \frac{2}{3} (R^2 - y^2)^{3/2}}{2\sqrt{R^2 - y^2} \cdot \frac{\pi R^4}{4}}$$



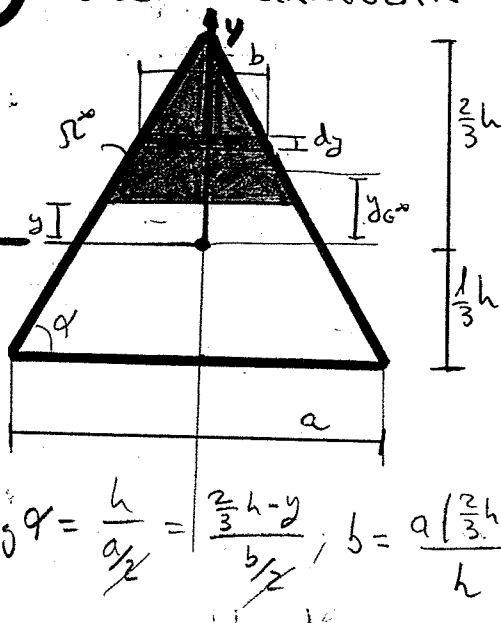
10

$$T(y) = \frac{4}{3} \frac{T_2}{\pi R^4} (R^2 - y^2)$$

$$T_{max} (y=0) = \frac{4}{3} \frac{T_2}{\pi R^2}$$



C) SECCIÓN TRIANGULAR



$$\tan \theta = \frac{h}{\frac{2}{3}h} = \frac{\frac{2}{3}h - y}{b}, \quad b = a \left(\frac{\frac{2}{3}h - y}{h} \right)$$

$$T = \frac{T_2 M_2(y)}{b I_2}$$

$$I_2 = \int y^2 dA = \int_{-h/3}^{h/3} y^2 b dy = \int_{-h/3}^{h/3} \frac{a(\frac{2}{3}hy^2 - y^3)}{h} dy =$$

$$= \frac{a}{h} \left[\frac{2}{3}h \frac{y^3}{3} + \frac{y^4}{4} \right]_{-h/3}^{h/3} =$$

$$= \frac{1}{36} ah^3$$

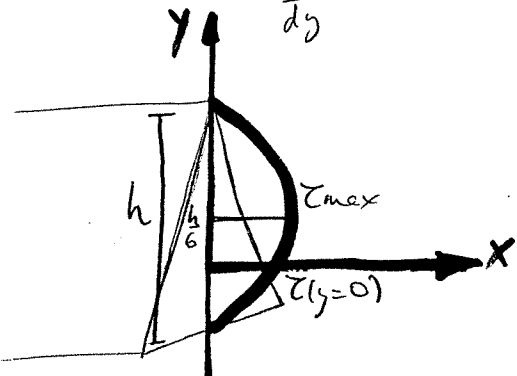
$$M_2 = \underbrace{\int y^2 dA}_{dA} = \underbrace{\left[\frac{1}{2} b(y) \left(\frac{2}{3}h - y \right) \right]}_{b(y)} \cdot \underbrace{\left[y + \frac{1}{3} \left(\frac{2}{3}h - y \right) \right]}_{y_c} = \left[\frac{1}{2} b(y) \left(\frac{2}{3}h - y \right) \left(\frac{2}{3}h + \frac{2}{3}y \right) \right] =$$

$$= b(y) \left(\frac{2}{3}h - y \right) \left(\frac{h}{3} + y \right) \cdot \frac{1}{3}$$

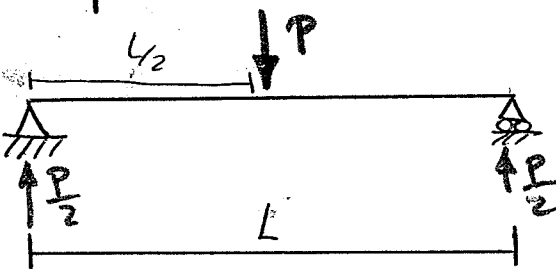
$$\text{Por tanto } T = \frac{T_2 M_2(y)}{b I_2} = \frac{T_2 b \left(\frac{2}{3}h - y \right) \left(\frac{h}{3} + y \right)}{3b \cdot \frac{1}{36} ah^3} = \frac{12 T_2}{ah^3} \left(\frac{2}{3}h - y \right) \left(y + \frac{h}{3} \right)$$

$$T_{max} \rightarrow \underbrace{\frac{2}{3}h - y - \frac{h}{3}}_{\frac{dy}{dx}} = 0 \rightarrow y_{T_{max}} = \frac{h}{6}; \quad T(y=0) = \frac{2}{3} \frac{T_2}{ah}$$

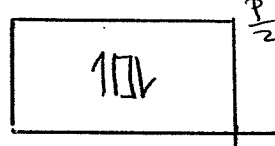
$$T_{max} = \frac{3 T_2}{ah}$$



= Comparación entre tensión normal y tangencial

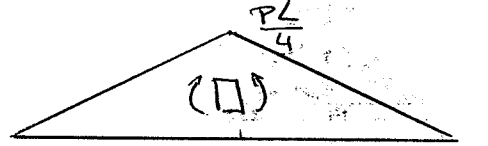


(T_y)



$10V$

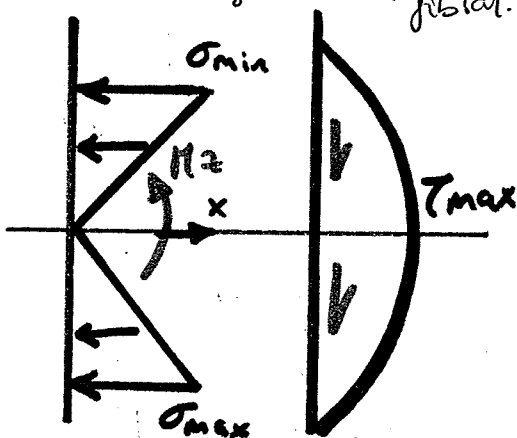
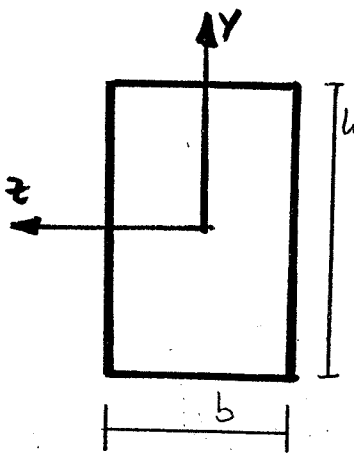
(M_z)



(\square)

En la estructura rígida: $\left\{ \begin{array}{l} \sigma_{\max} \Rightarrow M_{z,\max} \\ \tau_{\max} \Rightarrow T_{y,\max} \end{array} \right.$

pero no aparecen en las mismas fibras.



Comparación numérica:

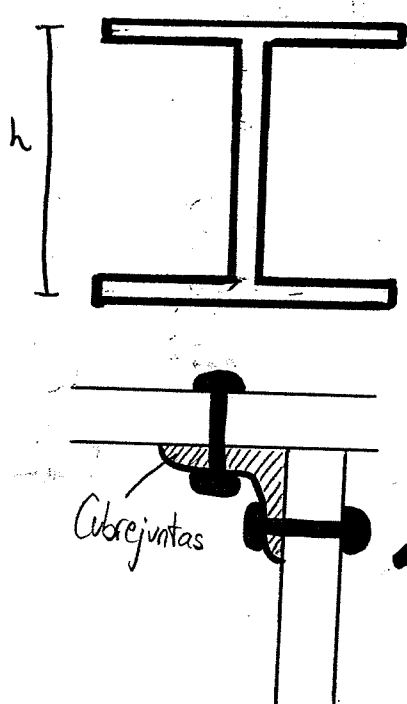
$$\sigma_{\max} = -\frac{M_z}{I_z} \left(\frac{-h}{2} \right) = \frac{\frac{PL}{4}}{\frac{1}{12}bh^3} \cdot \frac{h}{2} = \frac{3}{2} \frac{PL}{bh^2}$$

$$\tau_{\max} = \frac{T_y M_z(y=0)}{I_z b} = \frac{\frac{P}{2} \frac{1}{2} \frac{h^2}{4} \cdot b}{\frac{1}{12} bh^3 b} = \frac{3}{4} \frac{P}{bh}$$

$$\frac{\sigma_{\max}}{\tau_{\max}} = \frac{2L}{h} \gg 1 \longrightarrow \boxed{\sigma_{\max} \gg \tau_{\max}}$$

Lección 15: VIGAS ARMADAS

Una viga armada es aquella que fabricamos con placas planas con una sección a medida elegida por el usuario sin ajustarse a un nº de secciones en catálogo normalizadas.



h normalizada \Rightarrow Viga de catálogo

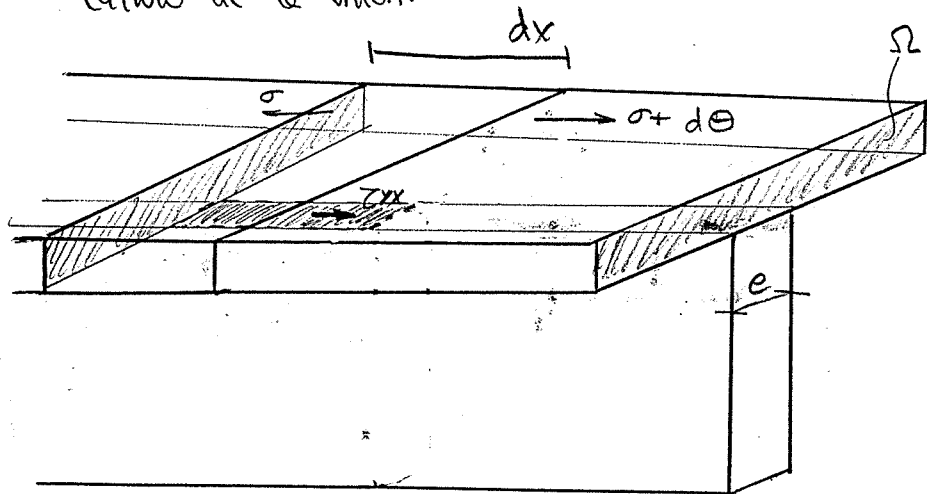
h no normalizada \Rightarrow Viga armada

Para unir las secciones tenemos dos opciones

① Unión Soldada

② Unión Atornillada

Cálculo de la unión:



Diferencial del flujo tangencial

$$dF = \tau dx \cdot e$$

$$dF = -\int_2 \sigma dy + \int_2 (\sigma + d\sigma) dy =$$

$$= - \int_2 d\sigma dy = \int_2 \frac{dM}{I_z} y dy =$$

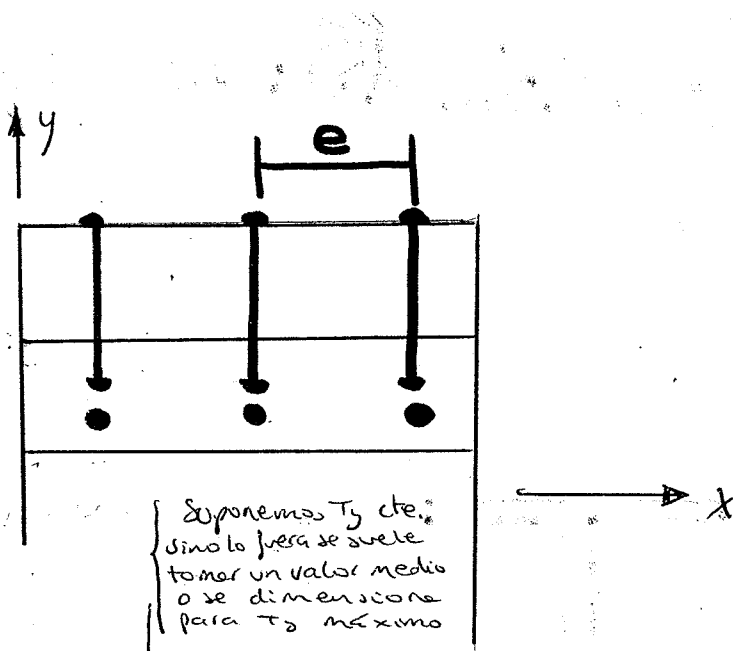
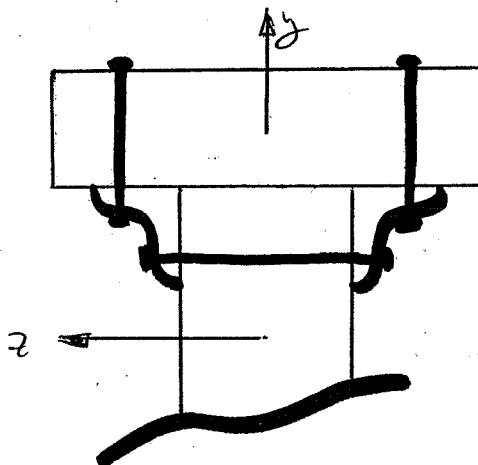
Navier

$$\sigma = -\frac{M z}{I_z}$$

$$= \frac{T_y dx}{I_z} \int_2 z dy \Rightarrow$$

$$\Rightarrow dF = \frac{T_y M z}{I_z} dx$$

CÁLCULO UNIÓN ATORNILLADA



$$dF = \frac{T_g M_2^*}{I_2} dx \quad F = \int_0^e \frac{T_g M_2^*}{I_2} dx = \frac{T_g M_2^*}{I_2} e$$

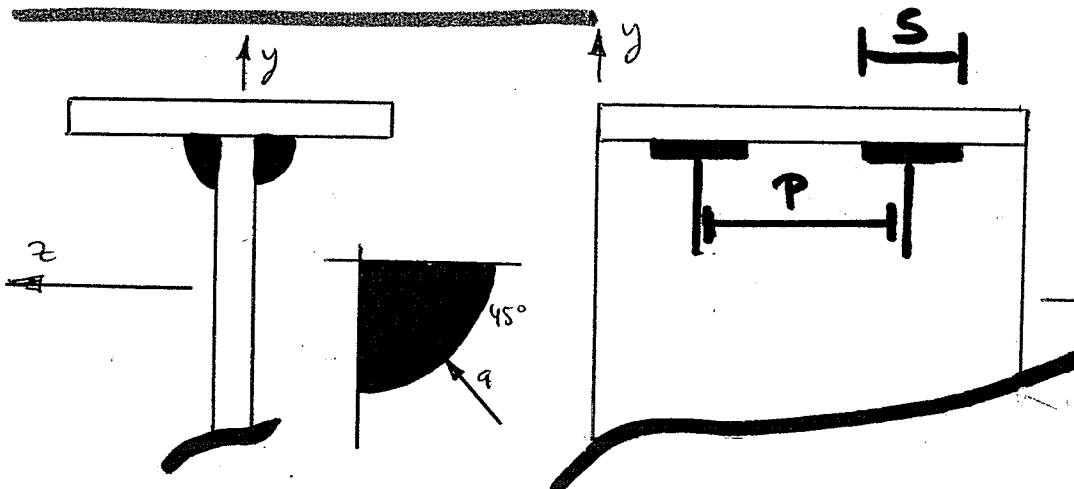
Momento estático M_2^* : el de la zona que se rompe al cortar el elemento de unión

$$F = n \frac{\pi \phi^2}{4} \bar{Z}_{adm}$$

n = num. tornillos EN SECCIÓN por platabande
 ϕ = diámetro de los tornillos

$$\frac{T_g M_2^*}{I_2} e = n \frac{\pi \phi^2}{4} \bar{Z}_{adm}$$

CÁLCULO DE LA UNIÓN SOLDADA



$$F = \int_0^P \frac{T_g M_2^*}{I_2} dx = \frac{T_g M_2^*}{I_2} P$$

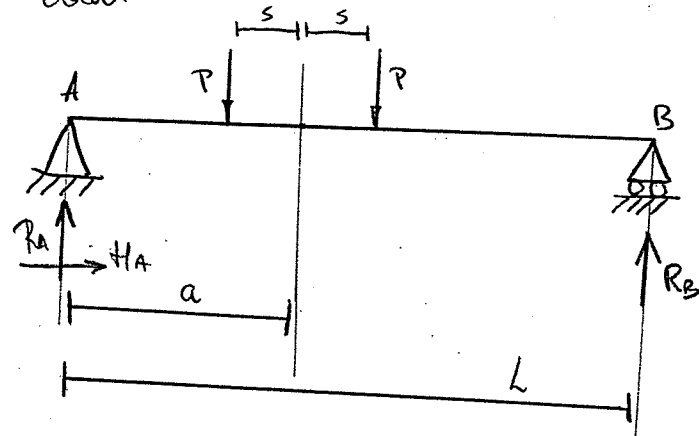
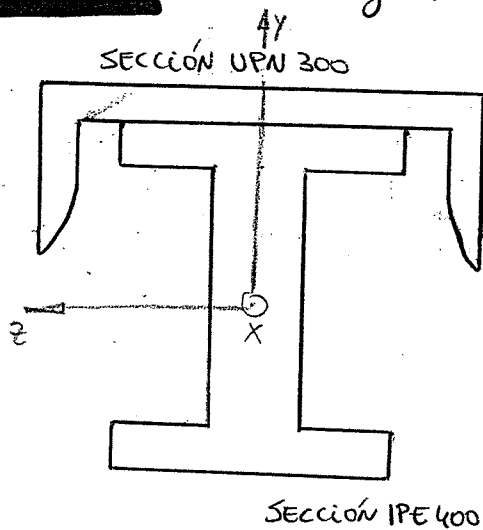
$$F = n s \cdot a \bar{Z}_{adm}; n = \text{nº cordones EN SECCIÓN por platabande}$$

$$\frac{T_g M_2^*}{I_2} P = n s a \bar{Z}_{adm}$$

14

a = Garganta de los soldados
 s = Longitud de los soldados
 P = paso, distancia entre el centro de un cordón y otro en soldaduras discontinuas.

EJERCICIO Sea la viga de sección dada:



1) Calcular los diagramas de esfuerzo cortante y momento flector

Por equilibrio estático a todo la estructura

$$\sum F_H = 0 \rightarrow H_A = 0$$

$$\sum F_r = 0 \rightarrow R_A + R_B = 2P$$

$$\sum M_A = 0 \rightarrow -P(a-s) - P(a+s) + R_B L = 0; R_B = \frac{P(2a)}{L}$$

a) CONDICIÓN: Momento flector máximo en $x = a-s$
Calcular el valor de a en función de s y L .

$$M_2(x=a-s) = 2P\left(1 - \frac{a}{L}\right)(a-s) = \frac{2P}{L}(al - sl - a^2 + as)$$

$$R_A = 2P - \frac{P(2a)}{L} = 2P\left(1 - \frac{a}{L}\right)$$

$$\frac{dM_2(x=a-s)}{da} = 0 \rightarrow \cancel{\frac{2P}{L}} - \cancel{\frac{2P}{L}} 2a + \cancel{\frac{2Ps}{L}} = 0; 1 + \frac{s}{L} = \frac{2a}{L}$$

$$a = \frac{(L+s)}{2}$$

$$\Rightarrow R_A = P - \frac{Ps}{L}$$

$$R_B = P + \frac{Ps}{L}$$

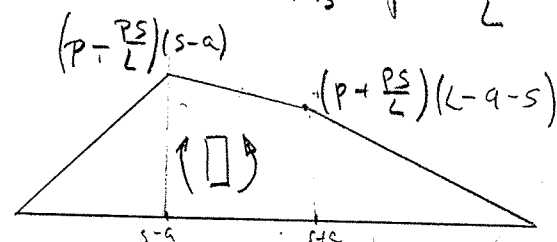
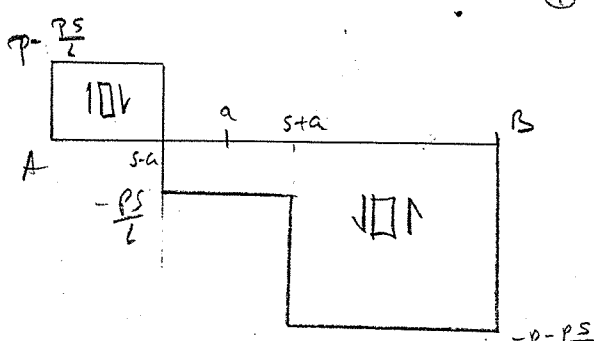


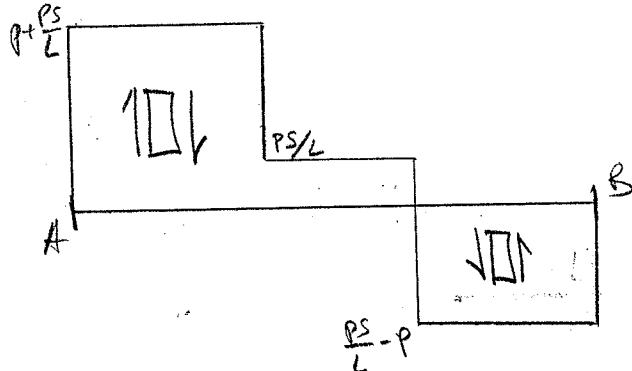
Diagrama de flector M_2

b) CONDICIÓN Momento flector máximo en $x = s+a$. Calcular el nuevo valor de a

$$M_x(x=s+a) = \frac{2Pa}{L} (L-a-s) = \frac{2P}{L} (al - a^2 - as)$$

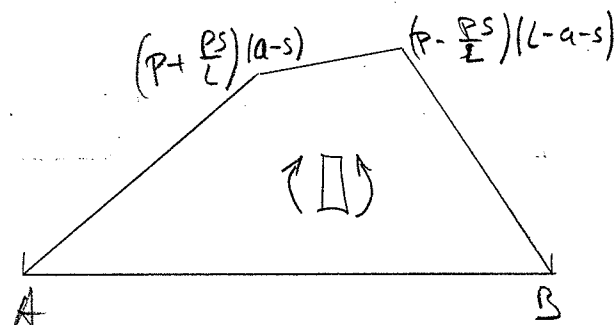
$$\frac{dM_x(x=s+a)}{da} = 0 \rightarrow \frac{2P}{L} L - \frac{2P}{L} 2a - \frac{2P}{L} s = 0; a = \frac{L-s}{2}$$

Diagrama de constante T_2



$$R_A = P \left(1 - \frac{L-s}{2L}\right) = P + \frac{Ps}{L}$$

$$R_B = P \left(1 - \frac{s}{2L}\right) = P - \frac{Ps}{L}$$

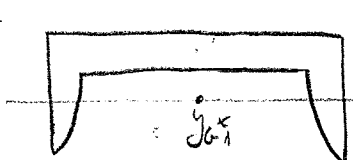


2) Calcular el módulo resistente a flexión de la viga dada.

$$W = \min(W_{inf}, W_{sup}) \rightarrow W_{inf} = \frac{I_z}{h_{inf}}, W_{sup} = \frac{I_z}{h_{sup}}$$

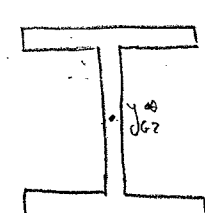
Nuestro problema es, por tanto, calcular el momento polar de los secciones

Calculamos los respectivos momentos de cada parte



PERFIL UPN 300

$$I_z^0 = 495 \text{ cm}^4; A^0 = 58,8 \text{ cm}^2$$

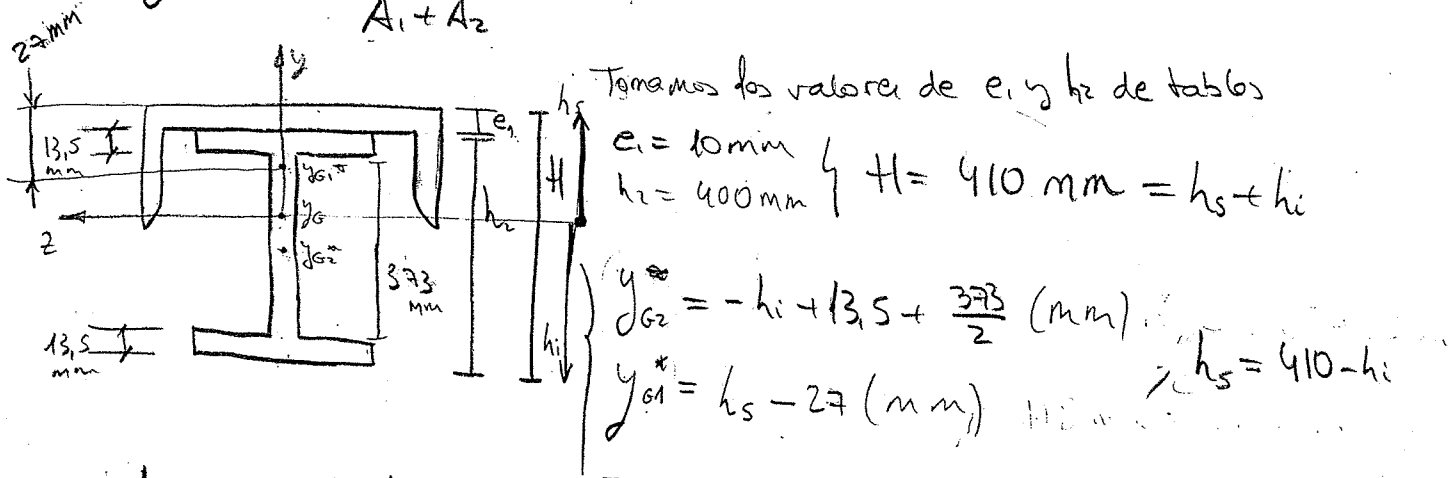


PERFIL IPN 400

$$I_z^0 = 23130 \text{ cm}^4; A^0 = 84,5 \text{ cm}^2$$

Necesitamos ahora calcular el centro de gravedad de la pieza

$$y_G = \frac{y_{G1}^* A_1 + y_{G2}^* A_2}{A_1 + A_2} \stackrel{\text{Tomando el origen de la red en } y_G = 0}{=} 0 \quad (**)$$



Tomamos los valores de e_1 y e_2 de tablas

$$e_1 = 10 \text{ mm}$$

$$e_2 = 400 \text{ mm} \quad \left\{ \begin{array}{l} e = 410 \text{ mm} = h_s + h_i \\ h_i = 410 - h_s \end{array} \right.$$

$$\left. \begin{array}{l} y_{G2}^* = -h_i + 13.5 + \frac{373}{2} \text{ (mm)} \\ y_{G1}^* = h_s - 27 \text{ (mm)} \end{array} \right\} \begin{array}{l} h_s = 410 - h_i \\ h_i = 410 - h_s \end{array}$$

$$\text{Aplicamos } (**): 0 = [(410 - h_i) - 27] \cdot 5880 + [-h_i + 13.5 + \frac{373}{2}] 8450$$

$$\left. \begin{array}{l} h_i = 27.5 \text{ cm} \rightarrow y_{G2}^* = -75 \text{ mm} \\ h_s = 13.5 \text{ cm} \rightarrow y_{G1}^* = 108 \text{ mm} \end{array} \right\}$$

Aplicamos Steiner de forma que:

$$\begin{aligned} I_z^{tot} &= I_z^{(1)} + (y_{G1}^*)^2 A_0 + I_z^{(2)} + (y_{G2}^*)^2 A_0 = \\ &= 495 + (10.8)^2 \cdot 58.8 + 23130 + (-7.5)^2 \cdot 89.5 = 35236.55 \text{ cm}^4 \end{aligned}$$

Por tanto

$$\boxed{W = \min(W_{inf}, W_{sup}) = \left(\frac{35236.55}{27.5}, \frac{35236.55}{13.5} \right) = \underline{1281.33 \text{ cm}^3}}$$

3) Para el valor de a calculado en 1b) y con los valores $P = 100 \text{ KN}$, $L = 8 \text{ m}$, $s = 1,5 \text{ m}$ calcular la σ_{\max}

Para el caso 1b) tenemos

$$\left| \begin{array}{l} a = \frac{L-s}{2} = 3,25 \text{ m} \\ M_{z \max} = \frac{2P \cdot a}{L} (L-a-s) = 264,0625 \text{ KNm} \end{array} \right.$$

Por ley de Navier $\sigma = -\frac{M_z}{I_z} \cdot y$

$$\boxed{\sigma_{\max} = \frac{+M_z}{W_{yz}} = \frac{264,0625 \cdot 10^3 \cdot 10^3 (\text{Nmm})}{1281,33 \cdot 10^3 (\text{mm}^3)} = 206,08 \text{ MPa}}$$

$y < 0$ TRACCION

4) Suponiendo una unión soldada entre los dos perfiles con los debos garras

$$\left| \begin{array}{l} g = 0,5 \text{ cm} \\ Z_{adm} = 100 \text{ MPa} \\ l = 10 \text{ cm} \\ \text{longitud del cordón de soldadura} \end{array} \right\} \text{Calcular el paso, } p.$$

$$\frac{T_g M_z}{I_z} P = n l g Z_{adm}$$

$$\left\{ \begin{array}{l} I_z = 35236,55 \text{ cm}^4 \\ l = 10 \text{ cm} \\ n = 2 \\ s = 0,5 \text{ cm} \\ Z_{adm} = 100 \text{ MPa} \end{array} \right.$$

Modelamos la soldadura para $T_g \max$:

$$T_g \max = \max(R_A, R_B) = 118,75 \text{ KN}$$

$$M_z^* = A_0 y_{ge} = 58,8 \cdot 10,8 = 635,04 \text{ cm}^3$$

(Rotacione)

$$\frac{118,75 \cdot 10^3 \cdot 635,04 \cdot 10^3}{35236,55 \cdot 10^4} P = 2 \cdot 100 \cdot 5 \cdot 100 \rightarrow P = 467 \text{ mm}$$

5) Si la unión fija atornillada con debos: $\phi = 20 \text{ mm}$

$$Z_{adm} = 150 \text{ MPa}$$

Recordar

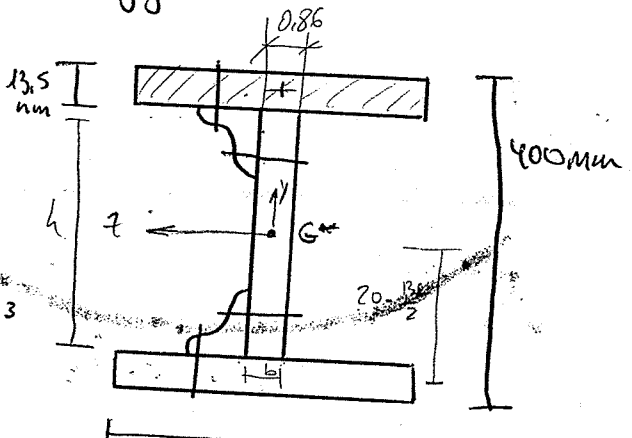
$$I = \frac{1}{12} b h^3$$

Calcular la distancia entre tornillos, para la figura dada

Aplicamos $\frac{T_g M_a}{I_2} e = n \frac{\pi \phi^2}{4} Z_{adm}$

$$M_a = 13,5 \cdot 180 \left(\frac{406}{2} - \frac{13,5}{2} \right) = 469,6 \text{ cm}^3$$

Platbands



$$I_2 = 2 \left[\underbrace{\frac{1}{12} 1,35^3 \cdot 18}_{\text{2 Platbands}} + \underbrace{1,35 \cdot 18 \cdot \left(20 - \frac{1,35}{2} \right)^2}_{\text{I}_2 \text{ Platbands}} \right] + \frac{b}{12} 0,86 \cdot (40 - 21,35)^3 \text{ STEINER}$$

$$e_p = \frac{b_p}{2} \quad I_{h_p}$$

$$I_2 = 21876,47 \text{ cm}^4$$

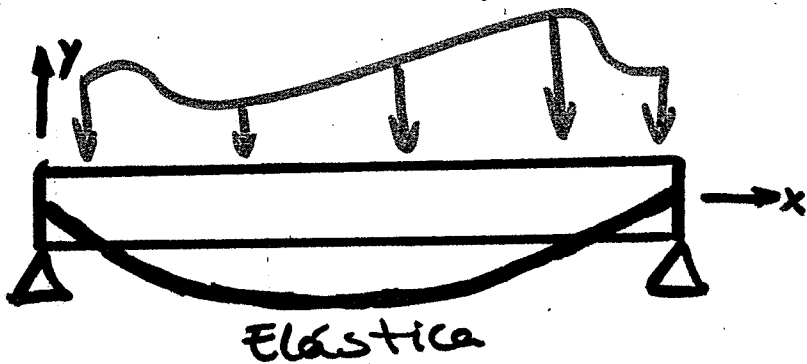
$$T_g = 118,75 \cdot 10^3 \text{ N}$$

\Rightarrow Sustituyendo en (*) obtendríamos e_{II} ($n=1$)

$$e = \frac{1,11 \cdot 20^2}{4} 150 \cdot \frac{21876,47 \cdot 10^4}{118,75 \cdot 10^3 \cdot 469,6 \cdot 10^3} = 184,9 \text{ mm}$$

Diferente resultado al del profesor //

Lección 16: ECUACIONES DE LA ELÁSTICA. ECUACIÓN UNIVERSAL



Ecuaion intrínseca
de la elástica

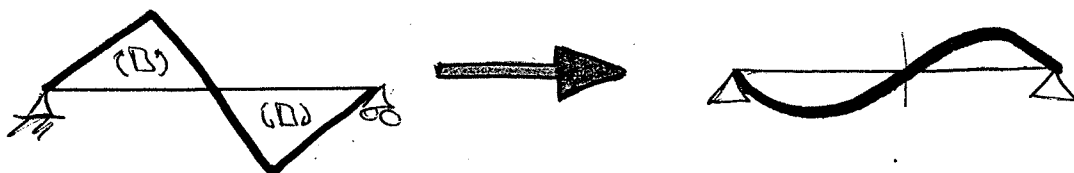
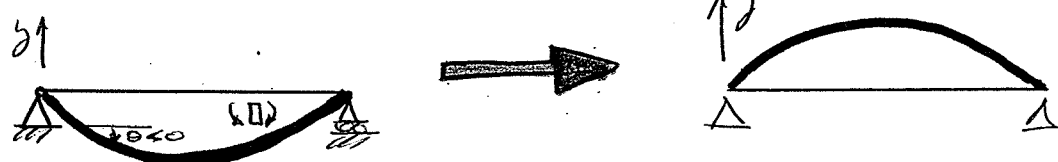
$$\frac{1}{P} = \chi = \frac{M_z}{E I_z}$$

La curvatura va a tener el mismo signo que el momento

$\chi > 0 \Rightarrow M_z > 0$ (□) CONCAVIDAD EN LA DIRECCIÓN NEGATIVA DEL EJE Y

$\chi < 0 \Rightarrow M_z < 0$ (□) CONVEXIDAD EN LA DIRECCIÓN POSITIVA DEL EJE Y

Ejemplos:



$$\frac{1}{P} = \frac{M_z}{E I_z} \Rightarrow \frac{1}{P} = \frac{d\Theta}{ds} = \frac{d\Theta}{dx} \cdot \frac{dx}{ds} \quad (\ast)$$

$$\frac{ds}{d\theta} \rightarrow \left\{ \begin{array}{l} ds = \sqrt{dx^2 + dy^2} = dx \sqrt{1 + y'^2}, \text{ siendo } y' = \frac{dy}{dx} \\ t \frac{dy}{dx} = \frac{dy}{dx} = y'; \quad \theta = \arctan(y') \\ \frac{d\theta}{dx} = \frac{y''}{(1+y'^2)} \end{array} \right.$$

$$(\ast) \Rightarrow \frac{1}{P} = \frac{d\Theta}{dx} \frac{dx}{ds} = \frac{y''}{(1+y'^2)} \cdot \frac{1}{(1+y'^2)^{1/2}} = \frac{y''}{(1+y'^2)^{3/2}}$$

Por tanto, la ecuación de la elástica en coordenadas cartesianas queda:

$$\frac{y''}{(1+y'^2)^{3/2}} = \frac{M_z}{EI_z}$$

SIMPLIFICACIÓN

$$y'' = \frac{M_z}{EI_z}$$

Estas ecuaciones debemos integrarlas:

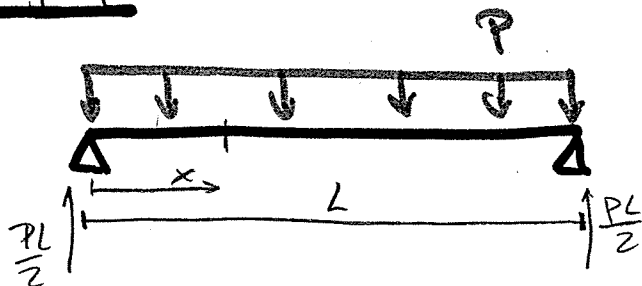
$$y' = \int \frac{M_z}{EI_z} dx + C_1, \quad y = \int \left[\int \frac{M_z}{EI_z} dx + C_1 x \right] + C_2$$

Obtendremos C_1 y C_2 por condiciones de contorno EN APOYOS

- Apoyo simple $\rightarrow y=0$

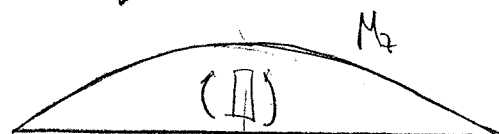
- Empotramiento $\rightarrow y=0, y'=0$

Ejemplo



$$M_z(x) = \frac{PL}{2}x - (Px)\frac{x}{2} = \frac{PL}{2}x - \frac{Px^2}{2}$$

Aplicando ley M_z (\square)



$$y'' = \frac{\frac{PL}{2}x - \frac{Px^2}{2}}{EI}$$

$$EIy' = \frac{PL}{4}x^2 - \frac{Px^3}{6} + C_1$$

$$EIy = \frac{PL}{12}x^3 - \frac{Px^4}{24} + C_1x + C_2$$

COND. CONTORNO EN APOYOS SIMPLES

$$y(x=0) = 0 \rightarrow C_2 = 0$$

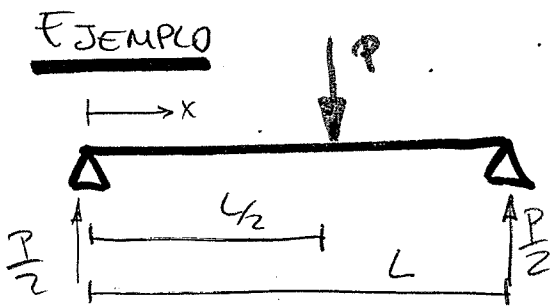
$$y(x=L) = 0 \rightarrow 0 = \left(\frac{PL^4}{12} \left(1 - \frac{1}{2}\right) + C_1 L \right), \quad C_1 = -\frac{PL^3}{24}$$

$$\Rightarrow EIy = \frac{PLx^3}{12} - \frac{PL^4}{24} - \frac{PL^3}{24}x$$

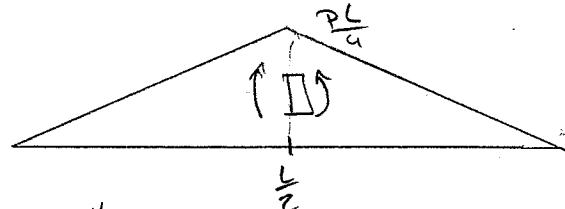
NOTA!! Flecha $\rightarrow |y_{max}|$

$$y_{max} \leftrightarrow M_{max} (x = \frac{L}{2}) \rightarrow y_{max} = \frac{1}{EI} \frac{PL^4}{12} \left[\frac{1}{8} - \frac{1}{224} - \frac{1}{4} \right]$$

$$|y_{max}| = \text{FLECHA} = \frac{-5}{384} \frac{PL^4}{EI}$$



• Calculo de M_z (diagrama)



$$M_z = \begin{cases} x < \frac{L}{2} \rightarrow M_z = \frac{P}{2}x \\ x > \frac{L}{2} \rightarrow M_z = \frac{P}{2}x - P\left(x - \frac{L}{2}\right) = \frac{P}{2}(L-x) \end{cases}$$

$$\frac{y''}{EI} = \frac{M_z}{EI} \rightarrow \begin{cases} EIy_1' = \frac{P}{4}x^2 + C_{11} \\ EIy_1 = \frac{P}{12}x^3 + C_{11}x + C_{12} \\ EIy_2' = -\frac{P}{4}(L-x)^2 + C_{21} \\ EIy_2 = \frac{P}{12}(L-x)^3 + C_{21}x + C_{22} \end{cases}$$

COND. CONTORNO

$$x=0 \rightarrow y_1 = 0 \rightarrow C_{12} = 0$$

$$x=L \rightarrow y_2 = 0 \rightarrow C_{21}L + C_{22} = 0$$

COND DE CONTINUIDAD

$$x = \frac{L}{2} \rightarrow y_1 = y_2 \rightarrow \left\{ \begin{array}{l} \cancel{\frac{P(\frac{L}{2})^3}{12} + G_{11} \frac{L}{2}} = \cancel{\frac{P(\frac{L}{2})^3}{12}} + G_{21} \frac{L}{2} + G_{22} \\ \cancel{\frac{P(\frac{L}{2})^2}{4} + G_{11}} = -\frac{P}{4} \left(\frac{L}{2}\right)^2 + G_{21} \end{array} \right.$$

$$\left\{ \begin{array}{l} G_{11} = LG_{21} + 2G_{22} \\ G_{22} = -G_{21}L \end{array} \right. \quad \left. \begin{array}{l} G_{11} = \frac{PL^2}{16}, G_{21} = -\frac{PL^2}{16} \\ G_{22} = -\frac{PL^3}{16}, G'_{12} = 0 \end{array} \right\}$$

$$\rightarrow \cancel{\frac{P(\frac{L}{2})^2}{4}} = G_{21} - G_{11} \rightarrow G_{21} = \cancel{G_{11}} \rightarrow G_{21} = \frac{PL^2}{16}, G_{11} = -\frac{PL^2}{16}$$

Por tanto

$$\boxed{\begin{cases} EI y_1 = \frac{P}{12} x^3 + \frac{PL^2}{16} x \\ EI y_2 = \frac{P}{12} (L-x)^3 + \frac{PL^2}{16} x - \frac{PL^3}{16} \end{cases}}$$

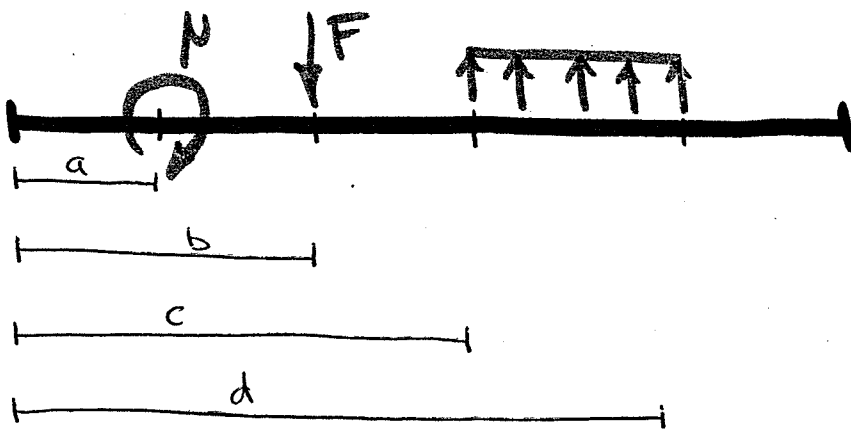
• ECUACIÓN UNIVERSAL DE LA ELÁSTICA

Definimos las funciones de continuidad $f_n(x) = (x-a)^n = \begin{cases} (x-a)^n & x > a \\ 0 & x \leq a \end{cases}$

HIPÓTESIS

$$\begin{array}{l} \text{N} > 0 \Rightarrow \text{HORARIO} \\ \text{F} > 0 \\ \text{t} > 0 \end{array} \quad \left| \begin{array}{l} y > 0 \end{array} \right.$$

ÅV



La ecuación de los
elásticos es más
compleja si hay
rotulos!!

$$x < a \Rightarrow M_2 = 0 \rightarrow \epsilon I y_1^u = 0, \quad \epsilon I y_1^l = g_1, \quad \epsilon I y_1 = g_1 x + k_1$$

$$a < x < b \Rightarrow M_2 = \mu \rightarrow EIy_2'' = \mu; EIy_2' = \mu(x-a) + C_2; EIy_2 = \mu \frac{(x-a)^2}{2} + C_2x + K_2$$

$$b < x < z \Rightarrow M_2 = \mu + f(x-b) = EI y_3'' \quad EI y_3' = \mu(x-a) + f \frac{(x-b)^2}{z} + C_3$$

$$EIy_3 = \mu \frac{(x-a)^2}{2} + F \frac{(x-b)^3}{6} + C_3 x + K$$

$$c < x < d \Rightarrow M_x = N + F(x-b) + p \frac{(x-c)^2}{z} = \text{Erg}_u$$

$$t^2 y_4' = \mu(x-a) + \frac{(x-b)^2}{2} + \rho \frac{(x-c)^3}{6} + g_4$$

$$EIy_4 = \mu \frac{(x-a)}{2} + f \frac{(x-b)^3}{6} + p \frac{(x-c)^4}{24} + c_a x + k_4$$

$$X > d \Rightarrow M_2 = \mu + F(x-d) + P\frac{(x-c)^2}{2} - P\frac{(x-d)^2}{2} = \epsilon I y_s^4$$

$$E_3(x) = p \frac{(x-a)^2}{2} + f \frac{(x-b)^3}{3!} + p \left(\frac{(x-c)^4}{4!} - \frac{(x-d)^4}{4!} \right) + k_s x + K_s$$

Aplicamos condición de continuidad.

$$x=a \begin{cases} y_1 = y_2 \\ y'_1 = y'_2 \end{cases} \rightarrow C_1 a + K_1 = C'_1 a + K'_1 \rightarrow K_1 = K'_1$$

$$x=b \begin{cases} y_2 = y_3 \\ y'_2 = y'_3 \end{cases} \rightarrow C_2 b + K_2 = C'_2 b + K'_2 \rightarrow K_2 = K'_2$$

⋮

$$K_1 = K_2 = K_3 = K_4 = K_5 = K$$

$$C_1 = C_2 = C_3 = C_4 = C_5 = C$$

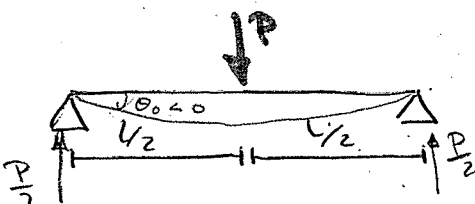
ECUACIÓN UNIVERSAL

$$EIy = Cx + K + P \frac{(x-a)^2}{2!} + F \frac{(x-b)^3}{3!} + P \left[\frac{(x-c)^4}{4!} - \frac{(x-d)^4}{4!} \right]$$

$$G = EIy_0' = EI\Theta_0, \quad K = EIy_0$$

$y_0' = \Theta_0$ ≡ Pendiente en el origen
 y_0 ≡ Flecha en el origen

Ejemplo



$$(x-a)^n \begin{cases} (x-a)^n & \text{si } x > a \\ 0 & \text{si } x < a \end{cases}$$

Planteamos ec universal

$$EIy = EIy_0 + EI\Theta_0 x + \frac{P}{2} \frac{(x-0)^3}{3!} - P \frac{(x-\frac{L}{2})^3}{3!} + \frac{P}{2} \frac{(x-L)^3}{3!}$$

Cond. contorno

$$x=0 \rightarrow y_0, \quad 0 = y_0 + 0$$

$$x=L \rightarrow y_L = 0, \quad 0 = 0 + EI\Theta_0 L + \frac{P}{2} \frac{L^3}{6} - \frac{P}{6} \frac{L^3}{8}$$

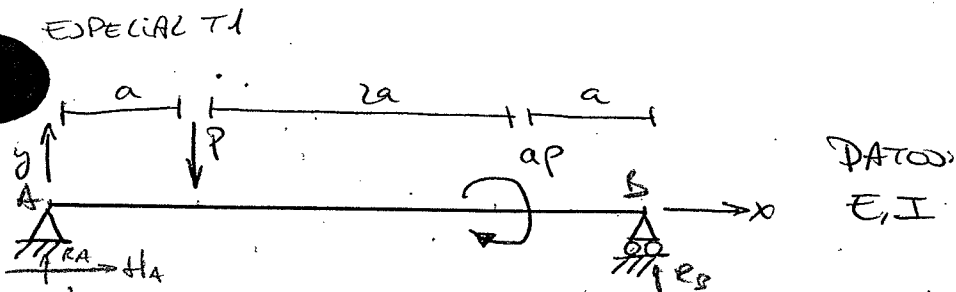
$$EI\Theta_0 = \frac{P}{6} L^2 \left(\frac{1}{3} - \frac{1}{2} \right) = -\frac{3PL^2}{48}$$

Tan tanto

$$EIy = \frac{-3PL^2}{48} x + \frac{P}{12} x^3 - \frac{P}{6} \frac{(x-\frac{L}{2})^3}{3!}$$

Ejercicio

Sea la viga



1) Reacciones en los apoyos y diagramas con leyes de T_s , M_s

Reacciones

Aplico cond. de eq. estático
a todo la estructura

$$\begin{cases} \sum F_H = 0 \rightarrow H_A = 0 \\ \sum F_V = 0 \rightarrow R_A + R_B - P = 0 \\ \sum M_A = 0 \rightarrow -Pd - Pd + R_B \cdot 4d = 0 \end{cases}$$

$$R_B = \frac{P}{2}, R_A = \frac{P}{2}$$

Diagrama T_s III^\oplus

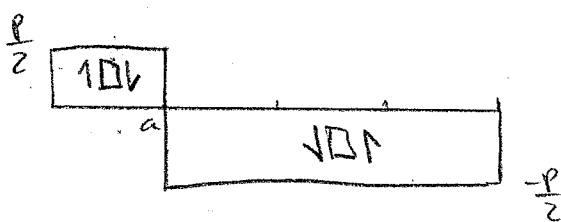
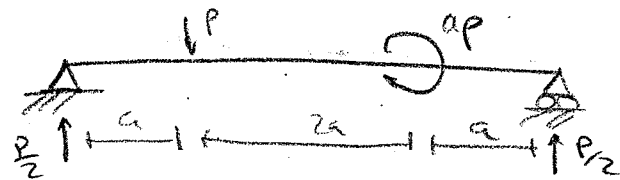
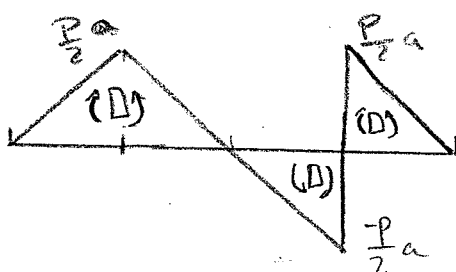


Diagrama M_s (\square) $^\oplus$



leyes

$$T_s = \begin{cases} x < a, T_s = \frac{P}{2} \\ x > a, T_s = -\frac{P}{2} \end{cases}$$

$$M_s = \begin{cases} x < a, M_s = \frac{P}{2}x \\ a < x < 3a, M_s = \frac{P}{2}x - P(x-a) \\ x > 3a, M_s = 2Pa - \frac{Px}{2} \end{cases}$$

2) Desplazamientos y giros de los secciones $x+na$ ($n=1, 2, 3, 4$)

Uso ecuación universal

$$EIy = EIy_0 + EI\Theta_0 X + \frac{P}{2} \frac{(x-0)^3}{3!} - P \frac{(x-a)^3}{3!} + ap \frac{(x-3a)^2}{2} + \frac{P}{2} \frac{(x-4a)^3}{3!}$$

Condiciones de contorno

$$x=0 \rightarrow y=0 \rightarrow 0 = y_0$$

$$x=4a \rightarrow y=0 = EI\Theta_0(4a) + \frac{P}{2} \frac{(4a)^3}{3!} - P \frac{(4a-a)^3}{3!} + ap \frac{(4a-3a)^2}{2}$$

$$\text{y} \quad EI\Theta_0 = Pa^3 \left(\frac{16}{3} + \frac{27}{3 \cdot 2} + \frac{1}{2} \right) = \frac{Pa^3}{3} \text{ A; } EI\Theta_0 = -\frac{Pa^2}{3}$$

ECUACIÓN ELÁSTICA:

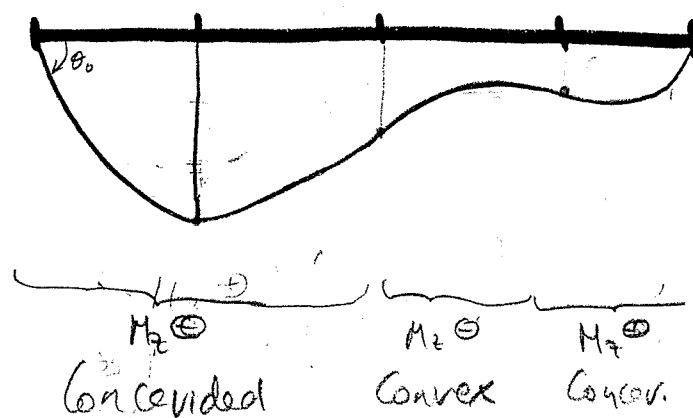
$$EIy = -\frac{Pa^2}{3}X + ap \frac{(x-3a)^2}{2} + \frac{P}{12}x^3 - P \frac{(x-a)^3}{6}$$

Derviando la ecuación de la elástica obtenemos los de giro

$$EI\Theta = -\frac{Pa^2}{3} + ap \frac{(x-3a)^2}{2} + \frac{Px^2}{4} - \frac{P}{2} \frac{(x-a)^3}{6}$$

X	EIy	$EI\Theta$
0	0	$-\frac{Pa^2}{3}$
a	$-\frac{Pa^3}{a}$	$-\frac{Pa^2}{12}$
2a	$\frac{1}{8}Pa^3$	$\frac{1}{6}Pa^2$
3a	$-\frac{1}{12}Pa^3$	$-\frac{1}{12}Pa^2$
4a	0	$\frac{Pa^2}{6}$

3) Dibujar a mano la elástica

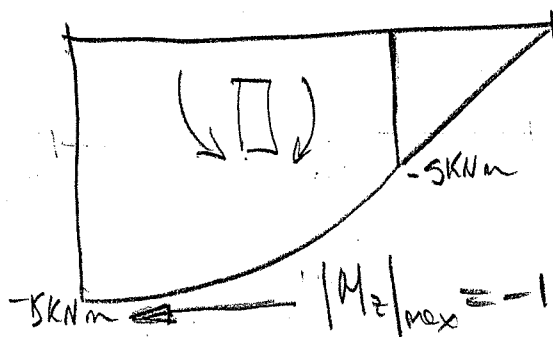
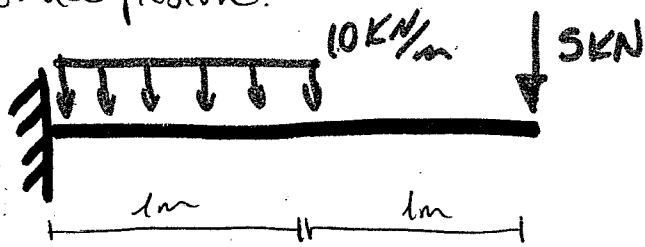


Ejercicio →

Para dimensionar la ménsula indicada en la figura se deben usar 3 perfiles de los gamos IPN, IPE y HEB. Se pide determinar el perfil más económico posible.

Dato $\sigma_{adm} = 150 \text{ MPa}$

Alerto diagrama de momentos



$$W_z \geq \frac{|M_z|_{\max}}{\sigma_{adm}} = \frac{15 \cdot 10^6 \text{ (N·mm)}}{150} = 10^5 \text{ mm}^3 = 100 \text{ cm}^3$$

$$\text{IPN} 160 \rightarrow W_x = 117 \text{ cm}^3 \quad \text{Área} = 22,8 \text{ cm}^2$$

$$\text{IPE} 160 \rightarrow W_x = 109 \text{ cm}^3 \quad \text{Área} = 20,1 \text{ cm}^2$$

$$\text{HEB} 120 \rightarrow W_x = 144 \text{ cm}^3 \quad \text{Área} = 34 \text{ cm}^2$$

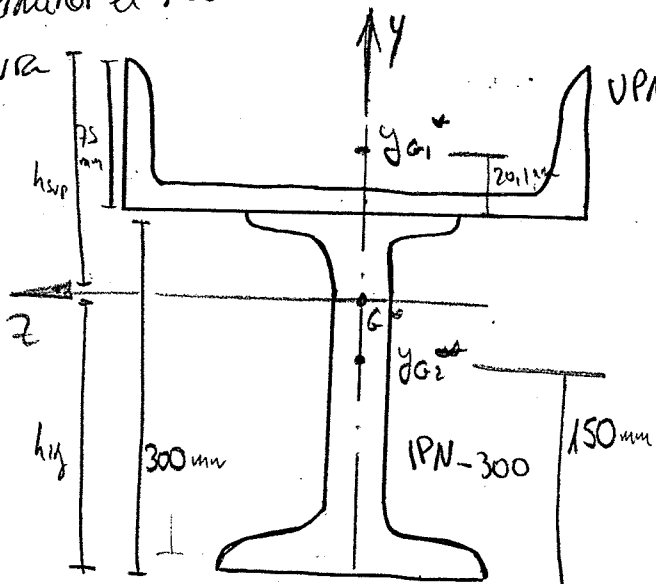
El más económico será el de menor área

$$\Rightarrow \boxed{\text{IPE} 160 \rightarrow W_x = 109 \text{ cm}^3 (100 \text{ cm}^3); A = 20,1 \text{ cm}^2}$$

EJERCICIOS

Determinar el módulo resistente W_x del perfil armado indicado en la figura.

Figura



UPN-200

	$A (\text{cm}^2)$	$I (\text{cm}^4)$
UPN-200	32,2	148
IPN-300	69,1	9800

$$W_x = \min(W_{\text{sup}}, W_{\text{inf}})$$

$$W_{\text{inf}} = \frac{I_z}{h_i}, \quad W_{\text{sup}} = \frac{I_z}{h_s}$$

Necesitamos - por tanto calcular I_z - el valor de h_i o h_s .

$$y_G = \frac{S_{G1} A_1 + S_{G2} A_2}{A_1 + A_2} = 0$$

$$\begin{cases} y_{G1} = h_s - 75 + 20,1 = h_s - 54,9 \\ y_{G2} = -h_i + 150 \end{cases}$$

$$(h_s - 75 + 20,1) 3220 + (-375 + h_s + 150) 6916 = 0$$

$$32,2 + 69,1 = 101,3$$

$$h_s = 170,9 \text{ mm} = 17,1 \text{ cm} \rightarrow y_{G1} = 11,61 \text{ cm}$$

$$h_i = 375 - 170,9 = 20,4 \text{ cm} \rightarrow y_{G2} = -5,4 \text{ cm}$$

$$I_z = (y_{G1})^2 A_1 + I_{z1} + (y_{G2})^2 A_2 + I_{z2} = 148 + 32,2 \cdot 11,61^2 + 9800 + 69,1 \cdot 54^2$$

Steiner

$$I_z = 16303 \text{ cm}^4 \quad (\text{un valor mejor al } I_{\text{max}} \text{ de la parte grande pero no mucho mejor})$$

$$W_x = \frac{16303}{h_i} = 800 \text{ cm}^3$$

Lección 17: ENERGÍA ELÁSTICA MÉTODO DE LA CARGA UNITARIA

- En flexión simple tenemos

$$\left\{ \begin{array}{l} \sigma = -\frac{M_z}{I_z} y \quad | \quad E = \frac{\sigma}{\epsilon} \\ \epsilon = \frac{T_y M_z}{I_z b} \quad | \quad \gamma = \frac{\epsilon}{G} \end{array} \right.$$

$$dU = \left(\frac{1}{2} \sigma \epsilon + \frac{1}{2} \epsilon \gamma \right) dV = \left(\frac{1}{2} \frac{\sigma^2}{E} + \frac{1}{2} \frac{\gamma^2}{G} \right) dV$$

$$\frac{dU}{dV} = \frac{1}{2} \left(\frac{M_z^2}{E I_z^2} y^2 + \frac{T_y^2 M_z^2}{G I_z^2 b^2} \right) \Rightarrow \frac{dU}{dx} = \frac{1}{2} \frac{M_z^2}{E I_z^2} \int_{-L/2}^{L/2} y^2 dx + \frac{1}{2} \frac{T_y^2}{G I_z^2} \int_{-L/2}^{L/2} \frac{M_z^2}{b^2} dx$$

$$\frac{dU}{dx} = \frac{1}{2} \frac{M_z^2}{E I_z^2} + \frac{T_y^2}{2 G A_{T_y}} , \quad A_{T_y} = \text{Área reducida} = \frac{I_z^2}{\int_{-L/2}^{L/2} \frac{M_z^2}{b^2} dx} = \left[\frac{L^8}{L^8 \cdot L^2} \right] = [L^2]$$

Por tanto \Rightarrow

$$U = \frac{1}{2} \int_{-L/2}^{L/2} \frac{M_z^2}{E I_z} dx + \frac{1}{2} \int_L \frac{T_y^2}{G A_{T_y}} dx$$

Área Dist = $L^2 \cdot L$

Diferenciable

Ejemplo cálculo área reducida de sección rectangular

$d\epsilon = B dy$

$A_{T_y} = \frac{I_z^2}{\int_{-L/2}^{L/2} \frac{M_z^2}{B^2} dx} ; \quad I_z = \frac{1}{12} B H^3$

$M_z = \int_y^H \eta d\epsilon = \int_y^H \eta B dy = \frac{\eta^2}{2} \Big|_y^H = \frac{1}{2} \left(\frac{H^2}{4} - y^2 \right) B$

No pongo y , por estar en el límite de integración ($\eta = y$)

$A_{T_y} = \frac{\left(\frac{1}{12} B H^3 \right)^2}{\int_{-\frac{H}{2}}^{\frac{H}{2}} \frac{1}{4} \left(\frac{H^2}{4} - y^2 \right)^2 \cdot B dy} = \frac{\frac{1}{144} \cdot B^2 H^6}{\int_{-\frac{H}{2}}^{\frac{H}{2}} \frac{1}{4} \left(\frac{H^4}{16} y - \frac{H^3 y^3}{2 \cdot 3} + \frac{y^5}{5} \right) dy} =$

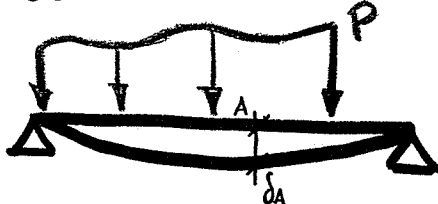
$= \frac{\frac{1}{144} B^2 H^6}{\frac{1}{4} \left(\frac{1}{16} \cdot 2 \cdot 6 + \frac{1}{2 \cdot 5} + \frac{1}{16} \cdot 2 \cdot 6 - \frac{1}{2 \cdot 6} + \frac{1}{2 \cdot 5} \right)} = \frac{\frac{1}{144} B^2 H^6}{\frac{1}{4} \cdot \frac{1}{30} B H^5} = \frac{5}{6} B H < B H$

Algo menor que Área total

MÉTODO DE LA CARGA UNITARIA O MÉTODO DE MOTR

→ Cálculo de desplazamientos → Teorema de Castigliano $\frac{\partial U}{\partial F} = S_F$

Este es un método alternativo para el cálculo de desplazamientos



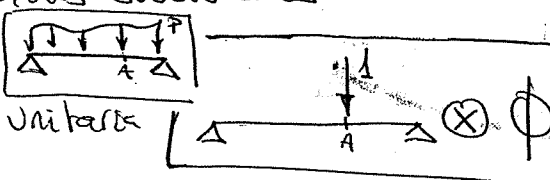
Solo nos proporciona S_A , no de todos los puntos como nos debía la ecuación de la elástica, pero ésta solo servía para momentos puntuales y cargas puntuales uniformemente distribuidas.

→ PROCEDIMIENTO

① Aplicar una carga ϕ tal que el desplazamiento de A sea el desplazamiento efectivo

② Descomponer el sistema en dos subsistemas

Sistema P → El original



③ Ley de momentos de ambos sistemas $\rightarrow M_{zp}$
 $\rightarrow M_{z1} \cdot \phi$

Tal que $M_z = M_{zp} + M_{z1} \cdot \phi$

④ Potencial interno (despreciando el varante)

$$U = \frac{1}{2} \int_L \frac{M_z^2}{EI_z} dx = \frac{1}{2} \int_L \frac{(M_{zp} + M_{z1} \cdot \phi)^2}{EI_z} dx$$

⑤ Derivamos el potencial respecto a la carga

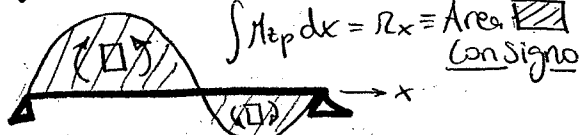
$$\frac{dU}{d\phi} = \int_L \frac{(M_{zp} + M_{z1} \cdot \phi) \cdot M_{z1}}{EI_z} dx$$

$$\textcircled{6} \quad \left. \frac{dU}{d\phi} \right|_{\phi=0} = S_A = \int_L \frac{M_{z1} \cdot M_{zp}}{EI_z} dx$$

En general la ley de momentos M_{z_1} será de la forma
 $M_{z_1} = ax + b = r(x)$, por tanto:

$$S_A = \frac{1}{EI_z} \int (ax+b) M_{z_p} dx = \frac{1}{EI_z} \left[\int_a x R_{z_p} dx + \int_b R_{z_p} dx \right]$$

Ley M_{z_p} (sistema original)

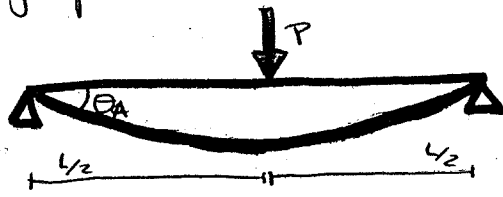


$$\Rightarrow S_A = \frac{1}{EI_z} (a X_G^* S^* + b R^*)$$

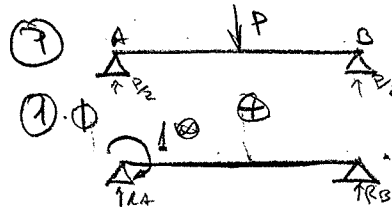
$$S_A = \frac{S^* (a X_G^* + b)}{EI_z} = \frac{S^* r(X_G^*)}{EI_z}$$

X_G^* = Centro de gravedad de S^*

Ejemplo: Calcular O_A .



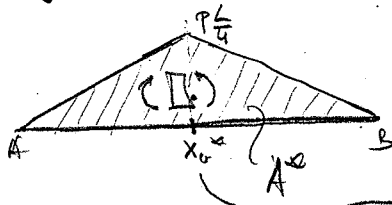
Subsistemas



$$R_A + R_B = 0$$

$$-1 + R_B L = 0; R_B = \frac{1}{L}, R_A = -\frac{1}{L}$$

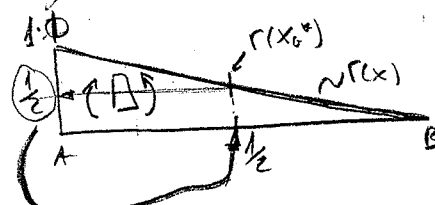
Ley de momentos $M_{z_1} \oplus$



$$X_G^* = \text{Centro gravi} A^* = \frac{1}{2}$$

$$O_A = \frac{A^* r(X_G^*)}{EI_z} = \frac{1}{EI_z} \left(\frac{1}{2} L \frac{PL}{4} \frac{1}{2} \right) = \frac{PL^2}{16EI_z}$$

Ley de momentos $M_{z_1} \oplus \Phi$



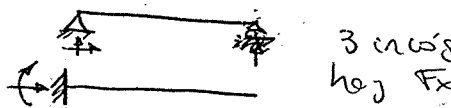
④ Ponemos la carga unitaria en el punto donde queremos calcular el desplazamiento puntual o el giro (momento puntual).

Lección 18: FLEXIÓN HIPERESTÁTICA

En general tendremos problemas planos

$$\text{Ecuaciones: } \begin{cases} \sum F_H = 0 \\ \sum F_V = 0 \\ \sum M = 0 \end{cases}$$

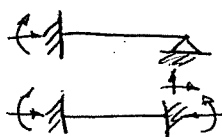
- En casos isostáticos tenemos



3 incógnitas o 2 si no hay Fx

Estudiaremos sistemas hiperestáticos de grado 1 ($GH=1$)

- En casos hiperestáticos tenemos

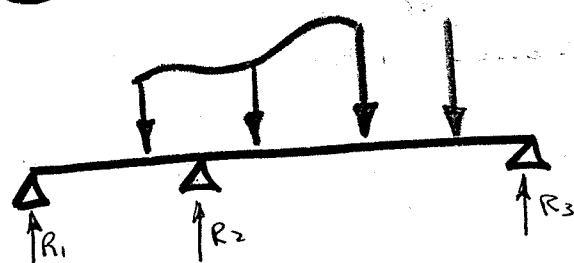


Más de 3 incógnitas o más de 2 si no hay Fx

2 Métodos de cálculo

{ Método de la carga unitaria o de Mohr (basado en la energía)
 Método de la ecuación universal

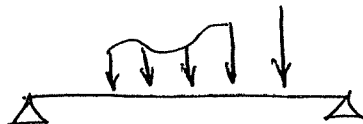
1) MÉTODO DE LA CARGA UNITARIA



1º Elejimos la "incógnita hiperestática". En el caso pintado, sin quitar una de las reacciones el problema ya sería isostático
Elijo R_2

2º Descomposición del sistema

Sistema P: Es el original sin la incógnita hiperestática.



Sistema 1: Sistema con carga unitaria en el punto de aplicación de R_2 con su mismo sentido



3º Cálculo de los diagramas de momentos $\frac{M_p}{M_i}$

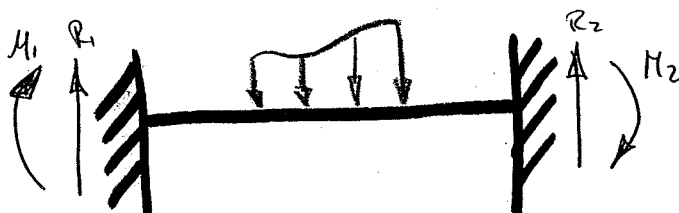
4º Cálculo del desplazamiento eficaz respecto de la incógnita hipercártica (x) → Lo llamaremos δ

$$S = S_p + X \delta_1 \rightarrow \left\{ \begin{array}{l} S_p = \int_0^L \frac{M_p \cdot M_i}{E I_z} dx \\ \delta_1 = \int_0^L \frac{M_i \cdot M_i}{E I_z} dx \end{array} \right.$$

$X = -\frac{S_p}{\delta_1}$

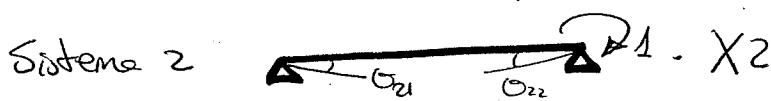
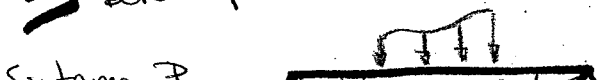
con la condición
 $\delta=0$ ya que la
carga está en un
apoyo.

• Qué ocurriría si el sistema fuese hipercártico de $G+1 > 1$?



1º Elegimos las incógnitas hipercárticas
 $M_1 = X_1$ y $M_2 = X_2$

2º Descomposición del sistema



3º Leyes de momentos
de los 3 sistemas

$$\left\{ \begin{array}{l} M_p \\ M_1 \\ M_2 \end{array} \right.$$

(en este caso son
giros porque las
incógnitas son
momentos)

4º Desplazamientos eficaces respecto a las incógnitas

$$\Theta_1 = \Theta_{p1} + \Theta_{11} X_1 + \Theta_{21} X_2 = 0$$

$$\Theta_2 = \Theta_{p2} + \Theta_{12} X_1 + \Theta_{22} X_2 = 0$$

→ Para estar realmente
aplicadas en apoyo
empotrado que no per-
mite el giro.

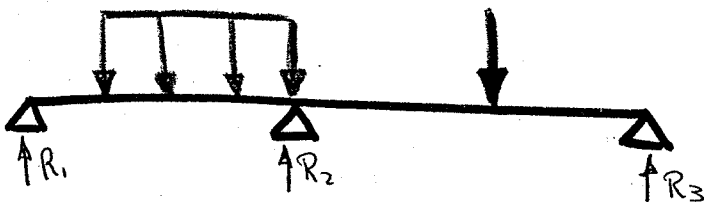
Resolviendo
obtenemos

$$X_1 = M_1$$

$$X_2 = M_2$$

2

MÉTODO DE LA ECUACIÓN UNIVERSAL



1º Dibujo la viga con todas las cargas y reacciones, sea hiperestática del grado que sea.

2º Planteo ecuación universal

$$EIy = EIy_0 + EI\theta_0 x + \frac{\sum M_i}{2!} (x-a)^2 + \frac{\sum F_i}{3!} (x-a)^3 + \frac{\sum P_i}{4!} [x-c]^4 - [x-d]^4$$

3º Incógnitas isostáticas $\left\{ \begin{array}{l} y_0 \\ \theta_0 \\ R_1, R_2, R_3 \end{array} \right.$ \Rightarrow Tengo 5 incógnitas

4º Necesito 5 ecuaciones $\rightarrow \sum F = 0$

$$\Leftrightarrow \sum M = 0$$

Ecuaciones de compatibilidad de mom. en apoyos

Tanto como reacciones tiene.

VENTAJAS Y DESVENTAJAS DEL SISTEMA HPERESTÁTICO

Ventajas

- Sistemas redundantes \Rightarrow más seguros
- Reducen esfuerzos en un sentido \Rightarrow optimizan sección
- Menores deformaciones o flechas.

Desventajas

- Aparecen esfuerzos en el sentido contrario al que se reduce (es mejor tener 2 momentos pequeños que 1 grande)
- Los movimientos impuestos producen esfuerzos
- Los cálculos dependen de $EI_z \Rightarrow$ dependen de la inercia

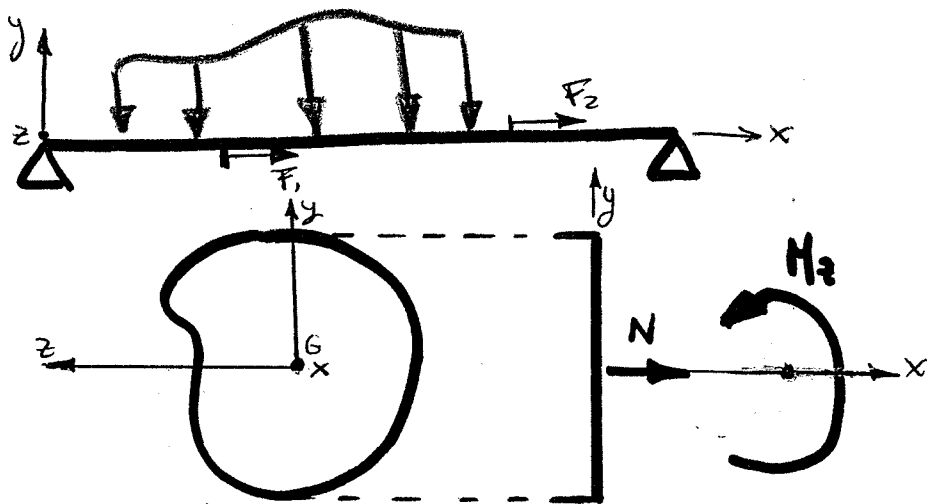
Lección 19: FLEXIÓN COMPLETA

Un sólido prismático está sometido a flexión completa cuando sus secciones sufren: esfuerzo normal (N) y momento flector (M_x, M_y)

Dos tipos

- Llamamos flexión completa recta cuando solo actúan $M_x + N$
- Llamamos flexión completa curvada cuando actúan: N, M_x, M_y

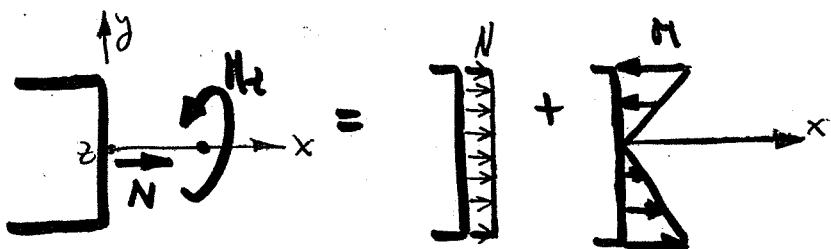
No se estudia
ni entra en examen
aunque hay un ejercicio en la colección



HIPÓTESIS

- Elásticidad proporcional: Podemos aplicar las leyes de Hooke, principios de superposición y proporcionalidad, ...
- Teoría de pequeñas deformaciones
- Hipótesis de Bernoulli: conservación de secciones planas y perpendiculares a la directriz

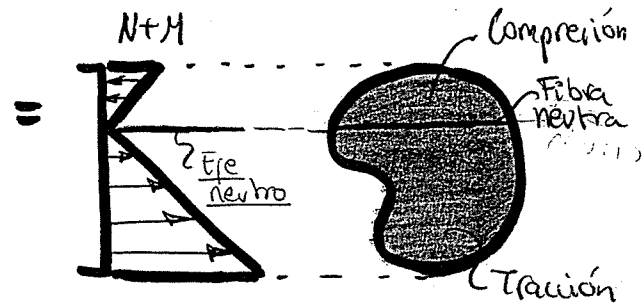
TENSIONES NORMALES



$$\sigma_x = \frac{N}{A} - \frac{M_z}{I_z} y$$

Si el momento flector M_z

$$\sigma_x = \frac{N}{A} + \frac{M_z}{I_z} y$$



N : Esfuerzo normal ($>0 \Rightarrow$ tracción)

A : Área de la sección

M_z : Momento flector ($\text{FII} \Rightarrow M_z > 0$)

I_z : Momento de inercia de la sección respecto al eje z

y : Coordenada de la fibra considerada.

Como podemos ver en las figuras anteriores, el eje neutro ya no coincide con el centro de gravedad de la sección.

Definimos la ecuación del eje o fibra neutra:

$$\sigma_x = 0 \Rightarrow \frac{N}{A} - \frac{M_z}{I_z} y = 0 ;$$

$$y_{\text{Fibra neutra}} = \frac{N I_z}{A M_z}$$

$$\text{y además, } d(\text{distancia a la fibra neutra}) = y - y_{\text{fibra neu.}} = y - \frac{N I_z}{A M_z} = y \frac{M_z}{I_z} - \frac{N}{A} = -\frac{\sigma_x}{K}$$

$$\text{Por tanto } \sigma_x = -Kd = -\frac{M_z}{I_z} d$$

TENSIONES TANGENCIALES

$$\tau = \frac{T_y M_z}{I_z b}$$

ya que el esfuerzo normal no da tensión tangencial.

DEPLAZAMIENTOS Y DEFORAMACIONES

Aplicando superposición: los desplazamientos están descompuestos, el esfuerzo normal de desplazamiento en una dirección (x) y el momento flector en otra (si el M_z → en dirección y)

POTENCIAL

$$dU = \frac{1}{2} (\sigma_x \epsilon_x + \tau_{xy} \gamma_{xy}) dV = \frac{1}{2} (\sigma E + \tau \gamma) dV \quad \left\{ \begin{array}{l} E = \frac{\sigma}{E} \\ \gamma = \frac{\tau}{G} \end{array} \right.$$

$$dU = \frac{1}{2} \left(\frac{\sigma^2}{E} + \frac{\gamma^2}{G} \right) dV = \frac{1}{2} \left[\left(\frac{N}{A} - \frac{M_z}{I_z} y \right)^2 \frac{1}{E} + \frac{T_z^2 M_z^2}{G I_z^2 b^2} \right] dV$$

$$\frac{dU}{dx} = \int_A \frac{1}{2E} \left(\frac{N^2}{A^2} + \frac{M_z^2}{I_z^2} y^2 - \frac{2NM_z}{AI_z} y \right) dA + \int_A \frac{1}{2G} \frac{T_z^2 M_z^2}{I_z^2 b^2} dA$$

$$\frac{dU}{dx} = \frac{1}{2E} \left(\frac{N^2}{A} + \frac{M_z^2}{I_z} \right) + \frac{1}{2G} \frac{T_z}{A \tau_z}$$

Área reducida $\Rightarrow \frac{I_z^2}{\int_A \frac{M_z^2}{b^2} dA} = A_{\tau_z}$

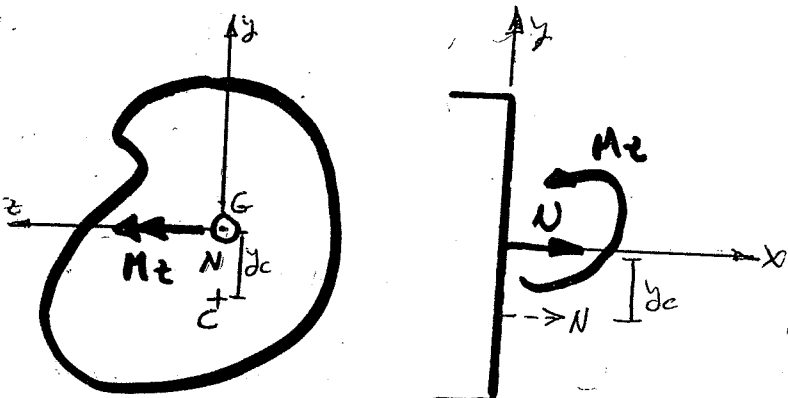
Despreciando los términos $\frac{1}{2G} \frac{T_z}{A \tau_z} \Rightarrow$

$$\frac{dU}{dx} = \frac{1}{2E} \frac{M_z^2}{I_z} ; U = \int \frac{1}{2E} \frac{M_z^2}{I_z} dx$$

CENTRO DE PRESSIONES

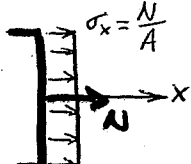
Se define como el punto en el que tendría que aplicar N para obtener un sistema equivalente con la misma resultante

$$M_z = -j_c N \Rightarrow j_c = -\frac{M_z}{N}$$

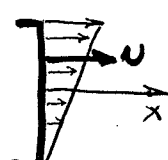


En flexión envíade $j_c = -\frac{M_z}{N}$
 $C(j_c, z_c)$ $z_c = +\frac{M_z}{N}$

Si no hay momento, tendremos tracción exclusiva $j_c = 0 \rightarrow C \equiv G$



Desplazo esfuerzo N



Si sigo desplazando



Nueva fibra neutra

Sistema equivalente al anterior con $M_z + N$

Por tanto, volviendo a la ecuación del eje o fibra neutra:

$$\frac{N}{A} - \frac{M_z}{I_z} y = 0 \quad \text{definimos } \frac{y_c}{N} = \frac{-M_z}{N} \rightarrow \frac{N}{A} + \frac{Ny_c}{I_z} y = 0 \quad) \quad \text{definimos el radio de giro, respecto del eje } z \text{ como: } i_z = \sqrt{\frac{I_z}{A}}$$

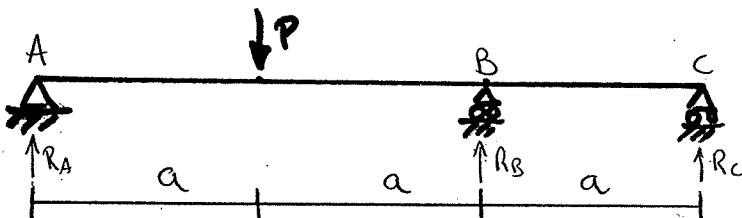
$$0 = \frac{N}{A} \left(1 + \frac{y_c A}{I_z} y \right), \quad \frac{N}{A} \left(1 + \frac{y_c}{i_z^2} y \right) = 0 \quad)$$

La nueva ecuación del eje neutro queda:

$$1 + \frac{y_c}{i_z^2} y = 0$$

EJERCICIO Especial Td

Lariga de la figura tiene sección uniforme de rigidez EI. Se pide calcular la flecha bajo la carga P y dibujar a continuación la deformada.



Se trata de un sistema hipereástico de
 $G+1 = 3 - 2 = 1$

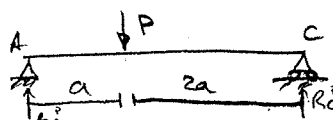
2 métodos
 ↗ Carga unitaria o Mohr
 ↙ EC universal

• Aplicamos MOHR

1) Elegimos como incógnita hipereástica R_B

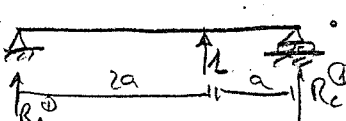
2) Descomposición del sistema

Subsistema P



$$\begin{cases} \sum F = 0 \rightarrow R_A + P + R_C = 0 \\ \sum M_A = 0 \rightarrow -P \cdot 2a + R_C \cdot 3a = 0; \quad R_C = \frac{P}{3} \\ R_A = \frac{2P}{3} \end{cases}$$

Subsistema 1

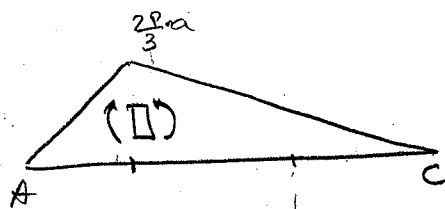


$$\begin{cases} \sum F = 0 \rightarrow R_A' + R_C' + P = 0; \quad R_A' = -\frac{1}{3} \\ \sum M_A = 0 \rightarrow 2a + R_C' \cdot 3a = 0; \quad R_C' = -\frac{2}{3} \end{cases}$$

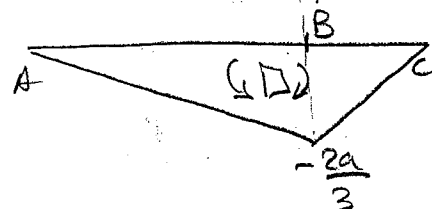


3) Ley de Momentos

• Subsistema P: M_{21}



• Subsistema 1: M_{21}



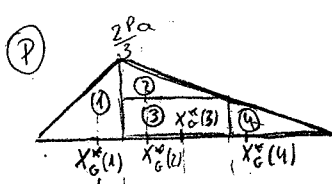
↳ Condición de compatibilidad de movimiento

$$\delta_B = 0 = S_B^P + S_B^1 \cdot X ; X = -\frac{S_B^P}{S_B^1}$$

$$S_B^P = \int_L \frac{M_{21} p \cdot M_{21}}{EI} dx = \frac{1}{EI} \int_0^{3a} M_{21} M_{21} dx \quad \left\{ \begin{array}{l} -\frac{S_B^P}{S_B^1} = \frac{\textcircled{I}}{\textcircled{II}} = X \\ S_B^1 = \end{array} \right.$$

$$S_B^1 = \int_L \frac{M_{21} \cdot M_{21}}{EZ} dx = \frac{1}{EI} \int_0^{3a} M_{21}^2 dx \quad \textcircled{II}$$

Resolvemos \textcircled{I} y \textcircled{II} → Vamos a aplicar multiplicación de áreas $\rightarrow (\text{Área en sist } \textcircled{I}) / (\text{Área en } x_G^* \text{ de ese área})$



$$\textcircled{I} \quad M_{21} = \frac{2}{3}(x - 3a) \quad \left\{ \begin{array}{l} M_{21}(X_G^*(4)) = M_{21}\left(2a + \frac{1}{3}a\right) = M_{21}\left(\frac{7a}{3}\right) = -\frac{4a}{9} \\ M_{21}(X_G^*(1)) = M_{21}\left(\frac{2}{3}a\right) = -\frac{2a}{9} \end{array} \right.$$

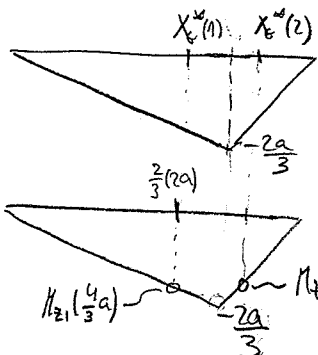
$$\left\{ \begin{array}{l} M_{21}(X_G^*(2)) = M_{21}\left(a + \frac{1}{3}a\right) = M_{21}\left(\frac{4a}{3}\right) = -\frac{4a}{9} \\ M_{21}(X_G^*(3)) = M_{21}\left(a + \frac{a}{2}\right) = M_{21}\left(\frac{3a}{2}\right) = -\frac{a}{2} \end{array} \right.$$

Por tanto

$$\textcircled{II} = \int_0^{3a} M_{21p} M_{21} dx = \left(\frac{1}{2}a \cdot \frac{2}{3}a\right)\left(-\frac{2a}{9}\right) + \left(\frac{1}{2}a \cdot \frac{1}{3}a\right)\left(-\frac{4a}{9}\right) + \left(a \cdot \frac{1}{3}a\right)\left(\frac{-a}{2}\right) + \left(\frac{1}{2}a \cdot \frac{1}{3}a\right)\left(-\frac{4a}{9}\right) = \\ = Pa^3 \left(\frac{1}{2} \cdot \frac{2}{3} \cdot \frac{2}{9} - \frac{1}{2} \cdot \frac{1}{3} \cdot \frac{4}{9} - \frac{1}{2} \cdot \frac{1}{3} + \frac{1}{2} \cdot \frac{1}{3} \cdot \frac{4}{9}\right) = Pa^3 \frac{-4 - 4 - 4 - 9}{2 \cdot 3 \cdot 9} = Pa^3 \frac{-21}{2 \cdot 3 \cdot 9}$$

$$\textcircled{I} = -\frac{7}{18} Pa^3$$

Hacemos lo mismo con \textcircled{II}



$$\textcircled{II} = \int_0^{3a} M_{z1} M_{z1} dx = \left(\frac{1}{2}a \cdot -\frac{2}{3}a\right)\left(\frac{7}{9}a\right) + \left(\frac{1}{2}a \cdot \frac{2}{3}a\right)\left(-\frac{4}{9}a\right)$$

$$\textcircled{II} = a^3 \left(\frac{8}{27} + \frac{4}{27} \right) = a^3 \frac{4}{9}$$

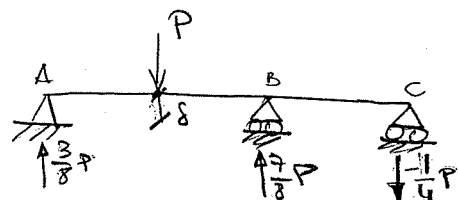
$$M_{z1}\left(\frac{4}{3}a\right) = M_{z1}\left(2a + \frac{1}{3}a\right) = M_{z1}\left(\frac{7}{3}a\right) =$$

Por tanto $X = \frac{-\textcircled{I}}{\textcircled{II}} = \frac{-\frac{7}{18} Pa^3}{\frac{4}{9} a^3} = \frac{7 \cdot 9}{4 \cdot 18} P = \frac{7}{8} P$

$$X = R_B = \frac{7}{6} P \quad (\text{como } X > 0 \rightarrow \text{sentido tomado de } R_B \text{ correcto})$$

$$R_A = R_A^\oplus + R_A^\ominus \cdot X = \frac{2}{3} P + \frac{1}{3} \frac{7}{8} P = \frac{9}{24} P = \frac{3}{8} P$$

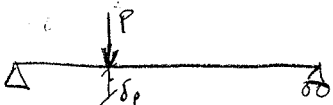
$$R_C = R_C^\oplus + R_C^\ominus \cdot X = \frac{P}{3} - \frac{2}{3} \frac{7}{8} P = -\frac{6}{24} P = -\frac{1}{4} P$$



Ahora queremos calcular el desplazamiento del punto de aplicación de $P \Rightarrow \delta|_{x=a}$

Usamos los subsistemas definidos anteriormente

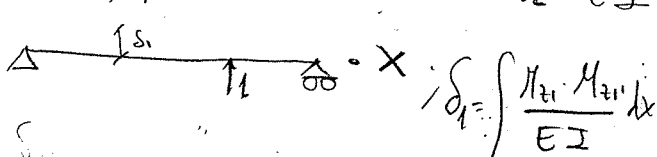
Subsist P



$$\delta_P = \int_L \frac{M_{zp} M_{z1}}{EI} dx$$

siendo M_{z1} la ley de momentos del subsistema 1'

Subsist 1

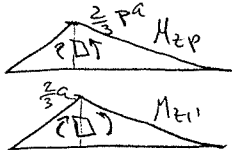


$$\delta_1 = \int_L \frac{M_{z1} M_{z1}}{EI} dx$$

Por tanto $\delta|_{x=a} = \delta_P + \delta_1 \cdot X$

simetría con \textcircled{II}

$$\int_L M_{zp} M_{z1} dx = \frac{4}{9} Pa^3$$

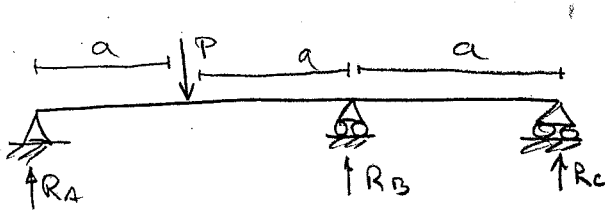


$$\int_L M_{z1} M_{z1} dx = -\frac{7}{18} a^3$$

$$\Rightarrow \delta|_{x=a} = \frac{4}{9} Pa^3 - \frac{7}{18} a^3 \cdot \frac{7}{8} P = Pa^3 \frac{8 \cdot 8 - 77}{18 \cdot 8}$$

$$\boxed{\delta|_{x=a} = \frac{15}{9 \cdot 2 \cdot 8} Pa^3 = \frac{5}{48} Pa^3}$$

Vamos a resolver el problema aplicando la ecuación universal



Por equilibrio elástico

$$\sum F_y = 0 \rightarrow R_A + R_B + R_C - P = 0 \quad (1)$$

$$\sum M_A = 0 \rightarrow -P \cdot a + R_B \cdot 2a + R_C \cdot 3a = 0 \quad (2)$$

Planteo ecuación universal de la elástica:

$$\begin{cases} (x-a)^3 &= 0 \quad x < a \\ x-a &= 0 \quad x \geq a \end{cases}$$

$$EIy = EIy_0 + EI\theta_0 x + \frac{R_A}{3!} (x-0)^3 - \frac{P}{3!} (x-a)^3 + \frac{R_B}{3!} (x-2a)^3 + \frac{R_C}{3!} (x-3a)^3$$

Condiciones de contorno:

$$x=0 \rightarrow y=0 \rightarrow y_0=0$$

$$x=2a \rightarrow y=0 \rightarrow 0 = EI\theta_0 2a + \frac{R_A}{3!} (2a)^3 - \frac{P}{3!} a^3 \quad (3)$$

$$x=3a \rightarrow y=0 \rightarrow 0 = EI\theta_0 3a + \frac{R_A}{3!} (3a)^3 - \frac{P}{3!} (2a)^3 + \frac{R_B}{3!} a^3 \quad (4)$$

Resolvemos (1) (2) (3) (4)

$$\begin{cases} R_A + R_B + R_C = P & (1) \\ 2R_B + 3R_C = P & (2) \\ \frac{4}{3}a^3 R_A + 2EIa\theta_0 = \frac{P}{6}a^3 & (3) \\ \frac{9}{2}a^3 R_A + \frac{1}{6}a^3 R_B + 3EI\theta_0 a = \frac{4}{3}Pa^3 & (4) \end{cases}$$

$$\begin{cases} (4) \cdot 2 - (3) \cdot 3 \\ R_A a^3 (9-4) + \frac{1}{3}a^3 R_B = Pa^3 \left(\frac{8}{3} - \frac{1}{2} \right) \\ 5R_A + \frac{R_B}{3} = \frac{13}{6}P \\ (1) \cdot 5 \rightarrow 5R_A + 5R_B + 5R_C = 5P \end{cases}$$

$$(5 - \frac{1}{3})R_B + 5R_C = (5 - \frac{13}{6})P = \frac{30-13}{6}P = \frac{17}{6}P \quad \begin{cases} \frac{14}{3}R_B + 5R_C = \frac{17}{6}P \end{cases}$$

$$(2) \cdot \frac{5}{3} \quad \begin{cases} \frac{10}{3}R_B + 5R_C = \frac{5}{3}P \end{cases}$$

$$\Rightarrow \frac{4}{3}R_B = \left(\frac{17}{6} - \frac{5}{3} \right)P, \quad R_B = \frac{\frac{7}{6}P}{\frac{4}{3}} = \frac{7}{8}P; \quad R_C = \frac{\frac{5}{3}P - \frac{10}{3} \cdot \frac{7}{8}P}{5} = -\frac{1}{4}P$$

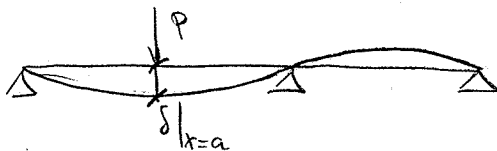
$$R_A = \left(\frac{13}{6}P - \frac{7}{3} \cdot \frac{7}{8}P \right) \frac{1}{5} = \frac{13 \cdot 8 - 14}{5 \cdot 6 \cdot 8}P = \frac{90P}{5 \cdot 6 \cdot 8} = \frac{3}{8}P$$

$$EI\theta_0 = \left(\frac{P}{6}a^3 - \frac{4}{3}a^3 \cdot \frac{7}{8}P \right) \frac{1}{2a} = \frac{Pa^2}{2} \left(\frac{1}{6} - \frac{1}{2} \right) = -\frac{1}{6}Pa^2$$

La ecuación de la elastica queda por tanto:

$$EIy = -\frac{1}{6}Pa^2x + \frac{1}{16}Px^3 - \frac{P}{6}(x-a)^3 + \frac{7}{8}P \frac{(x-2a)^3}{6}$$

$$\boxed{\delta|_{x=a} = y(x=a) = \frac{1}{EI} \left(-\frac{1}{6}Pa^3 + \frac{1}{16}Pa^3 \right) = \frac{1}{EI} \frac{-8+3}{48} Pa^3 = \frac{-5}{48EI} Pa^3}$$

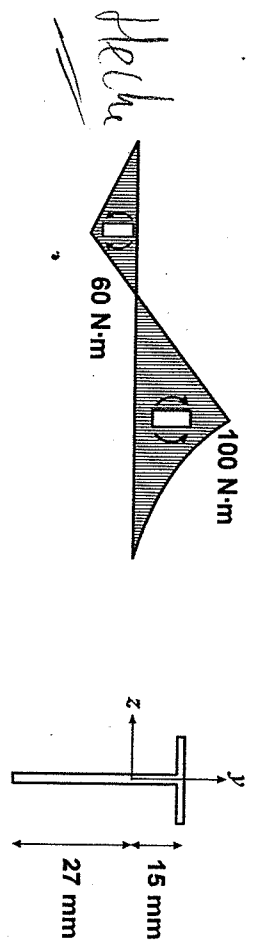


Elastica a el hinc

NOTA!! Aplicando Mohr el desplazamiento de positivo ya que va en la dirección de la fuerza P. sin embargo aplicando la ecuación universal el desplazamiento de negativo y que va en sentido negativo del eje y.

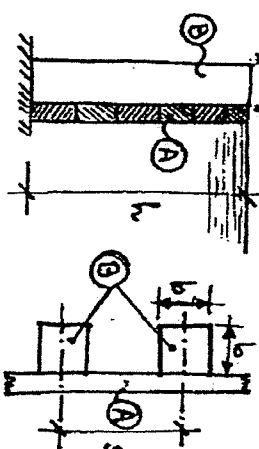
PROBLEMAS DE RESISTENCIA DE MATERIALES
MÓDULO 5: FLEXIÓN DE VIGAS (1)
CURSO 2012-13

5.1.- Halle, en MPa, la tensión normal máxima de compresión en la viga cuya sección y diagrama de momentos flectores se muestran en la figura ($I_z = 22 \cdot 10^3 \text{ mm}^4$).



21-6-10

5.2.- Un dique temporal de madera se construye con tablas horizontales A, sostenidas mediante postes verticales B, que están empotrados en el suelo de tal forma que actúan como vigas en voladizo. Los postes son de sección transversal cuadrada $b \times b$ y están separados una distancia $s = 0,8 \text{ m}$. El nivel del agua está a la altura total del dique $h = 2 \text{ m}$. Determinar la dimensión b mínima requerida de los postes si la tensión admisible de la madera es $\sigma_{adm} = 8 \text{ MPa}$.



11-3-88

5.3.- Para dimensionar la ménsula indicada en la figura se pueden usar perfiles de las gamas IPN, IPE y HEB. Se pide determinar el perfil más económico posible.

Dato: $\sigma_{adm}=150 \text{ MPa}$

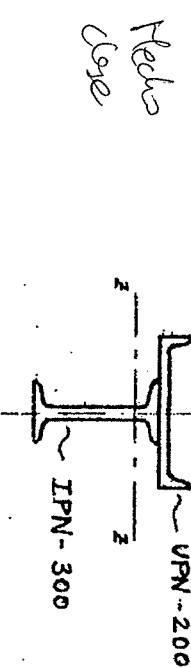


5-9-00

5.4.- Determinar el radio más pequeño (en mm) hasta el que podemos curvar una fibra de vidrio rectilínea, de diámetro $d=10 \mu\text{m}$, sin que se produzca su rotura.

Datos: $E=76000 \text{ MPa}$; $\sigma_{rot}=2000 \text{ MPa}$

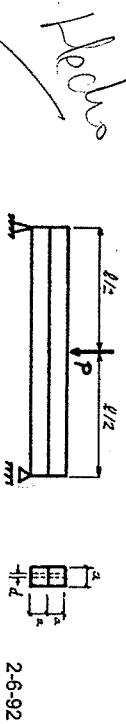
5.5.- Determinar el módulo resistente W_z del perfil armado indicado en la figura.



19-9-86

5.6.- Las dos barras de sección cuadrada que constituyen la viga de la figura se pretenden unir mediante tornillos de diámetro $d = 5 \text{ mm}$. Calcular el número mínimo de tornillos necesario.

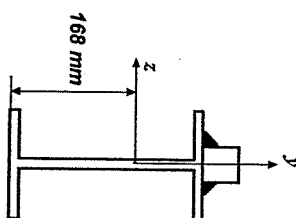
Datos: $P = 1 \text{ kN}$ $L = 2 \text{ m}$ $a = 10 \text{ cm}$ $\tau_{adm} = 150 \text{ MPa}$



2-6-92



5.7.- Las vigas carril (biapoyadas), de un puente grúa tienen 5 m de longitud y están fabricadas con un perfil IPE 220 y un perfil cuadrado macizo de 50 x 50 mm ($\sigma_{adm} = 200 \text{ MPa}$), soldados entre sí con cordones interrumpidos de ancho de garganta $a = 4 \text{ mm}$ y longitud $L_c = 100 \text{ mm}$ ($r_{adm} = 100 \text{ MPa}$).

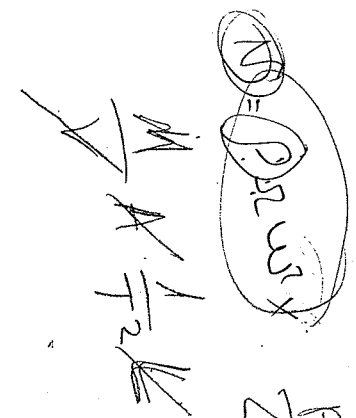


Por ellas circula un puente grúa cuyas ruedas están separadas 50 cm entre sí, siendo la carga máxima por rueda de 25 kN. Se pide:

- 1.- Comprobar que la tensión normal máxima es inferior a la admisible.
- 2.- Hallar el paso máximo entre los cordones de soldadura.

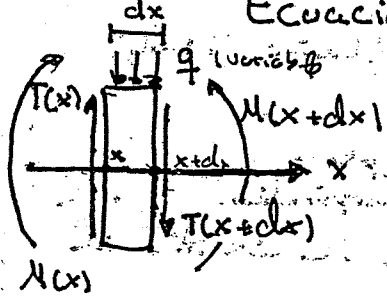
$$\frac{F}{I} = \mu_0$$

$$2\pi R$$



$$F = \mu_0 \cdot \frac{I}{2}$$

Ecuación de equilibrio en flexión



$$T(x) - qdx - T(x+dx) = 0 \quad T(x+dx) = T(x) + \frac{qdx}{z}$$

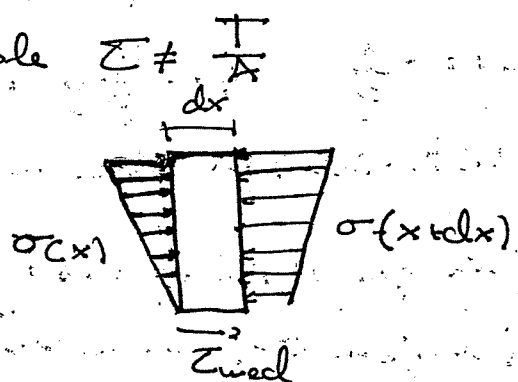
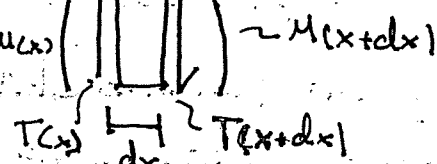
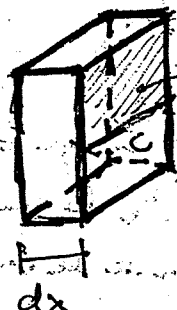
$$\frac{dT_x}{dx} + q = 0$$

$$\Rightarrow (dx)^2 \cdot \frac{dT_x}{dx} = qdx \quad T(x) + \frac{dT_x}{dx} dx; \quad M(x) + \frac{dM}{dx} dx;$$

$$\sum M_z = 0 \Rightarrow M(x) + q \cdot \frac{dx}{2} + T(x+dx) dx = M(x+dx)$$

$$T(x) = \frac{dM}{dx} \Rightarrow \frac{d^2M}{dx^2} + q = 0$$

Estudio de las tensiones en flexión simple $\varepsilon \neq \frac{T}{A}$



$$\text{Th. de Coliguion: } \sigma_{\text{med}} = \frac{T}{b} \frac{m_z(A^*)}{I_z} \quad \text{tensión media}$$

Es un valor aproximado. Si el corte es paralelo al eje z:

$$\sigma_{xy} = - \frac{T(y)}{c} \cdot \frac{m_z(A^*)}{I_z}$$

$$m_z(A^*) = \iint_A y \, dA = \iint_A y \, dz \, dy = b \cdot \int_y^{\frac{h}{2}} y \, dy = \frac{b}{2} \left(\frac{h^3}{8} - y^2 \right)$$

$$\sigma_{xy} = A^* \cdot y'_{Gz} = b \left(\frac{h^3}{8} - y^2 \right)$$

$$\text{Ecuación fundamental de la elástica. } (V(x)) \quad \frac{1}{E} = \frac{M}{EIz} = \frac{V''}{(1+V^2)^{\frac{3}{2}}} \approx V''$$

$$V''(x) = \frac{M(x)}{EIz}$$

Calculo ley de M(x)

$$V(x) = \int \frac{M(x)}{EIz} dx = \Theta(x)$$

Condiciones de contorno $V(\text{Apoyos}) = 0$; 2 leyes de M $\Rightarrow \begin{cases} V_{AB}(a) = V_{BC}(a) \\ V_{AB}'(a) = V_{BC}'(a) \end{cases}$

Ecuación universal de la elástica

$$EI V(x) = \sum_{i=1}^{n_m} \frac{M_i}{z} (x - a_i)^2 + \sum_{i=1}^{n_P} \frac{P_i}{6} (x - b_i)^3 + \sum_{i=1}^{n_q} \frac{q_i}{24} ((x - a_i)^4 - (x - d_i)^4) + EI \Theta_0 \cdot x + EI V_0$$

Módulo 5: Flexión

Flexión simétrica pura: No hay cortantes, solo momento flectante M_{act} ; el eje de giro coincide con el eje del par M .

Hipótesis de Bernoulli: Las secciones transversales planas L_s a la directriz antes de la deformación, permanecen planas y L_s a la directriz tras la deformación.

Consecuencia: el mov. de las secciones es un giro alrededor del eje de referencia.

Fibra neutra: Línea que aproximadamente ni se alarga ni se acorta.

$$\epsilon_x = -\frac{y}{R} \quad \sigma_x = -\frac{E}{R} y \Rightarrow +\text{deformación y tensión: curva mayor}$$

distancia a la fibra neutra. (y : distancia a fibra neutra)
 R : radio de curvatura)

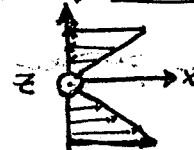
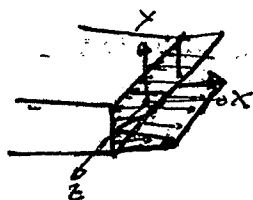
Para que $\Sigma U = 0 \Rightarrow m_z = \iint y \, dA = 0$ (momento estático) \Rightarrow el eje z (el eje neutro) ha de pasar por el centro de gravedad de la sección.

Ley de Navier:

$$\sigma_x = -\frac{M_z \cdot y}{I_z}$$

$$I_z = \iint y^2 \, dA$$

Momento de inercia
Dificultad intrínseca
para girar la sección



$$I_z = \frac{1}{2} b h^3 + d g_x^2 \cdot A$$

(Stewert)

Módulo resistente a flexión respecto del eje z [L^3]

Material con σ_{adm} $\Rightarrow M_{act} = W_z \cdot \sigma_{adm}$

$$M_z = W_z \cdot \sigma_{max}$$

$$W_z = \frac{I_z}{ly_{max}}$$

$$\text{Si hay momento en } y \Rightarrow \sigma_x = -\frac{M_z \cdot y}{I_z} - \frac{M_y \cdot z}{I_y}$$

$$W_y = \frac{I_y}{ly_{max}}$$

$$I_y = \frac{1}{2} b^3 h + d g_z^2 \cdot A$$

5 FLEXIÓN

DEFINICIONES

Un sólido prismático está sometido a FLEXIÓN cuando el momento interno sobre sus secciones tiene componentes sobre el plano de las mismas que es no nulo.

• Flexión pura: cuando el único esfuerzo sobre las secciones es el momento flector. ($\Rightarrow T$ es nulo $\Leftrightarrow M$ es constante)

• Flexión simple: un sólido prismático está sometido a FS cuando además de M , sus secciones sufren esfuerzos cortantes T .

• Flexión compuesta: un sólido prismático está sometido a FE cuando sus secciones sufren M, T y N .

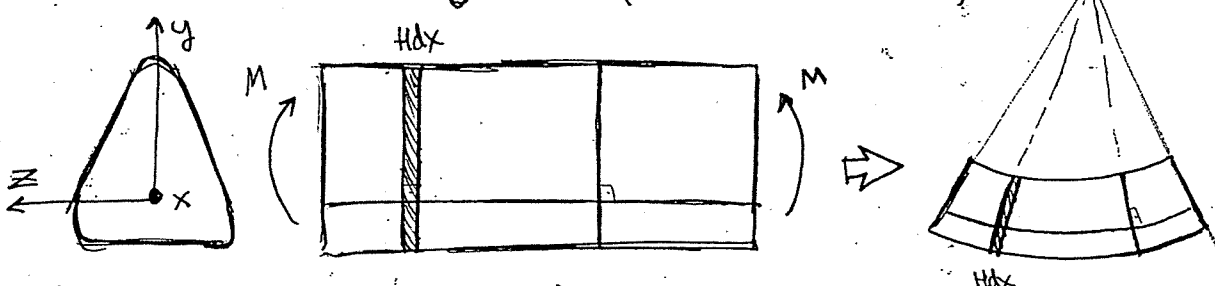
• Flexo-tensión: un sólido prismático está sometido a FT cuando sobre sus secciones actúan $(M, T) + N_t$

• Flexión simétrica: cuando M tiene la dirección de un eje principal de la sección.

• Flexión oblicua o esviada: cuando M no tiene la dirección de ninguno de los ejes principales de la sección.

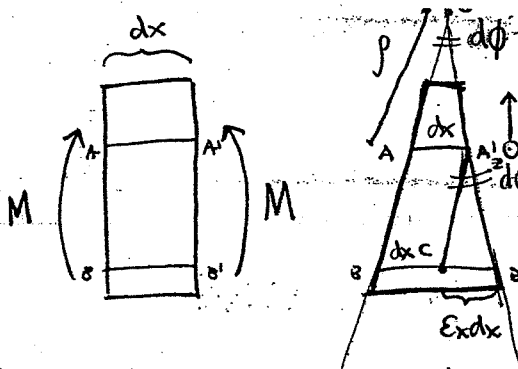
LAS TENSIONES EN FLEXIÓN PURA. LEY DE NAVIER.

Consideramos una viga de sección simétrica sometida a flexión pura. (xy es un plano de simetría).



Las secciones, después de deformarse la viga:

- | | |
|---|--------------------------|
| a) Permanecen planas. | } Hipótesis de Bernoulli |
| b) Forman 90° con la directriz de la viga. | |



AA' es la fibra neutral
Si mi se alarga ni se ensinca
al doblarse en flexión

Por semejanza de triángulos $\triangle OAA' \sim \triangle A'CB'$

$$\frac{OA}{AA'} = \frac{A'C}{CB'} \Rightarrow \frac{y}{dx} = \frac{-y}{Ex dx} \quad E_x = -\frac{y}{\rho} \quad -ky = E_x$$

radio de curvatura

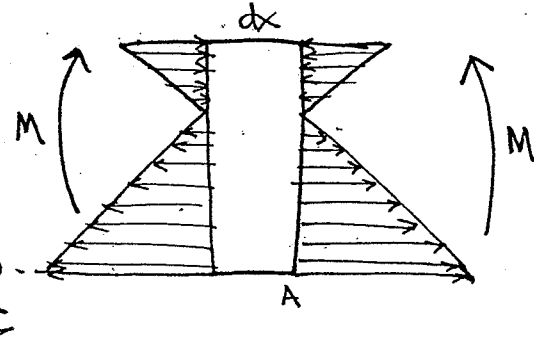
$$R = \frac{1}{K} \sim \text{curvatura}$$

Según Ley de Hook:

$$\sigma_x = \frac{E_x}{E} \Rightarrow \sigma_x = -KEy$$

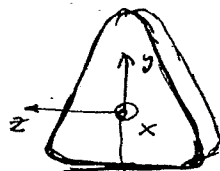
Sabemos que en flexión pura $N = 0$.

$$N = \int_A \sigma_x dA = \int_A -KEy dA = -KE \int_A y dA = 0$$



El eje neutro pasa por el centro de gravedad de la sección. $\Leftrightarrow \int_A y dA = 0$

$M \neq 0$.



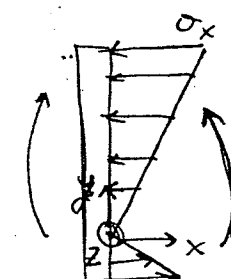
raíz del c.d.g de la sección

$$M_z = \int_A -y \sigma_x dA = \int_A -y (-KEy) dA =$$

$$= KE \int_A y^2 dA = KE I_z \Leftrightarrow KE = \frac{M_z}{I_z}$$

$$\sigma_x = -KEy = -\frac{M_z}{I_z} y = \sigma_x$$

NAVIER.



Observaciones:

$$a) [I_z] = L^4$$

$$[I_z] = \frac{1}{12} b h^3$$

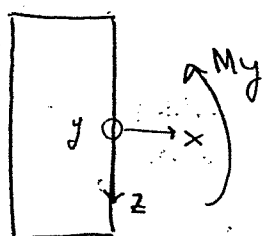
$$b) |I_{\text{mix}}| = \frac{M_z}{I_z} |y_{\text{mix}}| = \\ = \frac{M_z}{I_z / I_{\text{mix}}} = \frac{M_z}{W_z}$$

Módulo resistente a flexión respecto del eje z $[L^3]$

c) Si tenemos un material con σ_{adm}

$$M_{\text{mix}} = W_z \cdot \sigma_{\text{adm}}$$

d)



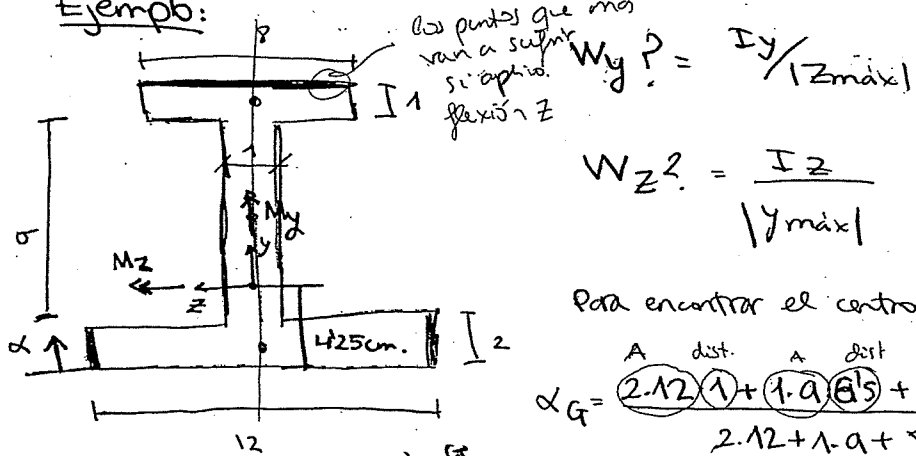
$$\sigma_x = + \frac{My}{I_y} z$$

Por tener el eje z en sentido contrario.

En general, cuando una sección está sometida a My y Mz: σ_x

$$\sigma_x = - \frac{M_z}{I_z} y + \frac{My}{I_y} z$$

Ejemplo:



$$W_{z^2} = \frac{I_z}{|y_{\max}|}$$

Para encontrar el centro de gravedad.

$$x_G = \frac{A_1 \cdot 1 + A_2 \cdot 8.15 + 8 \cdot 1.15}{A_1 + A_2 + 8} = 4.25 \text{ cm}$$

$$I_z = \frac{1}{12} \cdot 12 \cdot 2^3 + (4.25 - 2)^2 \cdot 12 + \frac{1}{12} \cdot 1 \cdot a^3 + a \cdot 1 \cdot (6.5 - 4.25)^2 + \frac{1}{12} \cdot 8 \cdot 1^3 + 8 \cdot 1 \cdot (1.5 - 4.25)^2 = 788 \text{ cm}^4$$

$$I_y = \frac{1}{12} \cdot 2 \cdot 12^3 + \frac{1}{12} \cdot a \cdot 1^3 + \frac{1}{12} \cdot 8 \cdot 1^3 = 331 \text{ cm}^4$$

$$W_z = \frac{I_z}{|y_{\max}|} = \frac{788 \text{ cm}^4}{(12 - 4.25)} = 102 \text{ cm}^3$$

$$W_y = \frac{I_y}{|z_{\max}|} = \frac{331 \text{ cm}^4}{6 \text{ cm}} = 55 \text{ cm}^3$$

Para aumentar la rigidez respecto a flexión dejó todo lo que pides el eje zG.

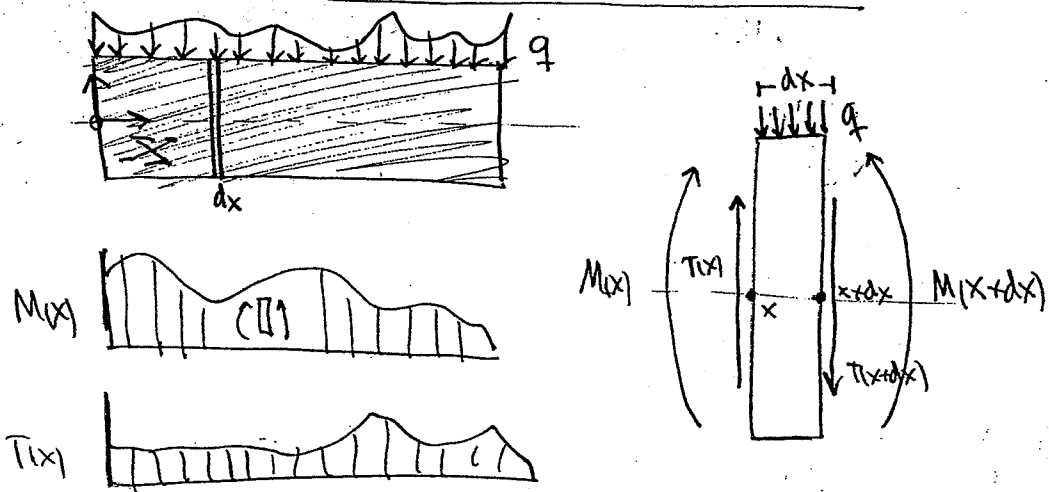
Si el acero tiene $\sigma_{adm} = 200 \text{ MPa}$. $M_z^{\max?}$ $M_y^{\max?}$

$$M_z^{\max} = 102 \text{ cm}^3 \cdot 200 \frac{\text{MPa}}{\text{N/mm}^2} = 102 \cdot 10^3 \text{ mm}^3 \cdot 200 \frac{\text{N}}{\text{mm}^2} = 204 \cdot 10^5 \text{ Nmm.}$$

$$M_y^{\max} = 55 \text{ cm}^3 \cdot 200 \frac{\text{MPa}}{\text{N/mm}^2} = 55 \cdot 10^3 \text{ mm}^3 \cdot 200 \frac{\text{N}}{\text{mm}^2} = 110 \cdot 10^5 \text{ Nmm.}$$

en σ_{adm}

ECUACIÓN DEL EQUILIBRIO EN FLEXIÓN.



$$\sum F_y = 0:$$

$$T(x) = T(x+dx) + qdx \Rightarrow T(x) + \frac{dT}{dx}dx + qdx$$

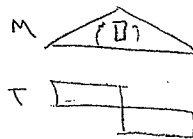
$0 = \frac{dT}{dx} + q$

(1)

$$\sum M_Z = 0:$$

$$M(x) + qdx \frac{dx}{2} + T(x+dx)dx = M(x+dx)$$

$$M(x) + q\frac{dx^2}{2} + (T(x) + \frac{dT}{dx}dx)dx = M(x) + \frac{dM}{dx}dx$$



$T(x) = \frac{dM}{dx}$

(2)

dividido todo entre dx

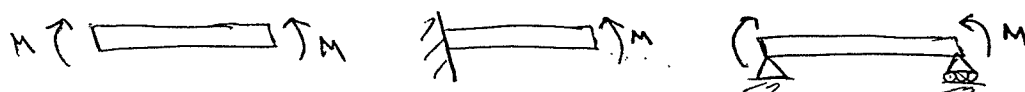
• Es decir, desprecia dx^2

La pendiente del flector es el cortante

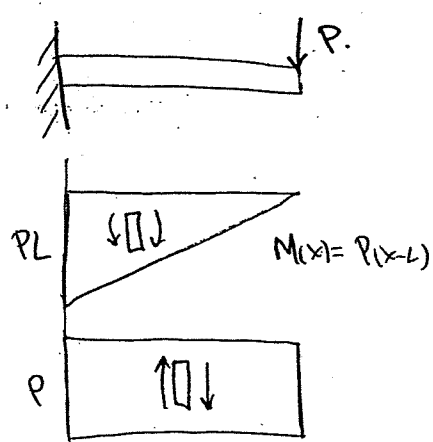
Combinando (1) y (2):

$$\frac{d^2M}{dx^2} = \frac{dT}{dx} = -q \Rightarrow \frac{d^2M}{dx^2} + q = 0.$$

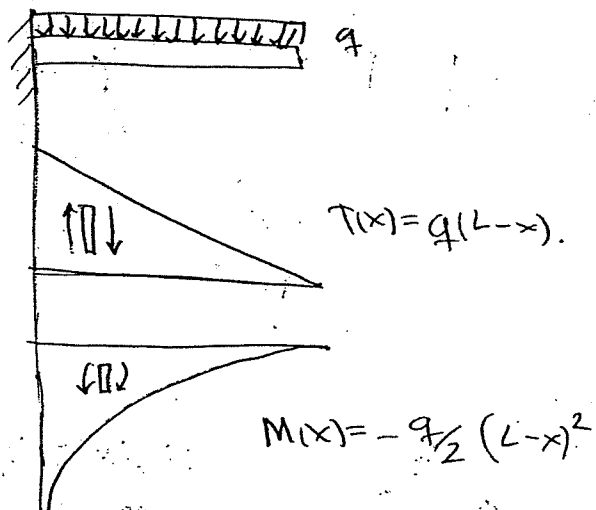
Único caso de flexión pura



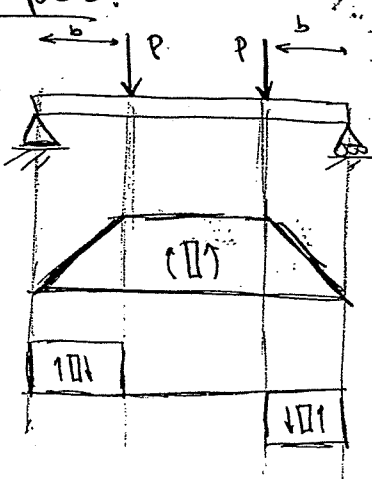
Ejemplo 1:



Ejemplo 2:



Ejemplo 3:

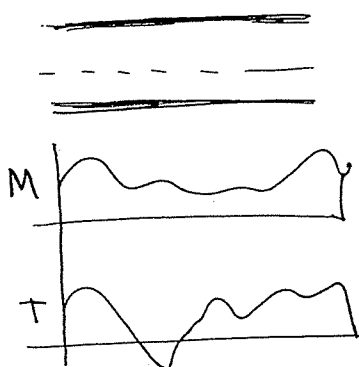


$$\left\{ \begin{array}{l} \frac{dT}{dx} + q = 0 \quad \text{Herramientos} \\ \frac{dM}{dx} = T \quad \text{comprobación} \end{array} \right.$$

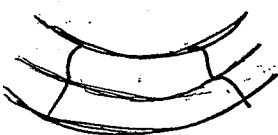
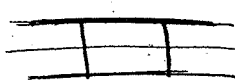
ESTUDIO DE LAS TENSIONES EN FLEXIÓN SIMPLE.

Estudiaremos:

- i) El efecto de M
- ii) El efecto de T .



i) Efecto del momento flector en flexión simple.

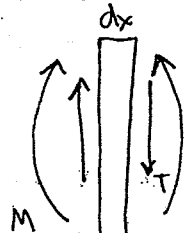


Las secciones dejan de ser planas y de ser perpendiculares a la directriz (se alabean)

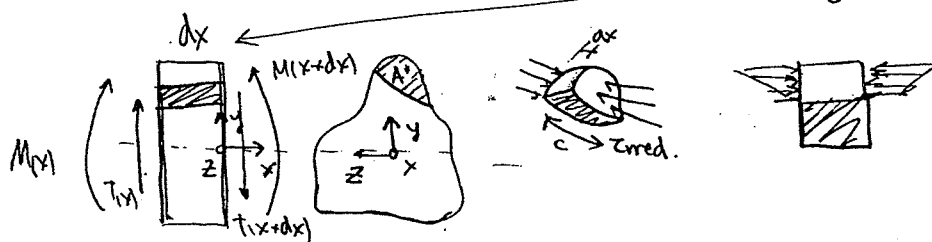
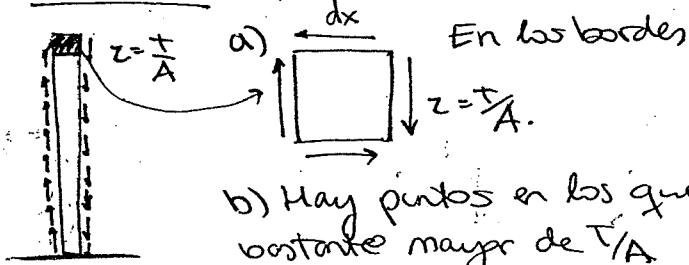
Aun así, admitimos como válida la ley de Navier

$$\sigma_x = -\frac{Mz}{Iz} y.$$

ii) Efecto del cortante en flexión simple



1º HIPÓTESIS · No es cierto ·



$$z_{med} \cdot C \cdot dx + \int_{A^*} \frac{izda}{Iz} - \frac{Mz}{Iz} y da = \int_{A^*} \frac{Mz(x+dx)}{\pm z} y da$$

$$+ \frac{Mz}{Iz} \int_{A^*} y da + z_{med} \cdot C \cdot dx = \frac{+Mz(x+dx)}{\pm z} \int_{A^*} y da =$$

$$= \left(\frac{Mz(x)}{\pm z} + \frac{dM}{dx} \frac{dx}{\pm z} \right) \int_{A^*} y da.$$

~~$$\frac{Mz}{Iz} m_z(A^*) + z_{med} \cdot C \cdot dx = \frac{Mz}{Iz} m_z(A^*) + \frac{dMz/dx \cdot dx}{\pm z} m_z(A^*).$$~~

$$\tau_{med} \cdot C dx = \frac{T dx}{Iz} \text{ m. } (A^*)$$

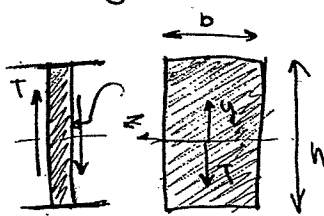
$$\tau_{med} = \frac{T}{C} \cdot \frac{m_z(A^*)}{Iz}$$

Estos tensiones se encargan de igualar los de la izq con los de la dcha. **TENSIONES RASANTES**



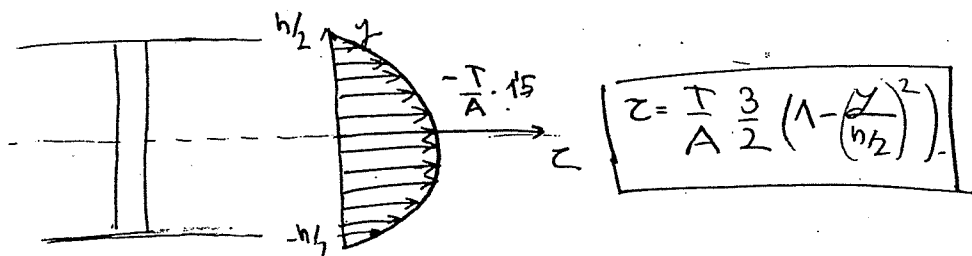
Por reciprocidad en la otra cara del corte existe τ_{med} de sentido contrario.

Ejemplo:



$$1^{\circ} \text{ Aproximación } \tau = T/A \times$$

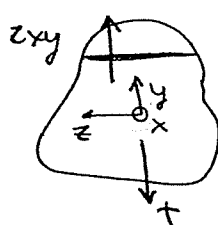
$$\begin{aligned} \tau_{med} &= \frac{T}{b} \cdot \frac{m_z(A^*)}{Iz} = \\ &= \frac{T}{b} \cdot \frac{\frac{1}{2} b(h_2+y)}{Iz} = \frac{T}{b} \cdot \frac{b(h_2-y) \cdot \frac{1}{2}(h_2+y)}{Iz \cdot bh^3} = \\ &= \frac{6T(\frac{h^2}{4}-y^2)}{(bh)h^2} = \frac{6T}{A} \left(\frac{1}{4} - \left(\frac{y}{h} \right)^2 \right) = \frac{3T}{2A} \left(1 - \left(\frac{y}{h_2} \right)^2 \right). \end{aligned}$$



$$\tau = \frac{T}{A} \frac{3}{2} \left(1 - \left(\frac{y}{h_2} \right)^2 \right).$$

Observaciones a la fórmula de Colignon:

- τ_{med} es un valor aproximado de la tensión rasante en dirección x. De ahí sacamos τ en el plano de la sección.
- El corte que hacemos puede ser cualquiera que sea recto. En particular, si el corte es // al eje z:



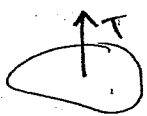
$$\tau_{xy} = - \frac{T(y)}{C} \cdot \frac{m_z(A^*)}{Iz}$$

- La fórmula de Colignon no es exacta, pero es lo mejor que sabemos hacer, y es mucho más exacta que $\tau = T/A$.

d) La fórmula tiene signos.

$T, z_{med}, m_z(A^*) \rightarrow$ tienen signo.

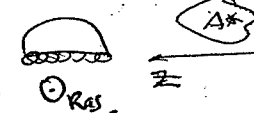
Negativo \curvearrowleft



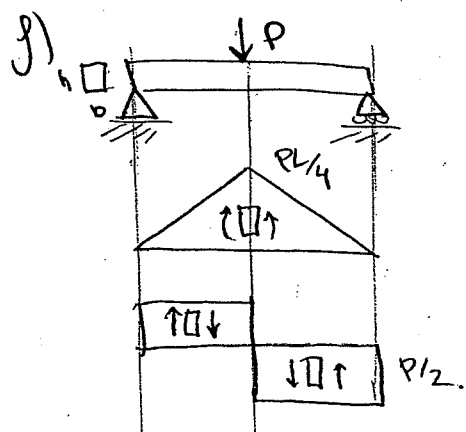
Positivo \curvearrowright



$O_{Ras.}$



e)



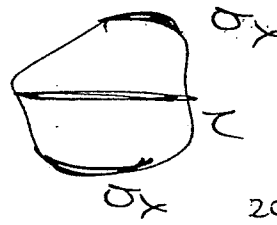
$$\frac{\sigma_x^{max}}{\sigma_{med}} = \frac{4}{3} \frac{L}{h}$$

¿Cuánto es importante σ_x y z en un caso típico de flexión simple?

$$\sigma_x^{max} = \frac{M_z^{max}}{I_z} \quad y_{max} = \frac{PL/4 \cdot h}{\frac{1}{2}bh^3} \cdot \frac{h}{2}$$

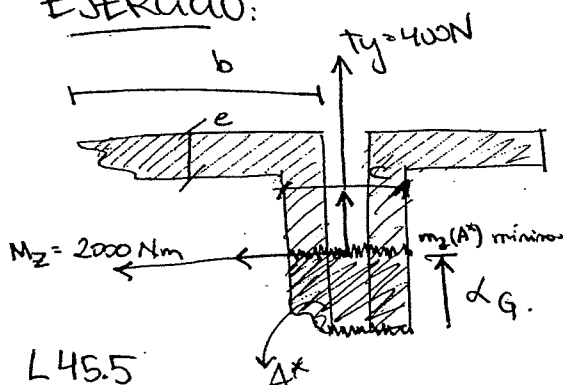
$$z_{max} = \frac{3}{2} \frac{T_{max}}{bh} = \frac{3}{2} \frac{P/2}{b \cdot h}$$

Se ve + importante que z menor en vigas extremadamente cortas.



20-11-2012

EJERCICIO:



Centro de gravedad:

$$x_G = \frac{2e \cdot b \cdot \frac{b}{2} + e \cdot (2b) \cdot b}{2eb + e2b} = \frac{b/2 + b}{2} = 3/4 b = 33.75 \text{ mm}$$

$$I_z = \frac{1}{12} (2e)b^3 + 2eb \left(\frac{3}{4}b - \frac{b}{2} \right)^2 + \frac{1}{12} 2be^3 + 2be \left(\frac{3}{4}b - b \right)^2 = 16.8 \cdot 10^4 \text{ mm}^4$$

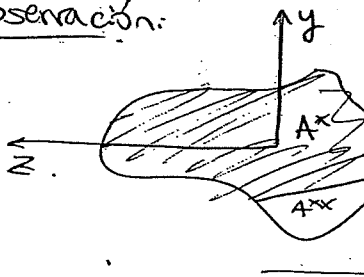
$$W_z = \frac{I_z}{y_{max}} = \frac{I_z}{3/4 b} = \frac{I_z}{3/4 b}$$

$$z = 136 \text{ MPa}$$

$$\sigma_x^{max} = \frac{M_z}{W_z} = 402 \text{ MPa}$$

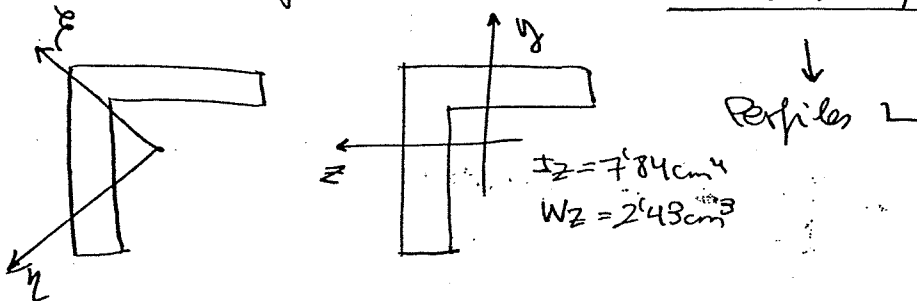
$$z = \frac{\sigma}{E} \cdot \frac{m_z(A^*)}{I_z} = \frac{402}{2.5} \cdot \frac{(3/4 b)(3/4 b^3 b/8)}{I_z}$$

Observación:



$$m(A^*) = -m(A^{**}).$$

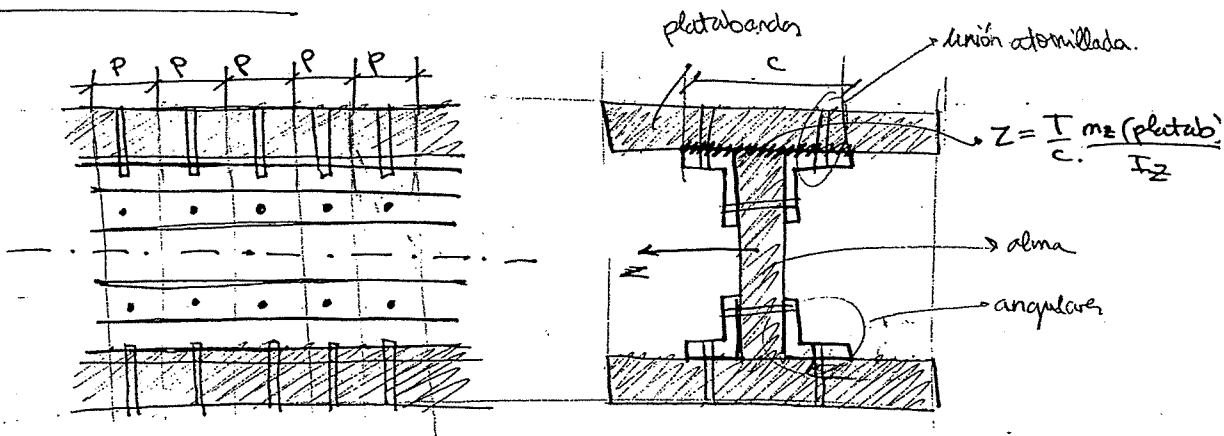
Resolviendo este ejercicio mediante FORMULARIO / TABLAS:



$$\alpha_G = 45 \text{ mm} - 12.8 \text{ mm} = 32.2 \text{ mm}$$

$$\sigma_{\max} = \frac{M_{\max}}{2 \cdot W_z} = 412 \text{ MPa.}$$

VIGAS ARMADAS



Cada tornillo recoge todos los tensiones tangenciales de cada paso.

Frasante = $Z - c \cdot p$. que recoge cada par de tornillos.

$$\sum_{\text{tornillo}} \approx \frac{\text{Frasante}/2}{A_{\text{tornillo}}} = \frac{T}{I_z} \frac{m_z(A^*)}{2} \frac{p_1}{A_{\text{tornillo}}} \leq Z_{\text{adm.}}$$

Dado un tornillo con área conocida y Z_{adm} conocido,
¿cuál es el paso mínimo?

$$p_1 \leq \frac{Z_{\text{adm}} \cdot I_z (2) A_{\text{tornillo}}}{T m_z (\text{plataforma})}$$

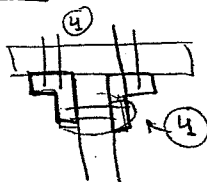
Paso 1 de Tornillo
Vertical.

Los factores son todos de mismo criterio

$$P_2 \leq \frac{z_{adm} \cdot I_z \cdot 2 \cdot A_{(Tornillo)}}{T \cdot m_{(plat + angular)}}$$

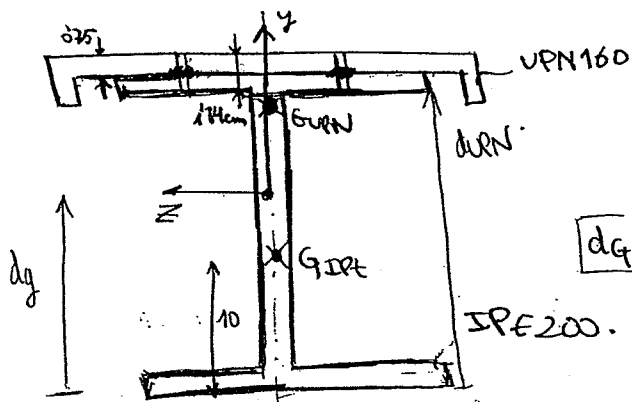
se puede despreciar si
 $m_{plat} \ll m_{angular}$

$$P = \min (P_1, P_2)$$



21-11-2012

EJERCICIO 2.



$W_z?$ $\sigma_{adm} = 100 \text{ MPa.}$
 $\phi = 13 \text{ mm}$
 $T_{max} = 3000 \text{ N.}$

$$d_g = \frac{A_{IPE} \cdot d^{IPE} + A_{UPN} \cdot d^{UPN}}{A_{IPE} + A_{UPN}} =$$

$$= \frac{285 \text{ cm}^2 \cdot 10 + 24 (20 + 0'75 - 1'84)}{285 + 24} =$$

$$= 14'1 \text{ cm}$$

$$I_z = I_z^{IPE} + A^{IPE} (14'1 - 10)^2 + I_z^{UPN} (20 + 0'75 - 1'84 - 14'1)^2 = 3060 \text{ cm}^4$$

$$W_z = \frac{I_z}{l_{y_{max}}} = \frac{3060}{14'1} = 217 \text{ cm}^3$$

$$P \leq \frac{z_{adm} \cdot A_{(Tornillo)} \cdot z}{T_y \cdot m_z (\text{UPN})} = \frac{100 \text{ N/mm}^2 \cdot \pi/4 \cdot 13^2 \cdot \text{mm}^2 \cdot 3060 \cdot 10^4 \text{ mm}^4}{3000 \text{ N.}} = 234 \text{ cm}$$

$$\boxed{\frac{m_z (\text{UPN})}{z} = A_{UPN} \cdot (20 + 0'75 - 1'84 - 14'1) = 115'4 \text{ cm}^3}$$

ECUACIÓN DIFERENCIAL DE LAS VIGAS EN FLEXIÓN.

ECUACIÓN DE LA ELÁSTICA

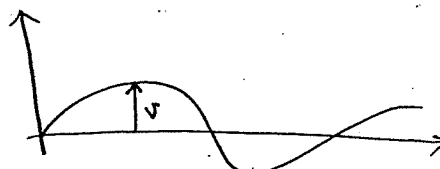
Ecación fundamental:

$$(1) \quad \kappa = \frac{1}{f} = \frac{M}{EI_z} \quad (2) \quad \kappa = \frac{v''}{(1 + (v')^2)^{3/2}}$$

Si $v' \ll 1$.

Aproxima (2) como

$$\kappa = v''$$

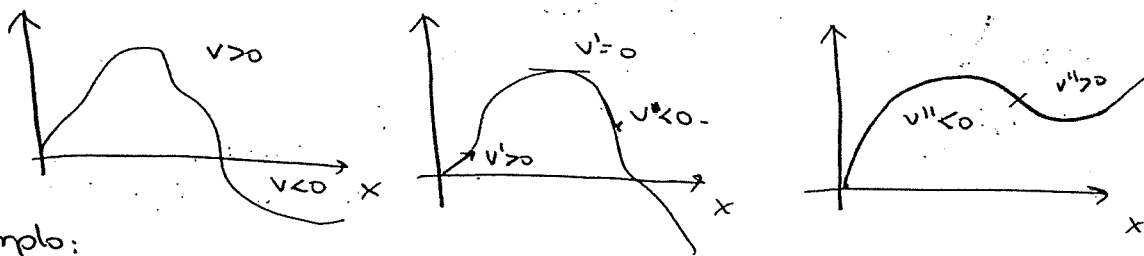


Por lo que sustituyendo en (1)
(Este método es poco práctico)

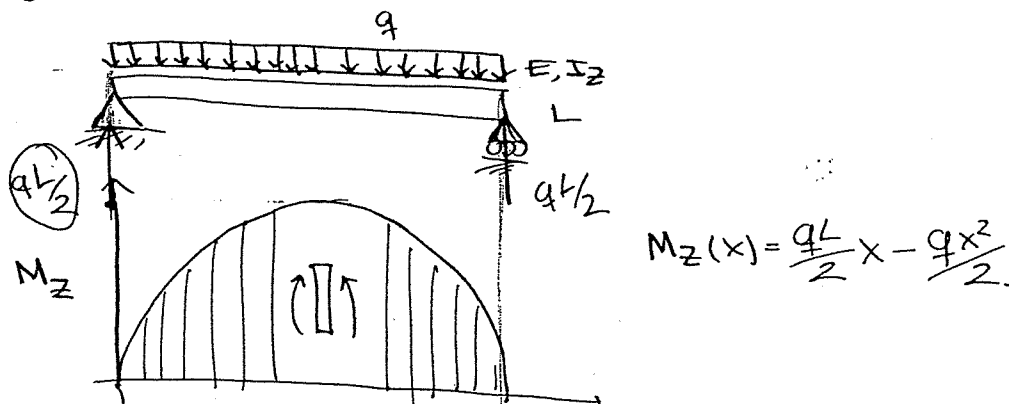
$$v''(x) = \frac{M(x)}{EI_z}$$

Ec. diferencial de la elástica.

Criterio de signos:



Ejemplo:



Integraremos la elástica:

$$v''(x) = \frac{1}{EI_z} \frac{q}{2} x(L-x).$$

$$v'(x) = \frac{1}{EI_z} \frac{q}{2} \left(\frac{Lx^2}{2} - \frac{x^3}{3} + C_1 \right)$$

$$v(x) = \frac{1}{EI_z} \frac{q}{2} \left(\frac{Lx^3}{6} - \frac{x^4}{12} + C_1 x + C_2 \right)$$

Condiciones de contorno:

$$U(0) = 0 = U(L)$$

$$1^{\circ}) \rightarrow C_2 = 0.$$

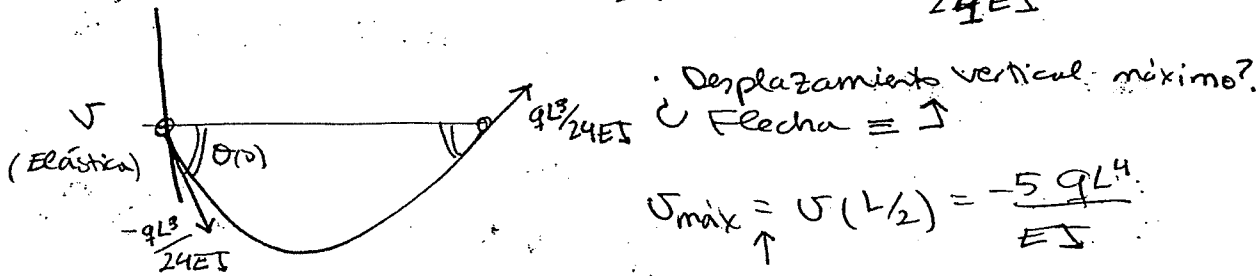
$$2^{\circ}) \rightarrow 0 = \frac{L^4}{6} - \frac{L^4}{12} + C_1 L = C_1 \Rightarrow C_1 = -\frac{L^3}{12}$$

$$U(x) = \frac{q}{2EI} \left(\frac{Lx^3}{6} - \frac{x^4}{12} - \frac{L^3}{12} x \right)$$

Todos los sumandos tienen las mismas dimensiones ✓

(Giro) $\rightarrow \Theta(x) = U'(x) = \frac{q}{2EI} \left(\frac{Lx^2}{2} - \frac{x^3}{3} - \frac{L^3}{12} \right)$

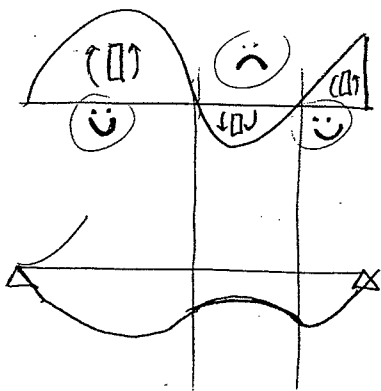
En el apoyo 2 . $\Theta(0) = -\frac{qL^3}{24EI}$ $\Theta(L) = \frac{qL^3}{24EI}$



$$U_{\max} = U(L/2) = -\frac{5qL^4}{EI}$$

por ser simétrica
o divisor e igualar a cero

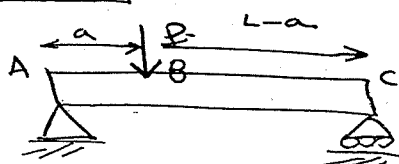
NOTA:



Cuando el momento $(M+)$ sigue contento 😊

Cuando el momento $(M+)$ sigue triste 😥

Ejemplo 2:



$$M(x) = \begin{cases} \frac{P}{L-a} x & 0 \leq x \leq a \\ \frac{P}{L-a} (L-x) & a \leq x \leq L \end{cases}$$

Tramo AB:

$$v''_{AB} = \frac{P}{EI} \frac{L-a}{L} x$$

$$v'_{AB} = \frac{P}{EI} \frac{L-a}{L} \left(\frac{x^2}{2} + C_1 \right)$$

$$v_{AB} = \frac{P}{EI} \frac{L-a}{L} \left(\frac{x^3}{6} + C_1 x + C_2 \right)$$

Condiciones de contorno

$$v_{AB}(0) = 0$$

$$v_{BL}(L) = 0$$

Tramo BC.

$$v''_{BC} = \frac{P}{EI} \frac{a}{L} (L-x)$$

$$v'_{BC} = \frac{P}{EI} \frac{a}{L} \left(Lx - \frac{x^2}{2} + D_1 \right)$$

$$v_{BC} = \frac{P}{EI} \frac{a}{L} \left(\frac{Lx^2}{2} - \frac{x^3}{6} + D_1 x + D_2 \right)$$

Condiciones de continuidad.

$$v'_{AB}(a) = v'_{BC}(a)$$

$$v_{AB}(a) = v_{BC}(a)$$

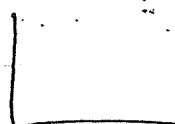
$$C_1 = \frac{\alpha}{6} (a - 2L)$$

$$D_1 = 1/6 (a^2 + 2L^2)$$

$$C_2 = 0$$

$$D_2 = 1/6 a^2 L$$

Esto en la práctica no se usa ya que si hay muchas cargas aplicadas, se tienen muchos incógnitas y muchas ecuaciones.



→ Ecuación Universal

LA ECUACIÓN UNIVERSAL.

Método para calcular elásticas de vigas con momentos flectores definidos a trozos.

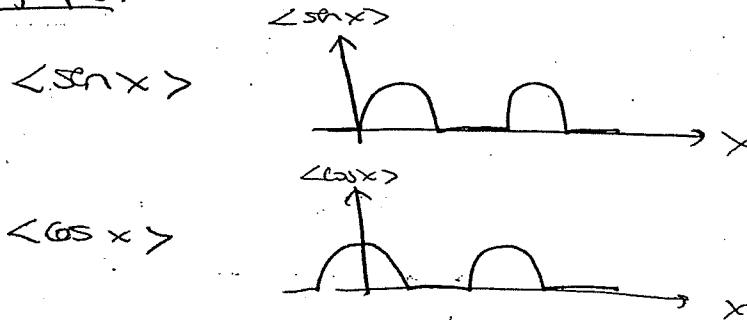
■ Leyes de esfuerzos con funciones de discontinuidad.

Definición: El corchete de Macaulay es una función

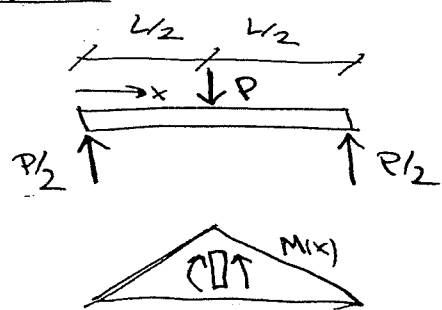
$$\langle \cdot \rangle : \mathbb{R} \rightarrow \mathbb{R}$$

definida como: $\langle x \rangle = \begin{cases} x, & \text{si } x \geq 0 \\ 0, & \text{si } x < 0 \end{cases}$

Ejemplo:

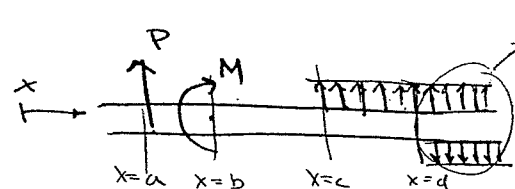


Ejercicios:



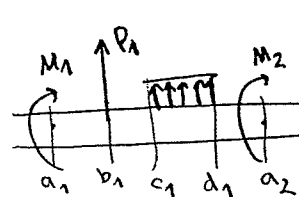
$$M(x) = \begin{cases} P/2x & 0 \leq x \leq L/2 \\ P/2x + P(x - L/2) & L/2 \leq x \leq L \end{cases}$$

$$= P/2 \langle x \rangle + P \langle x - \frac{L}{2} \rangle$$



$$M(x) = P \langle x - b \rangle + M \langle x - c \rangle + q \left(\frac{\langle x - c \rangle^2}{2} - \frac{\langle x - d \rangle^2}{2} \right)$$

$$\begin{cases} 0 & x \leq a \\ 1 & x \geq a \end{cases}$$



$$M(x) = \sum_{i=1}^{n_m} M_i \langle x - a_i \rangle^0$$

$$+ \sum_{i=1}^{n_p} P_i \langle x - b_i \rangle^1$$

$$+ \sum_{i=1}^{n_q} q_i \frac{1}{2} (\langle x - c_i \rangle^2 - \langle x - d_i \rangle^2)$$

■ La Elástica.

$$V'' = \frac{M(x)}{EI} , EI v'' = M(x)$$

Suponiendo que EI es constante, integraremos una vez:

$$EI v'(x) = \sum_{i=1}^{n,m} M_i (x-a_i)^2 + \sum_{i=1}^{n,p} \frac{P_i}{2} (x-b_i)^2 + \\ + \sum_{i=1}^{n,q} \frac{q_i}{6} ((x-c_i)^3 - (x-d_i)^3) + EI \theta_0.$$

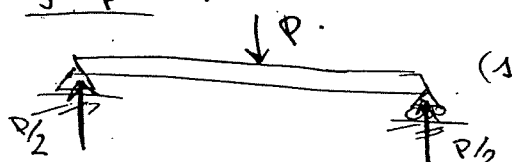
Integraremos una segunda vez:

$$EI v(x) = \sum_{i=1}^{n,m} \frac{M_i}{2} (x-a_i)^2 + \sum_{i=1}^{n,p} P_i / 6 (x-b_i)^3 + \\ + \sum_{i=1}^{n,q} \frac{q_i}{24} ((x-c_i)^4 - (x-d_i)^4) + EI \theta_0 x + EI v_0$$

ECUACIÓN UNIVERSAL

No usar si
 hay liberad.
 $EI \neq$ const.

Ejemplo 1:



$$(1) EI v(x) = EI v_0 + EI \theta_0 x - P/6 (x-L/2)^3 + P/6 (x-0)^3 + P/2 (x-L)^3$$

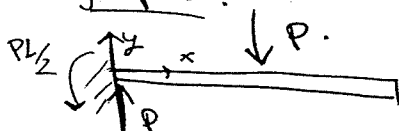
siempre ≤ 0 .

Para despejar θ_0 :

$$\theta = EI v(L) = EI \theta_0 L - P/6 (L-L/2)^3$$

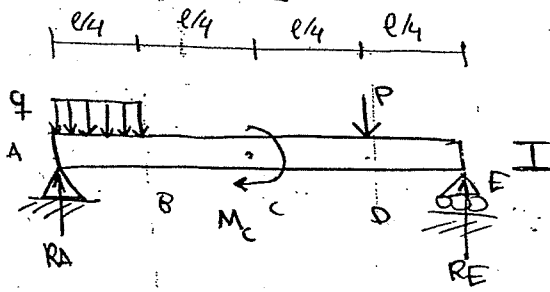
y luego la mete en (1)

Ejemplo 2:



$$EI v(x) = EI v_0 + EI \theta_0 x + P/6 (x^3) - P/6 (x-L/2)^3 - PL/2 (x)^2$$

EJERCICIO 5.1.



$$l = 2000 \text{ mm}$$

$$q = 5 \text{ N/mm}$$

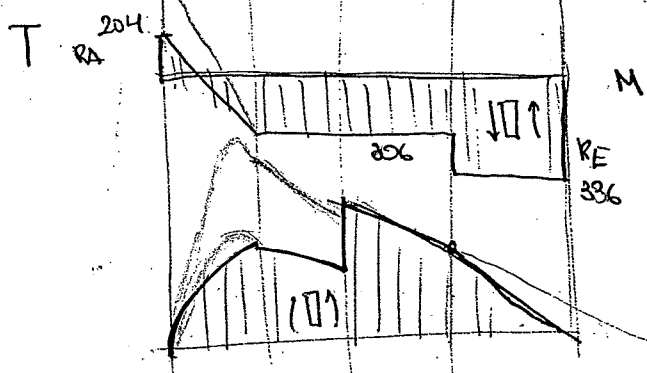
$$M_c = 2000 \text{ Nmm}$$

$$P = 30 \text{ N}$$

$$\sum F_y = 0 \quad q \frac{l}{4} + P = R_A + R_E$$

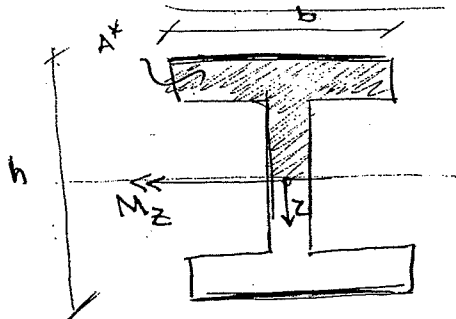
$$\sum M_A = 0 \quad q \frac{l}{4} \left(\frac{l}{4} \right) + M_c + P \frac{3l}{4} = R_E \cdot l$$

$$\begin{cases} R_E = \frac{q l}{32} + \frac{M_c}{l} + \frac{3P}{4} \\ R_A = \frac{7ql}{32} + P \frac{l}{4} - M_c \end{cases}$$



$$M(x) = R_A \langle x - 0 \rangle - \frac{q}{2} k \langle x^2 - \langle x - \frac{l}{4} \rangle^2 \rangle + M_c \langle x - \frac{l}{2} \rangle - P \cdot \langle x - \frac{3l}{4} \rangle$$

Tensión Normal Máxima.



$$\sigma_{\max} = \frac{M_{\max}}{W_z} = \frac{481 \cdot 10^3 \text{ Nmm}}{20 \cdot 10^3 \text{ mm}^2} = 24.1 \text{ MPa.}$$

momento estático máximo. pose para G

Tensión tangencial máxima es $\tau_{A^*} = \frac{\frac{h}{2}e \cdot h_4 + e \cdot bh}{\frac{h}{2}e + e \cdot b}$

$$\tau = \frac{1}{b} \cdot \frac{m_z(A^*)}{I_z} = \frac{2194 \text{ N}}{318 \text{ mm}} \cdot \frac{(\frac{h}{2}e + e \cdot b)}{801 \text{ cm}^4} = 908 \text{ MPa}$$

Elastica:

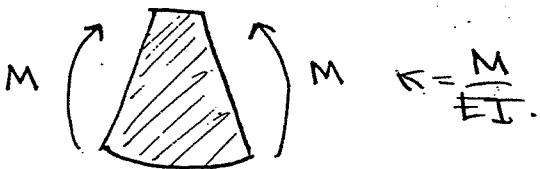
$$EIv(x) = EIv_0 + EI\theta_0 x + \frac{-q}{4!} (\langle x \rangle^4 - \langle x - \frac{l}{4} \rangle^4) + \frac{M}{2!} (\langle x - \frac{l}{2} \rangle^2) - \frac{P}{3!} (\langle x - \frac{3l}{4} \rangle^3) + \frac{R_A}{3!} (\langle x \rangle^3) + \frac{R_E}{3!} (\langle x - \frac{l}{4} \rangle^3)$$

$$EIv(l) = 0 \quad \theta(0) = 1626 \text{ rad.}$$

ENERGÍA ELÁSTICA DE VÍGAS A FLEXIÓN:

$$W_{int}^* = W_{int \text{ FLEXIÓN}} + W_{int \text{ CORTE}}$$

$\Rightarrow \ll W_{flex.}$



$$W_{int}^* = \int_0^L \frac{M^2 dx}{2EI}$$

$$W_{ext} = \int_0^L M K dx$$

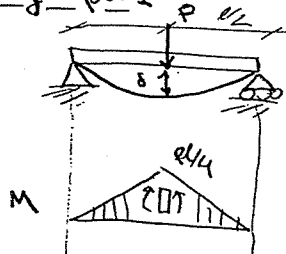
$$W_{int} = \int_0^L \frac{1}{2} EI K^2 dx$$

Son numéricamente iguales en el equilibrio:

$$dW_{int} = \frac{1}{2} MK dx = \frac{M^2 dx}{2EI} = dW_{int}^*$$

MÉTODOS ENERGÉTICOS PARA EL CÁLCULO DE DESPLAZAMIENTOS.

Ejemplo: 1

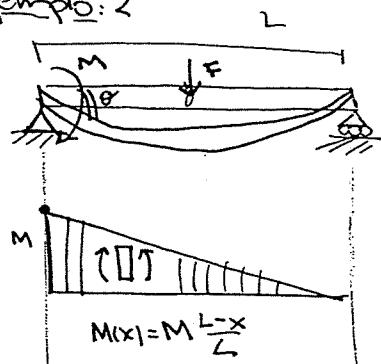


$$= \frac{P^2}{4EI} \left[\frac{x^3}{3} \right]_0^{l/2} = \frac{P^2 L^3}{4EI} \frac{1}{24}$$

$$\begin{aligned} W_{int}^* &= \int_0^{l/2} \frac{M(x)^2 dx}{2EI} = 2 \int_0^{l/2} \frac{M(x)^2 dx}{2E} = \\ &= 2 \int_0^{l/2} \frac{(Px/2) dx}{2EI} = \frac{1}{EI} \frac{P^2}{4} \int_0^{l/2} x^2 dx = \end{aligned}$$

$$\boxed{\delta = \frac{\partial W_{int}^*}{\partial P} = \frac{PL^3}{48EI}}$$

Ejemplo: 2

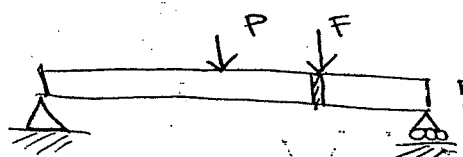


$$\begin{aligned} W_{int}^* &= \int_0^L \frac{1}{2EI} M(x)^2 dx = \frac{1}{2EI} \int_0^L \frac{M^2}{L^2} (L-x)^2 dx = \\ &= \frac{M^2}{2ESL^2} \left[-\frac{(L-x)^3}{3} \right]_0^L = \frac{M^2 L^3}{6EI L^2} \end{aligned}$$

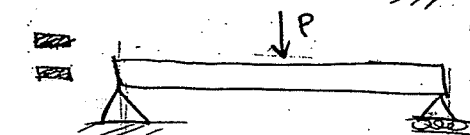
$$\theta = \frac{\partial W_{int}^*}{\partial M} = \frac{2ML}{6EI} = \frac{ML}{3EI}$$

Quiero hallar desplazamiento vertical, pero no hay ninguna fuerza! Me invento una F (que volga θ).

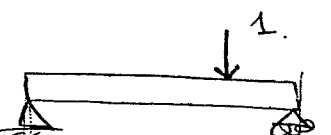
MÉTODO DE LA CARGA UNITARIA.



Quiero calcular el desplazamiento vertical de 1. Me invento una F virtual.



+ F.



m(x).

$M_{px}(x)$

$$M(x) = M_{px}(x) + F \cdot m(x)$$

$$W_{int}^* = \int_0^L \frac{1}{2EI} N_r^2(x) dx = \frac{(M_{px}(x) + F \cdot m(x))^2}{2EI} dx$$

$$\delta = \frac{\partial W_{int}^*}{\partial F} \Big|_{F=0} = \int_0^L \frac{1}{EI} (M_{px}(x) + F \cdot m(x)) m(x) dx$$

$$\delta = \int_0^L \frac{1}{EI} M_{px}(x) m(x) dx$$

momento real momento ficticio.

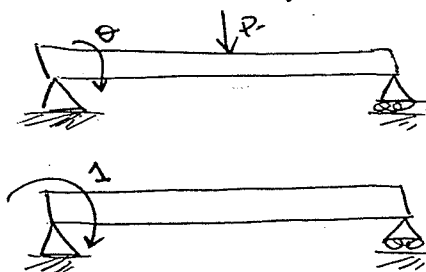
Continuación ejemplo 2:

$$M_{px}(x) = \frac{P}{2}x - P \left\langle x - \frac{L}{2} \right\rangle$$

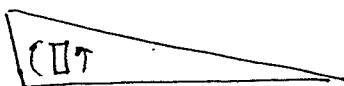
$$m(x) = \frac{1}{4}x - 1 \cdot \left\langle x - \frac{3}{4}L \right\rangle$$

$$\delta = \frac{11}{768} \frac{PL^3}{EI}$$

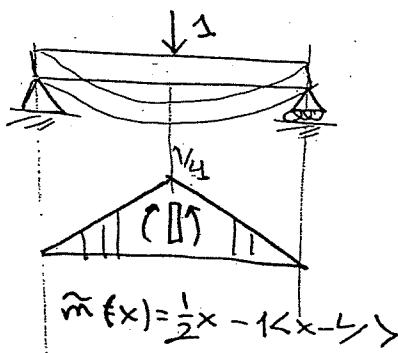
Si quiere averiguar el giro θ .



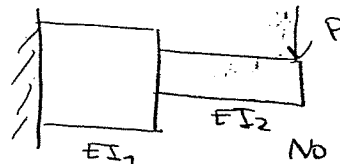
$$\theta = \int_0^L \frac{1}{EI} M_{px}(x) \bar{m}(x) dx = \frac{PL^2}{16EI}$$



$$\bar{m}(x) = \frac{L-x}{L}$$



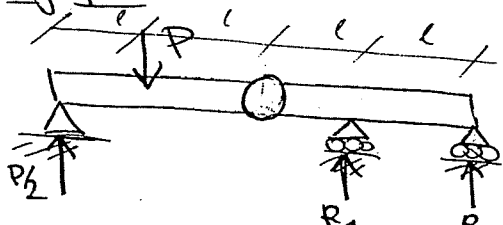
$$\delta f(\frac{L}{2}) = \int_0^L \frac{1}{EI} M_p(x) m(x) dx$$



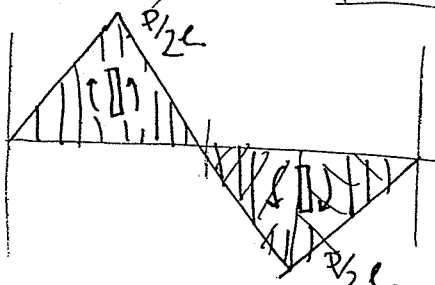
desplaz en la pista?

No se puede usar la Ec. universal, rigideces diferentes.

Ejemplo:

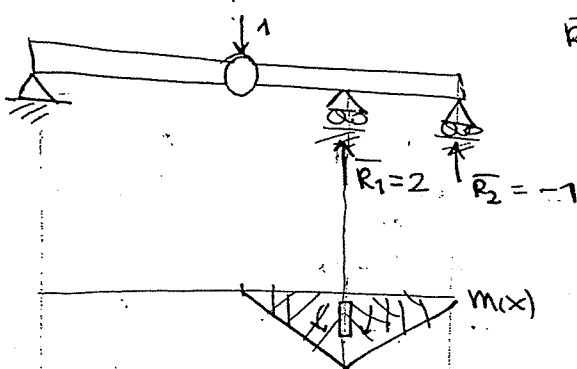


$$\begin{cases} R_1 + R_2 = P \\ R_1 L + R_2 2L = 0 \end{cases} \rightarrow \begin{cases} R_1 + R_2 = P/2 \\ R_1 = -2R_2 \end{cases}$$



$$M_p(x) = \frac{P}{2} x - P <x-L> + P <x-3L>$$

$$\begin{cases} R_1 = P \\ R_2 = -P/2 \end{cases}$$



$$m(x) = -1 <x-2L> + 2 <x-3L>$$

$$\bar{R}_1 + \bar{R}_2 = 1$$

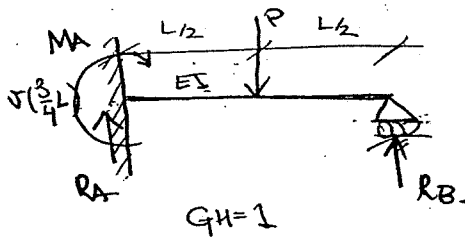
$$\delta = \int_0^{4L} \frac{1}{EI} M_p(x) \cdot m(x) dx =$$

$$= \int_0^{4L} \frac{1}{EI} M_p(x) m(x) dx = \boxed{\text{Triangular}} \quad \boxed{\text{Simétrico}}$$

$$= 2 \cdot \int_{3L}^{4L} \frac{1}{EI} \frac{P}{2} (x-4L) \cdot 1(x-4L) dx =$$

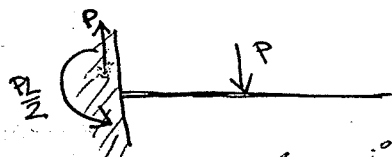
$$= \frac{PL^3}{3EI}$$

PROBLEMAS HÍPERESTÁTICOS EN FLEXIÓN



1: Usando ecuación de compatibilidad geométrica

Supongamos R conocida



$$EI\psi_1(x) = EI\psi_{10} + EI\psi_{10} \times$$

$$-\frac{P^4}{2!} \langle x \rangle^2 + \frac{P}{3!} \langle x \rangle^3 - \frac{P}{3!} \langle x - \frac{L}{2} \rangle^3$$

$$EI\psi_2(x) = EI\psi_{20} + EI\psi_{20} \times$$

$$+ \frac{RL}{2!} \langle x \rangle^2 - \frac{R}{3!} \langle x \rangle^3$$

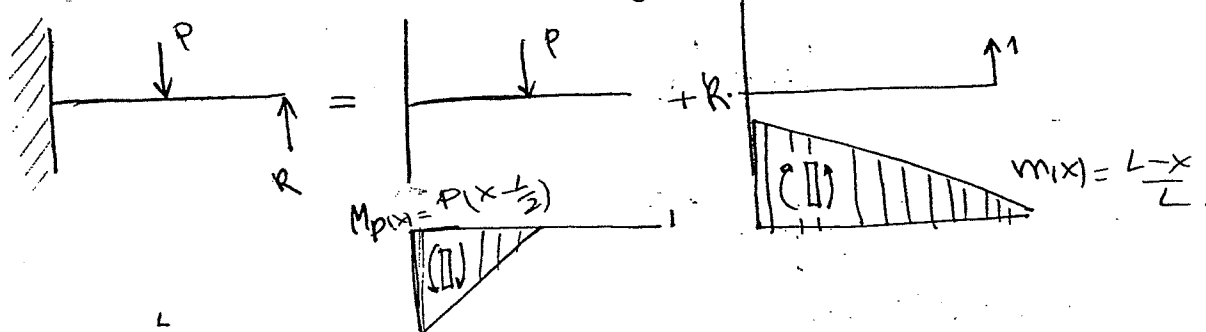
$$EI(\nabla x) = EI\psi_1(x) + EI\psi_2(x)$$

$$\text{Ec. Compatibilidad } (\nabla L) = 0$$

$$EI(\nabla L) = -\frac{5PL^3}{4REI} + \frac{PL^3}{3EI} = 0 \Rightarrow R = \frac{5E}{16}$$

$$EI\psi\left(\frac{3}{4}L\right) = EI\psi_1\left(\frac{3}{4}L\right) + EI\psi_2\left(\frac{3}{4}L\right) = -\frac{43PL^3}{6144}$$

2: Usando el Método de la Carga Unitaria (supongamos R ok).

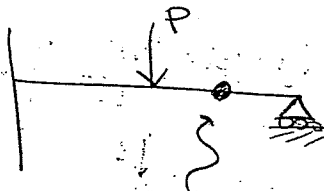


$$W^{int} = \int_0^L \frac{1}{2EI} (M_p(x) + R \cdot m(x))^2 dx.$$

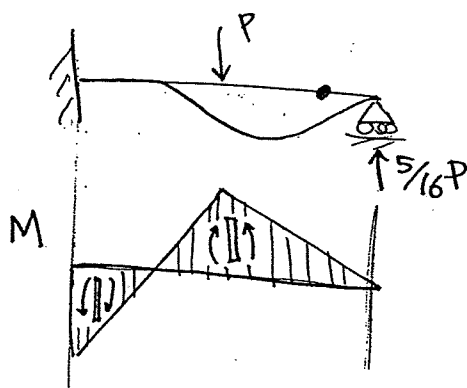
$$0 = \delta_R = \frac{\partial W^{int}}{\partial R} = \int_0^L \frac{1}{EI} (M_p(x) + Rm(x)) \cdot m(x) dx.$$

$$R = -\frac{\int_0^L M_p(x) m(x) dx}{\int_0^L m(x)^2 dx}$$

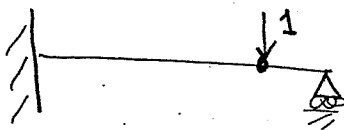
$$R = \frac{- \int_0^{L/2} \frac{1}{EI} P (x - \frac{L}{2}) \frac{L-x}{2} dx}{\int_0^L \frac{1}{EI} (\frac{L-x}{2})^2 dx} = \frac{5}{16} P$$



¿desplazamiento ahí?

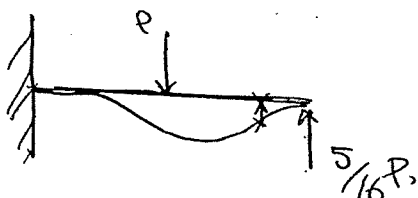


$$M(x) = \begin{cases} F(x - \frac{L}{2}) + \frac{5}{16}(L-x)P & 0 \leq x \leq L/2 \\ \frac{5}{16}P(L-x) & L/2 \leq x \leq L \end{cases}$$



$$\delta = \int_0^L \frac{1}{EI} M(x) \text{mix} dx = \dots$$

Astucia! → Absolidarlos de esto y

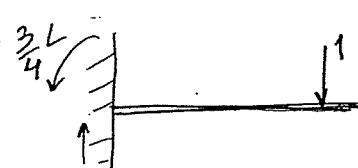


Tienen la misma elasticidad.

Nos libraremos así del P hiper.



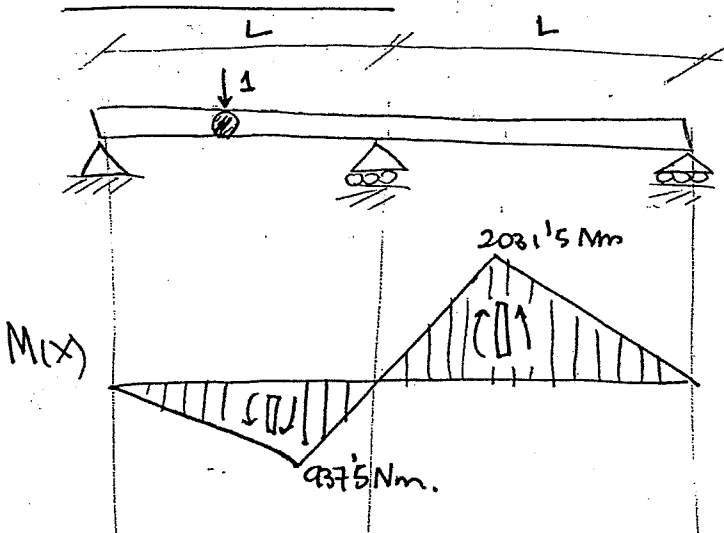
Los desplazamientos en las estructuras hiperestáticas son iguales en la estructura isostática equivalente (Estruct. auxiliar).



$$(x - \frac{3}{4}L) \quad m.$$

$$= \dots = \frac{43}{6144} \frac{\phi e^3}{EI}$$

PROBLEMA 5.10. (EX) *



Busco un sistema isostático auxiliar.

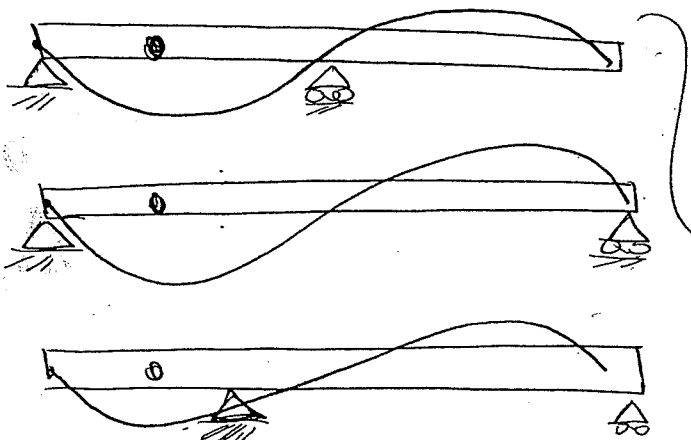
$$L = 10 \text{ m}$$

$$EI = 2 \cdot 10^6 \text{ Nm}^2$$

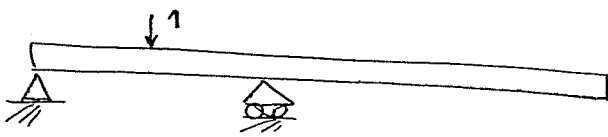
$$\delta = \int_0^L \frac{1}{EI} M(x) m(x) dx$$

Dos difieren en
pero la integral (δ)
resulta igual

Misma elástica



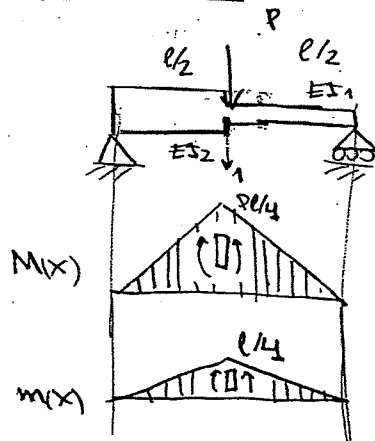
Puedo con



$$\boxed{\delta = \int_0^{2L} \frac{1}{EI} M(x) m(x) dx = 0.002 \text{ m}}$$

PROBLEMA

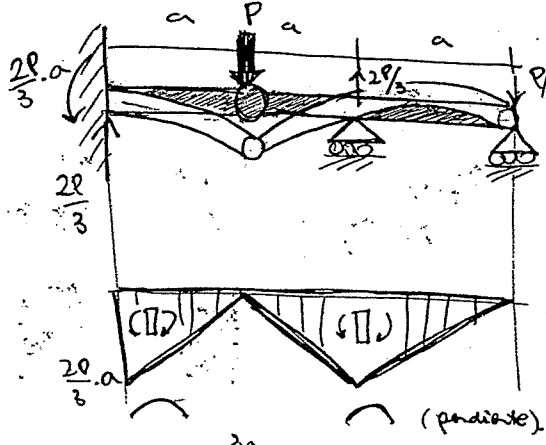
4-12-2012



No se puede usar el método de la carga universal

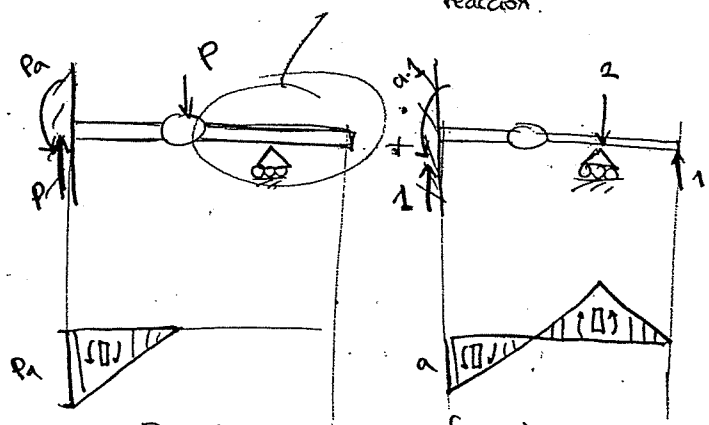
$$\begin{aligned} \delta &= \int_0^l \frac{1}{EI(x)} M(x) m(x) dx = \\ &= \int_0^{l/2} \frac{1}{EI_2} \cdot \frac{P}{2} x \cdot \frac{1}{2} x dx + \int_{l/2}^l \frac{1}{EI_1} \cdot \frac{P}{2} (l-x) \cdot \frac{1}{2} (l-x) dx \\ &= \frac{P}{4EI_2} \left[\frac{x^3}{2} \right]_0^{l/2} + \frac{P}{4EI_1} \left[-\frac{(l-x)^3}{3} \right]_{l/2}^l \\ &= \frac{P}{12EI_2} \cdot \frac{l^3}{8} + \frac{P}{12EI_1} \cdot \frac{l^3}{8} = \frac{Pl^3}{96} \left[\frac{1}{EI_1} + \frac{1}{EI_2} \right] \end{aligned}$$

PROBLEMA.



$$R = - \frac{\int_0^{3a} \frac{1}{EI} M_p(x) m(x) dx}{\int_0^{3a} \frac{1}{EI} m(x)^2 dx} = - \frac{\int_0^a P(x-a)(x-a) dx}{\int_0^{2a} (x-a)^2 dx + \int_{2a}^{3a} (3a-x)^2 dx}$$

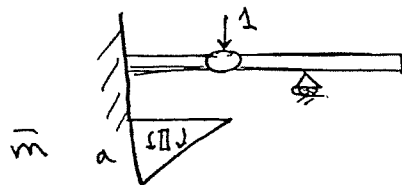
$$= - \frac{P \left[\frac{(x-a)^3}{3} \right]_0^a}{\left[\frac{(x-a)^3}{3} \right]_0^{2a} + \left[-\frac{(3a-x)^3}{3} \right]_{2a}^{3a}} = - \frac{Pa^3}{a^3 + a^3 - 0 + a^3} = \boxed{-\frac{P}{3} = R}$$



$$m(x) \begin{cases} (x-a) & 0 \leq x \leq 2a \\ (3a-x) & 2a \leq x \leq 3a \end{cases}$$

vamos a completar el dibujo.
primero, y realizaremos el diagrama.

Desplazamientos verticales bajo la carga P.

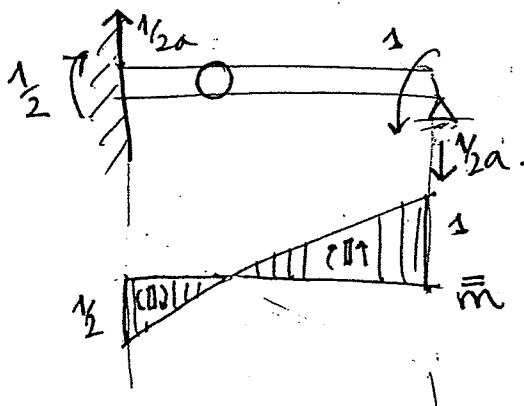


(Sistema isostático auxiliar)

$$\begin{aligned} \delta &= \int_0^a \frac{1}{EI} M(x) \bar{m}(x) dx = \int_0^a \frac{1}{EI} \frac{2P}{3} (x-a)(x-a) dx = \\ &= \frac{2P}{3EI} \left[\frac{(x-a)^3}{3} \right]_0^a = \frac{2P}{9EI} (0 - (-a^3)) = \boxed{\frac{2Pa^3}{9EI}} \end{aligned}$$

Dibujar la elástica a escala en dibujo.

Para calcular el ángulo
(sist. Isost Ánx)

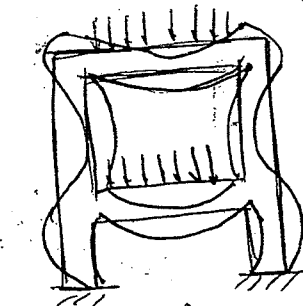


$$\delta = \int$$

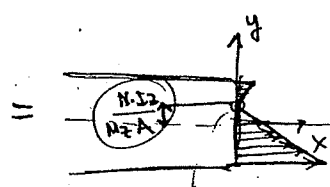
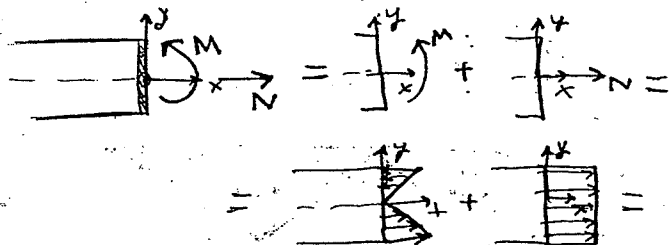
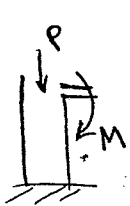
5-12-2012

FLEXIÓN COMPLEJA

Definición: Un sólido prismático está sometido a flexión compuesta cuando sufre flexión y tracción/compresión.



i) Estado de tensiones.



$$\sigma_x = -\frac{Mz}{Iz} y + \frac{N}{A}$$

$$\sigma_x = -\frac{Mz}{Iz} y \quad \sigma_x = N/A$$

El eje neutro ya no está en el centro de gravedad.

■ Posición del eje neutro:

$$\sigma_x = 0$$

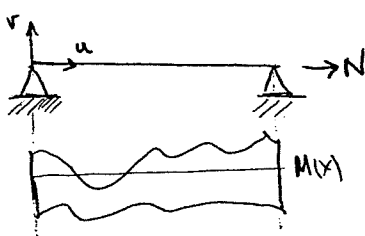
$$-\frac{Mz}{Iz} y + \frac{N}{A} = 0$$

$$y = \frac{N \cdot Iz}{Mz \cdot A}$$

Ecuación de una recta.

y.

ii) Análisis de deformaciones.



$$v' = \frac{Mz}{E \cdot Iz}$$

$$x' = \frac{N}{EA}$$

se desprecia la comp. axial

$$M \ll v$$

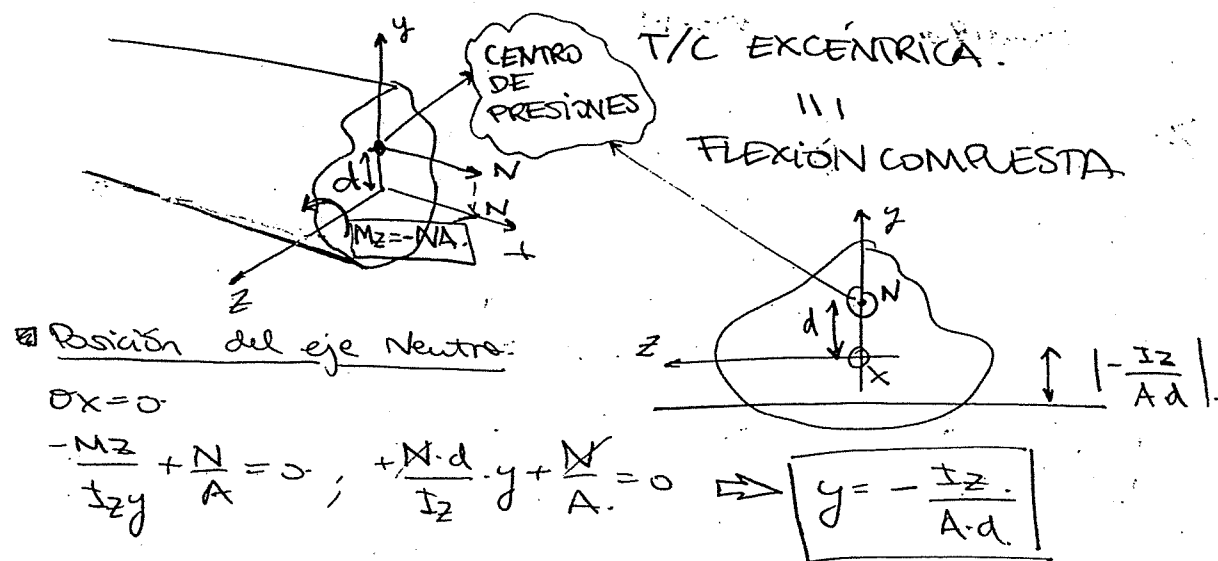
iii) Análisis de las energías.

$$W_{int} = W_{int}^{\text{flexión}} + W_{int}^{\text{rotación}} + W_{int}^{\text{tracción/carga}}$$

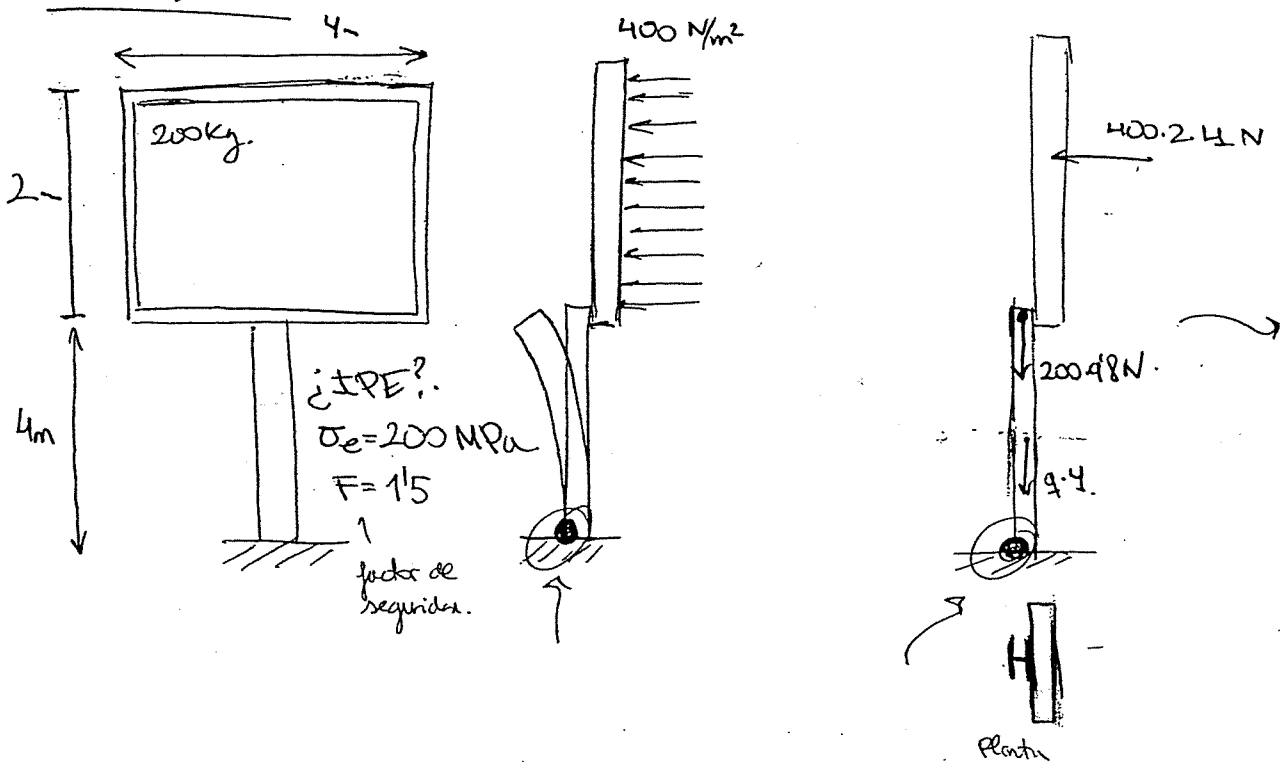
$$S = \frac{\partial W_{int}^*}{\partial P}$$

TRACCIÓN / COMPRESIÓN EXCÉNTRICA

se dice que una sección está sometida a tracc./comp. excéntrica cuando sufre un esfuerzo normal que no pasa por el centro de gravedad

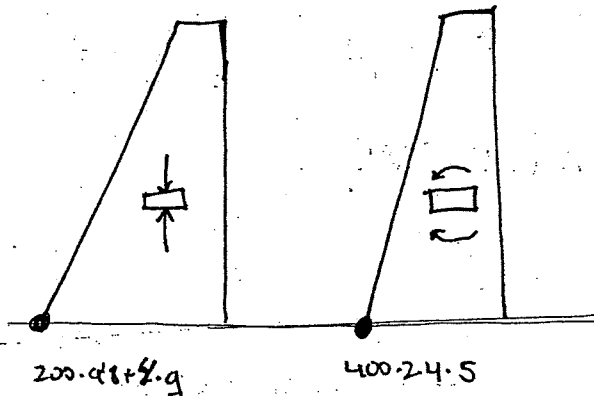


PROBLEMA.



200.9.8

400.2.4.1



200.9.8+4.9

400.2.4.5

La que mas apre
es la parte de abajo

$$\frac{\sigma_c}{1.5} \geq |\sigma_{mix}| = \frac{N}{A} + \frac{M_z}{W_z} = \frac{200.9.8+4.9}{A} + \frac{400.4.2.5}{W_z}$$

133 MPa

Elegimos IPE 200 ✓

Pero como IPE 200 ✓ + bordos

Puedemos IPE 160 X

{q, Wz, A}.

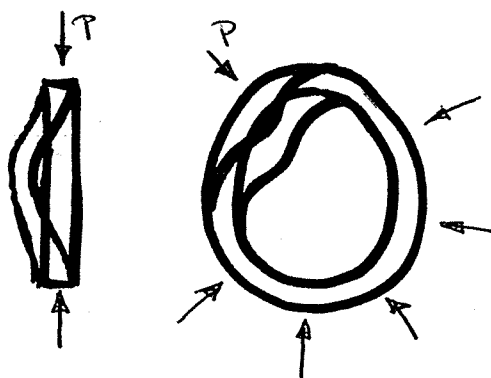
IPE 180, $\sigma_x^{\max} = 100.4 \text{ MPa}$

IPE 160, $\sigma_x^{\max} = 137 \text{ MPa}$

PANDEO

Lección 20: INESTABILIDAD

En estructuras la inestabilidad se da cuando existen extensas zonas sometidas a compresión.



Existe un:

$$- \text{Momento de estabilizador} = PS$$

$$- \text{Momento estabilizador} = K\theta$$

$$PS > K\theta \Rightarrow \text{Equilibrio inestable}$$

$$PS < K\theta \Rightarrow \text{" estable"}$$

$$K\theta = PS \Rightarrow \text{Equilibrio indiferente}$$

$$P = P_c = \text{Carga crítica}$$

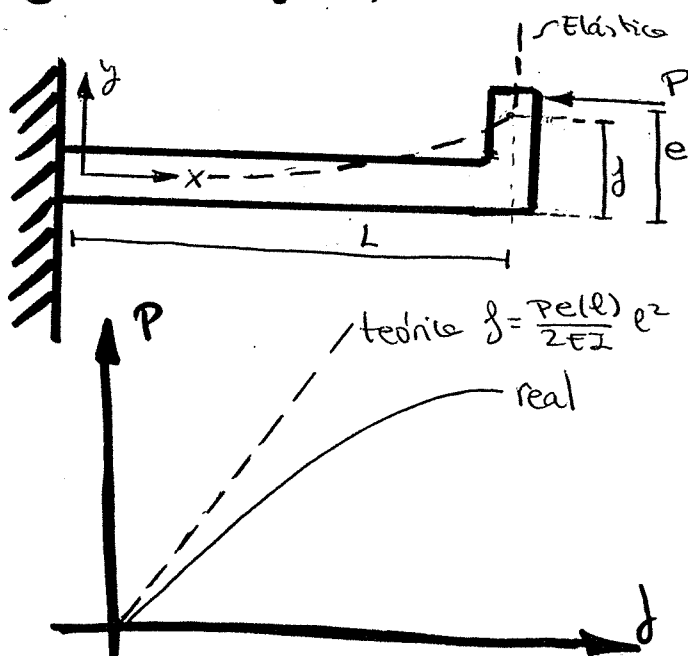
$$P_c = \frac{K\theta}{S} = \frac{K}{L}, f = 2\theta$$

Además, no será aplicable la teoría de pequeños desplazamientos si $P > P_c$

$$\text{En este caso } Pf = PL \operatorname{sen}\theta = R\theta ; \operatorname{sen}\theta = \frac{P}{R} \theta ; \quad \frac{P}{P_c} = \frac{\theta}{\operatorname{sen}\theta}$$

FALTAN CLAVES (ni idea de wantas)

Lección 21: FÓRMULA DE EULER. ESQUELETO

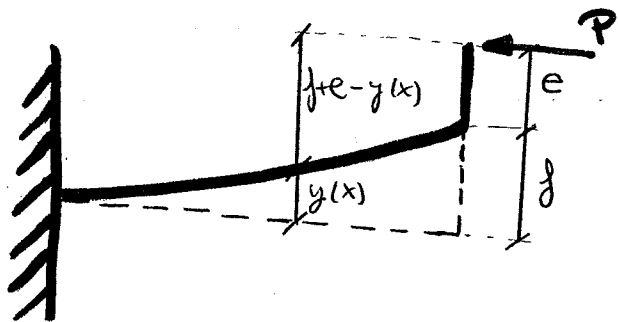


$$M(x) = P \cdot e(x) = EI y''$$

$$y = \frac{P \cdot e}{2EI} x^2 ; f = y(x=l) = \frac{P \cdot e \cdot l^3}{2EI} l^2$$

La real se aleja de la teórica porque estamos planteando el equilibrio en la posición inicial, sin tener en cuenta las deformaciones de la barra.

Al deformarse la barra tenemos que el momento no se produce sobre lo que era antes $y=0$, sino sobre la élástica; ya que es ahí donde está la barra.



Plano de pandeo: xy
Eje de giro de las secciones: z

$$M(x) = P \cdot (f + e - y(x)) = EI y''$$

$$y'' = \frac{P}{EI} (f + e - y(x))$$

Estamos ante una EDO: $y'' + \alpha^2 y = \alpha^2 (f + e)$, que es una EDO lineal completa $\Rightarrow y = y_h + y_p \equiv$ sol gen homogénea + sol particular de la completa

• Solución general de la homogénea: y_h

$$y''_h + \alpha^2 y_h = 0 ; \quad \underbrace{r^2 + \alpha^2 = 0}_{\text{Pd. característico}} \Rightarrow r = \pm \alpha i ; \quad y_h = C_1 \sin(\alpha x) + C_2 \cos(\alpha x)$$

• Particular de la completa: Tanteamos un polinomio de grado cero \hookrightarrow que el término independiente es $\alpha^2 (f + e) \equiv$ Grado 0

$$\text{A ojo se ve que } y_p = f + e$$

$$\text{Si no heríamos } y_p = C \rightarrow \text{Entrando} \rightarrow 0 + \alpha^2 C = \alpha^2 (f + e) \quad \hookrightarrow \quad C = f + e$$

$$\text{Por tanto: } y = C_1 \sin(\alpha x) + C_2 \cos(\alpha x) + (f + e)$$

Ahora, imponemos las condiciones de contorno, en este caso:

$$\begin{cases} \text{Empotramiento} & y'(0) = 0 \quad y' = C_1 \alpha \cos(\alpha x) - C_2 \alpha \sin(\alpha x) = 0 ; \quad C_1 \alpha = 0 \rightarrow C_1 = 0 \\ & y(0) = 0 \quad C_2 = -(f + e) \end{cases}$$

Lo que buscamos es obtener $f = \text{función}(P) \Leftrightarrow \text{función}(\alpha)$

$$\alpha^2 = \frac{P}{EI}$$

Para comprobarlo con la teórica obtenida al inicio del tema

$$f = y(l) = -(f + e) \cos(\alpha l) + f + e = f(1 - \cos(\alpha l)) + e(1 - \cos(\alpha l))$$

$$f = e \frac{(1 - \cos(\alpha l))}{\cos(\alpha l)}$$

Se trata de una solución no lineal, ya que $\omega(ql) = 0$

$$\Rightarrow f = \lambda \omega; \quad \omega(ql) = 0 \Rightarrow ql = n \frac{\pi}{2} \quad ; \quad \frac{P}{EI} l^2 = n^2 \frac{\pi^2}{4}$$

n^{impar}
 $n = 2g - 1$

$$P_{\text{crit}} = n^2 \frac{\pi^2 EI}{4l^2}$$

\equiv Cargas de Pandeo

Incluso en el caso de compresión pura hay pandeo si se llega a P_{crit} .

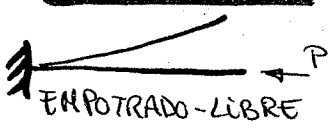
$$f = \frac{1 - \cos(\Omega l)}{\omega(ql)} \cdot e \quad \left| \begin{array}{l} f = \frac{\Omega}{\Omega} \rightarrow \text{Indeterminado} \\ \text{Si } \cos(\Omega l) = 0 \end{array} \right.$$

OTRAS CASOS DE SUSTENTACIÓN

Resultan de resolver ecuaciones diferenciales para distintas situaciones de sustentación, como se ha hecho en el caso anterior.

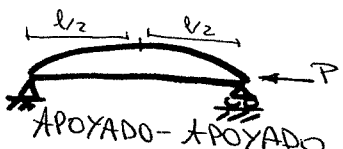
Siempre responden a $P_{\text{crit}} = \frac{\pi^2 EI}{l_p^2}$; siendo l_p = longitud de pandeo, es la longitud de la elástica entre los puntos de inflexión consecutivos.

SUSTENTACIÓN



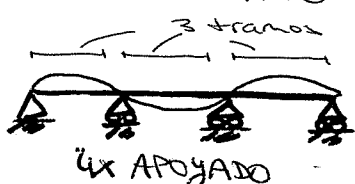
$$l_p = 2l$$

$$P_{\text{crit}} = \frac{\pi^2 EI}{4l^2}$$



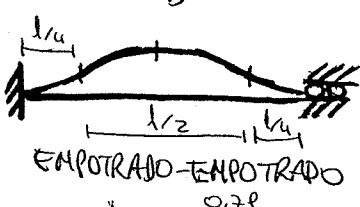
$$l_p = l$$

$$P_{\text{crit}} = \frac{\pi^2 EI}{l^2}$$



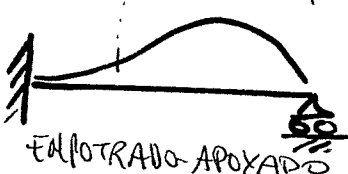
$$l_p = \frac{l}{3} \text{ N° de tramos}$$

$$P_{\text{crit}} = \frac{\pi^2 EI}{l^2}$$



$$l_p = 0,5l$$

$$P_{\text{crit}} = \frac{\pi^2 EI}{(0,5l)^2}$$



$$l_p = 0,7l$$

$$P_{\text{crit}} = \frac{\pi^2 EI}{(0,7l)^2}$$

- A continuación, se define el concepto de esbeltez mecánica:

$$P_{crit} = \frac{\pi^2 EI}{l_p^2} = \sigma_{crit} \cdot A$$

$$\sigma_{crit} = \frac{\pi^2 EI}{l_p^2 A} = \frac{\pi^2 E}{l_p^2} = \frac{\pi^2 F}{l_p^2 i^2} = \frac{\pi^2 E}{\lambda^2}, \text{ con}$$

$$\text{HIPÉRBOLA DE EULER } \frac{\sigma}{EI} = \frac{1}{\lambda^2}$$

$$\lambda = \frac{l_p}{i} \equiv \text{esbeltez mecánica}$$

NOTA

¿Cómo podemos minimizar el riesgo de pandeo?

Aumentando la P_{crit} , ya que así será más complicado llegar a producir la carga a partir de la cual se produce este fenómeno.

$$\uparrow P_{crit} \quad \left. \begin{array}{c} \downarrow l_p \\ \downarrow i \\ \downarrow EI \end{array} \right\} \xrightarrow{\text{sustentación}} \text{Aumentar apoyos}$$

● CARGA DE PANDEO REAL

En la realidad no ocurre como hemos visto en el desarrollo técnico de Euler, deducido anterior ($P_{crit Euler}$), sino que, al aumentar P_{crit} , la flecha no se va al A_0 , sino que va aumentando con la carga siguiendo una curva linealizada.

Esta deviación se debe a que, en la obtención de la ecuación de Euler se ha perdido de la ecuación de los tres simplificado $y'' = \frac{M''(x)}{EI}$. Para obtener el modelo real hay que emplear la ecuación de los tres trae exacta: $\frac{y''}{(1+y'^2)^{3/2}} = \frac{M(x)}{EI}$

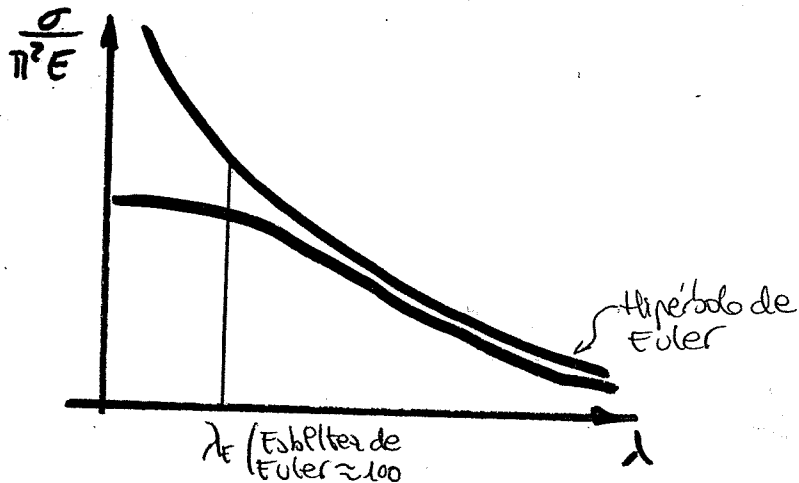
Al resolver la EDO correspondiente a la aplicación de la ecuación de los tres trae exacta tiene que $P_{crit real} < P_{crit Euler}$

Para diseñar se emplea la carga admisible a pandeo que se obtiene a través del coeficiente de seguridad a pandeo "n", de la siguiente manera:

$$P_{adm \text{ pandeo}} = \frac{P_{crit Euler}}{n}, \quad n > 1$$

$$n = \frac{\sigma_e}{\sigma_{adm}} = \frac{\sigma_c}{\sigma_{adm}}$$

Volviendo al concepto "hipérbola de Euler" $\frac{\sigma}{\pi E^2} = \frac{1}{\lambda^2}$



Observaremos que para $\lambda < \lambda_E$ no desviaremos notoriamente del modelo de Euler

Deberemos aplicar el método de los coeficientes "X"

MÉTODO DE LOS COEFICIENTES "X"

$$\lambda < \lambda_E$$

Se trata de determinar por tablas un coeficiente X que reduce el área cepel de rotación a compresión \Rightarrow Traducimos el efecto de pandeo en una reducción de la sección \rightarrow Una columna resiste una carga de compresión, P , si

$$\sigma = \frac{P}{\chi A} \leq \frac{\sigma_{adm}}{\chi_e} \neq \sigma_e \text{ (tablas)}$$

Obtenido empíricamente
en ensayo a compresión

Método

a) Calcular esbelteces λ_y, λ_z $\left\{ \lambda_y = \frac{l_y^2}{i_y}, \lambda_z = \frac{l_z^2}{i_z} \right.$

b) Calcular la esbeltez de Euler: $\lambda_E = \sqrt{\frac{\pi E}{\sigma_e}}$

y los esbelteces reducidos $\bar{\lambda}_y = \lambda_y / \lambda_E$; $\bar{\lambda}_z = \lambda_z / \lambda_E$

c) Determinar, a partir del tipo de sección, y el eje de pandeo la curva de pandeo, que puede ser a₀, a, b, c, d (Pág 15 tablas) o conocer g.

d) Encontrar el valor de X a partir de $\bar{\lambda}$ y g (Pág 14 tablas).

También se puede calcular X a partir de $\bar{\lambda}$ y g con la expresión analítica de la pág. 12.

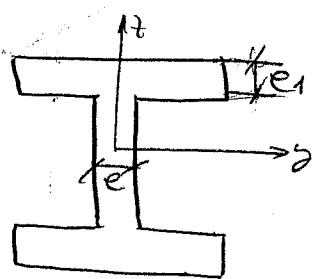
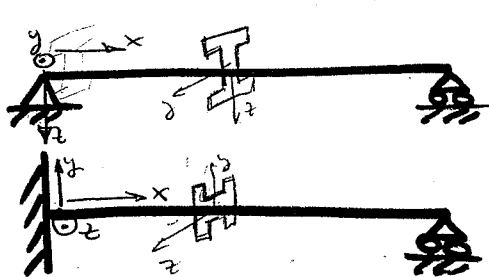
$$N_{crit} = \sigma_{adm} A X$$

Ejercicio

Una columna de sección HEBD-300 colocada como se indica en la figura tiene longitud $l = 8\text{ m}$

Los apoyos en el plano xz son articulados y en xy , articulado y empotrado.

El material es acero S235, comprobar si la columna resiste 200 kN



$$a) \lambda_y, \lambda_z \quad \text{apoyado/apoyado}$$

$$\lambda_y = \frac{l_{pz}}{i_y} \rightarrow \left\{ \begin{array}{l} l_{pz} = l = 8\text{ m} \\ i_y = (\text{I}_{x\text{entables}}) = 13\text{ cm} \end{array} \right. \rightarrow \lambda_y = \frac{800}{13} = 61,54$$

$$\lambda_z = \frac{l_{pz}}{i_z} \rightarrow \left\{ \begin{array}{l} l_{pz} = 0,7 \cdot l = 0,7 \cdot 8 \\ i_z = (\text{I}_{y\text{entables}}) = 7,58\text{ cm} \end{array} \right. \rightarrow \lambda_z = \frac{0,7 \cdot 800}{7,58} = 73,88$$

?

yo trabajé con λ_z pero de

Hay que aplicar aquí el método de los coeficientes!!!

b)

$$\lambda_E = \pi \sqrt{\frac{E}{\sigma_{c1}}} = \pi \sqrt{\frac{210.000}{225}} = 95,89 > \lambda_y$$

$$> \lambda_z$$

Tables en función de E o σ_{c1} (coge 19, el mayor)

$$\lambda_y = 0,64$$

$$\lambda_z = 0,77$$

c) Tables pág 15 → Perfiles laminados en I

$$\frac{h}{b} = \frac{300}{300} = 1 < 1,2$$

$$y \Rightarrow b \quad (\gamma = 0,34)$$

$$t = 19\text{ mm} < 100\text{ mm}$$

$y \Rightarrow$ curva de pendeo

$$z \Rightarrow c \quad (\gamma = 0,49)$$

Es lo mejor !!

$$d) \chi_y = 0,81$$

$$\chi_z = 0,67$$

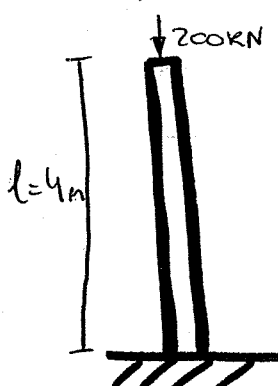
$$N_{crit} = \sigma_{adm.} \cdot A \chi \Rightarrow N_{crit}(y) = 225 \cdot 149,1 \cdot 10^2 \cdot 0,81 = 2,72 \text{ MN}$$

Especial T1

Se quiere dimensionar un soporte de longitud $l = 4\text{m}$ que esté sometido a una carga $P = 200\text{kN}$ en su extremo superior (libre para desplazarse transversalmente) y empotrado en su parte inferior. Para dimensionamiento se usará sección anular de $\phi_{ext} = D = 20\text{cm}$

Determinar espesor mínimo, redondeando a un número entero en mm, para que no exista riesgo de poldeo.

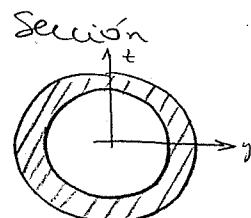
DATOS: Acero S275; $\sigma_{adm} = 180\text{MPa}$; $E = 2,1 \cdot 10^5\text{MPa}$



Aplico método Euler $(l_p = 2l)$; $\lambda = \frac{l_p}{i}$

$$\sigma_{crit} = \frac{\pi^2 EI}{4l^2}$$

$$\sigma_{crit} = \frac{\pi^2 E}{\lambda^2}$$



Vamos a calcular I , dependiente del espesor

Sustituyendo en $\sigma_{crit} = n \sigma_{adm}$ $\boxed{n \sigma_{adm} = \frac{\pi^2 E I(c)}{4l^2}}$ sacaremos e_{min}

$$n = \frac{\sigma_e}{\sigma_{adm}} = \frac{275}{180} \quad (\text{es espesor mínimo } e < 16\text{mm}) \rightarrow n = 1,527$$

$$I = \frac{1}{4} (R_e^4 - R_i^4) \pi = \frac{\pi}{4} \left(\frac{D^4}{16} - \frac{D_i^4}{16} \right) = \frac{\pi}{64} (D^4 - (D-2e)^4) = \frac{\pi}{64} (200^4 - (200-2e)^4) \text{ mm}^4$$

$$\textcircled{1} \quad 1,527 \cdot \underbrace{200.000}_{\text{area aplica}} = \left(\underbrace{\frac{\pi}{64} (200^4 - (200-2e)^4)}_I \right) \frac{\pi^2 \cdot 2,1 \cdot 10^5}{4 \cdot 4000^2}$$

$$200^4 - (200-2e)^4 = \frac{1,527 \cdot 7 \cdot 10^5 \cdot 4 \cdot 4000^2 \cdot 64}{\pi^3 \cdot 2,1 \cdot 10^5} \quad , \quad e = 3,149 \text{ mm}$$

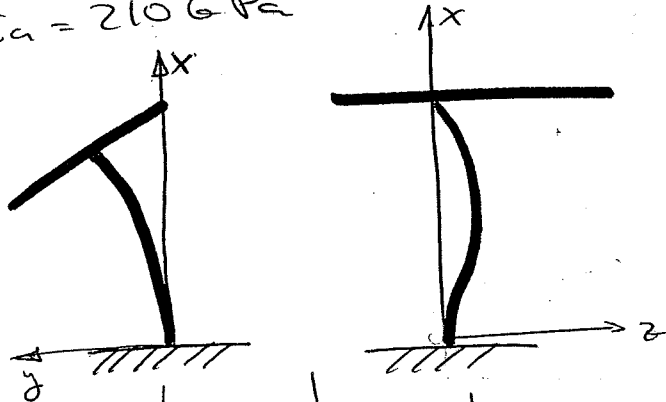
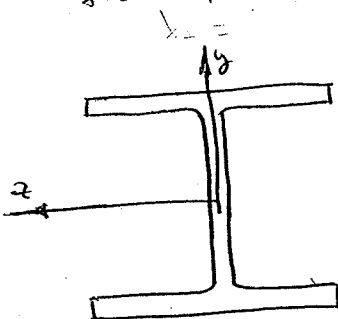
Redondeando

$$\boxed{e = 4\text{mm}}$$

Especial T1

La marquesina de la figura, compuesta por un pilar HEB-180 de 4 m de altura orientado en los ejes de la figura, y una placa forma superior, se puede deformar en el plano XY y en el XZ según las formas representadas. Ante una carga vertical incremental, se pide determinar en cuál de los planos se producirá el pandeo del pilar y el valor de la Ruit de Euler.

Datos: Acero : $E_a = 210 \text{ GPa}$



$$P_c = \frac{\pi^2 E I}{l_p} = \frac{\pi^2 E A}{\lambda^2}$$

$$\lambda = \lambda_{\max} (\lambda_x, \lambda_y)$$

$$l = 400 \text{ cm}$$

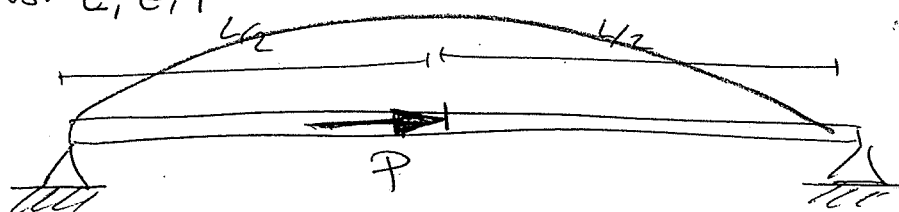
$\lambda_x = 2l \text{ (por dibujo)}$ $i_x = 7,66 \text{ cm}$ $\lambda_x = \frac{400 \cdot 2}{7,66} = 104,44$	$\lambda_y = 0,7l \text{ (por dibujo)}$ $i_y = 4,57 \text{ cm}$ $\lambda_y = \frac{0,7 \cdot 400}{4,57} = 61,27$
---	--

Como $\lambda_x > \lambda_y \rightarrow P_{crit} (\lambda_x)$ Pandeera en plano XY.

$$P_c = \frac{\pi^2 E A}{\lambda_x^2} = \frac{\pi^2 \cdot 210 \cdot 10^3 \cdot 65,3 \cdot 10^2}{104,44} = 1241 \text{ KN}$$

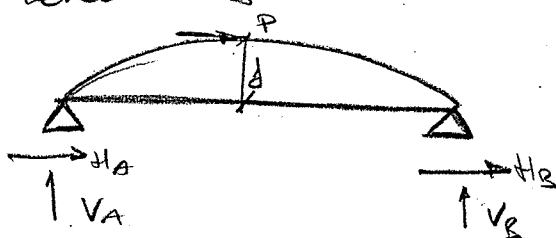
Calcular el valor crítico de la carga horizontal P aplicada en la sección media de la barra, sabiendo que la sección constante indicada en la figura, suponiendo que ambos apoyos son fijos.

Datos: L, E, I



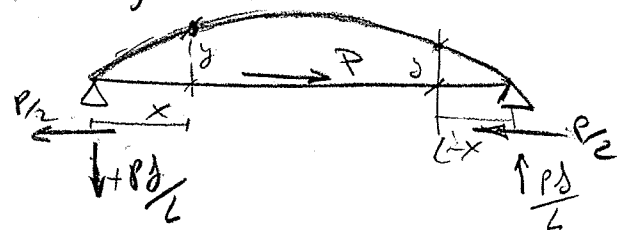
No se ninguno de los apoyos es librado

Tenemos que resolver la EDO



$$\begin{aligned} \sum F &= 0 \rightarrow H_A + H_B + P = 0 \\ \sum M &= 0 \rightarrow -P\frac{L}{2} + V_B \cdot L = 0; V_B = \frac{P}{2} \\ &\text{Por simetría } H_A = H_B = -\frac{P}{2} \end{aligned}$$

Ley de momentos



$$y'' = \frac{M}{EI}$$

$$M(x) = -\frac{P}{2}x + \frac{P}{2}y; (x < \frac{L}{2})$$

$$M(x) = \frac{P}{2}(L-x) - \frac{P}{2}y \quad (x > \frac{L}{2})$$

Se resuelve

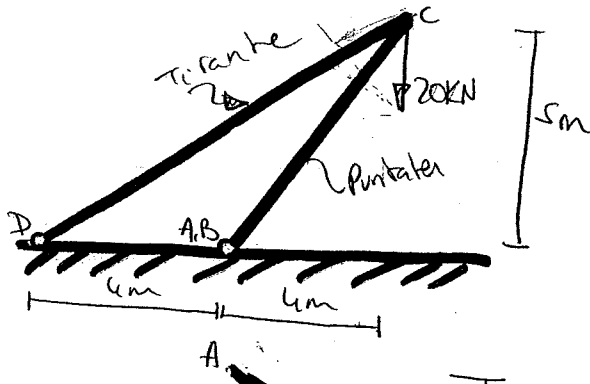
$EIy'' = M$ y se aplican a contorno

Especial T1

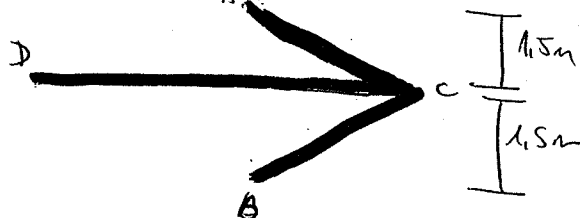
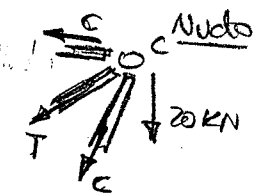
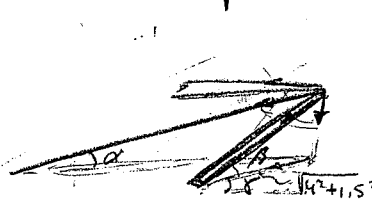
Dos puentes de madera AC y BC { ver figura
Tirante de acero DC

Punteral: sección cuadrado { del extremo C wedge un peso de
Tirante: " circular " 20KN - se pide:

a) Diametro del tirante si $\sigma_{adm} = 60 \text{ MPa}$ para el acero



Necesito saber qué esfuerzo normal este soportando el tirante



$$\left\{ \frac{8T}{\sqrt{89}} + \frac{8C \cdot 2}{\sqrt{173}} = 0 \right. \quad | \cdot 5$$

$$\frac{5T}{\sqrt{89}} + \frac{10C \cdot 2}{\sqrt{173}} = -20 \cdot 10^3$$

$$\frac{10C}{\sqrt{173}} - \frac{20C}{\sqrt{173}} = +2\phi \cdot 10^3 ; \quad -C = +2 \cdot 10^3 \sqrt{173} \\ C = -26,306 \text{ kN}$$

$$T = 37,74 \text{ kN} \quad T = \frac{26,306 \cdot 2}{\sqrt{173}} \cdot \sqrt{89}$$

$$\sum F_x = 0 \quad \left\{ \begin{array}{l} T \cos \alpha + 2C \cos \beta \cdot \cos \gamma = 0 \\ \frac{8}{\sqrt{8^2+5^2}} + \frac{14^2+1,5^2}{\sqrt{14^2+1,5^2+5^2}} = 0 \end{array} \right.$$

$$F_y = 0 = 0$$

$$\sum F_z = T \sin \alpha + 2C \sin \beta + 20000 = 0$$

$$\frac{5}{\sqrt{8^2+5^2}} + \frac{5}{\sqrt{14^2+1,5^2+5^2}}$$

$$\frac{5T}{\sqrt{8^2+5^2}} + \frac{10C}{\sqrt{14^2+1,5^2+5^2}} - 20000 = 0$$

Tirante

$$T = 37,74 \text{ kN} =$$

28,3 mm

$$\sigma_{adm} = \frac{T_{adm}}{A} = \frac{37,74 \cdot 10^3}{\pi \cdot \frac{D^2}{4}} = 60 ; \quad \boxed{D = 28,3 \text{ mm}}$$

2) Lado de la sección de los puentes sabiendo que su tensión crítica teórica de pandeo tiene como expresión en función de su esbeltez λ :

$$\sigma_{ct} = 29,3 - 0,194\lambda \text{ (MPa)} \quad \lambda < 100 \quad n = 11$$

$$\sigma_{ct} = 99000 / \lambda^2 \text{ (MPa)} \quad \lambda > 100$$

cuando tienen un
esbeltez menor
que el visto

Si tuvieran un
apoyo



$$I = \frac{1}{12} a^3 a$$

$$\lambda = \frac{l_p}{a} = \frac{L}{\sqrt{\frac{I}{A}}} = \frac{L}{\sqrt{\frac{1}{12} a^3 a / a^2}} = \frac{L \sqrt{12}}{a}$$

$$\lambda = \frac{519}{a} \Rightarrow \lambda^2 = \frac{519}{a^2}$$

Los puentes soportan $C = 26,303 \cdot 10^3 N = \sigma_{adm} A = \sigma_{adm} \cdot a^2$

$$\sigma_{adm} = \sigma_{teóric} / 11 \Rightarrow \sigma_{teóric} = \frac{26,303 \cdot 10^3}{a^2} \cdot 11 = \begin{cases} = 29,3 - 0,194 \cdot \lambda & (1) \\ = 99000 / \lambda^2 & (2) \end{cases}$$

$$\text{Aplicando (1)} \Rightarrow \frac{26,303 \cdot 10^3}{a^2} \cdot 11 = 29,3 - 0,194 \cdot \frac{519 \cdot 10^3}{a}$$

$$a = 200,17 \text{ mm} \rightarrow \lambda = 113,8 > 100 \leftarrow \text{No válido}$$

$$\text{Aplicando (2)} \Rightarrow \frac{26,303 \cdot 10^3}{a^2} \cdot 11 = \frac{99000}{\lambda^2} = \frac{99000}{\frac{L^2 \cdot 12}{a^2}} = \frac{99000 a^2}{12 \cdot (4^2 + 1,5^2 + 5^2) \cdot 10^6}$$

$$a^4 = \frac{26,303 \cdot 10^3 \cdot 11 \cdot 12 (43,25) \cdot 10^6}{99000}$$

$$\lambda^2 = \frac{L^2 \cdot 12}{a^2}$$

$$\boxed{a = 197,35 \text{ mm}}$$

$$\lambda = 115,44 > 100 \text{ (válido)}$$

→ Dos barras de acero de sección recta cuadrada (3cm lados)

A,C apoyos fijos, B=rótula \Rightarrow BARRAS BIAPOYADAS

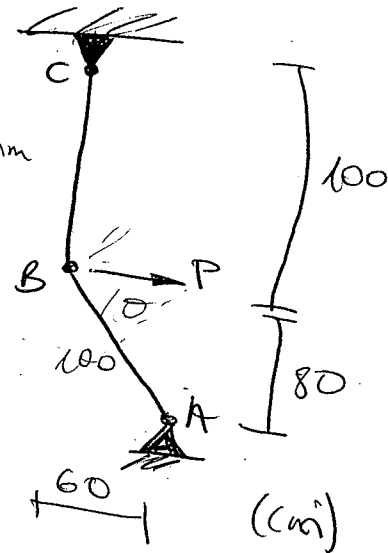
Galerter Point para la cual se alcanza la inest. según Euler

$$E = 210 \cdot 10^9 \text{ Pa}, \sigma_e = 200 \text{ MPa}$$

$$P_c = \frac{\pi^2 EI}{l_p^2} = \frac{\pi^2 \cdot 210 \cdot \frac{1}{12} a^4}{l^2} \quad ; \quad a = 3 \text{ cm} = 30 \text{ mm}$$

$$l_p = l$$

¿Cuál de los dos barras pondrá primero? La que este sometida a más P, por igualdad de $\lambda = \frac{l_p}{\sqrt{\frac{E}{A}}}$



Equiv a nodo B

$$\begin{aligned} & N_{BC} \uparrow \\ & P \rightarrow \\ & N_{AB} \downarrow \quad | \quad P + N_{AB} \cdot \cos \theta = 0 \\ & N_{BC} - N_{AB} \sin \theta = 0 \end{aligned}$$

Pondrá $N_{AB} > N_{BC}$ \leftarrow AB

$$\left\{ \begin{array}{l} N_{AB} = \frac{-P}{\cos \theta} = \frac{-P}{\frac{60}{100}} = -\frac{5P}{3} \\ N_{BC} = -\frac{5P}{3} \cdot \frac{8}{10} = -\frac{4P}{3} \end{array} \right.$$

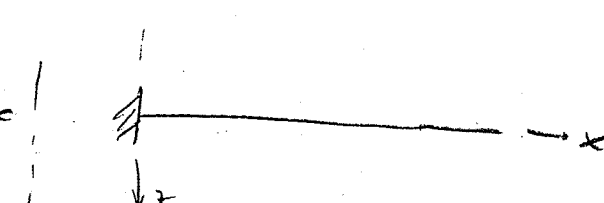
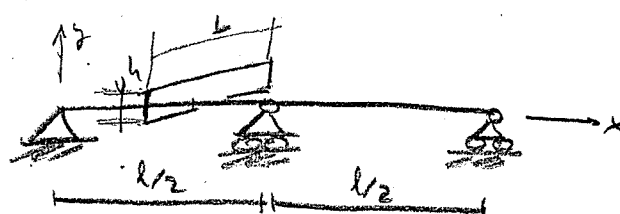
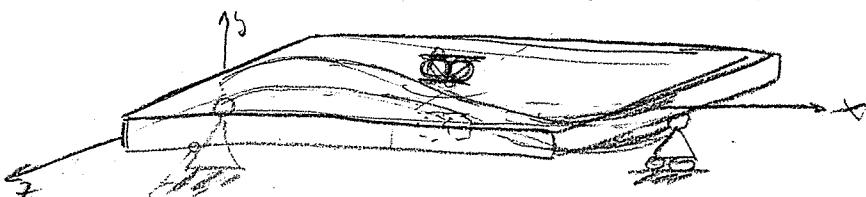
$$P_c = \frac{5P}{3} = \frac{\pi \cdot 210 \cdot \frac{1}{12} \cdot 30^4}{100^2} \Rightarrow P_c \approx 84 \text{ RN}$$

Comp. si $\lambda \geq \lambda_e$

$$\lambda = \frac{l_p}{\sqrt{\frac{E}{A}}} = \frac{100}{\sqrt{\frac{210 \cdot 10^9}{12 \cdot 30^4}}} = \frac{100 \sqrt{12}}{30} = 115,47 \quad \left. \begin{array}{l} \lambda > \lambda_e \\ \downarrow \\ \text{Valores aplic. Euler} \end{array} \right\}$$

$$\lambda_e = \sqrt{\frac{E}{\sigma_e}} = \sqrt{\frac{210 \cdot 10^9}{200}} = 101,799$$

→ Una columna elíptica articulada en los extremos, de sección rectangular $b \times h$ está soportada lateralmente en la dirección de menor dimensión por rodillos en su punto medio C, pero desliza libremente en la dirección normal al papel. Hallar la relación b/h para que la resist. al pandeo sea la misma en ambos planos principales.



$$P_c = \frac{\pi^2 E I}{l_p^2} \quad \left\{ \begin{array}{l} I = \frac{1}{12} b h^3 \\ l_p = \frac{1}{2} e \end{array} \right. \quad \text{3 x apoyados}$$

$$\int y^2 dA = \int_{-\frac{h}{2}}^{\frac{h}{2}} y^2 b dy = b \frac{y^3}{3} \Big|_{-\frac{h}{2}}^{\frac{h}{2}} = \frac{1}{3} b \frac{h^3}{8} \cdot 2 = \frac{1}{12} b h^3$$

$$P_c = \frac{\pi^2 E \frac{1}{12} b h^3}{(\frac{1}{2} e)^2}$$

$$P_c = \frac{\pi^2 E I_z}{l_p^2} \quad \left\{ \begin{array}{l} I_z = \frac{1}{12} h b^3 \\ l_p = 2e \end{array} \right.$$

$$\frac{\pi^2 E \frac{1}{12} h b^3}{4 e^2} = P_c$$

$$\frac{\pi^2 \frac{1}{12} b h^3 \cdot 4}{e^2} = \frac{\pi^2 \frac{1}{12} b^3 h}{4 e^2}, \quad 4h^2 = \frac{b^2}{4}, \quad \frac{b}{h} = \sqrt{16} = 4$$

$$\frac{b}{h} = 4; b > h$$

$$y = -\frac{96}{4} x = -24 x^2$$

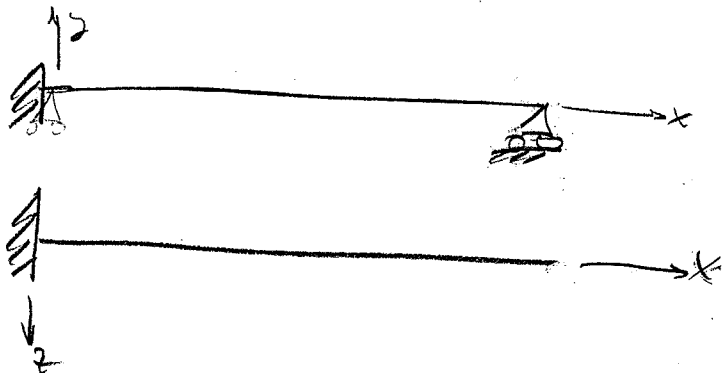
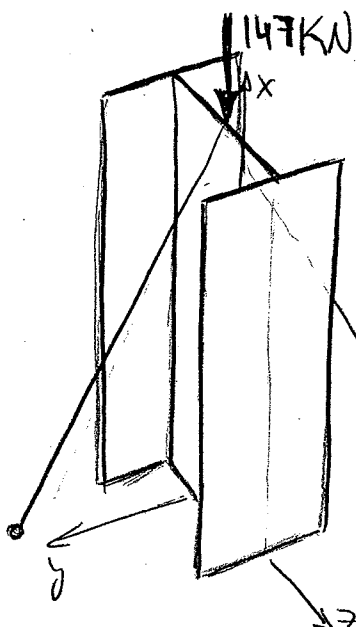
Si hubieran considerado $h \geq b$

$$(x, y) \Rightarrow I_z = \frac{1}{12} b h^3; \quad \frac{\pi^2 \frac{1}{12} b^3 h}{e^2} \quad \left\{ \begin{array}{l} \frac{b^2 h}{e^2} = \frac{h^2}{4 e^2}; \quad \frac{b^2}{h^2} = \frac{1}{16} \\ \frac{b}{h} = \frac{1}{4} \end{array} \right.$$

$$(x, z) \Rightarrow I_z = \frac{1}{12} b h^3; \quad \frac{\pi^2 \frac{1}{12} b h^3}{4 e^2}$$

Comunica

El pilar articulado de la figura está empotrado en su base inferior y sometido a la carga en punta indicada (que incluye la tensión de los cables). Determinar su altura máxima si el perfil es HEB 140 de acero S235.



$$\begin{aligned} & P_{6mn}(x,y) \rightarrow P_c(l) \\ & P_{paso}(x,z) \rightarrow P_c(l) \end{aligned} \quad \left. \begin{array}{l} \text{Cojo lo mayor} \\ \text{e iguala a } 147 \text{ kN} \\ \Rightarrow l \end{array} \right\}$$

$$(x,y) \quad P_c = \frac{\pi^2 EI}{l_p^2} = \frac{\pi^2 EA}{\lambda_z^2}, \quad \lambda_z = \frac{l_{pz}}{l_p} = \frac{0,7l}{3,58 \cdot 10} = 0,01955l \quad \left. \begin{array}{l} \text{"isentable a cm} \\ \text{en km} \end{array} \right\}$$

$$(x,z) \quad P_c = \frac{\pi^2 EA}{\lambda_y^2} \quad \lambda_y = \frac{l_{py}}{l_p} = \frac{2l}{5,93 \cdot 10} = 0,03373l \quad \left. \begin{array}{l} \text{"isentable a cm} \\ \text{en km} \end{array} \right\} \lambda_z > \lambda_y$$

Plano de pondeo \rightarrow El de menor $P_c \rightarrow$ El de mejor $\lambda \rightarrow \lambda_y \rightarrow$ xz

$$\text{Por dato} \quad 147 \cdot 10^3 = \frac{\pi^2 E A}{\lambda_y^2} = \frac{\pi^2 \cdot 210 \cdot 10^3 \cdot 43 \cdot 10^2}{0,03373^2}$$

$$l^2 = \frac{\pi^2 \cdot 210 \cdot 10^3 \cdot 43 \cdot 100}{147 \cdot 10^3 \cdot 0,03373^2}$$

$$\begin{aligned} E &= 210 \cdot 10^3 \text{ KPa} \\ A &= 43 \text{ cm}^2 \end{aligned}$$

$$\rightarrow l = 7300 \text{ mm} = 7,3 \text{ m}$$

$$\lambda = 142,7$$

$$\lambda_e = \sqrt{\frac{E}{G_e}} \pi = \sqrt{\frac{210 \cdot 10^3}{235}} \pi = 93$$

$\lambda > \lambda_e \rightarrow$ Aplicable el método

Aplicando coef. de seguridad veremos

$$P_{adu} = 147 \cdot 10^3 N = \frac{P_{crit}}{\lambda} \Rightarrow P_{crit} = P_{adu} \cdot \lambda = P_{adu} \frac{\sigma_e}{\frac{P \cdot E}{\lambda^2}}$$

$$\underline{P_{crit} = A \sigma_e} = 1,0105 \cdot 10^6$$

\checkmark ESTA MAL

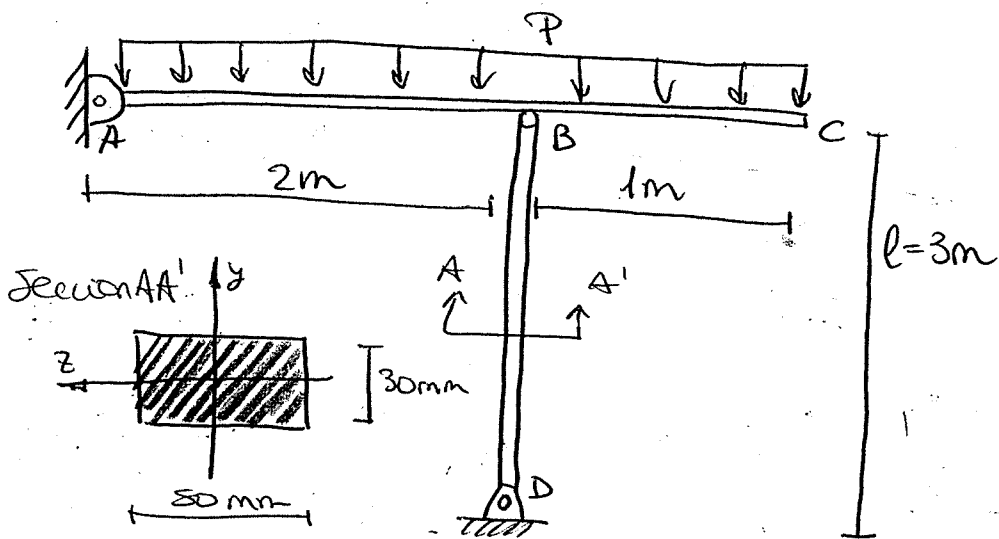
$$P_{crit} = \frac{\pi^2 E A}{\lambda^2} = 147 \cdot 10^3 \cdot \frac{235}{\frac{\pi E}{\lambda^2}}$$

$$\frac{\pi^2 210 \cdot 10^3 \cdot 43 \cdot 10^6}{\lambda^2} = 147 \cdot 10^3 \frac{235 \lambda^2}{\pi \cdot 210 \cdot 10^3} \rightarrow \lambda = 114,24$$

$\lambda > \lambda_e \rightarrow$ Ajustable

EJERCICIOS PANDEO (Resis II)

Examen 18-02-2005. Problema



Barra AC: Viga doble T de acero ancha (HEA)

Barra BD: Columna de acero sección AA'

Plano XZ: Biarticulado
Plano XY: Biensuñad

① Plano posible de pandeo

El plano posible de pandeo será el de mayor λ

Plano XY

$$\text{dado } l=3 \text{ m} \Rightarrow \lambda_z = \frac{l_p}{i_z} \Rightarrow \begin{cases} l_p = 0,5l = 1,5 \cdot 10^3 \text{ mm} \\ i_z = \sqrt{\frac{I_z}{A}} = \sqrt{\frac{\frac{1}{12} \cdot 50 \cdot 50^3}{50 \cdot 30}} = 8,66 \text{ mm} \end{cases} \rightarrow \lambda_z = 173,21$$

Plano XZ

$$\Rightarrow \lambda_y = \frac{l_p}{i_y} \Rightarrow \begin{cases} l_p = l = 3 \cdot 10^3 \text{ mm} \\ i_y = \sqrt{\frac{I_y}{A}} = \sqrt{\frac{\frac{1}{12} \cdot 30 \cdot 50^3}{30 \cdot 50}} = 14,43 \text{ mm} \end{cases} \rightarrow \lambda_y = 207,85$$

Como $\lambda_y > \lambda_z$, el posible plano de pandeo es el XZ

② Calcular P máxima para que BD no pandee; aplicando:

a) La fórmula de Euler en el caso que sea aplicable

b) Método coeficiente

a)

Calcular esbeltez de Euler

$$\lambda_E = \sqrt{\frac{E}{S_e}} \pi = \sqrt{\frac{200 \cdot 10^3}{260}} \pi = 87,13$$

Acero A42

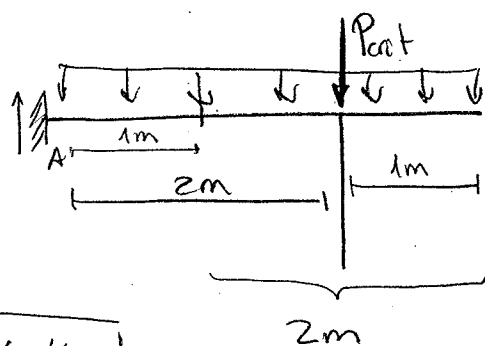
$$E = 200 \text{ GPa}$$

$$S_e = 260 \text{ MPa}$$

$$\sigma_{adm} = 150 \text{ MPa}$$

Como $\lambda_y > \lambda_E$ podemos aplicar Teoría de Euler

$$P_{crit} = \frac{\pi^2 E A}{\lambda_y^2} = 68,54 \text{ KN}$$



Tomando momentos en A

$$(3p) 1,5 = P_{crit} \cdot 2 \quad \boxed{P_{max} = 30,46 \text{ KN}}$$

③ Métodos de los coeficientes

$$\text{Esbeltez redondeada} \quad \bar{\lambda}_y = \frac{\lambda_y}{\lambda_E} = \frac{207,85}{87,13} = 2,38$$

$$\text{Tablas} \longrightarrow c \longrightarrow \varphi = 0,49 \longrightarrow \chi = 0,14$$

$$N = \frac{150 \cdot 10^6}{\text{Pa}} \cdot \frac{1,5 \cdot 10^{-3}}{\text{m}^2} \cdot 0,14 = 31,5 \text{ KN}$$

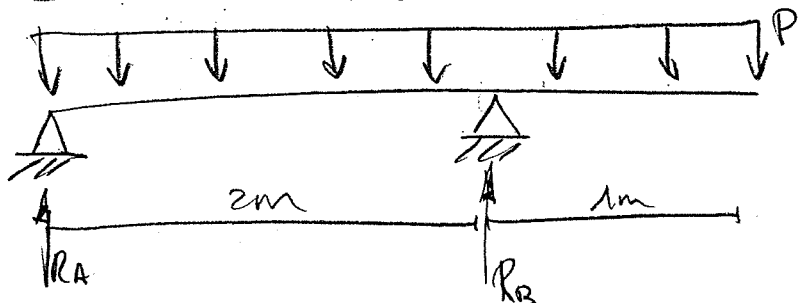
De nuevo

$$(3p) 1,5 = N_{crit} \cdot 2, \quad \boxed{P_{max} = 14 \text{ KN}} \quad \leftarrow \begin{array}{l} \text{Método} \\ \text{más seguro} \end{array}$$

$$n = \frac{P_{crit}}{N_{crit}} = \frac{68,54}{31,5} = 2,18$$

$$N_{Euler} = 1$$

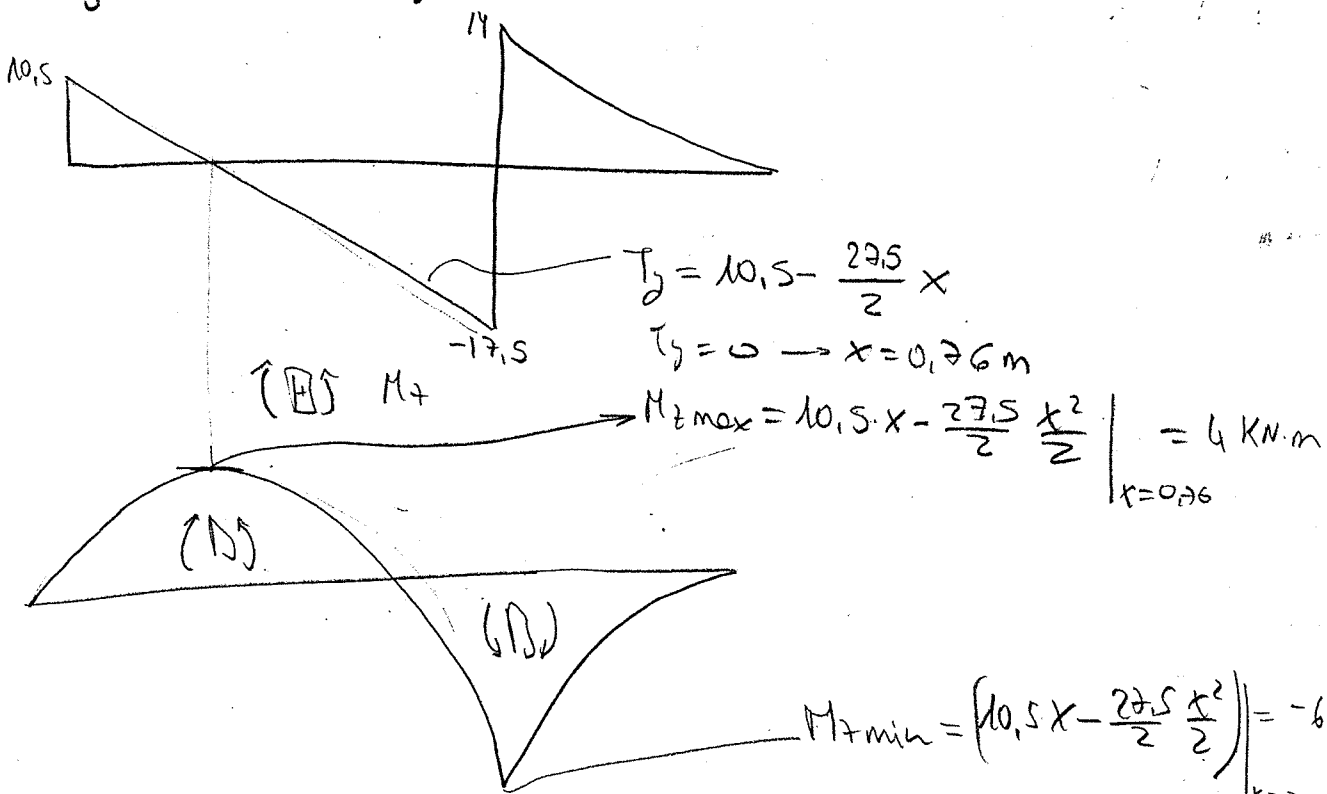
③ Determinar perfil de la doble T (IHEA) si $S_{adm} = 150 \text{ MPa}$



Usamos los valores dimensionados por el método de coeficiente

$$q = 14 \text{ kN/m} ; R_B = N_{cnf} = 31.5 \text{ kN} ; R_A = P \cdot 3 - R_B = 10.5 \text{ kN}$$

Diagramas T_B T_y



$$|\sigma_{\max}| = \frac{6.5 \cdot 10^6}{W} < 150 \text{ MPa} ; W \geq 43,33 \text{ cm}^3$$

IHEA-100

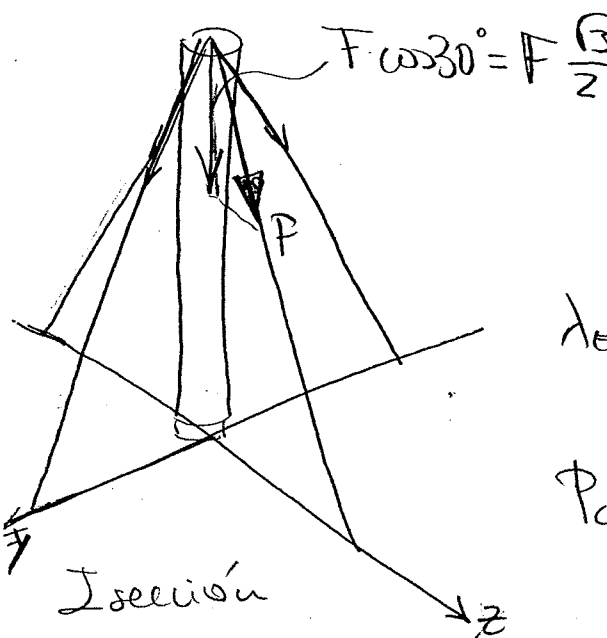
1-07-2005 CUESTIÓNS

Mástil cilíndrico de 50m $\phi = 300 \text{ mm}$

cable arriba

F_{\max} para pendio

$$E = 70 \text{ GPa}$$



$$l = \frac{l_p}{i} \Rightarrow \begin{cases} l_p = l = 50 \text{ m} \\ i = \sqrt{\frac{I}{A}} = \sqrt{\frac{\pi \cdot \phi^4}{32 \cdot \phi^2}} = \frac{\pi \phi^2}{4\sqrt{2}} = 0,106 \end{cases}$$

Apojado-apoyado

$$\underline{\underline{l = 471,405}}$$

$$\lambda_E = \sqrt{\frac{E}{G_e}} \pi \quad \text{no conocemos } G_e, \text{ aplicamos}$$

$$P_c = \frac{\pi^2 E I}{l_p^2} = \frac{\pi^2 \cdot 70 \cdot 10^3 \cdot \frac{\pi}{64} \cdot 300^4}{(50 \cdot 10^3)^2} = 109,88 \text{ kN}$$

$$\left\{ \begin{array}{l} I_y = I_z \\ I_o = \frac{\pi}{32} \phi^4 = \frac{1}{2} (I_x + I_y + I_z) = \frac{1}{2} (I_x + 2I_y), \quad I_s = \frac{1}{2} I_o = \frac{1}{2} \frac{\pi}{32} \phi^4 = \frac{\pi}{64} \\ I_{xy} = I_{xz} = I_{xy} + I_{yz} = I_x \\ I_{xy} = I_{xz} = I_{xy} + I_{yz} = I_{xy} + I_{yz} \end{array} \right.$$

$$P_c = 4F \frac{\sqrt{3}}{2}, \quad \underline{\underline{F_{\max} = \frac{P_c}{2\sqrt{3}} = 31,72 \text{ kN}}}$$

Gestión 5

10-2-2006

Perfil tubular 140 x 100 x 6 mm ($I_z = 690 \text{ cm}^4$, $I_y = 410 \text{ cm}^4$
 $s_2 = 26,1 \text{ cm}^2$)

Plano $\rightarrow E-E$
 Plano $\rightarrow E-L$

¿Qué plano debe ser el bienaportado para mejor comportamiento a penales?

Possibilidades } E-E Plano XY - $l_p = 0,5l$, $i_z = \sqrt{\frac{I_z}{A}}$; $\lambda_z = \frac{0,5l \cdot 10^2}{\sqrt{690/26,1}} = 9,72 l$ (m)

$l = \frac{l_p}{i}$ } E-L Plano XZ - $l_p = 2l$, $i_x = \sqrt{\frac{I_x}{A}}$; $\lambda_x = \frac{2l \cdot 10^2}{\sqrt{410/26,1}} = 50,46 l$ ↗

} E-E Plano XZ - $l_p = 0,5l$; $i_y = \sqrt{\frac{I_y}{A}}$; $\lambda_y = \frac{0,5l \cdot 10^2}{\sqrt{690/26,1}} = 12,62 l$

E-L Plano XY $\rightarrow l_p = 2l$, $i_z = \sqrt{\frac{I_z}{A}}$; $\lambda_z = \frac{2l \cdot 10^2}{\sqrt{690/26,1}} = 38,9 l$ ↗

La cabecera máxima se minimiza colocando pleno bienaportado en XZ y empotrado libre en XY

¿Altura máxima? Acero A-42, $\sigma_{adm} = 260 \text{ MPa}$

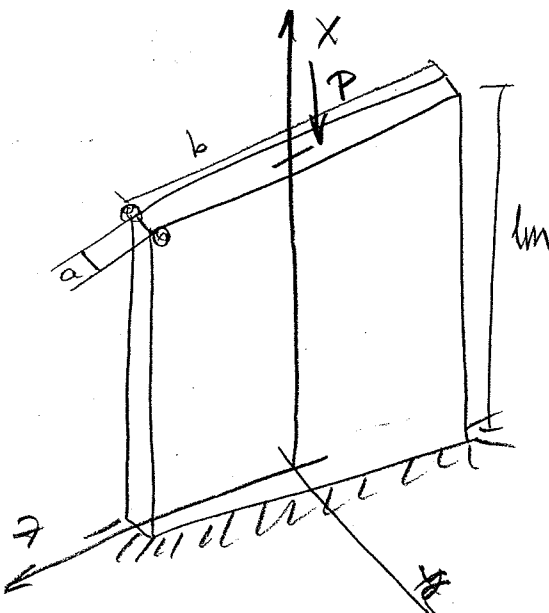
$$\lambda_E = \sqrt{\frac{E}{\sigma_e}} \quad \Rightarrow =$$

- Lo hace por método raro
 No tenemos σ_e de ese acero
 En tablas!!

Problema 2. [21/9/2007]

$L = 1\text{m}$. Base empotrada en y uno de los diámetros horizontales de su sección sup. impeditido

$P = 15\text{ kN}$. ¿ A_{\min} ? S235, $E = 210 \text{ GPa}$, $\sigma_{\text{adm}} = 200 \text{ MPa}$



$$I_{Pz} = 0,72L$$

$$I_{Py} = 2L$$

$$I_y = \sqrt{\frac{I_y}{A}} = \sqrt{\frac{\frac{1}{12}ab^3}{ab}} = \sqrt{\frac{b^2}{12}}$$

$$I_z = \sqrt{\frac{I_z}{A}} = \sqrt{\frac{\frac{1}{12}b^3a^3}{ab}} = \sqrt{\frac{a^2}{12}}$$

$$\lambda_y = \frac{2\ell\sqrt{12}}{b}$$

$$\lambda_z = \frac{a + \ell\sqrt{12}}{a}$$

Determinamos b

para minimizar sección basándose que ambos planos de pendiente tengan la misma resistencia a pendiente

$$\frac{2K\sqrt{E}}{b} = \frac{a + \ell\sqrt{12}}{a}, \quad 2a = 0,75$$

$$b = 2,86a$$

$$d_E = \sqrt{\frac{E}{\sigma_E}}, \quad I = \frac{2\ell\sqrt{12}\sqrt{\sigma_E}}{b\pi\sqrt{E}}$$

$$\frac{\sigma_{\text{adm}}}{200} \geq \frac{|N_{\text{crit}}|}{A\lambda} = \frac{15 \cdot 10^3}{2,86 \cdot \lambda}$$

perfil ?

$$c = 0,49$$

$b (\text{mm})$	$d_E (\text{MPa})$	I	λ	$A (\text{mm}^2)$	$N/A\lambda$
60	225	1,80	0,23	559,4	116
38	225	1,89	0,215	504,9	138
36	225	2,0	0,20	453,15	165
34	225	2,12	0,185	404,2	200

$$A_{\min} = 404,2 \text{ mm}^2$$

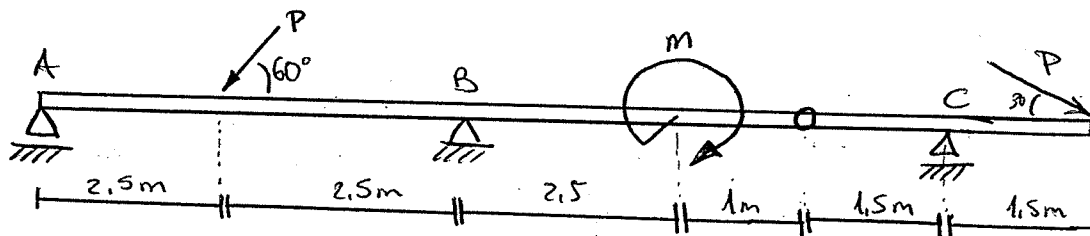
Exámenes

RESISTENCIA DE MATERIALES

(II)
LA MUERTE

EXAMEN 7-Feb-2003 Problema

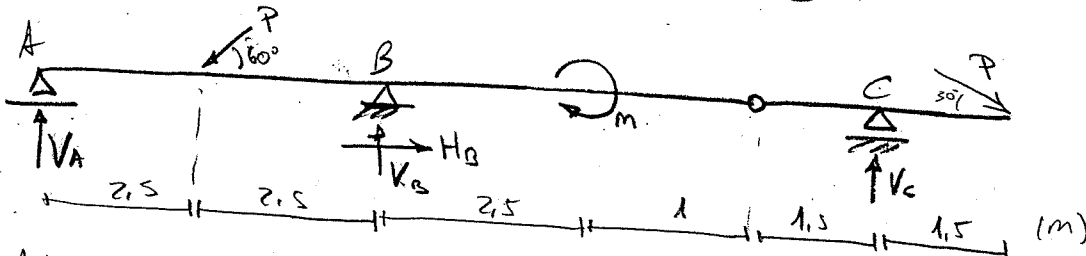
Resist



1º) Reacciones en A, B, C

Se trata de un sistema isostático ya que

$$GHI = (r-3) + (3c - e) = 4-3+0-1=0$$



Aplico ecuaciones de equilibrio estático

- $\sum F_H = 0 \rightarrow -P \cos 60^\circ + H_B + P \cos 30^\circ = 0 ; [H_B = P \left(\frac{1}{2} - \frac{\sqrt{3}}{2} \right) = -0,366 P]$
- $\sum F_V = 0 \rightarrow V_A + V_B + V_C - P \sin 60^\circ - P \sin 30^\circ = 0 \quad (*)$

Condición enlace: $\sum M_{rotura-derecha} = \sum M_{rotura-izq} = 0$

$$\sum M_{rot-derech} = V_c \cdot 1,5 - P \sin 30^\circ \cdot 3 = 0 ; [V_c = \frac{3P/2}{1,5} = P]$$

De nuevo, por equilibrio estático

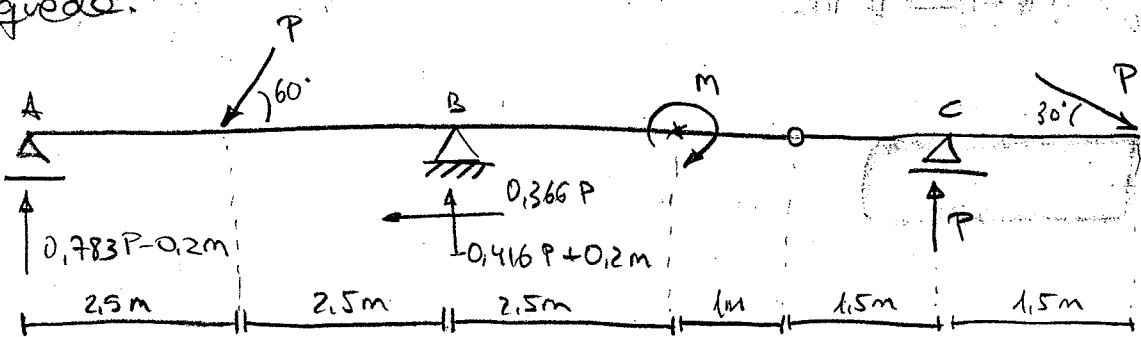
$$\sum M_B = 0 \rightarrow -V_a \cdot 5 + P \cdot \sin 60^\circ \cdot 2,5 - m + V_c \cdot 5 - P \sin 30^\circ \cdot 6,5 = 0$$

$$V_A = \frac{1}{5} \left(\frac{\sqrt{3}}{2} \cdot 2,5P - m + 5P - \frac{6,5}{2} P \right) \Rightarrow [V_A = 0,783P - 0,2m]$$

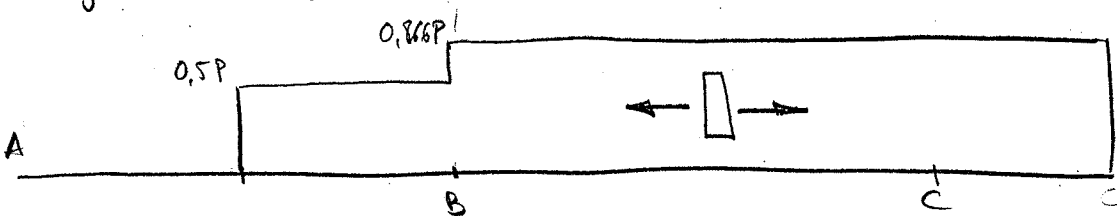
Aplicando (*) $V_B = P \sin 30^\circ + P \sin 60^\circ - V_A - V_c = P \left(\frac{1}{2} + \frac{\sqrt{3}}{2} - 0,783 - 1 \right) + 0,2m$

$$[V_B = -0,416P + 0,2m]$$

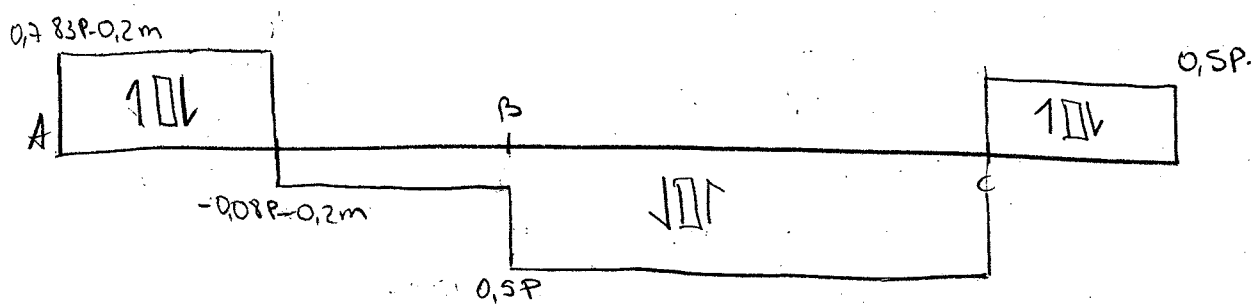
Dibujando la estructura de acero con las reacciones quedó:



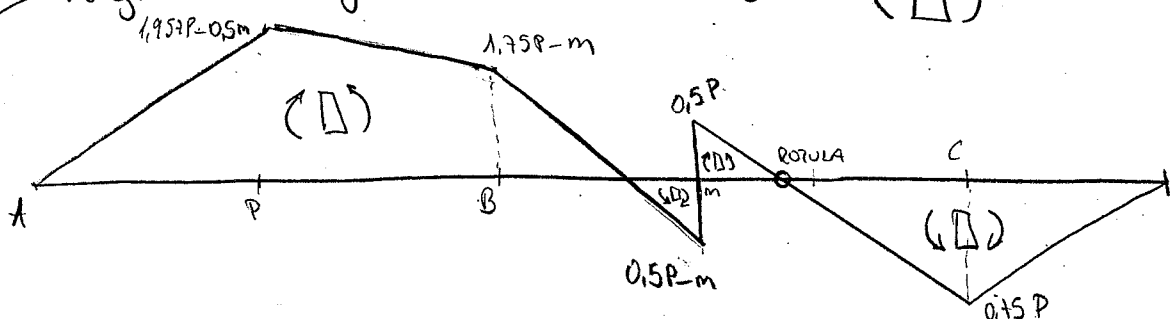
2º) Diagrama de esfuerzos normales Crit. signos $\rightarrow \square \rightarrow N^+$



3º) Diagrama de vortante Crit. de signos $1\square\downarrow T_s^+$



4º) Diagrama de flexión Crit. de signos $(\square)\uparrow M_t^+$



$$M_c = -P \cdot \sin 30 \cdot 1.5 = -0.75P$$

$$M_{ROTULA} = 0$$

$$M_m = -P \cdot \sin 30 \cdot 4 + P \cdot 2.5 = 0.5P \text{ (por la derecha)} \Rightarrow \text{Salto brusco por momentos puntual}$$

$$M_p = (0.783P - 0.2m) 2.5 = 1.957P - 0.5m$$

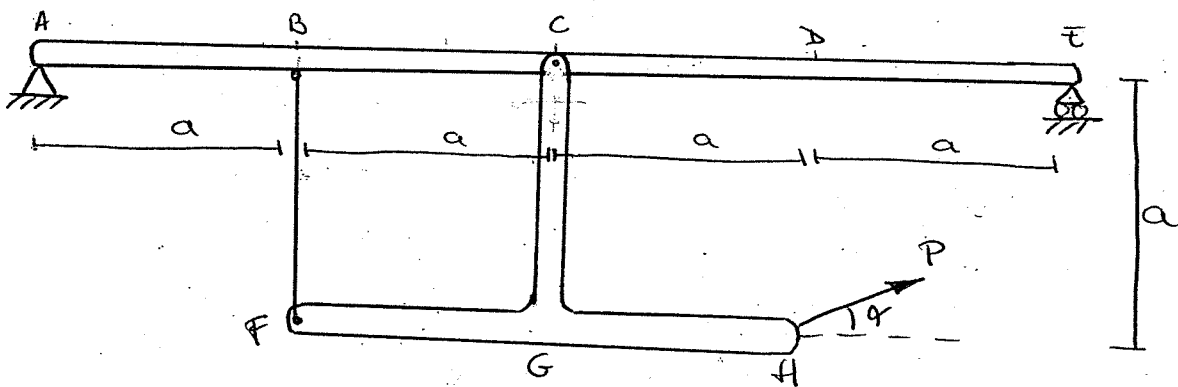
$$M_g = (0.783P - 0.2m) 5 - \sin 60^\circ P \cdot 2.5 = 1.75P - m$$

EXAMEN

18-Junio-2004

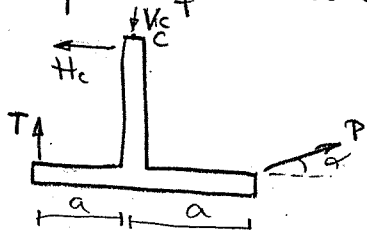
Rew F

Problema



1º) Determinar el intervalo de valores de φ para el cual el cable BF se mantiene en tensión.

Aplico equilibrio a la pieza CFGH



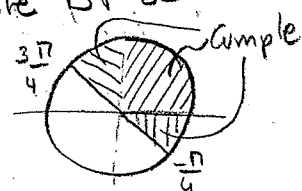
Por equilibrio estático

$$\sum F_H = 0 \rightarrow H_c = P \cos \varphi$$

$$\sum F_V = 0 \rightarrow T + P \sin \varphi = V_c \quad V_c = 2P \sin \varphi + P \cos \varphi$$

$$\sum M_c = 0 \rightarrow Td = P \sin \varphi \cdot d + P \cos \varphi \cdot a$$

Por tanto $T = P(\sin \varphi + \cos \varphi)$ y para que el cable BF se mantenga en tensión $\Rightarrow T > 0 \Rightarrow \sin \varphi + \cos \varphi > 0$

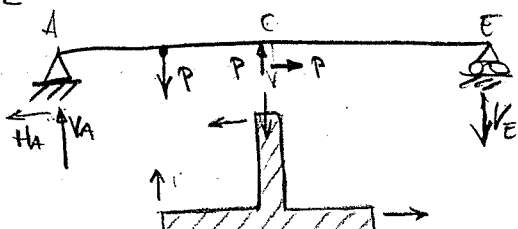


Por tanto

$$\frac{\pi}{4} < \varphi < \frac{3\pi}{4}$$

2º) Diagramas de esfuerzos normales, cortantes y momentos flectores en barra AE para: $\varphi = 0$; $\varphi = \frac{\pi}{4}$; $\varphi = \frac{\pi}{2}$

$$\boxed{\varphi = 0} \quad \begin{cases} T = P(\sin 0 + \cos 0) = P \\ V_c = 2P \sin 0 + P \cos 0 = P \\ H_c = P \cos 0 = P \end{cases}$$



Aplico equilibrio ^{estático} a la barra AE

$$\sum F_H = 0 \rightarrow P = H_A$$

$$\sum F_V = 0 \rightarrow V_A - P + P + V_E = 0$$

$$\sum M_A = 0 \rightarrow -Pa + P \cdot 2a - V_E \cdot 4a = 0; \quad V_E = \frac{+P}{4} \\ V_A = \frac{-P}{4}$$

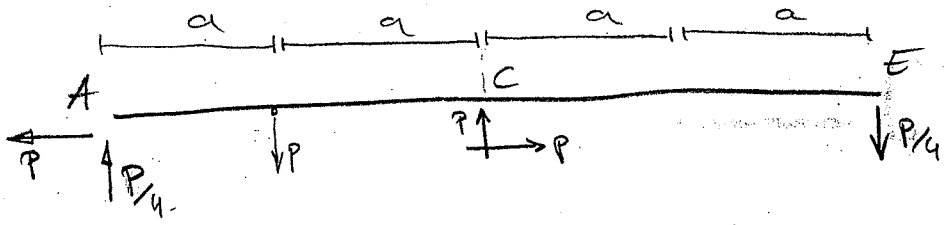


Diagrama esfuerzos normales $N \rightarrow N^{\oplus}$ (cif. signos) $\leftarrow \square \rightarrow$



Diagrama de cortantes $T \rightarrow T^{\oplus}$ (cif. signos) $\uparrow \square \downarrow$

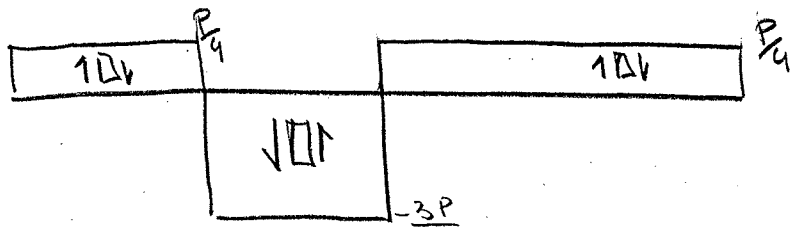
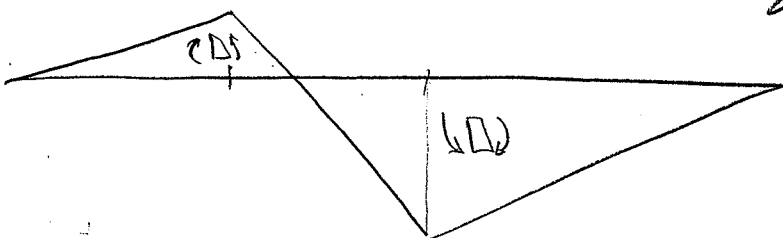


Diagrama de flecciones $M \rightarrow M^{\oplus}$ (cif. signos) (\square)

EXAMEN 13-06-2012

Cuestión 1 El eje aluminio 80mm = \emptyset convenientemente \rightarrow tubo acero

Se pide



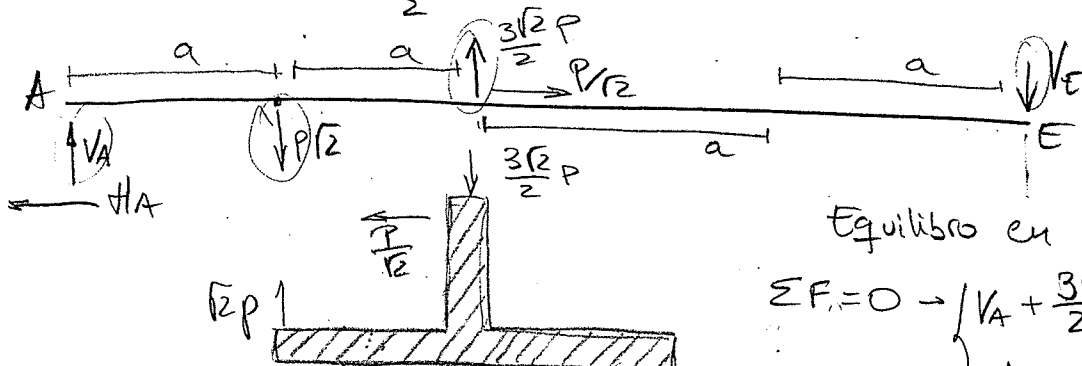
$$\gamma = \dots$$

$$\alpha = \frac{\pi}{4}$$

$$T = P \left(\frac{\sqrt{2}}{2} + \frac{\sqrt{2}}{2} \right) = \sqrt{2} P$$

$$V_c = 2P \frac{\sqrt{2}}{2} + P \frac{\sqrt{2}}{2} = \frac{3\sqrt{2}}{2} P$$

$$H_c = P \frac{\sqrt{2}}{2}$$



Equilibrio en \overline{AE}

$$\begin{aligned} \sum F_y &= 0 \rightarrow V_A + \frac{3\sqrt{2}}{2} P = P\sqrt{2} + V_E \\ H_A &= P/\sqrt{2} \end{aligned}$$

$$\sum M_A = 0 \rightarrow -qP\sqrt{2} + \frac{3\sqrt{2}}{2} P \cdot 2a - V_E \cdot 4a = 0$$

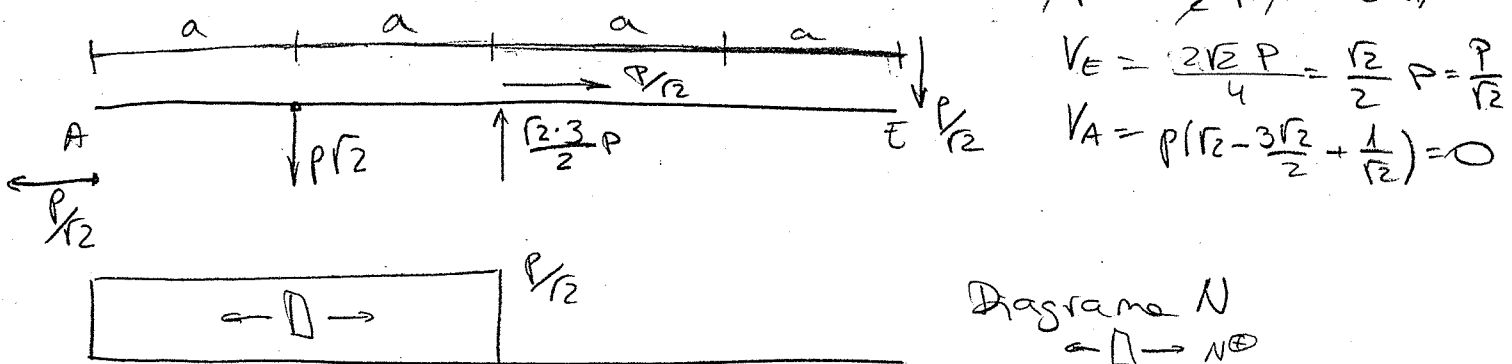


Diagrama N
 $\square \rightarrow N^\oplus$

Diagrama T

$T \square \downarrow T^\oplus$

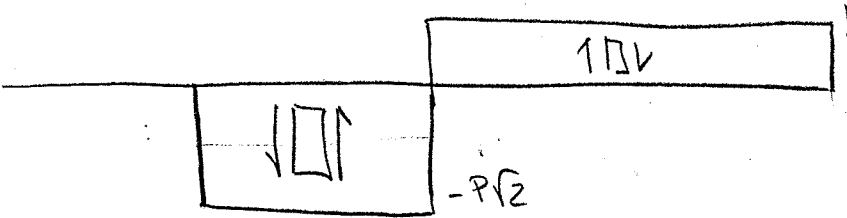
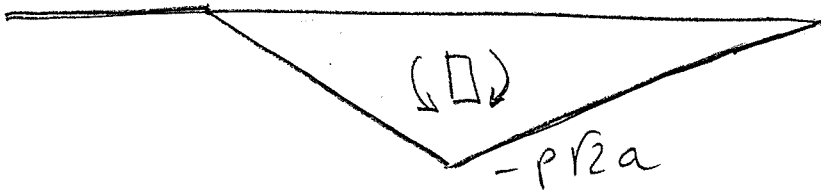


Diagrama M

(\square)

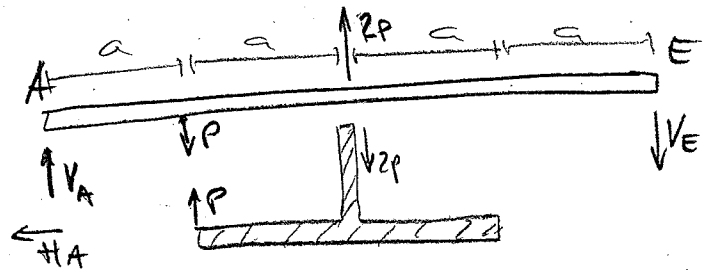


$$\alpha = \frac{\pi}{2}$$

$$H_c = 0$$

$$V_c = 2P$$

$$T = P$$



Por equilibrio estatico en barra AE: $\sum F = 0 \quad \begin{cases} H_A = 0 \\ V_A + 2P = V_E + P \end{cases}$
 $\sum M_A = 0 \quad \{-P\alpha + 2P\alpha - V_E \cdot 2\alpha\} = 0$



Diagramme N

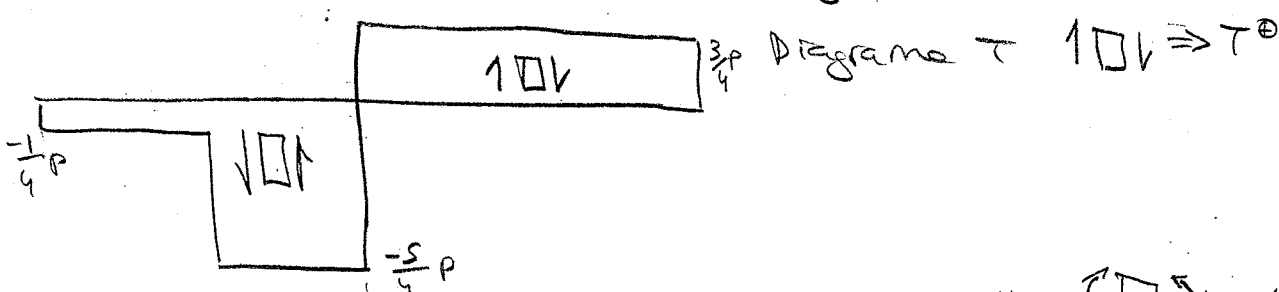
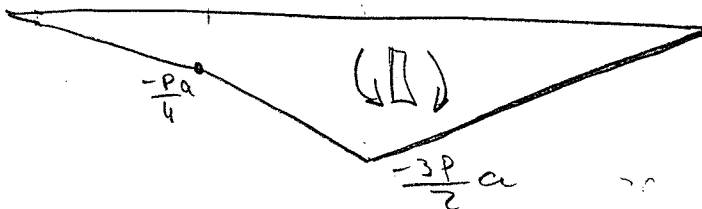
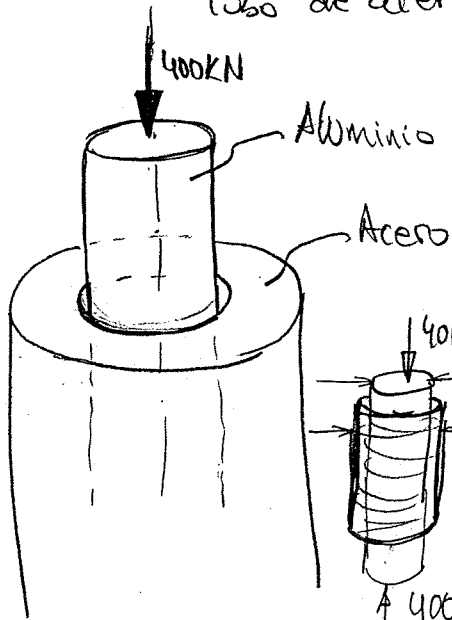


Diagramme M $(\square) \rightarrow N^\oplus$



EXAMEN 13-Julio-2012 Revis1

Werkstück Eje aluminio $\rightarrow \phi = 80 \text{ mm}$
Tubo de acero cono tronco



DATOS
 $E_{Al} = 70 \cdot 10^3 \text{ N/mm}^2$
 $\mu = \frac{1}{3}$

La tensión sobre el aluminio $\sigma_x = \frac{N}{A}$

$$\text{en } \sigma_x = \frac{-400 \cdot 10^3}{\pi \cdot 40^2} = -250 \text{ MPa}$$

→ Necesito conocer la deformación de la sección del eje ($\Delta \phi$)

$$\Delta L = \int_L \frac{N}{EA} dx = \frac{-400 \cdot 10^3}{70 \cdot 10^3 \cdot \pi \cdot 40^2} L = \frac{L}{280\pi}$$

El volumen ha de conservarse

$$V_i = \pi R_i^2 \cdot L \quad \Rightarrow \pi 40^2 \cdot L = \pi R_s^2 \cdot L \left(1 - \frac{1}{280\pi}\right)$$

$$V_f = \pi R_s^2 \cdot (L + \Delta L)$$

$$\Rightarrow R_s = \sqrt{\frac{40^2}{1 - \frac{1}{280\pi}}} = 40,02276 \text{ mm} \Rightarrow \boxed{\phi_f = 80,046 \text{ mm} \quad \text{Ø int tubo para no presión}}$$

Otra forma: Método más exacto

Por tracción pura $\epsilon_y = \epsilon_z = \epsilon_c = \frac{\Delta r}{r} = \frac{\Delta \phi}{\phi} = \frac{1}{E} (-\mu \sigma_x)$

$$\frac{\Delta \phi}{\phi} = -\frac{1}{3E} \left(\frac{-250}{\pi}\right) \Rightarrow \Delta \phi = \frac{250}{3E\pi} \cdot 80 = \frac{250}{3 \cdot 70 \cdot 10^3 \pi} = 0,0303 \text{ mm}$$

$$\boxed{\phi_f = 80,0303 \text{ mm}}$$

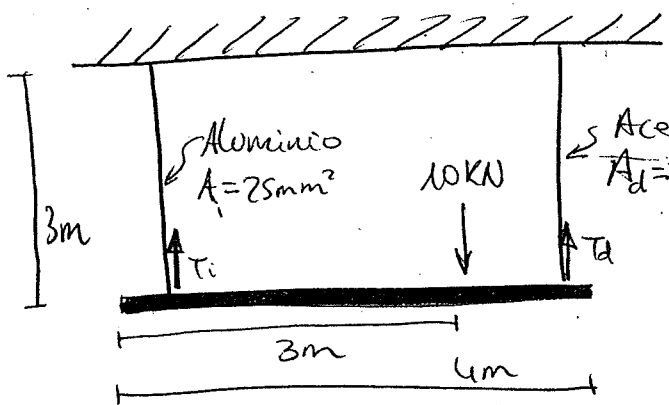
Wektion 2

Viga indeforante $L = 4 \text{ m}$

Datos

$$E_{\text{Acero}} = 2,1 \cdot 10^5 \text{ MPa}$$

$$\epsilon_{\text{al}} = 0,6 \cdot 10^{-5} \text{ MPa}$$



de ríos:

1) Tensión de cada hilo

2) Abastamiento de cada hilo

Por equilibrio a la viga

$$T_i + T_d = 10,000$$

$$T_d \cdot 4 = 10000 \cdot 3, \quad T_d = 7,5 \text{ kN}$$

$$T_i = 2,5 \text{ kN}$$

Los hilos están sometidos a tracción

$$\text{Hilo Aluminio, } A = 25 \text{ mm}^2, \quad E_{\text{al}} = 0,6 \cdot 10^5 \text{ MPa}, \quad \sigma = \frac{N}{A} = 100 \text{ MPa}$$

$$N = T_i = 2,5 \text{ kN} > 0 \text{ (tracción)} \Rightarrow \Delta L = \int_L \frac{N}{EA} dx = \frac{2500}{0,6 \cdot 10^5 \cdot 25} 3 \cdot 10^3 \text{ (mm)}$$

$$\Delta L = 5 \text{ mm} \Rightarrow$$

Hilo izquierdo: $N = 2,5 \text{ kN}$ (tracción)
Aluminio
$\Delta L = 5 \text{ mm}$
$\sigma = 100 \text{ MPa}$

Hilo Acero

$$A = 64 \text{ mm}^2$$

$$E = 2,1 \cdot 10^5 \text{ MPa}$$

$$N = T_d = 7,5 \text{ kN}$$

$$\Delta L = \int_L \frac{N}{EA} dx = \frac{7500}{2,1 \cdot 10^5 \cdot 64} 3 \cdot 10^3 = 1,67 \text{ mm}$$

$$\sigma = \frac{N}{A} = 117,2 \text{ MPa}$$

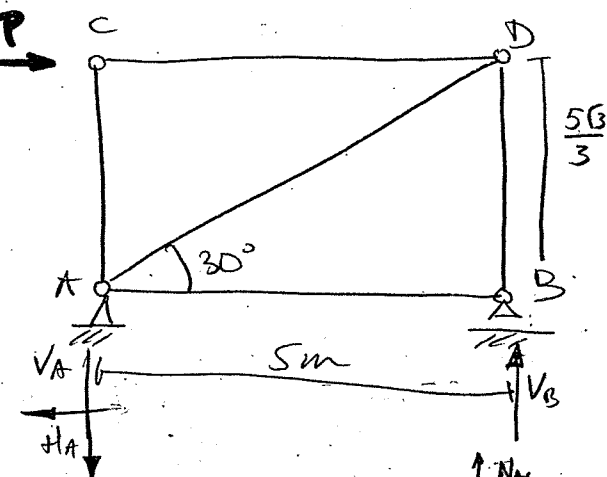
Hilo de la derecha: $N = 7,5 \text{ kN}$

Acero

$$\Delta L = 1,67 \text{ mm}$$

$$\sigma = 117,2 \text{ MPa}$$

Ejercicio 3

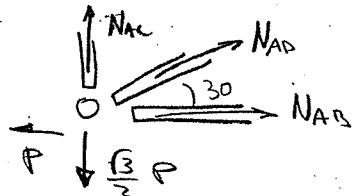


Se pide: Esfuerzos en barras indicando si son de tracción o compresión

Por equilibrio estático a la totalidad del sistema

$$\begin{cases} \sum F = 0 \rightarrow P = H_A \\ \sum M_A = 0 \rightarrow P \frac{\sqrt{3}}{3} = V_B \end{cases} \quad \left\{ \begin{array}{l} V_A = V_B \\ V_A = V_B = \frac{\sqrt{3}}{3} P \end{array} \right.$$

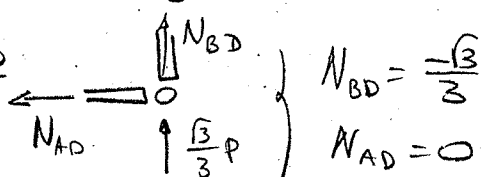
Equilibrio al nodo A



$$N_{AC} + \sin 30^\circ N_{AD} = \frac{\sqrt{3}}{3} P \quad (1)$$

$$N_{AB} + \cos 30^\circ N_{AD} = P \quad (2)$$

Equilibrio al nodo B



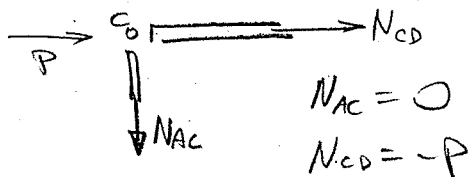
$$\begin{cases} N_{BD} = \frac{\sqrt{3}}{3} P \\ N_{AD} = 0 \end{cases} \Rightarrow \boxed{\text{Barra BD: } N = -\frac{\sqrt{3}}{3} P = -0,578P \text{ compresión}}$$

$$\text{Sustituyendo en (2)} \rightarrow 0 + \frac{\sqrt{3}}{2} N_{AD} = P, N_{AD} = \frac{2P}{\sqrt{3}}$$

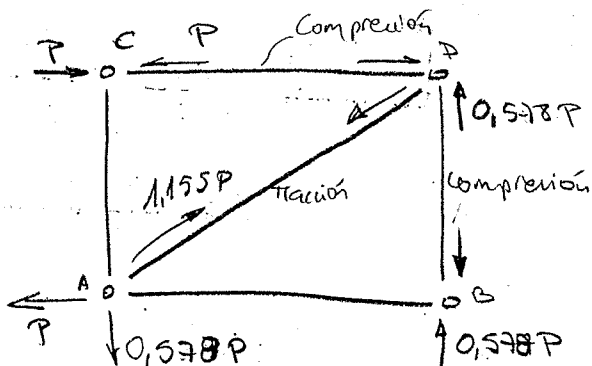
Barra AC no soporta esfuerzos $N = 0$

Barra AD: $N = 1,155P$, de tracción

Equilibrio al nodo C



Barra AC no soporta esfuerzos $N = 0$

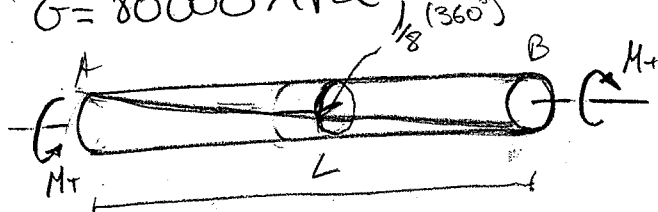


Barra CD: $N = -P$, de compresión

Question 4

Tensión Máximo al girar $\frac{1}{8}$ de vuelta las secciones extremas de una barra de longitud $L = 600 \text{ mm}$ y $\phi = 5 \text{ mm}$

$$G = 80000 \text{ MPa}$$



$$\Theta (\text{giro de la sección}) = \frac{M_T}{G I_o} L = \frac{360}{8} = 45^\circ = \frac{\pi}{4}$$

$$I_o = \frac{\pi}{32} (\phi^4 - \phi'^4) = \frac{625}{32} \pi \Rightarrow M_T = \frac{\pi}{4} \frac{I_o G}{L} = \frac{\pi^2}{4} \frac{625}{32} \frac{810^4}{600}$$

$$C_{\max} = \frac{M_T}{W_T} = \frac{M_T R}{I_o} = \frac{\pi^2}{4} \frac{625}{32} \frac{810^4}{600} \cdot \frac{322.5}{625 \pi} = 261.8 \text{ MPa}$$

EXAMEN

3-Feb-2007

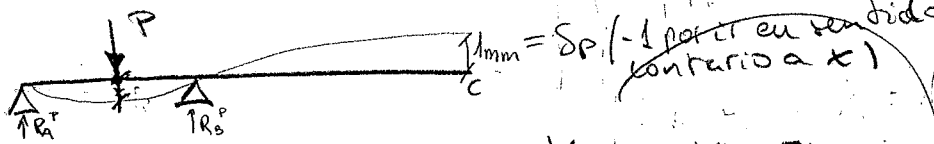
Peso 1

$$P = 50 \text{ kN}$$

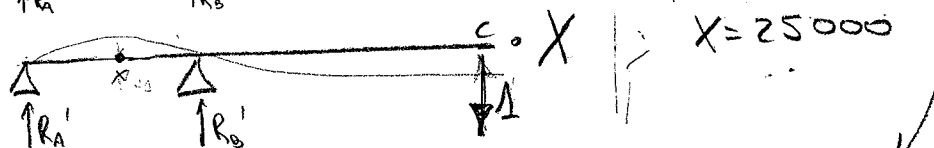
Question 3



Sistema P



Sistema 1



Calculo del desplazamiento efectivo respecto a la invariante hipocentral.

$$X = -\frac{\delta_P}{\delta_1}, \quad \delta_1 = \frac{1}{25} \frac{\text{mm}}{\text{kN}} \text{ (sentido descendente)}$$

Por superposición

$$\delta_1^{\oplus} = \delta_P^{\oplus} + \delta_{\text{inv}}^{\oplus} = 1 \text{ mm}$$

$$\delta_P^{\oplus} = 1 + 2 = 3 \text{ mm}$$

Aplíquandolo M.B

$$\delta_P^{\oplus} P = \delta_1^{\oplus} \cdot X \rightarrow \delta_1^{\oplus} = -2 \text{ mm}$$

$$\delta_P^{\oplus} =$$

$$\frac{2}{50} = -\frac{1}{25} \frac{\text{m}}{\text{kN}}$$

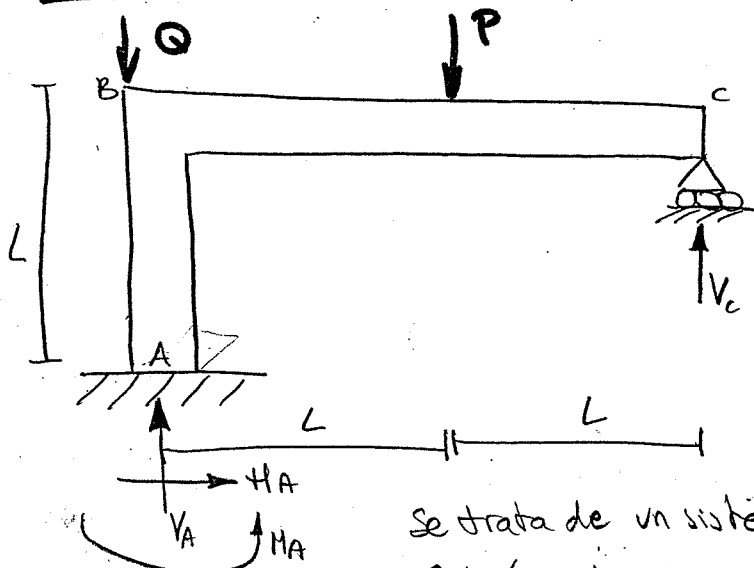
(10)

EXAMEN

22-Feb-2010

Resis 2

Problema



$$P = 4000 \text{ N}$$

$$Q = ?$$

Abordamiento

- Q_{\min} para $V_{AB} \leq 0$

DATOS:
Secciónes $\square I^l = 100 \text{ mm}^3$

$$E = 300 \text{ GPa}, L = 1 \text{ m}$$

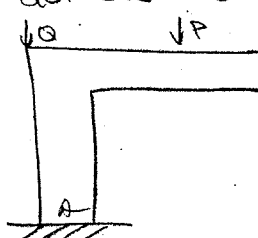
Se trata de un sistema hiperestático.

$$GH = (4 - 3) + (0 - 0) = 1$$

Vamos a aplicar el método de MoHR

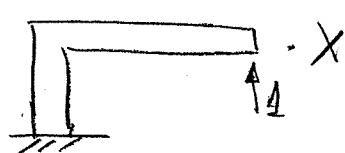
- 1) elegimos incógnita hiperestática de V_C
- 2) Descomposición del sistema

Sistema P



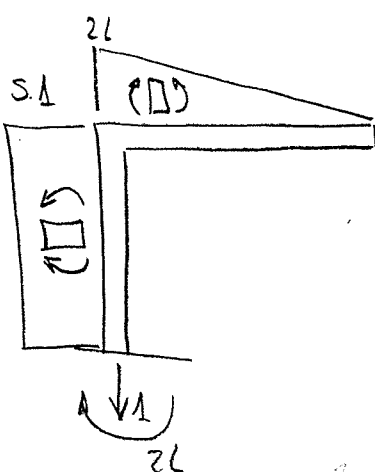
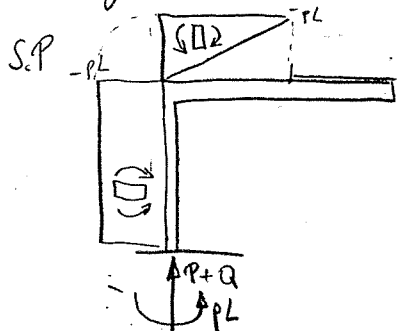
$$\begin{aligned} \sum F &= 0 \rightarrow V_A^{(1)} = Q + P \\ \sum M_A &= 0 \rightarrow H_A^{(1)} = 0 \\ &\rightarrow M_A^{(1)} = PL \end{aligned}$$

Sistema 1



$$\begin{aligned} \sum F &= 0 \\ \sum M_A &= 0 \end{aligned} \quad \left\{ \begin{array}{l} V_A^{(1)} + 1 = 0 \\ H_A^{(1)} = 0 \\ M_A^{(1)} + 2L = 0 \end{array} \right.$$

- 3) Leyes de momentos

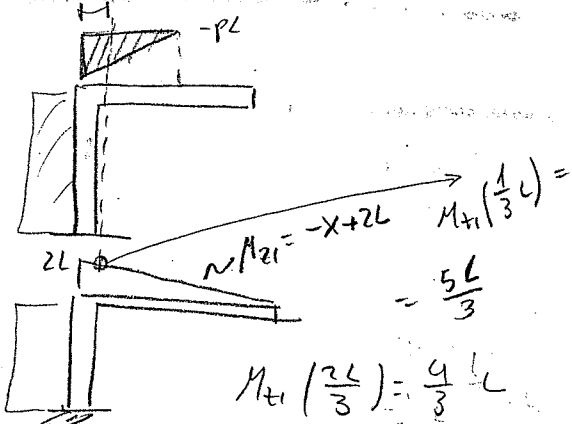


• 4) Condición de compatibilidad de mow.

$$S_c = 0 = S_c^P + S_c^I \cdot X \quad X = \frac{-S_c^P}{S_c^I}$$

$$S_{cP} = \int_L \frac{M_2^P \cdot M_2'}{EI} dx$$

$$S_{cI} = \int_L \frac{M_2' \cdot M_2'}{EI} dx$$



$$S_{cP} = \frac{1}{EI} \left(\frac{1}{2} PL^2 \right) \frac{5L}{3} + \frac{1}{EI} (PL) 2L = \frac{1}{EI} PL^3 \left(\frac{5}{6} + 2 \right) = \frac{17}{6} \frac{1}{EI} PL^3$$

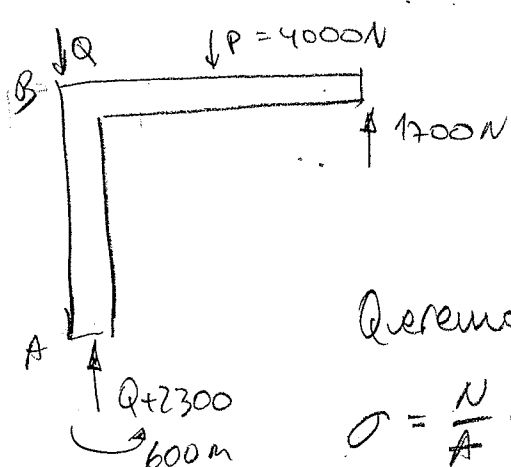
$$S_{cI} = \frac{1}{EI} \left(\frac{1}{2} PL \cdot 2L \right) \frac{4}{3} L + \frac{1}{EI} (2L) \frac{1}{2} L = \frac{L^3}{EI} \left(\frac{8}{3} + 4 \right) = \frac{20}{3} \frac{1}{EI} L^3$$

$$X = \frac{\frac{17}{6} \frac{1}{EI} PL^3}{\frac{20}{3} \frac{1}{EI} L^3} = \frac{17}{40} P = 1700 N$$

$$V_A = V_A^P + X \quad V_A' = Q + P - 1700 = Q + 2300$$

$$M_A = 0$$

$$M_A = M_A^P + X M_A' = PL - 2L \cdot 1700 = +4000 - 2 \cdot 1700 = 600 \text{ Nm}$$



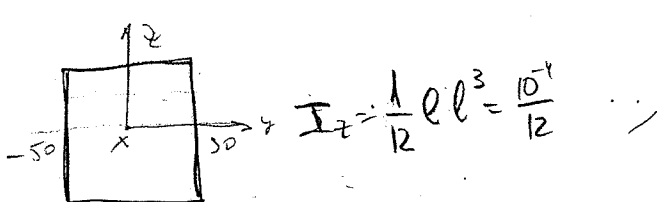
Barra AB en compresión con

$$N = +Q + 2300 \text{ (N)}$$

$$M_2 = -600 \text{ (II)} \text{ (Nm)}$$

Queremos $\sigma_x \leq 0$ y se pide Q_{\min}

$$\sigma = \frac{N}{A} - \frac{M_2}{I_2} y = -\frac{Q + 2300}{10^{-2}} + \frac{600}{12} y$$



$$\sigma_{\max} = -(Q + 2300) 100 + \frac{600 \cdot 0.05}{10^{-4}} \leq 0$$

$$\frac{1}{100} (3,6 \cdot 10^6) = Q + 2300$$

$$y \in [-50, 50] \text{ mm}$$

$$Q = 33,7 \text{ KN}$$

EXAMEN

19-Julio-2012

Verificación

Taladro central $\sigma = \frac{N}{A} < 200 \text{ MPa}$; $\frac{20 \cdot 10^3}{(100 - 2\phi) \cdot 5} < 200$



$$10000 < 200 \cdot 5 \cdot 100 - 200 \cdot 5 \cdot 2\phi$$

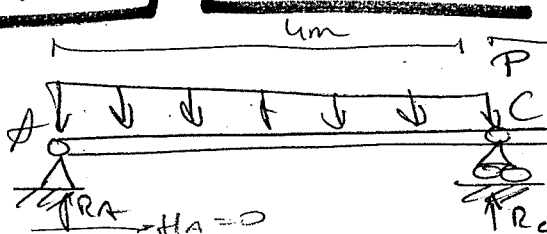
$$\phi < \frac{200 \cdot 5 \phi \phi - 200 \phi \phi}{10 \cdot 20 \phi} = \frac{100 - 20}{2} = 40.$$

$$\phi < 400 \text{ mm}$$

Taladros inf./sup $\sigma = \frac{N}{A}, \quad < 200$

EXAMEN

1-Julio-2005



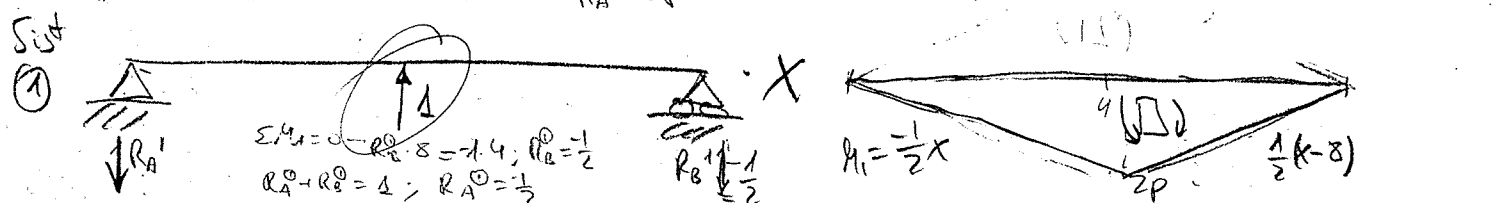
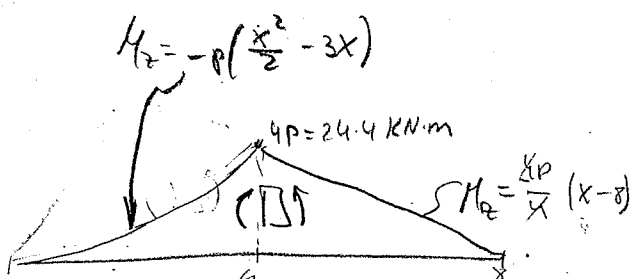
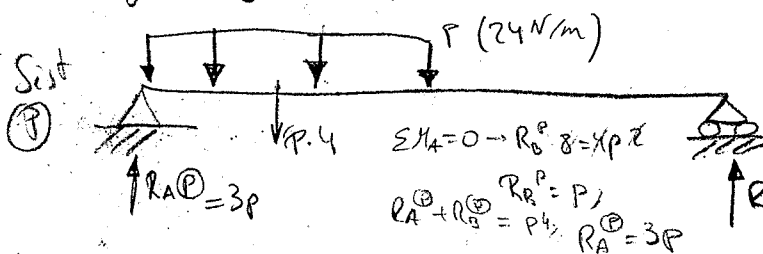
$$E = 200 \text{ GPa}; I_z = 80 \cdot 10^6 \text{ mm}^4$$

En C el soporte de asienta 12 mm

1º Reacciones en apoyos

1º aplicando Mohr:

Elegir incógnite hipostática $\rightarrow R_c$



$$\delta_c = -0,012 \text{ m} = \delta_c^{(1)} + \delta_c^{(2)} \cdot X$$

$$\delta_c^{(1)} = \int \frac{M_1 \cdot M_2}{EI} dx = \frac{1}{EI} \left[\int_0^4 \left(-P \left(\frac{x^2}{2} - 3x \right) \right) \left(\frac{1}{2}x \right) dx + \int_4^8 \left(-P \left(x - 8 \right) \right) \left(\frac{1}{2}(x-8) \right) dx \right] dx = \underbrace{2,4 \cdot 10^{-2} + 1,6 \cdot 10^{-2}}_{= 4,0 \cdot 10^{-2} \text{ m}} \text{ Hacia la Izquierda}$$

$$\delta_c^{(2)} = \int \frac{M_1 \cdot M_2}{EI} dx = \frac{1}{EI} \left[\int_0^4 \left(\frac{1}{2}x \right)^2 dx + \int_4^8 \left(\frac{1}{2}(x-8) \right)^2 dx \right] = +0,67 \cdot 10^{-3}$$

ABAJO

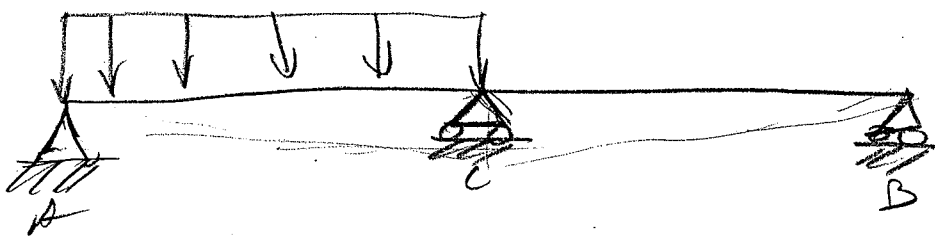
(13)

Por tanto $40 + 0,67 \cdot 10^{-4} X = -12 \Rightarrow X = 42 \text{ KN} = P_c$

$$R_A = R_A^{(1)} + R_A^{(2)} X = 3P - \frac{1}{2} \cdot 42 = 51 \text{ KN}$$

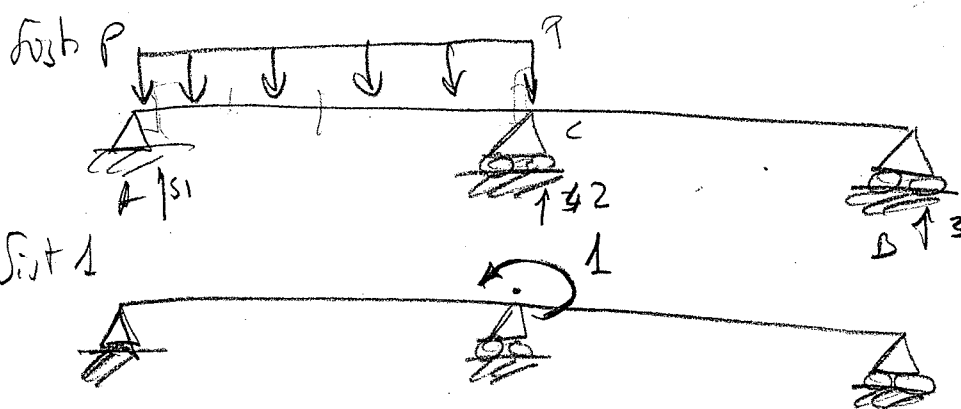
$$R_B = R_B^{(1)} + R_B^{(2)} X = P - \frac{1}{2} \cdot 42 = 3 \text{ KN}$$

2) Esco en C, indicando sentido

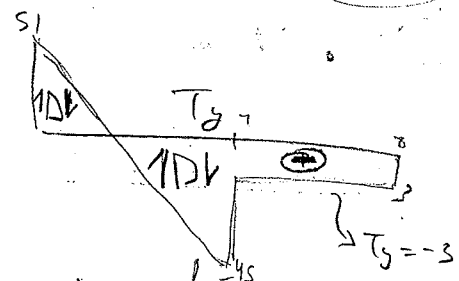


S1
3

1D2



Sist 1



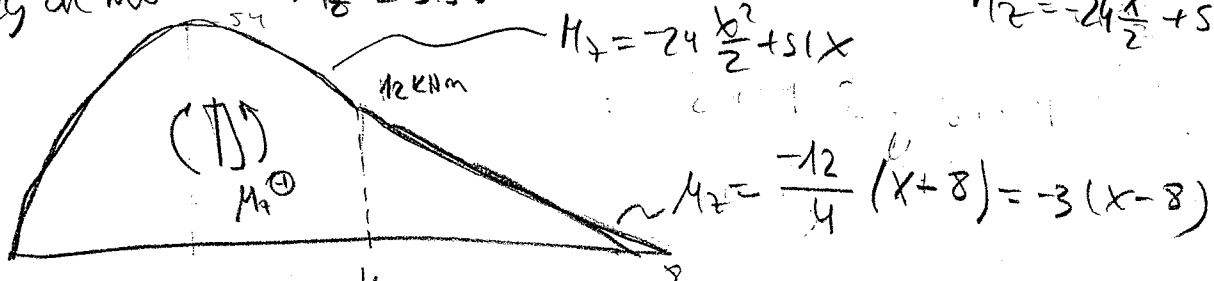
ϕ

$$T_B - S1 = \frac{96}{4} (x)$$

$$T_B = 24x + S1$$

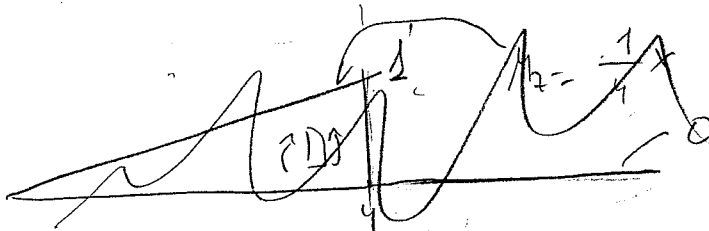
$$M_T = -\frac{24x^2}{2} + S1x$$

Ley de momentos $M_B = Sist + P$



$$M_T = -\frac{24}{2} x^2 + S1x$$

$$\sim M_T = -\frac{12}{4} (x+8) = -3(x-8)$$



Se fija de
los menos

16

Con el método de la ec. elástica \leftarrow Usarla SIEMPRE
que haya cargas
y/o distibuidas

$$EIy = EIy_0 + EI\theta_0 x + \frac{R_A}{3!} (x-0)^3 + \frac{R_C}{3!} (x-4)^3 + \frac{P}{4!} [(x-0)^4 - (x-4)^4]$$

(Cond. por eq. estat)

$$\begin{cases} R_A + R_B + R_C = P \cdot 4 & \rightarrow 1 \\ R_C \cdot 4 + R_B \cdot 8 = P \cdot 4 \cdot 2 & \rightarrow 2 \end{cases}$$

Cond. por apoyos

$$y(x=0) = 0 \rightarrow \theta_0 = 0$$

$$y(x=4) = -0,012 \rightarrow EI \cdot 0,012 = EI \theta_0 \cdot 4 + \frac{R_A}{3!} 4^3 + \frac{P}{4!} (4^4 - 0) \rightarrow 3$$

$$y(x=8) = 0 \rightarrow 0 = EI \theta_0 \cdot 8 + \frac{R_A}{3!} 8^3 + \frac{R_C}{3!} 4^3 + \frac{P}{4!} (8^4 - 4^4) \rightarrow 4$$

Resolvemos:

$$\begin{cases} R_A + R_B + R_C = 24 \cdot 4 \cdot 10^3 & (1) \\ R_A \frac{4^3}{3!} + EI \theta_0 \cdot 4 = -EI \cdot 0,012 - \frac{24 \cdot 10^3}{4!} (4^4) & (3) \end{cases}$$

$$\begin{cases} R_A \frac{8^3}{3!} + \frac{R_C 4^3}{3!} + EI \theta_0 \cdot 8 = - \frac{24 \cdot 10^3}{4!} (8^4 - 4^4) & (4) \end{cases}$$

$$R_B \cdot 8 - R_C \cdot 4 = 24 \cdot 10^3 \cdot 4 \cdot 2 \quad (2)$$

$$(1) \Rightarrow R_A = 51 \text{ kN}$$

$$R_B = 3 \text{ kN}$$

$$R_C = 42 \text{ kN}$$

$$EI\theta_0 = -120000$$

$$EI_2 = +120000x + \frac{51000}{3!}x^3 + \frac{42000}{3!}(x-4)^3 + \frac{24000}{4!}x^3 - Cx^4$$

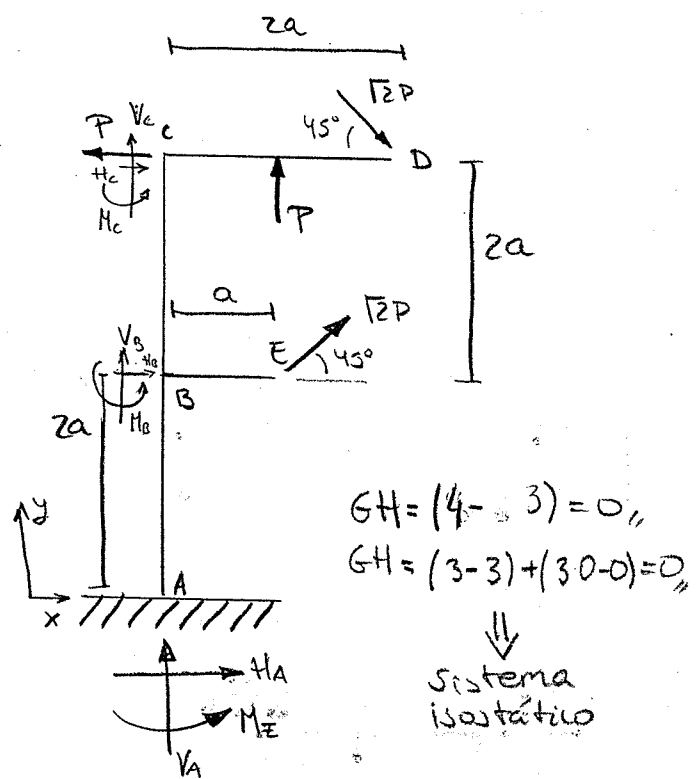
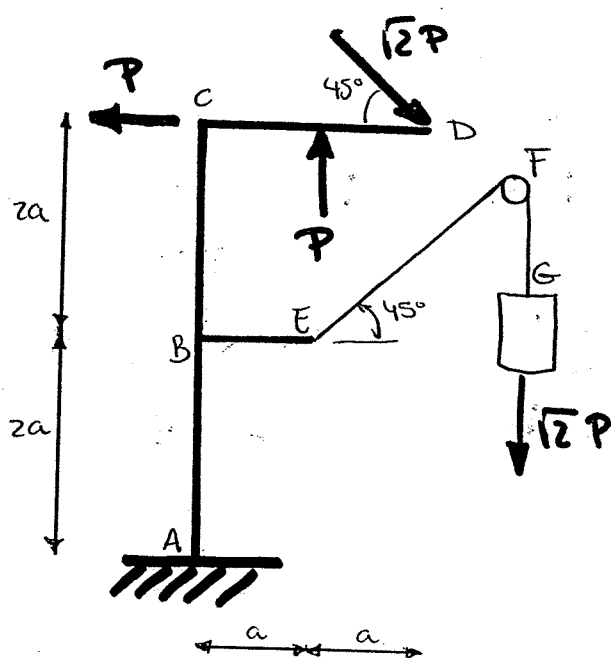
$$EI_0 = -120000 + \frac{51000x^2}{2} + \frac{42000(x-4)^2}{2} + \frac{24000}{4!}$$

Ejercicios MÓDULO 1

Colección

- 13 En la estructura de la figura EG es un cable y F una polea de radio despreciable.

Dibuje los diagramas acostados de esfuerzos en el semipórtico ABCD, indicando claramente el criterio de signos seguido en cada barra.



Reacciones: condiciones de equilibrio.
ESTÁTICO

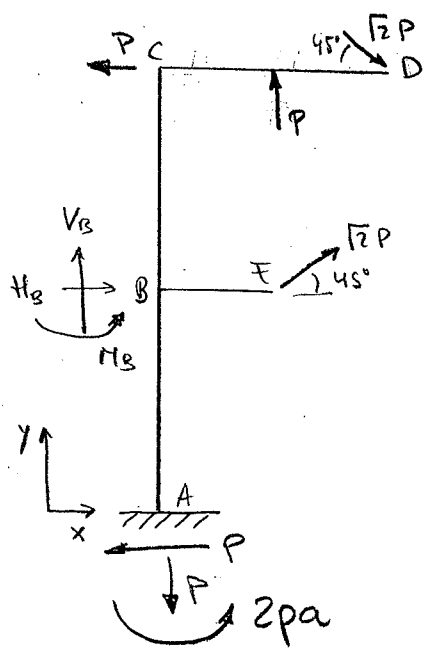
$$\sum F_x = 0 \rightarrow H_A + P - P + P = 0 \rightarrow H_A = -P$$

$$\sum F_y = 0 \rightarrow V_A + P + P - P = 0 \rightarrow V_A = -P$$

$$\sum M_A = 0 \rightarrow H_2 - P \cdot 2a + P/a + P \cdot 4a - P \cdot 2a - P \cdot 2a + P/a = 0$$

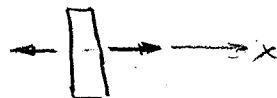
$$H_2 = P \cdot 2a$$

①



Criterio de signos (+)

Esfuerzo normal (N)



Esfuerzo constante: T_g



Momento flector: M_x

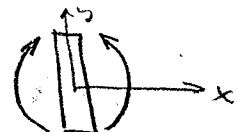
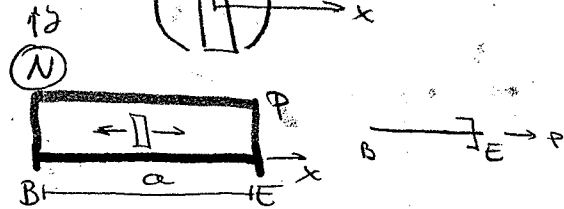
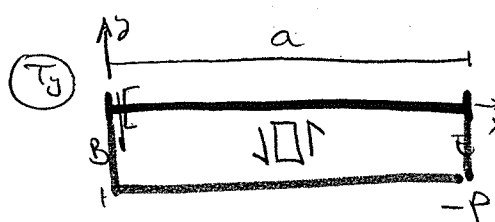


DIAGRAMA ESFUERZO NORMAL,
CORTANTE Y DE MOMENTO PARA
CALCULAR R. INTERNAS EN B.
POR BARRA BE

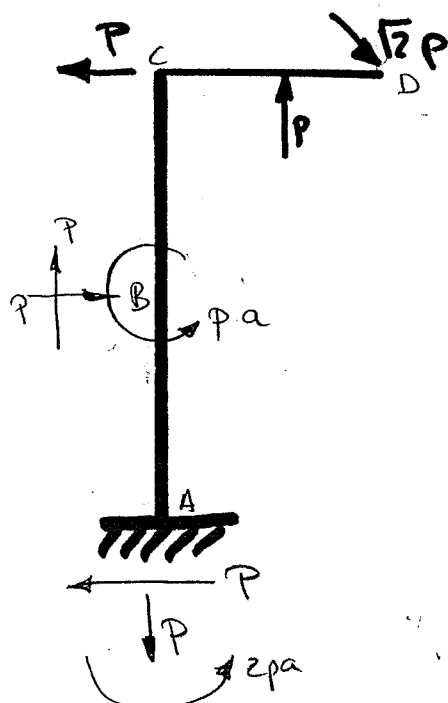


$$\text{Por tanto } \rightarrow H_B = +P$$



$$\text{Por tanto } \rightarrow V_B = +P$$

$$M_B = +pa$$



(2)

DIAGRAMA ESFUERZO NORMAL: N

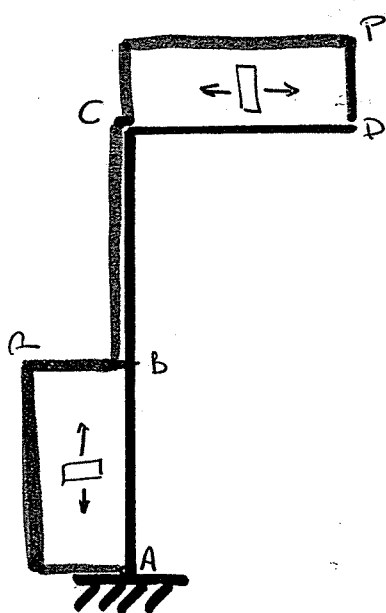


DIAGRAMA ESFUERZO CORTANTE: T_y

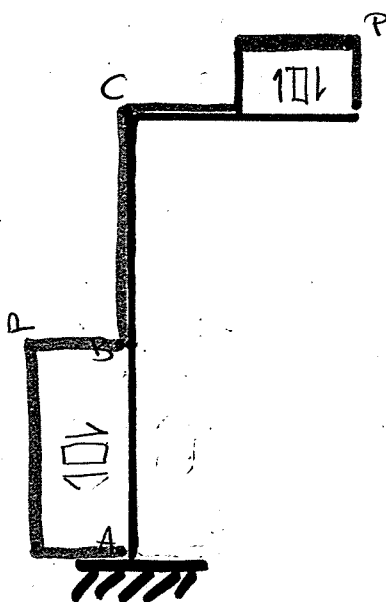
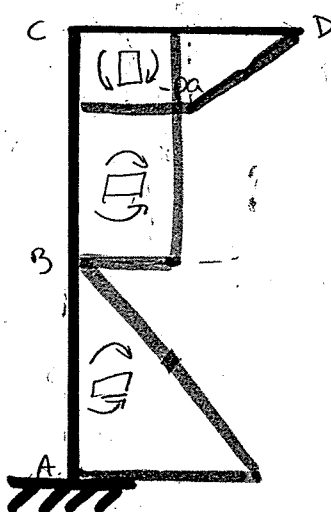


DIAGRAMA MOMENTO FLECTOR: M_x



CUESTIONARIO PASA/NO PASA: Parcial I

- Si consideramos un sólido prismático en el plano XY con una carga uniforme distribuida actuando en dirección normal a su dirección:

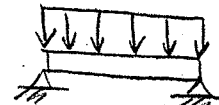
a) Ley de esfuerzos cortantes el lineal

b) Ley de esfuerzos cortantes el constante

c) Ley de momentos flectores el parabólica

d) Correctas a) y c)

e) Correctas b) y c)

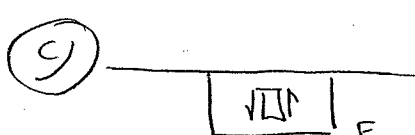
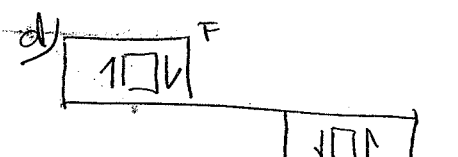
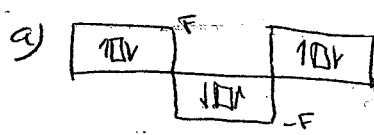
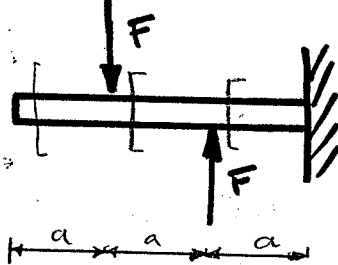


$T_s \rightarrow$ lineal

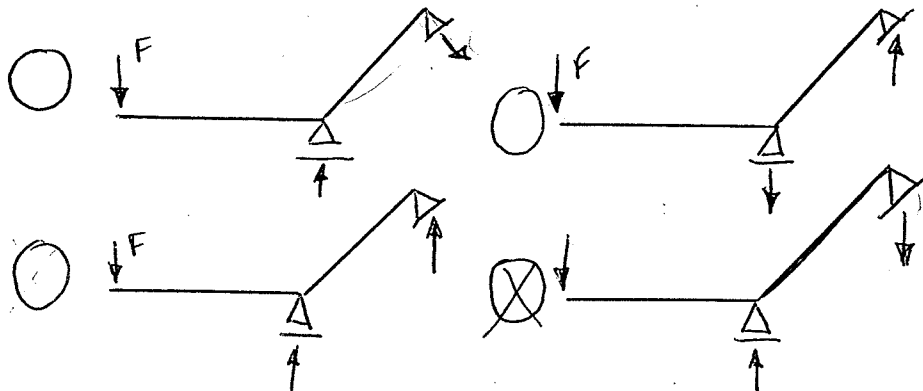
$M_2 \rightarrow$ parabólica

- ¿Cuál de los siguientes diagramas de cortante corresponde

a la figura?



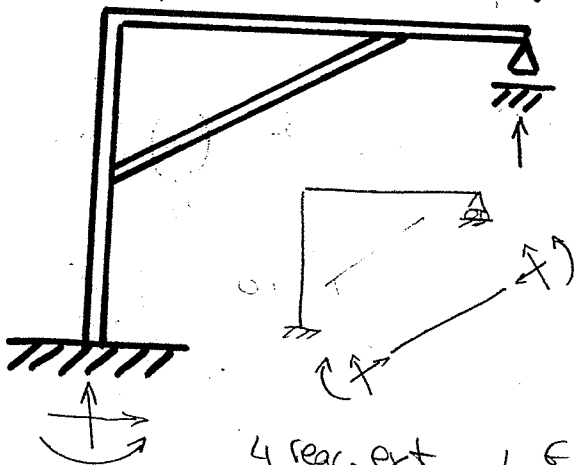
- En la figura dada sometida a la carga F , marque la opción correcta relativa a las direcciones y sentidos de las reacciones de los apoyos.



$$\begin{aligned} \sum F_y &= 0 \rightarrow F + R_B + R_A = 0 \\ \sum M_B &= 0 \rightarrow F \cdot L + R_A \cdot l = 0 \\ R_A &= -\frac{FL}{l} \quad l > L \\ R_B &= -F - R_A = F \left(\frac{L}{l} - 1 \right) \end{aligned}$$

(4)

- Marque la opción correcta relativa al grado de hipostatilidad (G_H) de la estructura plana de la figura.



$G_H = 1$

$G_H = 2$

$G_H = 3$

$G_H = 4$

4 reac. ext.
6 reac. int.
2 subsist.
3 ee. eq. estat

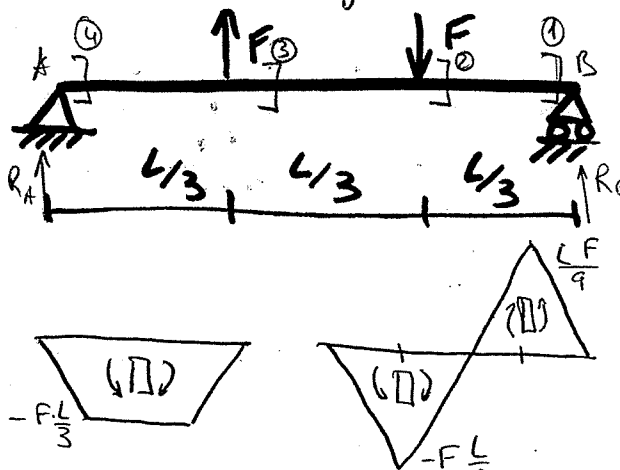
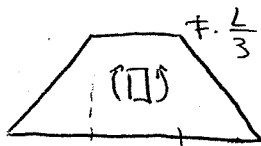
$$FH = r - p.e \\ FH = 10 - 2 \cdot 3 = 4$$

plano

$$G_H = (r_{ext} - 3) + (3c - e)$$

$$G_H = (4 - 3) + (3 \cdot 1 - 0) = 4$$

- Indica el diagrama de momentos flectores de la estructura de la figura



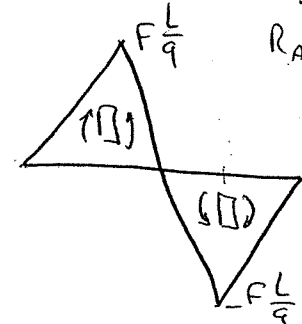
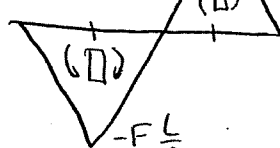
① $\int M_t = 0$

② $\int \uparrow$

$M_t = R_B \cdot \frac{L}{3} = \frac{1}{9}F$

③ $\int \downarrow$

$M_t = R_B \frac{2}{3}L - F \frac{L}{3} = \frac{1}{3}F \frac{2}{3}L - F \frac{L}{3} = \frac{2FL - 3FL}{9} = -\frac{1}{9}LF$

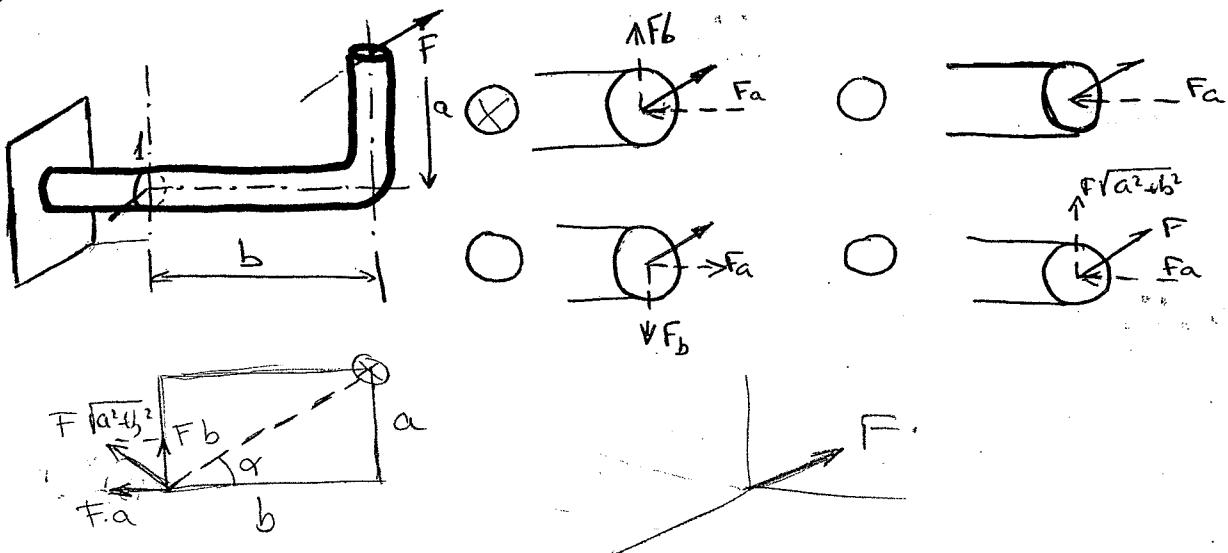


④

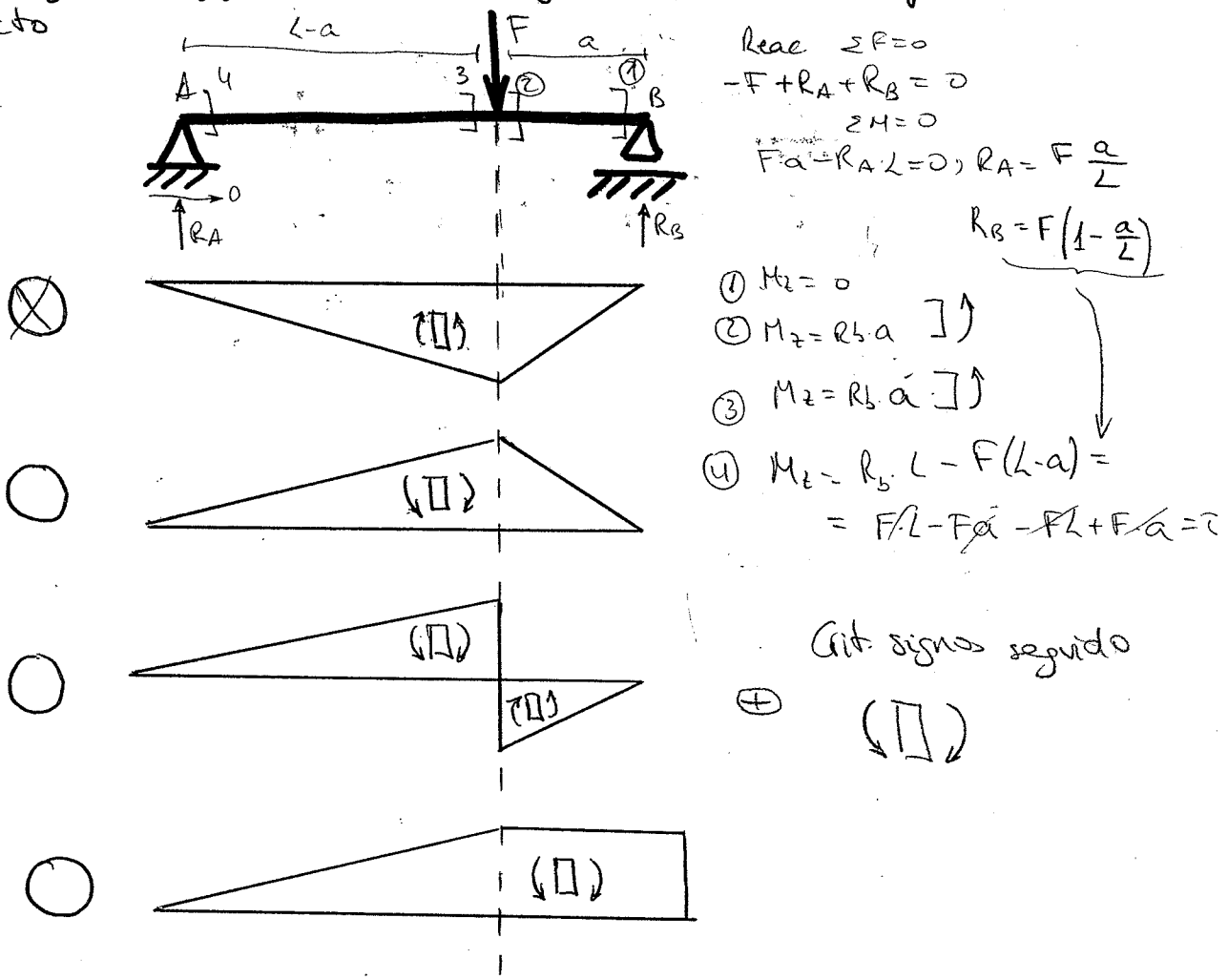
$M_t = 0$

$$R_B L - F \frac{2}{3}L + F \frac{1}{3}L = 0$$

- Marque la opción correcta de los esfuerzos internos presentes en la sección 1 de la figura (los esfuerzos correspondientes a momentos se han indicado con líneas discontinuas)

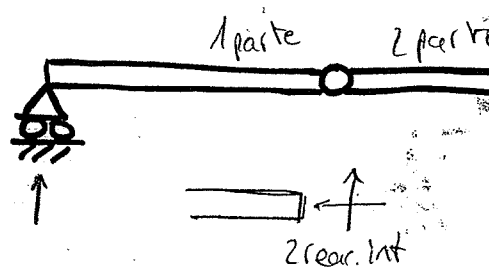


- En la viga de la figura marcar el diagrama de momentos flectores correcto



● El grado de indeterminación estática de la estructura de la figura 11

es:



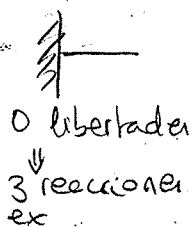
$$GHI = r - p \cdot e = 6 - 2 \cdot 3 = 0,$$

$$GHI = (r_{ext} - 3) + (3c - e) =$$

caso pleno

$$= (4 - 3) + (30 - 1) = 0$$

● ¿Cómo influyen las libertades de una estructura en su grado de indeterminación estática?



Si 1 libertad $\Rightarrow \downarrow GHI$
 \downarrow
 ↓ reacciones externas

a) Depende del tipo de libertad

b) Sólo disminuyen GHI si la hiperestaticidad es de origen interno

c) Aumentan GHI

d) Disminuyen GHI

● El grado de hiperestaticidad de una estructura depende del n° de fuerzas y momentos externos aplicados sobre ella

- (a) Falso b) Ciento para los momentos y falso para las fuerzas
 c) Verdadero d) Ciento para las fuerzas puntuales y falso para los momentos

● El n° de reacciones de reacción en estructuras de 2 y 3 dimensiones son, respectivamente

a) 6 y 4 b) 4, 2

c) 6, 3 d) 3 y 2

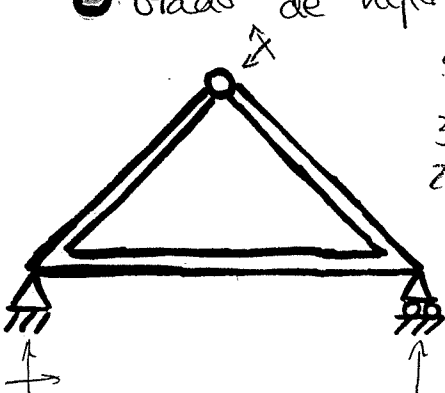
● Grado de hiperestaticidad de la figura

- a) 1 b) 2 c) 3 d) 4 e) Isostático

$$3 \text{ reac ext} \quad GHI = r - p \cdot e = 5 - 1 \cdot 3 = 2,$$

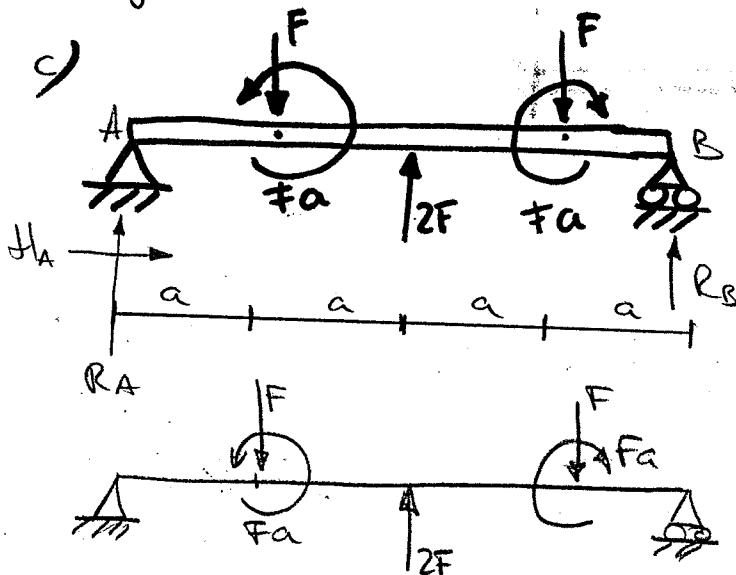
2 internos

$$GHI = (r_{ext} - 3) + (3c - e) = (3 - 3) + (31 - 1) = 2$$



Colección

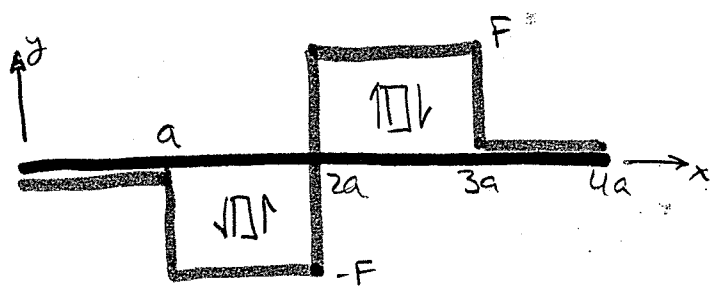
- II) Hallar las reacciones y dibujar los diag. de esfuerzos de las barras siguientes



Por equilibrio estático:

$$\begin{aligned} \text{Reacciones} \quad & \sum F = 0 \\ & R_A = 0 \\ & R_B = 0 \\ & R_A - F + 2F - F + R_B = 0 \\ & \sum M_A = 0 \\ & -Fa + Fa + 2Fa/a - Fa - F3a + R_B 4a = 0 \\ & R_B = 0 \\ & R_A = 0 \end{aligned}$$

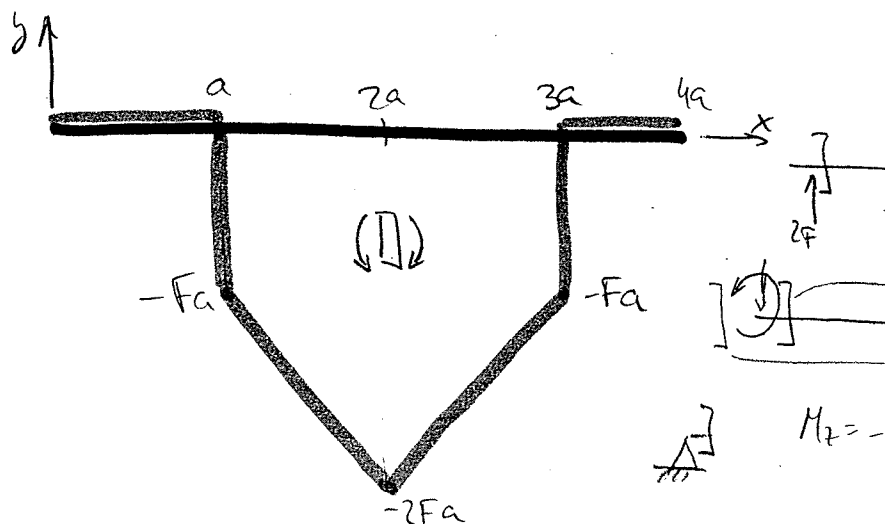
DIAGRAMA T_y



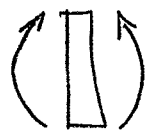
Criterio de signos +



DIAGRAMA M_t



Criterio signos +



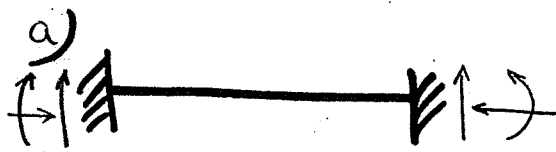
$$M_t = -Fa - Fa = -2Fa$$

$$\begin{aligned} & M_t = -Fa - F2a + 2Fa = -Fa \\ & M_t = -Fa - F2a + Fa + Fa = 0 \end{aligned}$$

$$M_t = -Fa - F3a + 2Fa2a + Fa - Fa = 0$$

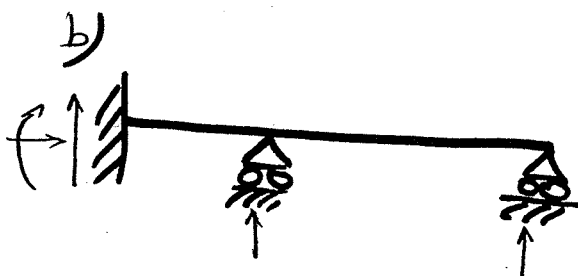
Cuestion

⑯ Determinar $G+H$



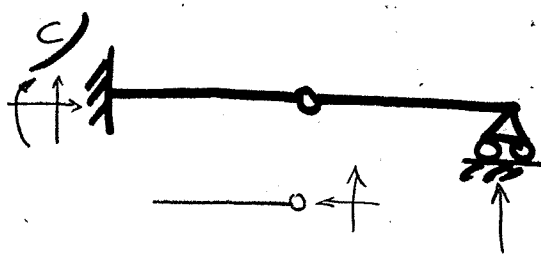
$$G+H = r - p \cdot e = 6 - 1 \cdot 3 = 3,$$

$$G+H = \underset{\text{plano}}{(r_{\text{ext}} - 3)} + (3c - e) = (6 - 3) + (3 \cdot 0 - 0) = 3,,$$



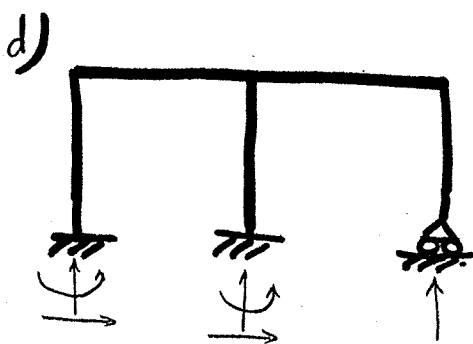
$$G+H = r - p \cdot e = 5 - 1 \cdot 3 = 2,,$$

$$G+H = \underset{\text{plano}}{(r_{\text{ext}} - 3)} + (3c - e) = (5 - 3) + (3 \cdot 0 - 0) = 2,,$$



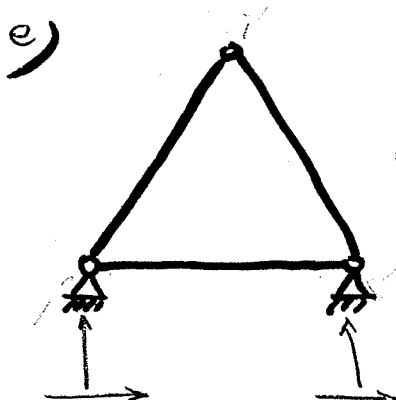
$$G+H = r - p \cdot e = 6 - 2 \cdot 3 = 0,,$$

$$G+H = \underset{\text{plano}}{(r_{\text{ext}} - 3)} + (3c - e) = (4 - 3) + (3 \cdot 0 - 1) = 0,,$$



$$G+H = r - 1 \cdot 3 = 4,,$$

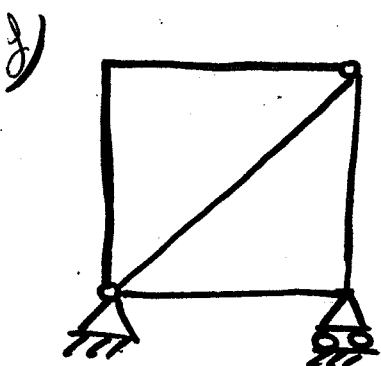
$$G+H = \underset{\text{plano}}{(r_{\text{ext}} - 3) + (3 \cdot 0 - 0)} = 4,,$$



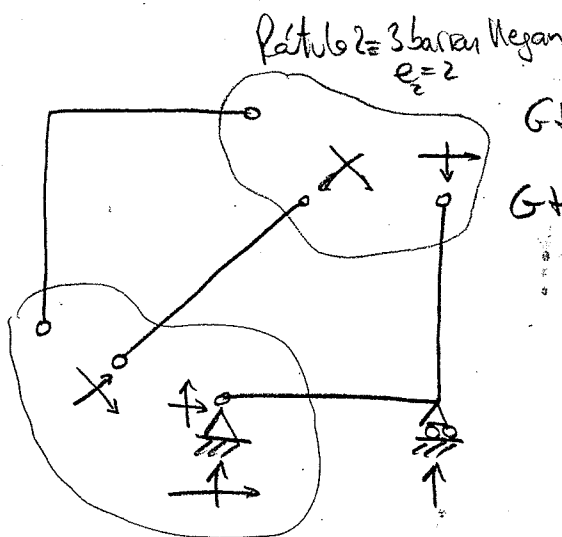
6 reac. internas \rightarrow 6 r_{ext}

$$G+H = 10 - 3 \cdot 3 = 1,,$$

$$G+H = \underset{\text{plano}}{(r_{\text{ext}} - 3) + (3c - e)} = (4 - 3) + (3 \cdot 1 - 3) = 1,,$$



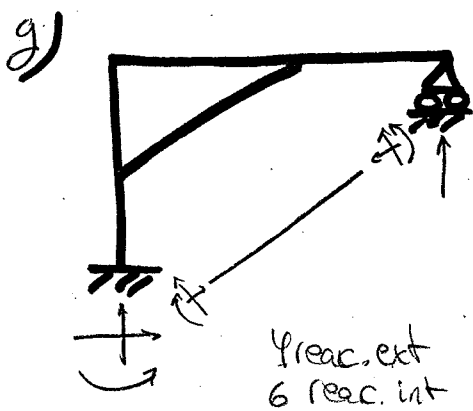
3 rear ext / 8 int



Rotula 2 = 3 baran negan
 $e_2 = 2$

$$GH = r - p \cdot e = 11 - 3 \cdot 3 = 2,$$

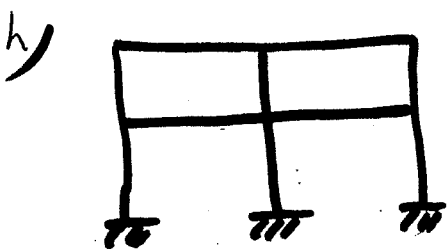
$$GH = (r_{ext} - 3) + (3c - e) = (3 - 3) + (3 \cdot 2 - 1) \\ GH = 2,$$



4 rear, ext
6 rear, int

$$GH = r - p \cdot e = 10 - 2 \cdot 3 = 4,$$

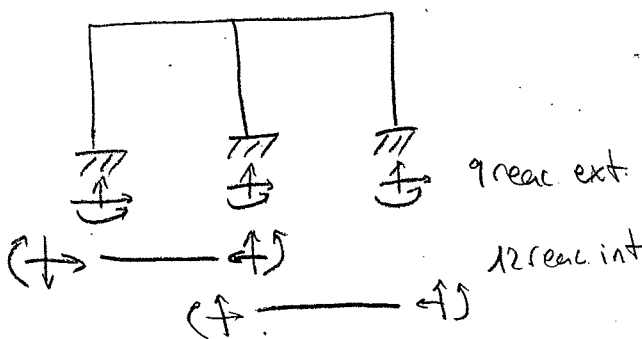
$$GH = (r_{ext} - 3) + (3c - e) = (4 - 3) + (3 \cdot 1 - 0) = 4,$$



$$GH = r - p \cdot e = 21 - 3 \cdot 3 = 12,$$

$$GH = (r_{ext} - 3) + (3c - e) = (9 - 3) + (3 \cdot 2 - 0) = 12$$

plano



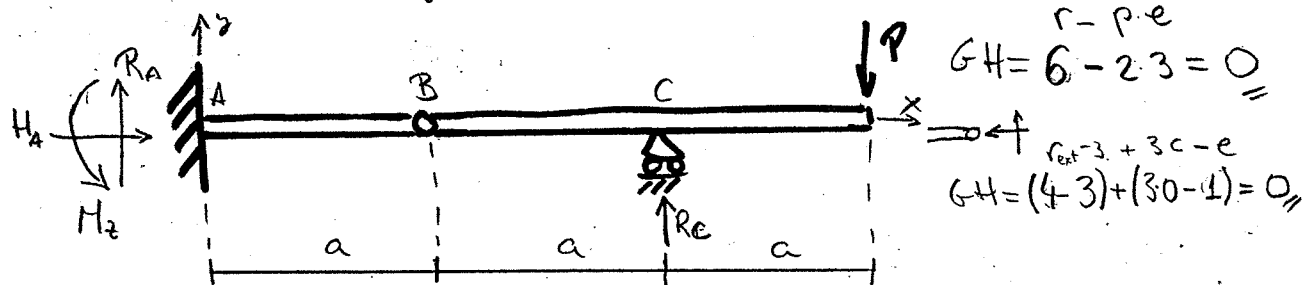
9 rear ext

12 rear int

Colección

144

Diagramas de esfuerzos de la estructura



$$G_H = 6 - 2 \cdot 3 = 0$$

$$G_H = (4 \cdot 3) + (3 \cdot 0 - 1) = 0$$

Reacciones COND. EQUILIBRIO ESTÁTICO

$$\begin{cases} \sum F_x = 0 \rightarrow H_A = 0 \\ \sum F_y = 0 \rightarrow R_A + R_C - P = 0 \quad (1) \\ \sum M_z = 0 \rightarrow H_A \cdot 2a + R_C \cdot 2a - P \cdot 3a = 0 \quad (2) \end{cases}$$

Cond. enlace: Rótula $H_B = 0$; ~~(1)~~ $\left\{ \begin{array}{l} \text{Gra frontal: } R_C \cdot a - P \cdot 2a = 0 \quad (3) \\ \text{Gra dorsal: } R_C \cdot a - H_A = 0 \quad (4) \end{array} \right.$

$$(3) \rightarrow R_C = 2P \xrightarrow{(1)} R_A = P - 2P = -P \xrightarrow{(4)} H_A = -Pa \xrightarrow{(2)} -Pa + 4Pa - 3Pa = 0$$

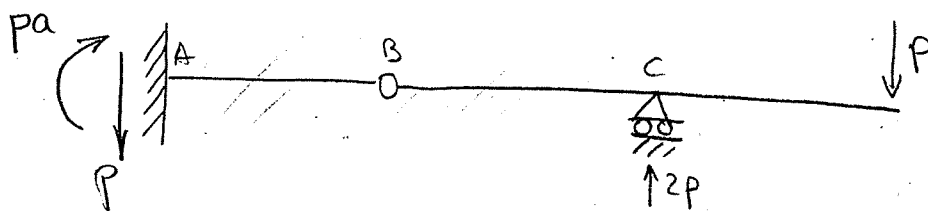
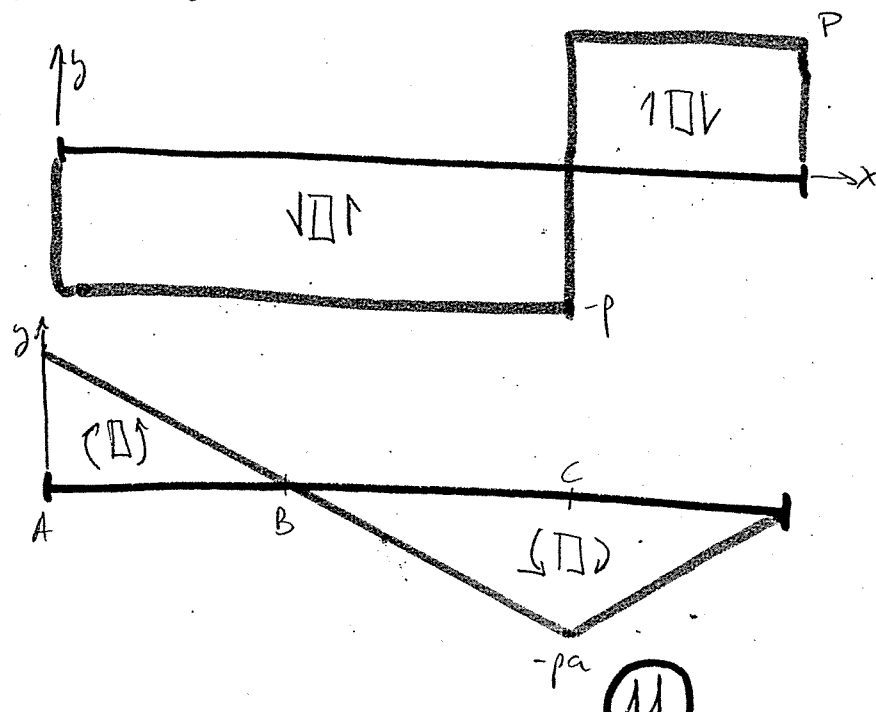
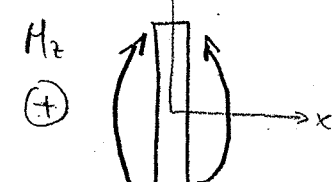


Diagrama T_2 y M_2 :



Criterio de signos



11

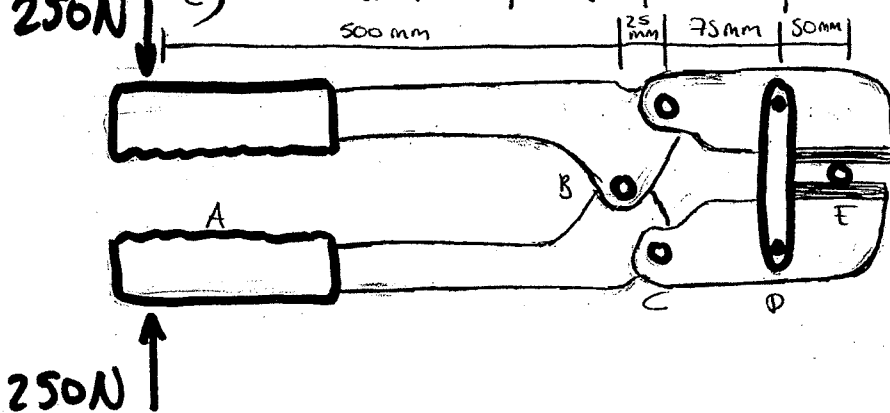
1.6

a) Modelizar la mordaza de la figura mediante un esquema de barras

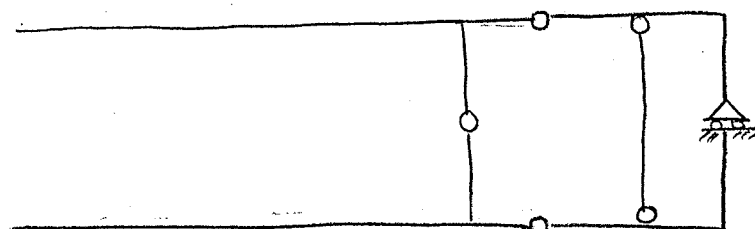
b) Aislar cada uno de los elementos del conjunto dibujando sin reditar los cables, las acciones que se ejercen sobre cada uno de ellos.

Palanca ABC
Bielo vertical con origen en D
Llave CDE

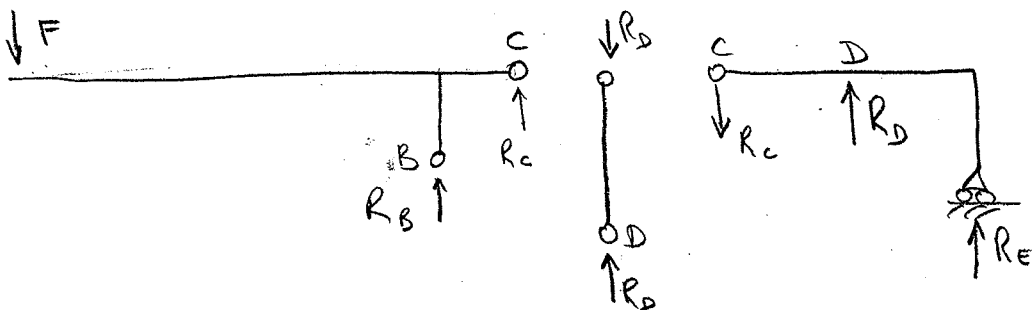
c) Determinar la fuerza que se ejerce en E.



a)



b)



$$\text{c)} \sum M^D = 0 \rightarrow R_E \cdot 50 + R_C \cdot 75 = 0$$

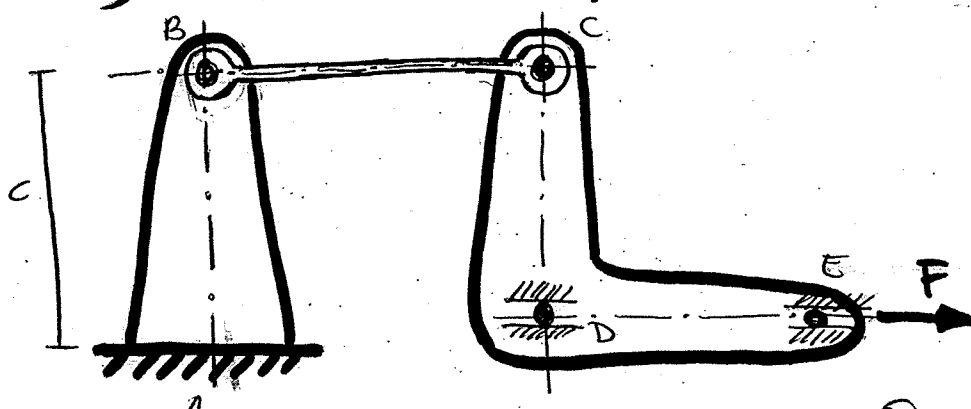
$$\sum M^D = 0 \rightarrow R_C \cdot 25 + F \cdot 500 = 0 \rightarrow R_C = -\frac{F \cdot 500}{25}$$

$$R_E = \frac{-R_C \cdot 75}{50} = \frac{F \cdot 500 \cdot 75}{25 \cdot 50} = 7500 \text{ N}$$

$$R_E = 7500 \text{ N}$$

1.12 Sistema pleno de 4 barras: Barra vertical AB empotrado en su base, dos barras perpendiculares CD y DE rigidamente unidas, una barra horizontal BC bisectada. Los nudos D y E están guiados mediante correderas para que no pueden desplazarse verticalmente. En el extremo E se aplica una fuerza horizontal F. Se pide:

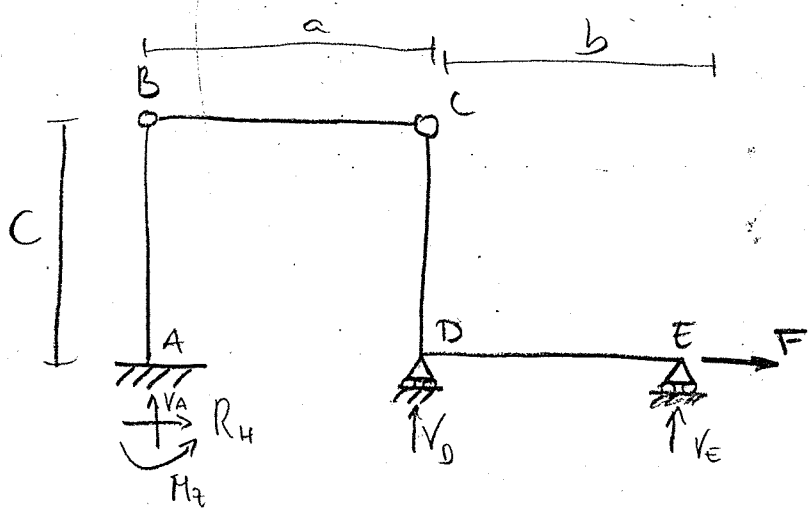
- 1) Reacciones en apoyos
- 2) Leyes, diagramas de esfuerzos en todos los barras



$$\begin{aligned} GH &= r - p \cdot e \\ GH &= (5+4) - 3 \cdot 3 = 0, \\ GH &= (R_{\text{ext}} - 3) + (3c - e) \\ GH &= (5-3) + (3 \cdot 0 - 2) = 0, \end{aligned}$$

Iso estático

① Por EQUILIBRIO
Reacciones; ESTÁTICO



$$(1) \rightarrow R_H = -F$$

$$(3) \rightarrow V_E = -F \frac{c}{b} \xrightarrow{(1)} V_D = -V_E \frac{(a+b)}{a} - Fc = \\ = \frac{1}{a} \left(F \frac{c}{b} (a+b) - Fc \right) = \frac{1}{a} \left(F \frac{ca}{b} \right) \Rightarrow$$

$$V_D = F \frac{c}{b}$$

$$(7) \rightarrow V_A = -V_E - V_D = F \frac{c}{b} - F \frac{c}{b} = 0$$

$$\left\{ \begin{array}{l} \sum F_H = 0 \rightarrow R_H + F = 0 \\ R_H = -F \quad (1) \\ \sum F_V = 0 \rightarrow V_A + V_D + V_E = 0 \quad (2) \\ \sum M_E^{\circ} = 0, \quad \left| \begin{array}{l} V_E b + F \cdot c = 0 \\ \text{Cond de rotula} \end{array} \right. \\ V_E = -F \frac{c}{b} \quad (3) \\ -V_A \cdot a + M_2 + R_H \cdot c = 0 \quad (4) \end{array} \right.$$

$$\left\{ \begin{array}{l} \sum M_2^{\circ} = 0, \quad \left| \begin{array}{l} R_H \cdot c + M_2 = 0 \\ \text{Cond rotula} \end{array} \right. \\ R_H \cdot c + M_2 = 0 \quad (5) \\ V_E (a+b) + F \cdot c + V_D \cdot a = 0 \quad (6) \end{array} \right.$$

$$\left\{ \begin{array}{l} (5): M_2 = -R_H \cdot c = F \cdot c \\ (4): M_2 = -R_H \cdot c + V_D \cdot a = F \cdot c \end{array} \right. \quad \text{OK}$$

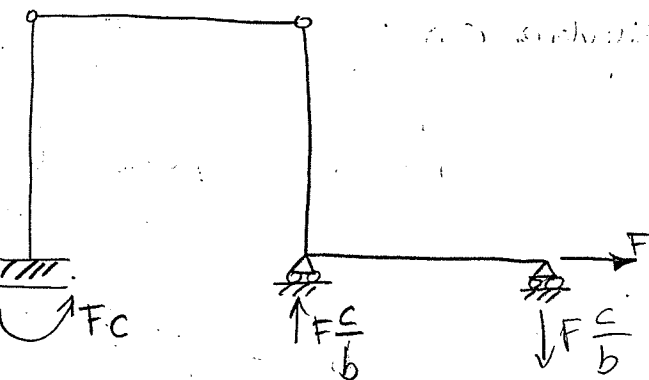
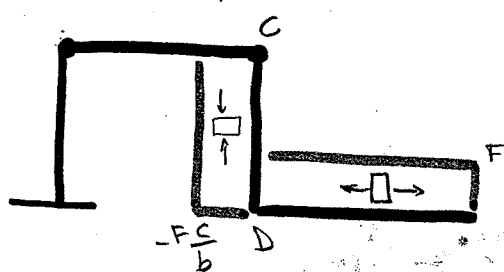
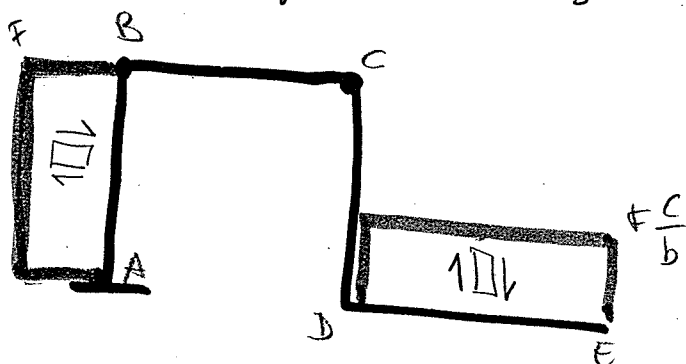


DIAGRAMA: Esfuerzo normal N



Esfuerzo constante T_2



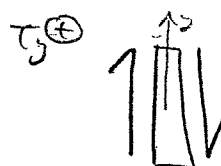
Criterio de signos



$$\text{Barra } CD \rightarrow N = -\frac{Fc}{b}$$

$$\text{Barra } DF \rightarrow N = F$$

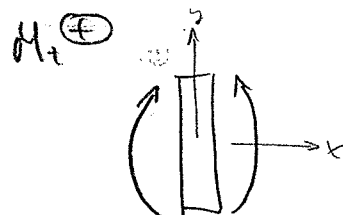
Criterio de signos



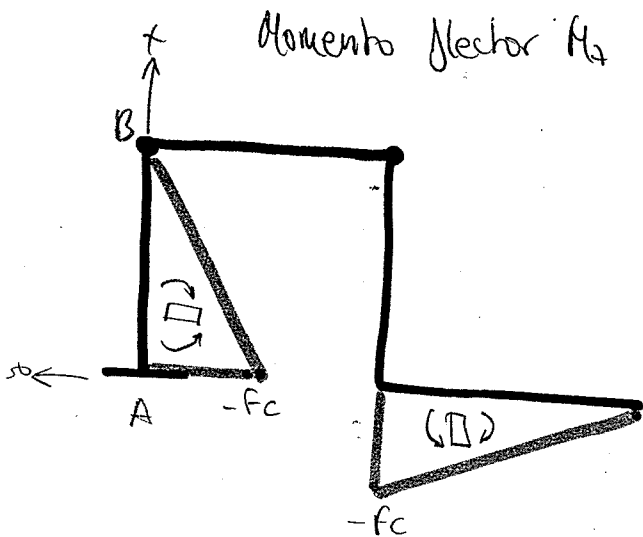
$$\text{Barra } AB \rightarrow T_2 = F$$

$$\text{Barra } DE \rightarrow T_2 = F \frac{c}{b}$$

Criterio de signos



$$\text{Barra } AB \rightarrow M_2 = F_c (x/c)$$

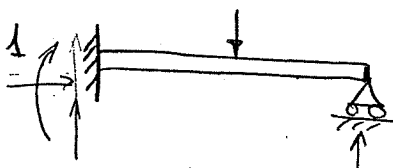


Especial T1

④

- 1) Identificar las reacciones en la sustentación
- 2) Determinar el GH mediante $GH = (r - 3) + (3c - e)$
- 3) Dividir en subsistemas internamente isostáticos y calcular FH como $FH = r - p \cdot e$

Fig 1

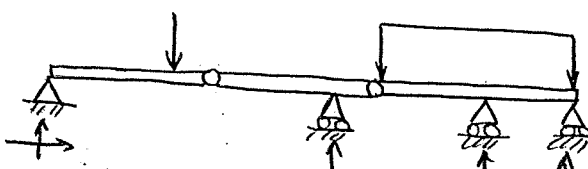


1) 4 reac. en la sustentación

$$2) GH = (4 - 3) + (3 \cdot 0 - 0) = 1,$$

3) La estructura es internamente isost. $\rightarrow p = 1$ (1 parte) $\rightarrow FH = 4 - 1 \cdot 3 = 1,$

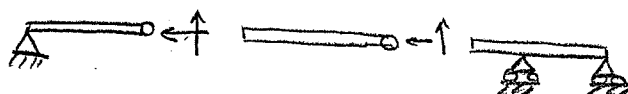
Fig 2



1) 5 reac. en la sustentación

$$2) GH = (5 - 3) + (3 \cdot 0 - 2) = 0,$$

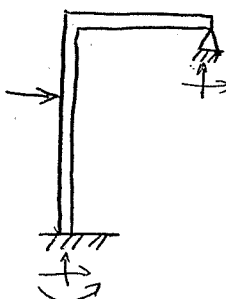
3)



$p = 3$ partes int. isostat

$$GH = 9 - 3 \cdot 3 = 0,$$

Fig 3

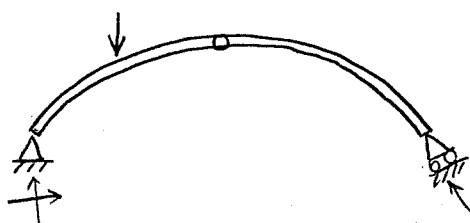


1) 5 reac. en la sustentación

$$2) GH = (5 - 3) + (3 \cdot 0 - 0) = 2$$

3) Es int. isostático $\rightarrow p = 1 \rightarrow FH = 5 - 1 \cdot 3 = 2$

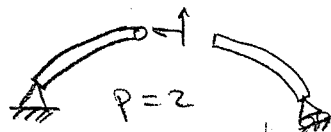
Fig 4



1) 3 reac. en la sustentación

$$2) GH = (3 - 3) + (3 \cdot 0 - 1) = -1$$

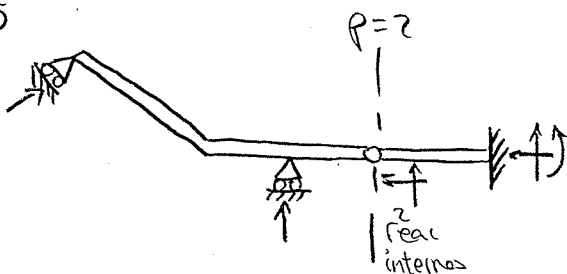
3)



$$GH = 5 - 2 \cdot 3 = -1$$

?

Fig 5



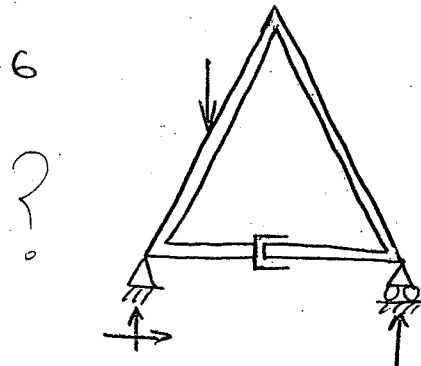
1) 5 reac. en la sustentación

$$2) GH = (5 - 3) + (3 \cdot 0 - 1) = 1$$

3) $p = 2 \rightarrow GH = 7 - 2 \cdot 3 = 1,$

⑯

Fig 6

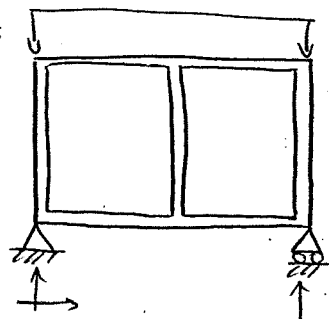


1) 3 reacciones en los soportes

$$2) GH = (3-3) + (3 \cdot 1 -) =$$

3)

Fig 7



1) 3 rec. en los apoyos

$$2) GH = (3-3) + (3 \cdot 2 - 0) = 6_{II}$$

$$3) P=2; GH = 15 - 3 \cdot 3 = 6_{II}$$

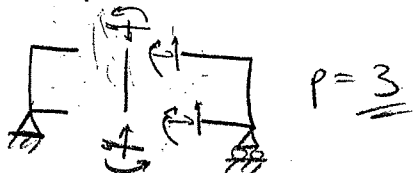
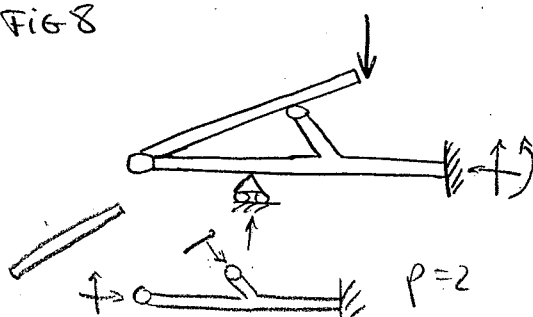


Fig 8

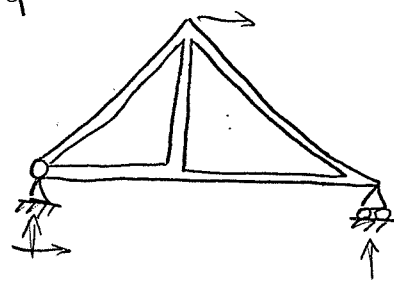


1) 4 rec. en los apoyos

$$2) GH = (4-3) + (3 \cdot 1 - 2) = 2$$

$$3) GH = 8 - 2 \cdot 3 = 2$$

Fig 9

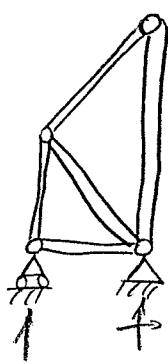


1) 3 reacciones en los apoyos

$$2) GH = (3-3) + (3 \cdot 2 - 1) = 5$$

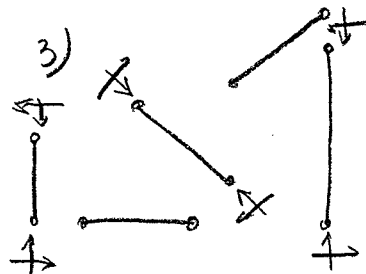
$$3) GH = 14 - 3 \cdot 3 = 5_{II}$$

Fig. 10



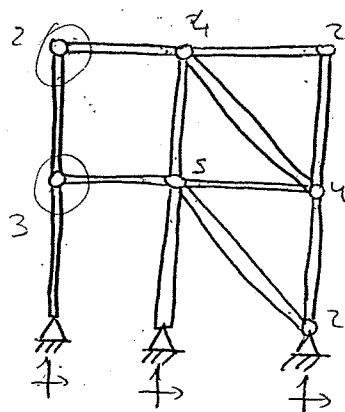
1) 3 rec. en los apoyos

$$2) GH = (3-3) + (3 \cdot 2 - 6) = 0$$



$$3) GH = 15 - 3 \cdot 5 = 0_{II}$$

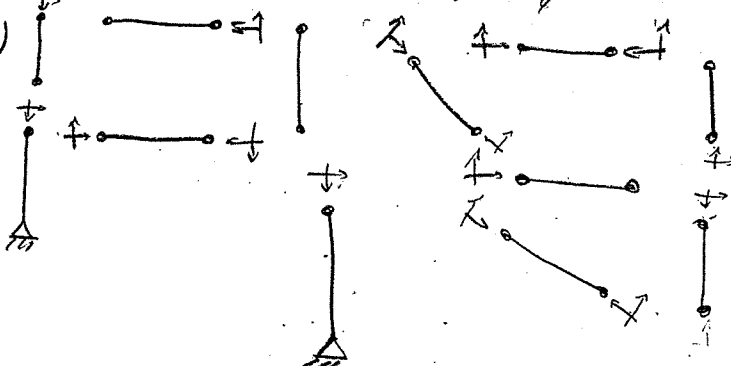
FIG. 15



1) 6 reacciones en apoyos

$$2) GH = (G - 3) + (3 \cdot 4 - 15) = 0,$$

3)

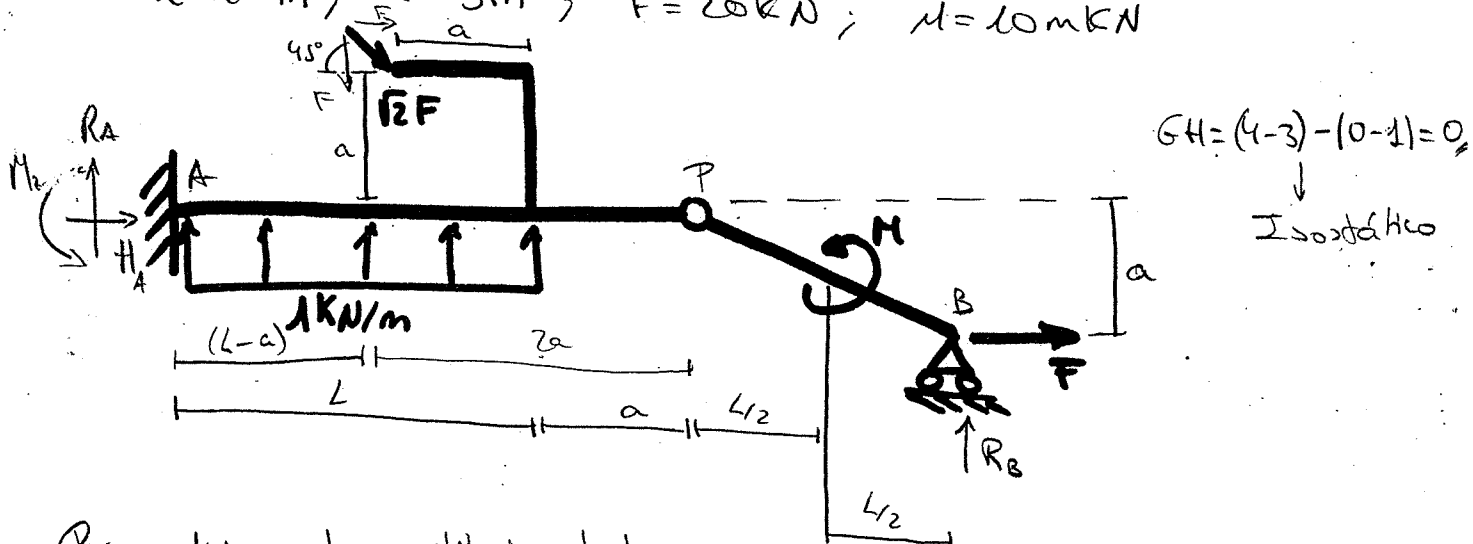


$$GH = 3 \cdot 6 - 12 \cdot 3 = 0,$$

Ejercicio T1

13)

Calcular las reacciones y dibujar los diagramas de esfuerzos internos del sólido de la figura para los siguientes valores de los parámetros: $L = 10 \text{ m}$; $a = 5 \text{ m}$; $F = 20 \text{ kN}$; $M = 10 \text{ mKN}$



$$GH = (4 - 3) - (0 - 1) = 0,$$

Isostático

Por condiciones de equilibrio estatico calculo las reacciones:

$$\begin{cases} \sum F_H = 0 \rightarrow H_A + F + F = 0 \rightarrow H_A = -2F = -40 \text{ kN} \\ \sum F_r = 0 \rightarrow R_A + 1 \cdot L - F + R_B = 0 \\ \sum M_A = 0 \rightarrow M_A - Fa - F(L-a) + H_A + Fa + R_B(2L+a) + 1L(L-a) = 0 \end{cases}$$

$$\text{Cond. rótula} \rightarrow \sum M^{\oplus} = 0 \text{ en ambos lados, } \sum F \cdot a + R_B \cdot L + M = 0 \rightarrow R_B = \frac{-M - Fa}{L} = -11 \text{ kN}$$

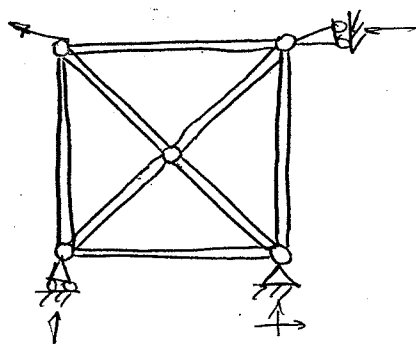
$$M_2 = R_A(L+a) - H_A + Fa - F2a + 1L \cdot 2a = 0$$

$$M_2 = R_A(L+a) + Fa - 2Fa + L2a = 315 \text{ mKN}$$

$$M_2 = Fa + F(L-a) - M - Fa - R_B(7L+a) - (1(L-a)) = 315 \text{ mKN O.K.}$$

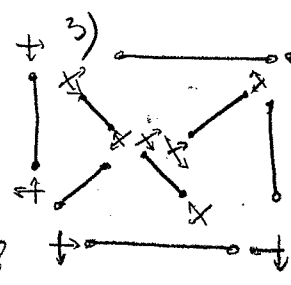
(18)

Fig 11



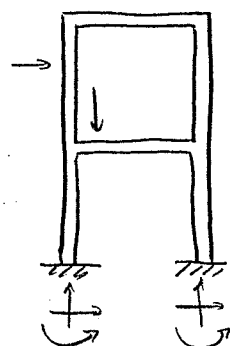
1) 4 reac. en los apoyos

$$2) GH = (4 - 3) + (3 \cdot 1 - 1) = 2,$$



$$GH = 26 - 8 \cdot 3 = 2,$$

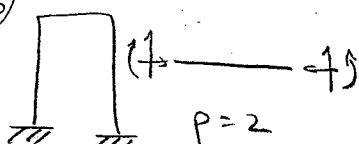
Fig 12



1) 6 reacciones en los apoyos

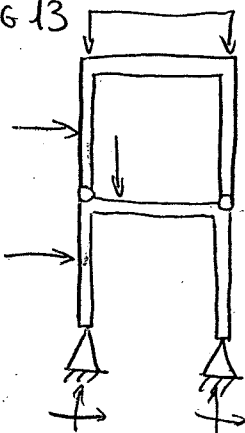
$$2) GH = (6 - 3) + (3 \cdot 1 - 0) = 6,$$

3)



$$GH = 12 - 2 \cdot 3 = 6,$$

Fig 13



1) 4 reacciones en apoyos

$$2) GH = (4 - 3) + (3 \cdot 1 - 2) = 2,$$

$$3) GH = 8 - 2 \cdot 3 = 2,$$

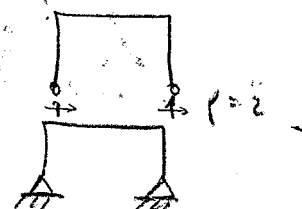
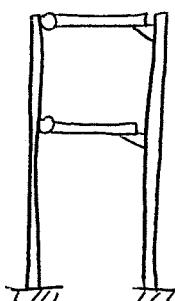


Fig 14



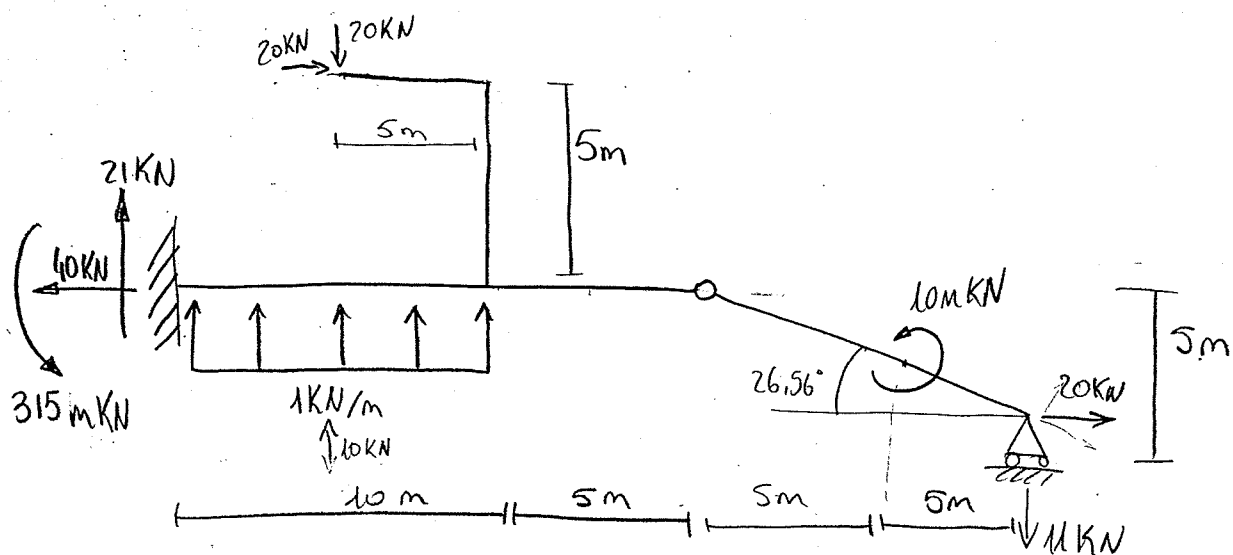


DIAGRAMA: Esfuerzo normal N

Crit. signos
 N^+ ← →
Crit. signos
 T_s^+ 1DV

Crit. signos
 M_f^+ (II)

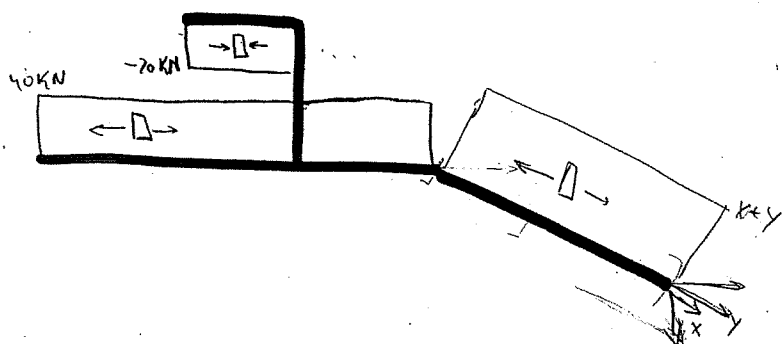
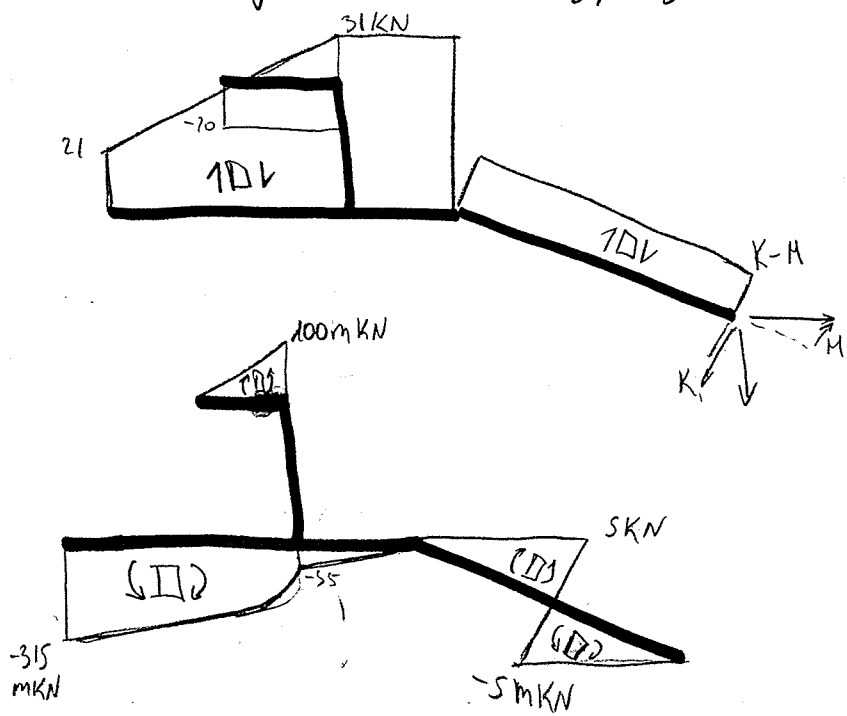
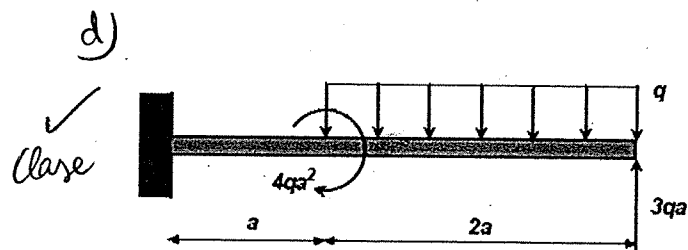
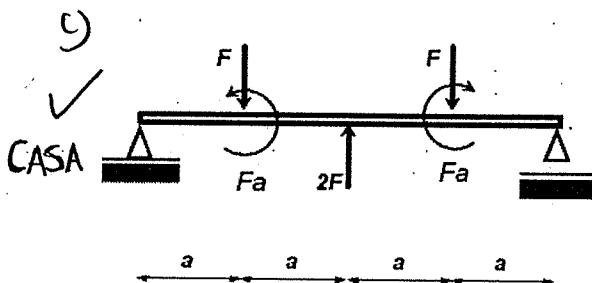
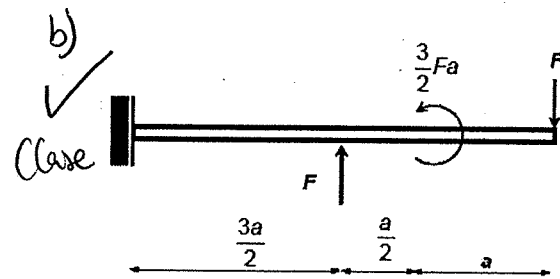
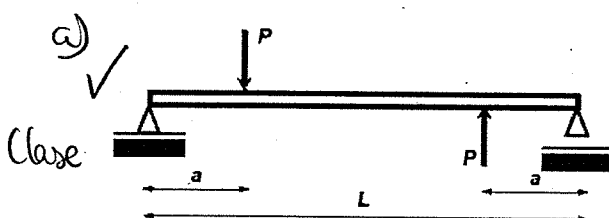


Diagrama esfuerzo cortante T_s , torsor M_f

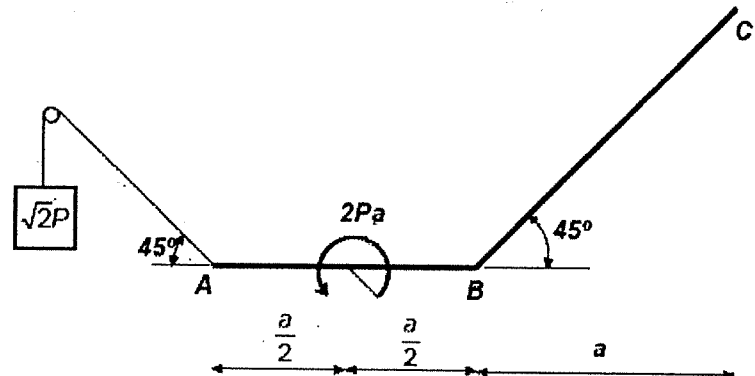


PROBLEMAS DE RESISTENCIA DE MATERIALES
MÓDULO 1: INTRODUCCIÓN. CURSO 2012-13

1.1.- Hallar las reacciones de los enlaces y dibujar los diagramas de esfuerzos de las barras siguientes:

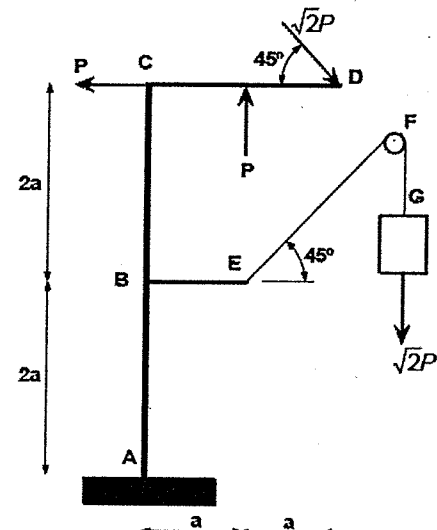


1.2.- La estructura plana de la figura está sustentada por dos apoyos. En B están impedidos todos los desplazamientos y en C está impedido el desplazamiento perpendicular a BC. El cable se apoya en una polea de radio despreciable y se une a la estructura en A. Dibuje los diagramas acotados de esfuerzos en ABC, indicando claramente el criterio de signos seguido para cada barra.



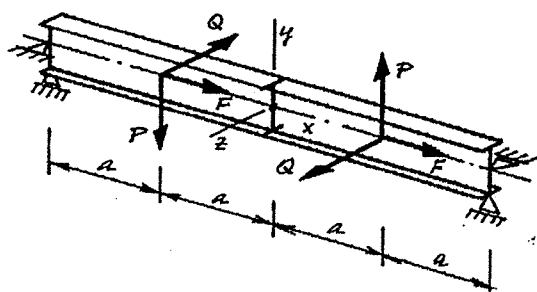
- ✓ 1.3.- En la estructura de la figura, EG es un cable y F una polea de radio despreciable.

CASA Dibuje los diagramas acotados de esfuerzos en el semipórtico ABCD, indicando claramente el criterio de signos seguido en cada barra.



- ✓ 1.4.- Para la viga simplemente apoyada indicada en la figura, se pide determinar todos los esfuerzos (N , T_y , T_z , M_T , M_y , M_z) en la sección central.

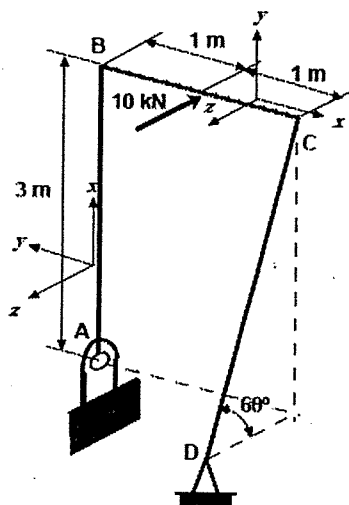
Clase



- 1.5.- El apoyo A de la estructura de la figura, en la que CD es un cable, impide todos los desplazamientos y giros, excepto el giro alrededor de la dirección paralela a BC.

Se pide:

- Esfuerzo normal en el cable CD (aplique equilibrio rotacional en A respecto a la dirección paralela a BC).
- Esfuerzos en la sección del nudo B perteneciente a la barra BC
- Esfuerzos en la sección del nudo B perteneciente a la barra AB

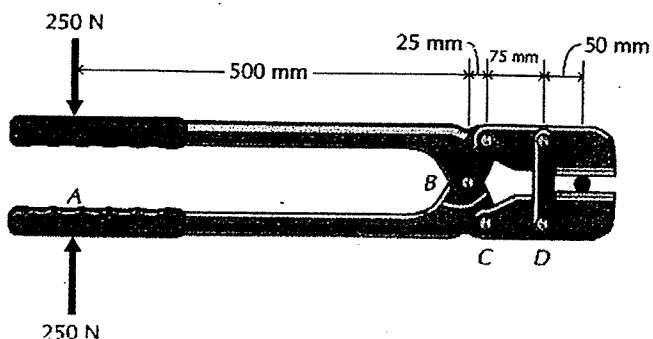


- ✓ 1.6.- a.- Modelizar la mordaza de la figura mediante un esquema de barras.

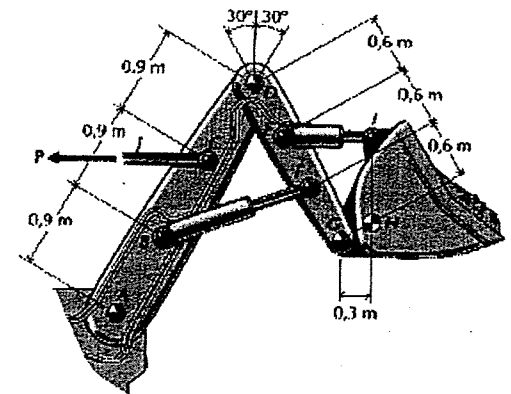
b.- Aislar cada uno de los elementos del conjunto (palanca ABC, biela vertical con origen en D y cuchilla CDE), dibujando (sin realizar los cálculos),

CASA las acciones que se ejercen sobre cada uno de ellos.

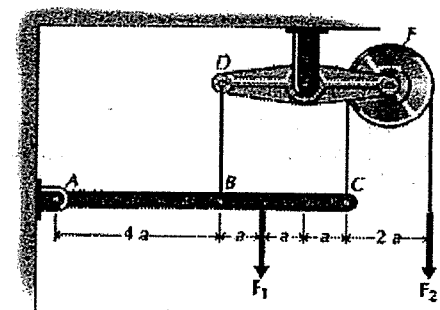
- c.- Determinar la fuerza que se ejerce en E.



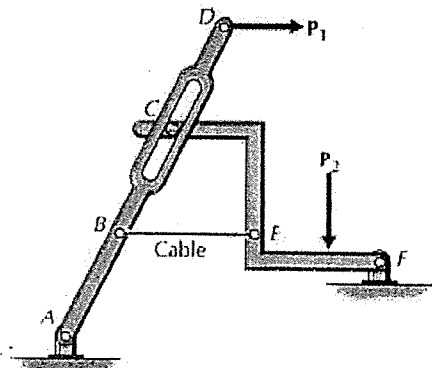
- 1.7.-**
- Modelizar el brazo de excavadora de la figura mediante un esquema de barras.
 - Aislard cada uno de los elementos del conjunto (pala, actuadores hidráulicos y bielas), dibujando (sin realizar los cálculos), las acciones que se ejercen sobre cada uno de ellos.
 - Calcular el valor de la acción del actuador EI sobre la pala, las acciones sobre el pasador G y el valor de P, en función del peso F de la pala (aplicado en H).



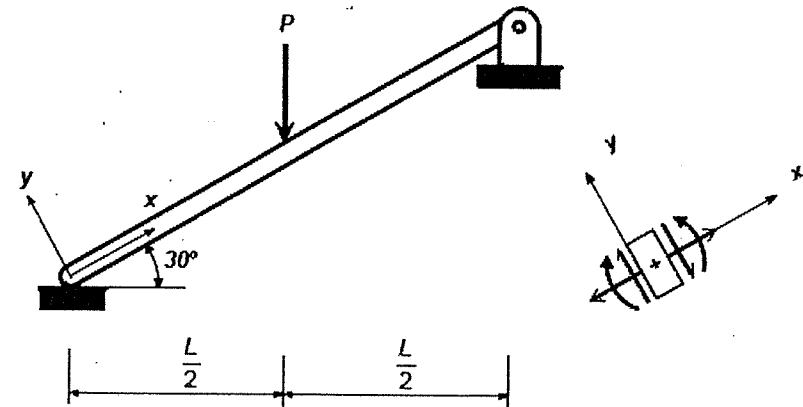
- 1.8.-**
- Modelizar la estructura de la figura mediante un esquema de barras.
 - Aislard cada uno de los elementos del conjunto (barra ABC, biela DEF, barra vertical con origen en E y polea), dibujando (sin realizar los cálculos), las acciones que se ejercen sobre cada uno de ellos.
 - Determinar el valor de F_1 en función de F_2 .



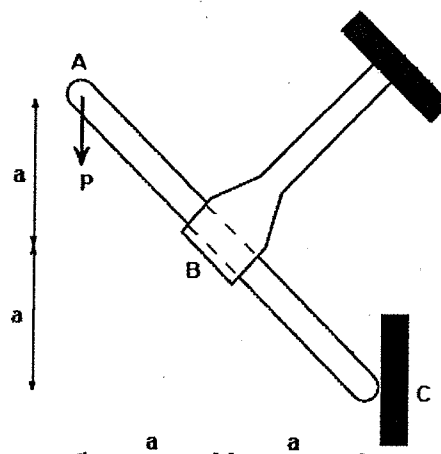
- 1.9.-**
- Modelizar la estructura de la figura mediante un esquema de barras.
 - Aislard cada uno de los elementos del conjunto (barra AD, barra quebrada CEF y cable), dibujando (sin realizar los cálculos), las acciones que se ejercen sobre cada uno de ellos.



- 1.10.-**
- En la barra de la figura, el extremo inferior se apoya sin rozamiento en el terreno y el extremo superior está unido al apoyo con un pasador cilíndrico también sin rozamiento. Trazar los diagramas de esfuerzos y momentos en la barra, para el criterio de signos indicado.

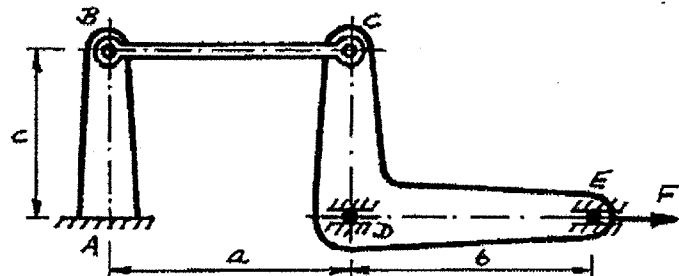


- 1.11.- Determine los valores de las acciones exteriores sobre la barra AC de la estructura de la figura, teniendo en cuenta que:
- El collar B sólo tiene permitido el desplazamiento en la dirección AC.
 - Son despreciables los rozamientos en el apoyo C y en el collar B.



- 1.12.- El sistema plano de la figura está formado por 4 barras: Una barra vertical AB empotrada en su base; dos barras perpendiculares CD y DE rígidamente unidas; una barra horizontal BC biarticulada. Los nudos D y E están guiados mediante correderas para que no puedan desplazarse verticalmente. En el extremo E se aplica una fuerza horizontal F. Se pide:

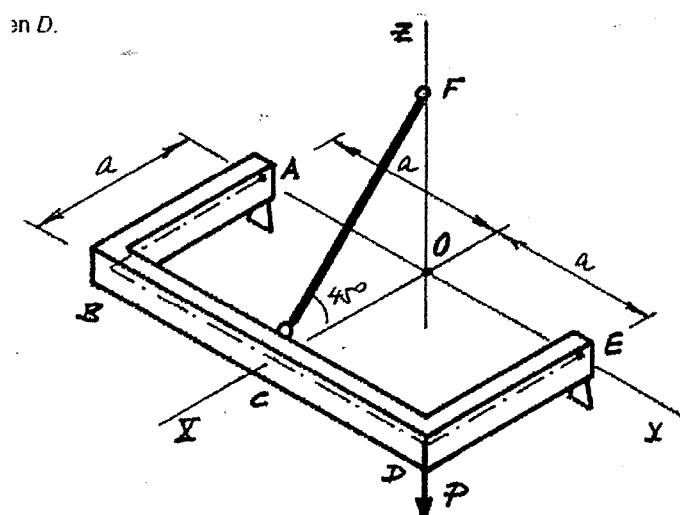
- CASA
?
- 1.- Reacciones en los apoyos.
 - 2.- Leyes y diagramas de esfuerzos en todas las barras.



- 1.13.- La figura muestra el sistema formado por las tres barras unidas rígidamente AB, BCD, y DE; y el tirante biarticulado CF, inclinado a 45° en el plano XZ. Las barras son de la misma sección, que tiene un eje de simetría paralelo al eje Z; y la sección del tirante tiene un área Ω .

En A hay un apoyo que restringe todos los desplazamientos de la sección; en E hay otro apoyo que restringe los desplazamientos según los ejes X y Z; y en F está anclado el tirante. El sistema está sometido a la fuerza vertical P, aplicada en D.

Se pide determinar las reacciones en la sustentación



1. **What is the primary purpose of the company?**

2. **What are the main products or services offered by the company?**

3. **Who are the key stakeholders of the company?**

4. **What is the company's mission statement?**

5. **How does the company plan to compete in its industry?**

6. **What are the company's strengths and weaknesses?**

7. **What are the company's opportunities and threats?**

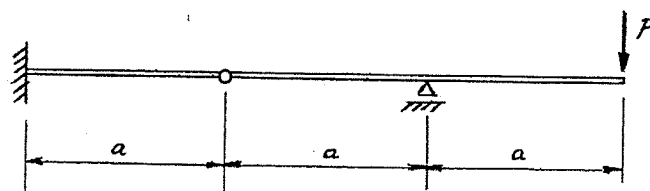
8. **What is the company's current financial performance?**

9. **What are the company's future growth plans?**

10. **What are the company's ethical and social responsibility practices?**

1.14.- Dibujar los diagramas acotados de esfuerzos de la viga de la figura

✓ Clase
CASA



1.15.- Determinar el grado de hiperestaticidad en cada uno de los 8 sistemas planos de la figura

a)
✓ Clase
CASA

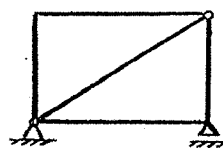
✓ g)
CASA

✓ c)
CASA

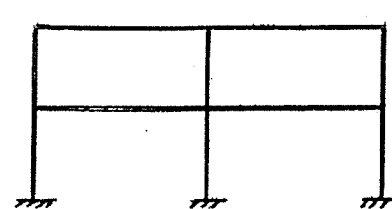
b)
✓ Clase
CASA

✓ d)
CASA

✓ e)
Clase
CASA



f)
✓ Clase
CASA



245

RESISTENCIA DE MATERIALES
EJEMPLO PRUEBA EVALUACIÓN CONTINUA

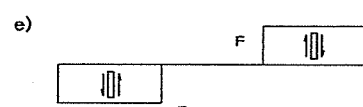
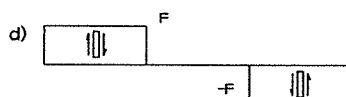
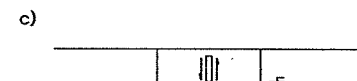
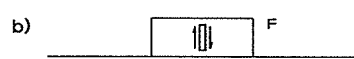
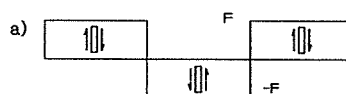
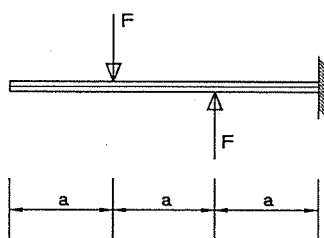
CUESTIÓN 1

Si consideramos un sólido prismático en el plano XY con una carga uniformemente distribuida actuando en dicho plano en dirección normal a su directriz, indique la opción correcta:

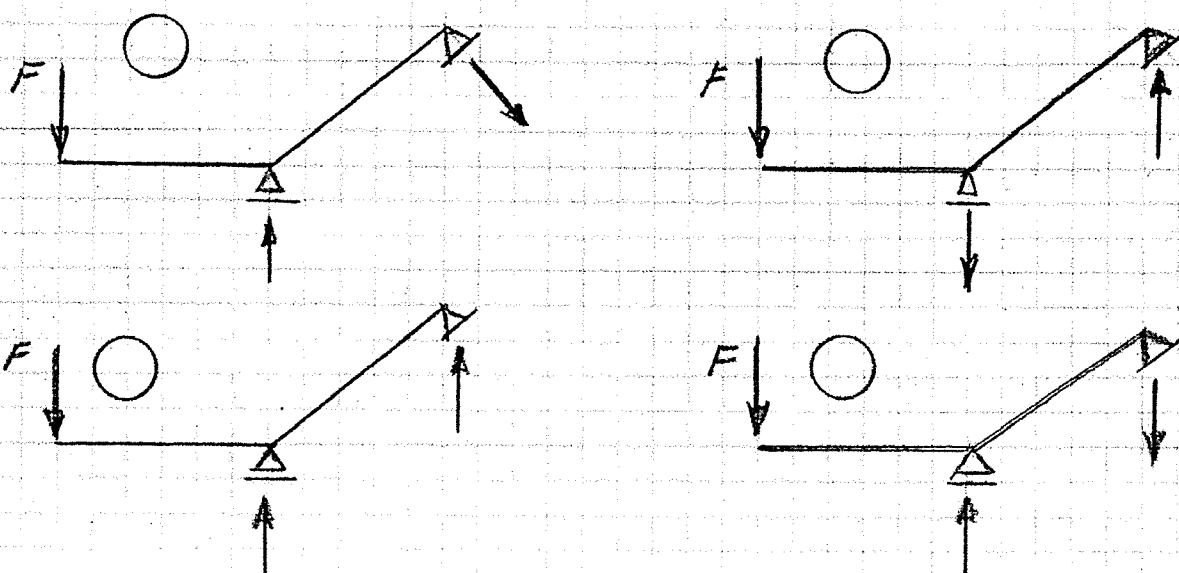
- a) La ley de esfuerzos cortantes es lineal
- b) La ley de esfuerzos cortantes es constante
- c) La ley de momentos flectores es parabólica
- d) Son correctas la a) y la c)
- e) Son correctas la b) y la c)

CUESTIÓN 2

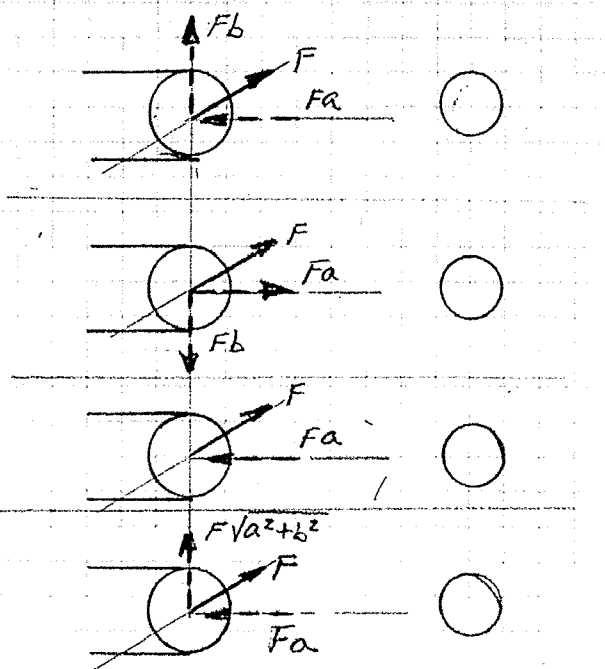
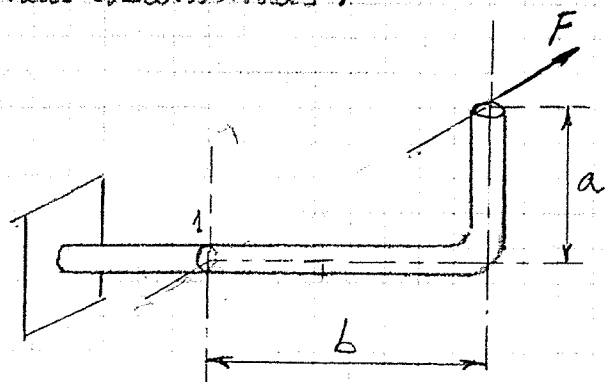
Indique cual de los siguientes diagramas de cortantes corresponde a la viga de la figura



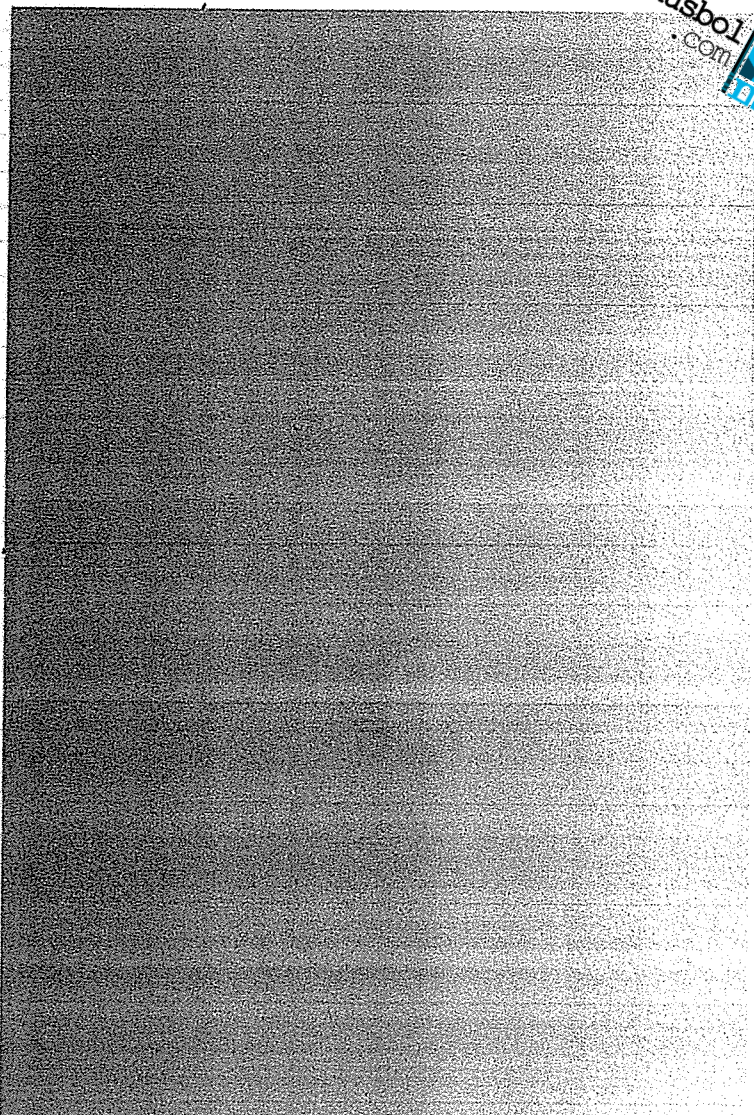
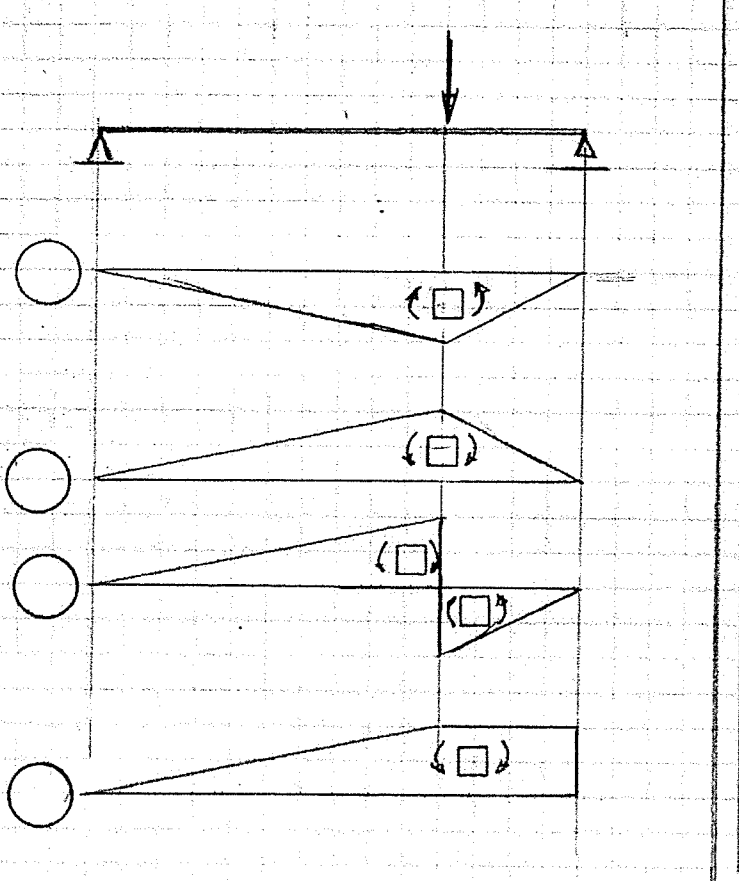
1) En la viga de la figura sometida a la carga F , marque la opción correcta relativa a las direcciones y sentidos de las reacciones de los enlaces.



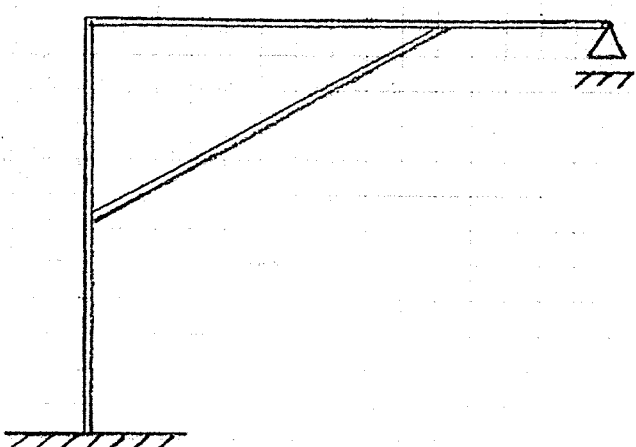
2) Marque la opción correcta de los esfuerzos interiores presentes en la sección 1 de la figura (los esfuerzos correspondientes a momentos se han indicado con líneas discontinuas).



3) En la viga de la figura marcar el diagrama de momentos flectores correcto



5) Marque la opción correcta relativa al grado de hipostaticidad ($G.H.$) de la estructura plana de la figura



$G.H = 1$

$G.H = 2$

$G.H = 3$

$G.H = 4$



ETSI INDUSTRIALES (U.P.M.)

Resistencia de Materiales

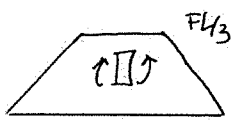
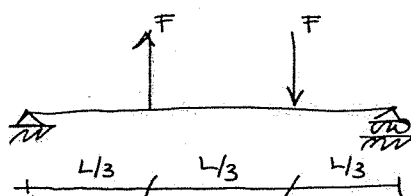
Duración de la prueba: 20 minutos

- -

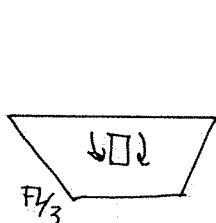
Nº matrícula

Respuestas

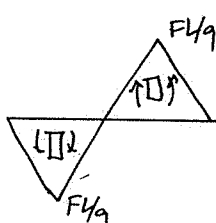
1. Indica el diagrama de momentos flectores de la estructura de la figura:



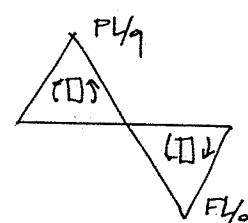
(a)



(b)



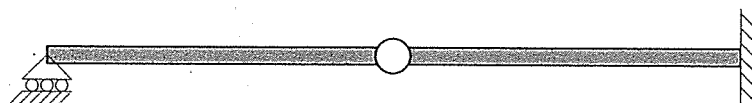
(c)



(d)

- a) b) c) d)

2. El grado de indeterminación estática de la estructura en la figura es



- a) 3 b) 1 c) 0 d) 2

3. ¿Cómo influyen las libertades de una estructura en su grado de indeterminación estática (GH)?

- | | |
|---------------------------------|---|
| a) Depende del tipo de libertad | b) Sólo disminuyen GH si la hiperestaticidad es de origen interno |
| c) Aumentan GH | d) Disminuyen GH |



4. El grado de hiperestaticidad de una estructura depende del número de fuerzas y momentos externos aplicados sobre ésta.

- a) Falso. b) Cierto para los momentos y falso para las fuerzas.
- c) Verdadero. d) Cierto para las fuerzas puntuales y falso para los momentos.

5. El número de ecuaciones de reacción en estructuras de 2 y 3 dimensiones son, respectivamente,

- a) 6 y 4. b) 4 y 2. c) 6 y 3. d) 3 y 2.



ESPECIAL T1

RESISTENCIA DE MATERIALES PROBLEMAS GRUPO T1. CURSO 2012-2013

MÓDULO 1. INTRODUCCIÓN

PROBLEMA 1.1

Para los sistemas planos de barras prismáticas de la figura, se pide:

- 1) Identificar las reacciones en la sustentación.
- 2) Determinar el grado de hiperestaticidad mediante la expresión:

$$GH = (r-3) + (3c-e)$$
- 3) Realizar los cortes necesarios para descomponerlo en parte internamente isostáticas, y determinar el GH mediante el balance general de incógnitas y ecuaciones de equilibrio ($GH = n - p \cdot e$)

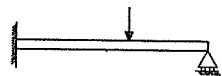


FIGURA 1



FIGURA 2

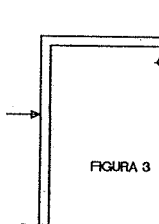


FIGURA 3

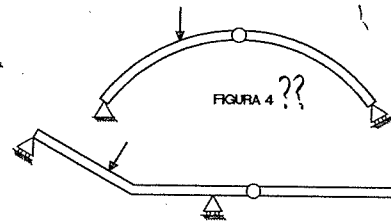


FIGURA 4 ??

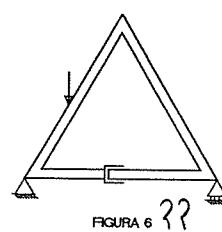


FIGURA 6 ??

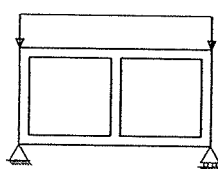


FIGURA 7

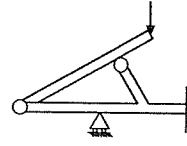


FIGURA 8

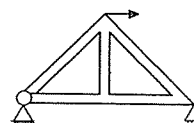


FIGURA 9

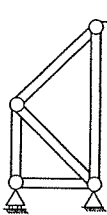


FIGURA 10

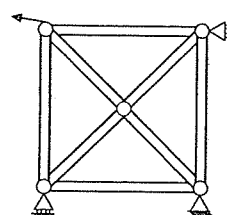


FIGURA 11

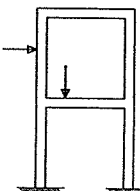


FIGURA 12

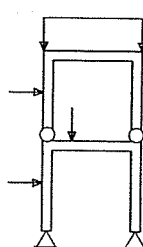


FIGURA 13

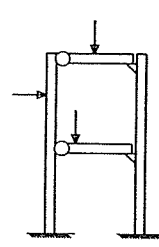


FIGURA 14 ??

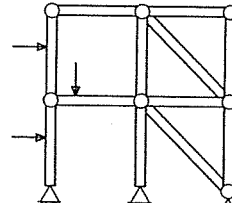
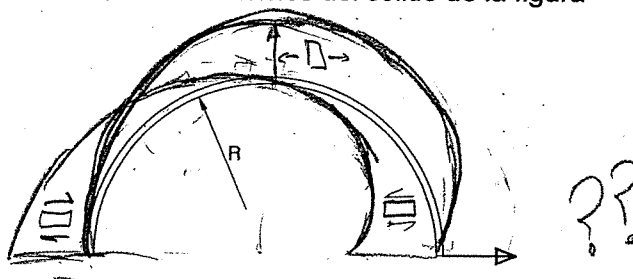


FIGURA 15

PROBLEMA 1.2

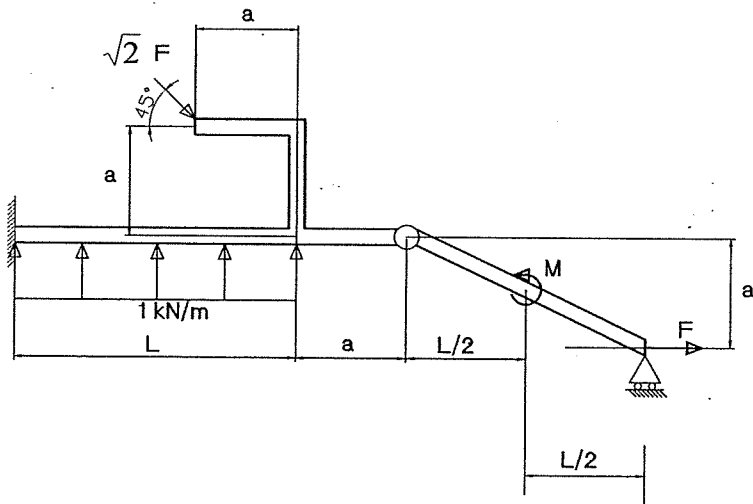
Dibujar los diagramas de esfuerzos internos del sólido de la figura



PROBLEMA 1.3

Calcular las reacciones y dibujar los diagramas de esfuerzos internos del sólido de la figura, para los siguientes valores de los parámetros:

$$L = 10 \text{ m}; \quad a = 5 \text{ m}; \quad F = 20 \text{ kN}; \quad M = 10 \text{ mkN}$$



MIURA
SISTEMI INFORMATIVI

www.miura.it

Q3 - 2007

Q1 - 2007

Q4 - 2006

MIURA SISTEMI INFORMATIVI è un gruppo di società che si occupa di:

• Progettazione e realizzazione di sistemi di gestione aziendale.

• Implementazione di sistemi di gestione aziendale.

• Servizi di supporto alle imprese.

• Servizi di supporto alla formazione.

• Servizi di supporto alla ricerca.

• Servizi di supporto alla innovazione.

• Servizi di supporto alla crescita.

• Servizi di supporto alla competitività.

• Servizi di supporto alla sostenibilità.

• Servizi di supporto alla responsabilità sociale.

• Servizi di supporto alla trasparenza.

• Servizi di supporto alla trasformazione digitale.

• Servizi di supporto alla trasformazione produttiva.

• Servizi di supporto alla trasformazione organica.

• Servizi di supporto alla trasformazione strutturale.

• Servizi di supporto alla trasformazione culturale.

• Servizi di supporto alla trasformazione tecnologica.

• Servizi di supporto alla trasformazione ambientale.

• Servizi di supporto alla trasformazione sociale.

• Servizi di supporto alla trasformazione economica.

• Servizi di supporto alla trasformazione politica.

• Servizi di supporto alla trasformazione culturale.

PROBLEMA 1.4

La estructura plana de barras de la figura está empotrada en el punto A y cuelga de un tirante DE. Además se coloca una rótula en el punto C. Se pide:

- 1) Comprobar que la estructura es isostática con cualquiera de las expresiones de balance de incógnitas y ecuaciones.
- 2) Calcular las reacciones externas en el apoyo A y la tracción T en el tirante.
- 3) Dibujar los diagramas de esfuerzos (axil, cortante y momento flector) en la barra BC.

Nota: el espesor de las barras se considera despreciable.

